



ภาควิชาครุศาสตร์วิศวกรรม  
 คณะครุศาสตร์อุตสาหกรรม  
 สถาบันเทคโนโลยีพระจอมเกล้าเจ้าคุณทหารลาดกระบัง  
 ใบรับรองปริญญาโท

ชื่อหัวข้อ เครื่องชั่งและบรรจุเมล็ดพันธุ์  
 Grain Pack and Scale Machine

- ชื่อนักศึกษา
- |                           |              |          |
|---------------------------|--------------|----------|
| 1. นายธราพงษ์ ถวิลการ     | รหัสประจำตัว | 44035322 |
| 2. นายบุญฤทธิ์ วัฒนมงคล   | รหัสประจำตัว | 44035329 |
| 3. นายภาสกร จินานุกุลวงศ์ | รหัสประจำตัว | 44035339 |

หลักสูตร ครุศาสตร์อุตสาหกรรมบัณฑิต สาขาวิชา อิเล็กทรอนิกส์และคอมพิวเตอร์  
 อาจารย์ที่ปรึกษา อาจารย์สุรพงษ์ สิริพงษ์ดี  
 อาจารย์ที่ปรึกษาร่วม อาจารย์สุระชัย พิมพิ์สาดี

คณะกรรมการสอบปริญญาโท	ลายมือชื่อ
1. อาจารย์ประเสริฐ เกนพันคือ	
2. อาจารย์สุชิน อาจหาญ	
3. อาจารย์สุรพงษ์ สิริพงษ์ดี	
4. อาจารย์สุระชัย พิมพิ์สาดี	
5. อาจารย์พงษ์เกียรติ เขษจุพิทักษ์สกุล	

วัน/เดือน/ปีที่สอบ วันพุธที่ 31 มีนาคม พ.ศ. 2547 เวลา 10.00 น.

สถานที่สอบ ห้อง ค.311 คณะครุศาสตร์อุตสาหกรรม สจล.

ภาควิชารับรองแล้ว

ลงนาม.....

(ผศ.สุรสิทธิ์ ราตรี)



<BT4620222>

เอกสารนี้เป็นเอกสารที่สงวนลิขสิทธิ์ไว้เพื่อการศึกษาเท่านั้น มิใช่เอกสารที่เผยแพร่สู่สาธารณะ  
 ไม่ว่ากรณีใดๆ ทั้งสิ้น เครื่องชั่งและบรรจุเมล็ดพันธุ์ แปลงเนื้อหา และต้องอ้างอิงถึงเจ้าของเอกสารทุกครั้งที่มีการนำไปใช้

หัวหน้าภาควิชาครุศาสตร์วิศวกรรม  
 วันที่ 1 เดือน 12 พ.ศ. 2547

# ปฏิญานิพนธ์

เครื่องชั่งและบรรจุเมล็ดพันธุ์

GRAIN PACK AND SCALE MACHINE



นายธราพงษ์ ฤทธิการ  
 นายบุญฤทธิ์ วัฒนกมล  
 นายภาสกร จินนานุกุลวงศ์

เลขหมู่.....  
 เลขทะเบียน **51871**  
 วัน,เดือน,ปี - **3 ส.ค. 2547**

b.....  
 i.....

ปฏิญานิพนธ์ฉบับนี้เป็นส่วนหนึ่งของการศึกษาตามหลักสูตรครุศาสตร์อุตสาหกรรมบัณฑิต

สาขาวิชาอิเล็กทรอนิกส์และคอมพิวเตอร์

ภาควิชาครุศาสตร์วิศวกรรม คณะครุศาสตร์อุตสาหกรรม

สถาบันเทคโนโลยีพระจอมเกล้าเจ้าคุณทหารลาดกระบัง

เอกสารนี้เป็นเอกสารที่สงวนไว้สำหรับการใช้งานปีการศึกษา 2546 นั้น ไม่อนุญาตให้นำไปใช้ประโยชน์ด้านการค้า  
 ไม่ว่ากรณีใดๆ ทั้งสิ้น อีกทั้งห้ามมิให้ตัดแปลงเนื้อหา และต้องอ้างอิงถึงเจ้าของเอกสารทุกครั้งที่มีการนำไปใช้

# ปริญญานิพนธ์

เรื่อง เครื่องชั่งและบรรจุเมล็ดพันธุ์

Grain Pack and Scale Machine

## วัตถุประสงค์

1. เพื่อศึกษาการทำงานของเครื่องชั่งและบรรจุเมล็ดพันธุ์
2. เพื่อออกแบบตัวเครื่องและระบบการทำงานของเครื่องชั่งและบรรจุเมล็ดพันธุ์
3. เพื่อสร้างเครื่องชั่งและบรรจุเมล็ดพันธุ์
4. เพื่อทดสอบระบบการทำงานของเครื่องชั่งและบรรจุเมล็ดพันธุ์
5. เพื่อนำเครื่องชั่งและบรรจุเมล็ดพันธุ์ ไปใช้งานในการบรรจุเมล็ดพันธุ์

## ประโยชน์ที่คาดว่าจะได้รับ

1. เข้าใจหลักการทำงานของเครื่องชั่งและบรรจุเมล็ดพันธุ์
2. ได้วงจรควบคุมระบบการทำงานของเครื่องชั่งและบรรจุเมล็ดพันธุ์
3. ได้เครื่องชั่งและบรรจุเมล็ดพันธุ์
4. ได้ผลจากการทดลองการทำงานของเครื่องชั่งและบรรจุเมล็ดพันธุ์
5. เครื่องชั่งและบรรจุเมล็ดพันธุ์สามารถนำไปใช้งานได้จริง

เอกสารนี้เป็นเอกสารที่สงวนไว้สำหรับการใช้งานเพื่อการศึกษาเท่านั้น ไม่อนุญาตให้นำไปใช้ประโยชน์ด้านการค้า  
ไม่ว่ากรณีใดๆ ทั้งสิ้น อีกทั้งห้ามมิให้ตัดแปลงเนื้อหา และต้องอ้างอิงถึงเจ้าของเอกสารทุกครั้งที่มีการนำไปใช้

I

ชื่อหัวข้อ	เครื่องชั่งและบรรจุเมล็ดภัณฑ์
นักศึกษา	นายธราพงษ์ ถวิลการ
	นายบุญฤทธิ์ วาสนกมล
	นายภาสกร จินานุกุลวงศ์
อาจารย์ที่ปรึกษา	อาจารย์สุรพงษ์ สิริพงษ์ดี
อาจารย์ที่ปรึกษาร่วม	อาจารย์สุระชัย พิมพ์สาดี
หลักสูตร	ครุศาสตร์อุตสาหกรรมบัณฑิต
สาขาวิชา	อิเล็กทรอนิกส์และคอมพิวเตอร์
ปีการศึกษา	2546

บทคัดย่อ

ปริญญานิพนธ์ฉบับนี้นำเสนอ การนำเอาอุปกรณ์ทางอิเล็กทรอนิกส์, ไฟฟ้าและทางด้านเครื่องกลมาสร้างเป็นระบบควบคุมอัตโนมัติ ในกระบวนการซึ่งผลิตภัณฑ์ทางการเกษตรโดยใช้ อุปกรณ์หลักๆ อันได้แก่ อุปกรณ์ทางด้านนิวแมติกส์อุตสาหกรรม ไมโครคอนโทรลเลอร์ ฯลฯ จุดประสงค์เพื่อที่จะศึกษาถึงการนำเอาระบบไมโครคอนโทรลเลอร์มาประยุกต์เข้ากับระบบทางไฟฟ้าและทางด้านเครื่องกล เพื่อนำมาสร้างเป็นระบบการควบคุมอัตโนมัติทางอุตสาหกรรม โดยอุปกรณ์หลักที่สำคัญของระบบนี้คือ ไมโครคอนโทรลเลอร์ตระกูล MCS-51 มาใช้เป็นตัวควบคุมระบบดังกล่าว โดยที่ขีดความสามารถของโครงงานนี้สามารถที่จะชั่งได้ตั้งแต่ 1-10 กิโลกรัม มีความคลาดเคลื่อนประมาณ  $\pm 25$  กรัม

## II

<b>Thesis Title</b>	Grain Scaling and Packaging Machine	
<b>Students</b>	Mr. Tharapong	Thawilnkarn
	Mr. Bunyarit	Wasanakamon
	Mr. Pasakorn	Jinanukulwong
<b>Advisor</b>	Mr. Surapong	Siripongdee
<b>Co-Advisor</b>	Mr. Surachai	Pimsalee
<b>Education Level</b>	Bachelor of Science in Industrial Education	
<b>Program in</b>	Electronics and Computer	
<b>Academic Year</b>	2003	

### ABSTRACT

This thesis presents a provide device of electronics, electrical and mechanical take to build automatic control system. In presents of product of agriculture scale by using main device such as pneumatic device, microcontroller act. The objective for studied to addition microcontroller system to apply in electronic system and mechanical system for the industrial automatic system. The main purpose to used microcontroller MCS-51 family for control system. This project is performance for to scale 1-10 kilograms. It has to error  $\pm 25$  grams.

## กิตติกรรมประกาศ

ปริญญาานิพนธ์ฉบับนี้สำเร็จลุล่วงไปได้ด้วยดี เนื่องจากความร่วมมือของสมาชิกภายในกลุ่มทุกท่าน ขอขอบคุณอาจารย์สุรพงษ์ สิริพงษ์ดี อาจารย์สุระชัย พิมพ์สาดี ภาควิชาครุศาสตร์วิศวกรรม คณะครุศาสตร์อุตสาหกรรมและคณาจารย์ภาควิชาครุศาสตร์วิศวกรรมทุกท่านที่ได้ให้ความอนุเคราะห์ทางด้านเครื่องมือและอุปกรณ์ รวมทั้งยังให้คำแนะนำ แนวความคิด ความรู้ต่างๆ แนวทางการแก้ไข ปัญหาในการจัดทำปริญญาานิพนธ์ ขอขอบคุณเจ้าหน้าที่ห้องสมุดคณะครุศาสตร์อุตสาหกรรม และเจ้าหน้าที่ห้องสมุดคณะวิศวกรรมศาสตร์ ที่ช่วยอำนวยความสะดวกและเอื้อเฟื้อสถานที่ในการค้นคว้าหาข้อมูล สุดท้ายขอควรระลึกถึงอย่างยิ่ง บิดาและมารดา ที่เป็นผู้ให้ความสนับสนุนด้านการศึกษาและเป็นผู้ให้กำลังใจและทุนการศึกษาด้วยดีตลอดมา ตั้งแต่อดีตจนถึงปัจจุบัน



## สารบัญ

เรื่อง	หน้า
บทคัดย่อภาษาไทย	I
บทคัดย่อภาษาอังกฤษ	II
กิตติกรรมประกาศ	III
สารบัญ	IV
สารบัญตาราง	VII
สารบัญรูป	VIII
บทที่ 1 บทนำ	1
1.1 ความเป็นมาและความสำคัญ	1
1.2 ขีดความสามารถของโครงการ	1
1.3 เนื้อหาโดยสังเขป	1
บทที่ 2 ทฤษฎีและหลักการ	3
2.1 อุปกรณ์ทรานส์ดีวเซอร์	3
2.1.1 เกจความเครียด	3
2.1.2 บริดจ์ของเกจความเครียด	5
2.1.3 การชดเชยอุณหภูมิ	10
2.1.4 การจัดวางเกจความเครียด (Strain Arrangement)	11
2.1.5 การสมดุลย์ของบริดจ์	13
2.1.6 การสอบเทียบ	13
2.1.7 ทรานส์ดีวเซอร์แบบหลักการของแรง	16
2.2 ทฤษฎีพื้นฐานเกี่ยวกับโพลดเซลล์	16
2.2.1 ชั้นส่วนรับน้ำหนัก	16
2.3 คุณสมบัติของไมโครคอนโทรลเลอร์ตระกูล MCS-51	18
2.4 ฐานเวลาในการทำงานของซีพียูภายใน 8051	20
2.5 หลักการของตัวแปลงสัญญาณแอนะล็อกเป็นสัญญาณดิจิทัล	21
2.5.1 วงจรแปลงสัญญาณแอนะล็อกเป็นดิจิทัล	23
2.6 ทฤษฎีพื้นฐานของระบบนิวแมติกส์	26
2.6.1 กฎเบื้องต้นของลมอัด	26

## สารบัญ (ต่อ)

เรื่อง	หน้า
2.6.2 อุปกรณ์เบื้องต้นของระบบนิวแมติกส์	28
2.6.3 กระบอกสูบนิวแมติกส์	30
2.6.4 อุปกรณ์ของระบบไฟฟ้าควบคุมในระบบนิวแมติกส์	34
2.6.5 วงจรควบคุมกระบอกสูบชนิดต่างๆ	36
2.7 อุปกรณ์แสดงผลทางแสง	38
2.7.1 จอแสดงผลแบบผลึกเหลว	38
2.7.2 จอแสดงผลแบบ 7 ส่วน	38
บทที่ 3 การออกแบบ การสร้างและการทำงาน	40
3.1 กล่าวนำ	40
3.2 การออกแบบด้านฮาร์ดแวร์	40
3.2.1 บอร์ดควบคุมการทำงานหลัก	40
3.2.2 วงจรแสดงผลแบบตัวเลข 7 ส่วน	41
3.2.3 วงจรขยายแรงดันจาก โหมดเซลล์	42
3.2.4 บอร์ดแปลงสัญญาณแอนะล็อกเป็นสัญญาณดิจิทัล	43
3.2.5 วงจรเมตริกซ์สวิตช์	43
3.2.6 วงจรขั้วบรีเสย์	44
3.2.7 วงจรแหล่งจ่ายไฟ	45
3.2.8 วงจรรวมสัญญาณจากโหมดเซลล์ (Summing)	45
3.3 การออกแบบทางด้านซอฟต์แวร์	46
3.3.1 การออกแบบโปรแกรมควบคุมการทำงานของเครื่องชั่งและบรรจุเมล็ดพันธุ์	46
3.4 การออกแบบโครงสร้างของเครื่องชั่งและบรรจุเมล็ดพันธุ์	51
3.4.1 ส่วนบรรจุเมล็ดพันธุ์	51
3.4.2 ส่วนควบคุมการโรยเมล็ดพันธุ์	52
3.4.3 ส่วนถังชั่งเมล็ดพันธุ์	53
3.4.4 ส่วนโครงเหล็ก	54
บทที่ 4 การทดลองและผลการทดลอง	55

บทที่ 4 การทดลองและผลการทดลอง

55

### 4.1 กล่าวนำ

55

เอกสารนี้เป็นเอกสารที่สงวนไว้สำหรับการใช้งานเพื่อการศึกษาเท่านั้น ไม่อนุญาตให้นำไปใช้ประโยชน์ทางการค้า  
ไม่ว่ากรณีใดๆ ทั้งสิ้น อีกทั้งห้ามมิให้ตัดแปลงเนื้อหา และต้องอ้างอิงถึงเจ้าของเอกสารทุกครั้งที่มีการนำไปใช้

## สารบัญ (ต่อ)

เรื่อง	หน้า
4.2 การทดลองและผลการทดลอง	55
4.2.1 การทดลองและผลการทดลอง โหลดเซลล์	55
4.2.2 การทดลองและผลการทดลอง วงจรแสดงผลแบบตัวเลข 7 ส่วน	56
4.2.3 การทดลองและผลการทดลอง วงจรแสดงผลแบบฟลิกเฮลว	59
4.2.4 การทดลองและผลการทดลอง วงจรเมตริกซ์สวิตช์	61
4.2.5 การทดลองและผลการทดลอง วงจรนับรีเลย์	64
4.2.6 การทดลองและผลการทดลอง ใช้งานเครื่องชั่งและบรรจุเมล็ดพันธุ์	66
บทที่ 5 บทสรุป	68
5.1 บทสรุป	68
5.2 ปัญหาและแนวทางแก้ไข	68
5.2.1 ปัญหาในการสร้าง โครงเครื่องชั่งบรรจุภัณฑ์อัตโนมัติ	68
5.2.2 ปัญหาทางด้านการควบคุมการทำงาน	69
5.3 แนวทางการพัฒนา	70
ภาคผนวก ก เครื่องต้นแบบ	71
ภาคผนวก ข วงจรและแผ่นวงจรพิมพ์	80
ภาคผนวก ค รายการอุปกรณ์	91
ภาคผนวก ง แผนผังการทำงานและโปรแกรมควบคุม	96
ภาคผนวก จ คู่มือการใช้งาน	114
ภาคผนวก ฉ รายละเอียดและคุณสมบัติของอุปกรณ์	122
บรรณานุกรม	147
ประวัติผู้แต่ง	148

เอกสารนี้เป็นเอกสารที่สงวนไว้สำหรับการใช้งานเพื่อการศึกษาเท่านั้น ไม่อนุญาตให้นำไปใช้ประโยชน์ด้านการค้า  
ไม่ว่ากรณีใดๆ ทั้งสิ้น อีกทั้งห้ามมิให้ตัดแปลงเนื้อหา และต้องอ้างอิงถึงเจ้าของเอกสารทุกครั้งที่มีการนำไปใช้

## สารบัญตาราง

ตารางที่	หน้า
2.1 ชนิดเส้นลวดและสารยึดติด	5
2.2 ไมโครคอนโทรลเลอร์ตระกูล MCS-51 ของบริษัท Intel และบริษัท Atmel	19
2.3 รูปแบบของรหัสแสดงผลตัวเลขแบบ 7 ส่วน	39
4.1 ผลการทดลองโหลดเซลล์ตัวที่หนึ่งที่น้ำหนัก 0-20 กิโลกรัม	55
4.2 ผลการทดลองโหลดเซลล์ตัวที่สองที่น้ำหนัก 0-20 กิโลกรัม	56
4.3 ผลการทดลองวงจรแสดงผลแบบตัวเลข 7 ส่วน	58
4.4 ผลการทดลองการกดคีย์สวิตช์	62
4.5 ผลการทดลองการใช้งานเครื่องชั่งและบรรจุเม็ล็ดพันธุ์	66



## สารบัญรูป

รูปที่	หน้า
2.1 เกจความเครียดชนิดไม่ยืดคด	4
2.2 เกจความเครียดชนิดยืดคด	5
2.3 บริดจ์ของเกจความเครียด	6
2.4 กราฟอัตราส่วนแรงเคลื่อนไฟฟ้า	8
2.5 คีซีบริดจ์	9
2.6 เอซีบริดจ์	9
2.7 การชดเชยด้วยคัมมีเกจ	10
2.8 การจัดวางเกจความเครียดโดยใช้เกลียว 4 ตัว	10
2.9 รูปแบบการจัดวางที่เป็นไปได้สำหรับการวัดแรงดัน P	11
2.10 รูปแบบการจัดวางสำหรับกรวัดแรงดัน P โดยใช้คานยึดหมุน	12
2.11 การจัดวางในอีกลักษณะหนึ่ง	13
2.12 การสอบเทียบสำหรับการจัดวางบริดจ์แบบไม่สมดุล	13
2.13 การสอบเทียบโดยการชั่งน้ำหนักค้ำพัน	14
2.14 การสอบเทียบเกจความเครียดทางพลวัตโดยใช้ลูกเบ๊ยว	15
2.15 การสอบเทียบทางพลวัตโดยใช้ตุ้มน้ำสะเทือน	16
2.16 ชิ้นส่วนรับน้ำหนักแบบคาน	18
2.17 การใช้คริสตอลภายนอกต่อเข้ากับวงจรรอสซิลเลเตอร์ภายใน 8051	20
2.18 การตอบสนองของเวลาแปลงสัญญาณของ A/D คอนเวอร์เตอร์	21
2.19 ขบวนการแปลงสัญญาณดิจิทัลด้วย A/D คอนเวอร์เตอร์	22
2.20 วงจรแชนเปิ้ลแอนด์โฮลด์	22
2.21 การทำงานของวงจรรินทิเกรเตอร์	23
2.22 วงจรแปลงสัญญาณแอนะล็อกเป็นดิจิทัลแบบแรมป์	24
2.23 กราฟเอาต์พุตของวงจรถแปลงสัญญาณดิจิทัลเป็นแอนะล็อก และวงจรถแปลงสัญญาณแอนะล็อกเป็นดิจิทัล	24
2.24 คอนเวอร์เตอร์ซึ่งใช้เทคนิค	25
2.25 วงจรถแปลงสัญญาณดิจิทัลเป็นแอนะล็อกระหว่างการแปลงสัญญาณ	25
2.26 กฎของปาสกาล	27

## สารบัญรูป (ต่อ)

รูปที่	หน้า
2.27 ปริมาตรและความดันตามกฎของบอยล์	27
2.28 กฎของชาร์ล	28
2.29 กระบอกสูบชนิดทำงานทิศทางเดียว	30
2.30 กระบอกสูบชนิดทำงานทิศทางเดียว	31
2.31 โครงสร้างของกระบอกสูบชนิดทำงานทิศทางเดียว	31
2.32 กระบอกสูบชนิดทำงานสองทิศทาง	32
2.33 ภาพถ่ายของกระบอกสูบชนิดทำงานสองทิศทาง	32
2.34 กระบอกสูบชนิดทำงานสองทิศทางมีอุปกรณ์ป้องกันกระแทก (Cushion)	33
2.35 รีเลย์	34
2.36 โซลินอยด์วาล์วชนิด 2 รู	35
2.37 โซลินอยด์วาล์วชนิด 3 รู	35
2.38 วงจรควบคุมกระบอกสูบชนิดทิศทางเดียวด้วยโซลินอยด์วาล์วด้านเดียว	36
2.39 วงจรควบคุมกระบอกสูบชนิดสองทิศทางด้วยโซลินอยด์วาล์วด้านเดียว	37
2.40 ชื่อตำแหน่งของไดโอดเปล่งแสงในจอแสดงผลแบบ 7 ส่วน	39
3.1 แผนผังการทำงานของเครื่องจักรและบรรจุเม็ดดีพันธุ	40
3.2 วงจรควบคุมการทำงานหลัก	41
3.3 วงจรแสดงแบบตัวเลข 7 ส่วน	42
3.4 วงจรขยายแรงดันจากโพลคเซต	42
3.5 การออกแบบการใช้งานคีย์ของเมตริกซ์สวิตช์	43
3.6 ชื่อและรหัสของคีย์แบบเมตริกซ์สวิตช์	44
3.7 วงจรขับโซลินอยด์วาล์ว	44
3.8 วงจรแหล่งจ่ายไฟ	45
3.9 วงจรรวมสัญญาณจากโพลคเซต	45
3.10 ผังงานของโปรแกรมควบคุมการทำงานหลัก	46
3.11 ผังงานของโปรแกรมน้อยรับค่าจากอินดิเคเตอร์	47
3.12 ผังงานของโปรแกรมน้อยหน่วงเวลา	48
3.13 ผังงานของโปรแกรมน้อยแสดงผล 7-Segment	48

## สารบัญรูป (ต่อ)

รูปที่	หน้า
3.14 ผลงานของโปรแกรมย่อยแสดงผลแบบผลึกเหลว	49
3.15 ผลงานของโปรแกรมย่อยตรวจสอบคีย์	50
3.16 ผลงานของโปรแกรมย่อยแสดงผลฟังก์ชัน	51
3.17 แบบส่วนบรรจิวัดอุณหภูมิ	52
3.18 แบบส่วนควบคุมการโรยวัตถุดิบ	52
3.19 แบบส่วนควบคุมการชั่งตวง	53
3.20 ส่วนโครงหลักของเครื่อง	54
4.1 การติดตั้งโพลีคาร์บอเนต	56
4.2 วงจรแสดงผลแบบตัวเลข 7 ส่วน	58
4.3 บอร์ดแสดงผลแบบตัวเลข 7 ส่วน	59
4.4 การเชื่อมต่อวงจรแสดงผลแบบผลึกเหลวกับบอร์ดควบคุมการทำงานหลัก	60
4.5 ข้อมูลบนจอแสดงผลแบบผลึกเหลว	61
4.6 วงจรเมตริกซ์สวิตช์	63
4.7 การเชื่อมต่อวงจรเมตริกซ์สวิตช์กับบอร์ดควบคุมการทำงานหลัก	63
4.8 วงจรขั้วรีเลย์	64
4.9 การเชื่อมต่อวงจรขั้วรีเลย์กับบอร์ดควบคุมการทำงานหลัก	65
4.10 วงจรขั้วรีเลย์	65
4.11 เครื่องชั่งและบรรจุเมล็ดพันธุ์	67

# บทที่ 1

## บทนำ

### 1.1 ความเป็นมาและความสำคัญ

ในปัจจุบันเครื่องชั่งบรรจุเมล็ดพันธุ์ที่ใช้อยู่ในประเทศส่วนมาก จะนำเข้าจากต่างประเทศ ซึ่งมีราคาแพง โดยที่ความจำเป็นในการใช้เครื่องมืออยู่หลายระดับการใช้งานซึ่งการใช้เครื่องชั่งบรรจุเมล็ดพันธุ์ที่ไม่ต้องใช้เทคโนโลยีขั้นสูงสามารถที่จะผลิตได้เองในประเทศ แต่ไม่ได้แพร่หลายเท่าที่ควรและจำกัดอยู่ในวงแคบๆ จึงจำเป็นที่จะต้องถ่ายทอดเทคนิคต่างๆ เข้าสู่เกษตรกร และกลุ่มผู้ใช้ให้ได้มากที่สุด จึงได้มีการนำเสนอโครงการการสร้างเครื่องชั่งและบรรจุเมล็ดพันธุ์ขึ้นมา โดยใช้โพลีคาร์บอเนตเป็นตัวตั้งน้ำหนักของเมล็ดพันธุ์ ซึ่งทำให้ได้อัตราส่วนของปริมาณเมล็ดพันธุ์ที่แน่นอน และใช้โปรแกรมควบคุมการทำงานของเครื่อง ซึ่งทำให้ลดปริมาณของบุคลากรลงได้

### 1.2 ขีดความสามารถของโรงงาน

- 1) สามารถชั่งน้ำหนักได้สูงสุด 10 กิโลกรัม
- 2) สามารถกำหนดน้ำหนักในการชั่งได้ตั้งแต่ 1-10 กิโลกรัม
- 3) แสดงค่าน้ำหนักมีหน่วยเป็นกิโลกรัมและทศนิยม 2 ตำแหน่ง
- 4) ค่าผิดพลาดในการชั่งไม่เกิน 25 กรัม
- 5) สามารถเรียกดูข้อมูลการชั่งย้อนหลังได้
- 6) สามารถแสดงข้อมูลในการชั่งผ่านทางหน้าจอแสดงผลแบบผลึกเหลวและค่าน้ำหนัก

ผ่านทางหน้าจอแสดงผลแบบตัวเลข 7 ส่วน

### 1.3 เนื้อหาโดยสังเขป

เนื้อหาภายในปฏิญานិพนธ์ฉบับนี้แบ่งออกเป็นบทต่างๆ เพื่อสะดวกต่อการศึกษาและทำความเข้าใจ ในแต่ละบทจะประกอบด้วยเนื้อหาดังต่อไปนี้

บทที่ 1 กล่าวถึงความเป็นมาและความสำคัญของปฏิญานิพนธ์ ขีดความสามารถของโรงงาน และเนื้อหาในบทต่างๆ โดยสังเขป

บทที่ 2 ประกอบด้วยเนื้อหาทางทฤษฎีต่างๆ ที่เกี่ยวข้องในการสร้างโรงงานนี้ อันได้แก่

อุปกรณ์ทรานสดิวเซอร์ ทฤษฎีเกี่ยวกับโพลีคาร์บอเนต ไมโครคอนโทรลเลอร์ตระกูล MCS-51 ระบบ

เอกสารนี้เป็นเอกสารที่สงวนลิขสิทธิ์สำหรับใช้ในเพื่อการศึกษาเท่านั้น ไม่นำไปเผยแพร่โดยไม่ได้รับอนุญาต

ไม่ว่ากรณีใดๆ ทั้งสิ้น อีกทั้งห้ามมิให้ตัดแปลงเนื้อหา และต้องอ้างอิงถึงเจ้าของเอกสารทุกครั้งที่มีการนำไปใช้

นิวเมติกส์ กระบอกสูบลม โซลินอยด์วาล์ว ตัวแปลงสัญญาณแอนะล็อกเป็นสัญญาณดิจิทัล และ อุปกรณ์แสดงผลทางแสง

บทที่ 3 การออกแบบ การสร้าง และการทำงาน กล่าวถึง การออกแบบฮาร์ดแวร์ซึ่งได้แก่ โครงสร้างและส่วนประกอบต่างๆ ของเครื่องชั่งบรรจุเมล็ดพันธุ์ ภาคแสดงผลด้วยระบบดิจิทัล และภาคแสดงผลแบบแอลซีดี ตัวแปลงสัญญาณแอนะล็อกเป็นดิจิทัล และวงจรควบคุมระบบ นิวเมติกส์

บทที่ 4 การทดลองและผลการทดลอง กล่าวถึง การทดลองโพลีเซลล์ วงจรแสดงผล และวงจรควบคุมการทำงานของเครื่องชั่งและบรรจุเมล็ดพันธุ์

บทที่ 5 เป็นการสรุปผลการจัดทำโครงการ ปัญหาที่เกิดขึ้นและแนวทางการแก้ไขรวมทั้ง แนวทางการพัฒนา

ภาคผนวก ก แสดงภาพเครื่องต้นแบบ การติดตั้ง การเชื่อมต่อกับอุปกรณ์อื่นๆ ขณะใช้งานจริง

ภาคผนวก ข ประกอบด้วยผังรายละเอียดวงจรและแผ่นวงจรพิมพ์

ภาคผนวก ค แสดงรายการอุปกรณ์ที่ใช้งานในแต่ละวงจร

ภาคผนวก ง แสดงแผนผังการทำงานและรหัสต้นฉบับของโปรแกรมทั้งหมดที่สร้างขึ้น เพื่อประกอบการทำงานของโครงการ

ภาคผนวก จ เป็นคู่มือการใช้เครื่องชั่งและบรรจุเมล็ดพันธุ์

ภาคผนวก ฉ แสดงรายละเอียดและคุณสมบัติของอุปกรณ์สำคัญที่ใช้ในโครงการ

## บทที่ 2

### ทฤษฎีและหลักการ

#### 2.1 อุปกรณ์ทรานส์ดิวเซอร์

##### 2.1.1 เกจความเครียด

ทรานส์ดิวเซอร์ (Transducer) ชนิดนี้อยู่บนพื้นฐานที่ว่าถ้าตัวนำไฟฟ้าอันหนึ่งถูกขึงให้ตึงหรือถูกอัดตัวค่าความต้านทานของมันจะเปลี่ยนแปลง อันเนื่องจากการเปลี่ยนในความยาวพื้นที่หรือพิกัดความต้านทาน (Resistivity) ของมันค่าความต้านทาน  $R$  ของตัวนำไฟฟ้าอันหนึ่งมีพื้นที่หน้าตัด  $A$  และความยาว  $L$  มีพิกัดความต้านทานของวัสดุคือ  $\rho$

$$R = \frac{\rho l}{\mu A} \quad (2.1)$$

เกจแฟกเตอร์  $F$  ของตัวนำไฟฟ้าถูกนิยามเหมือนกัน

$$F = \frac{\Delta R/R}{\Delta L/L} = \frac{\Delta R/R}{\zeta} \quad (2.2)$$

เมื่อ  $R$  เป็นการเปลี่ยนแปลงของค่าความต้านทาน  $R$  เนื่องจากเกจความเครียด  $\zeta$  ซึ่ง

$$\zeta = \frac{\Delta L}{L} \quad (2.3)$$

ในทางปฏิบัติ ตัวนำไฟฟ้าที่ใช้มักอยู่ในรูปของเส้นลวดขนาดเล็กๆ หรือโลหะแผ่นบาง ทรานส์ดิวเซอร์เกจความเครียดสามารถแบ่งออกได้เป็น 2 ชนิดคือ

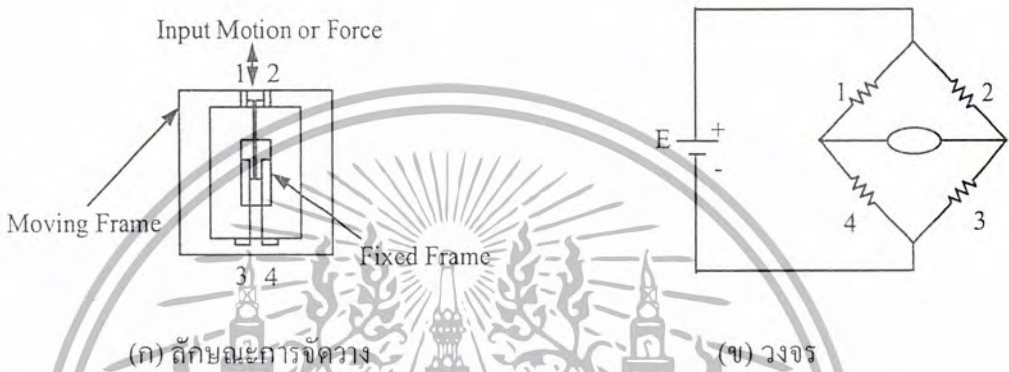
##### 1) เกจความเครียดชนิดไม่ยึดติด

เกจความเครียดชนิดนี้ ลวดค่าความต้านทานเส้นหนึ่งจะถูกขึงให้ตึงระหว่างเฟรม 2 เฟรม (Frame) เฟรมหนึ่งเป็นเฟรมเคลื่อนที่ ขณะที่อีกเฟรมหนึ่งอยู่กับที่ ดังแสดงในรูปที่ 2.1 (ก) ขนาดของเส้นลวดตามปกติแล้วมีความยาว 25 มิลลิเมตร และเส้นผ่านศูนย์กลาง 25 ไมโครเมตรเพลท

(Plate) ที่บีคองได้จะทำหน้าที่เช่นเดียวกับสปริงระหว่างเฟรมทั้งสอง เส้นลวดจะอยู่ภายใต้การป้อน

เอกสารนี้เป็นเอกสารที่สงวนไว้สำหรับการใช้งานเพื่อการศึกษาเท่านั้น ไม่อนุญาตให้นำไปเผยแพร่โดยไม่ได้รับอนุญาต  
ไม่ว่ากรณีใดๆ ทั้งสิ้น อีกทั้งห้ามมิให้ตัดแปลงเนื้อหา และต้องอ้างอิงถึงเจ้าของเอกสารทุกครั้งที่มีการนำไปใช้

โหลดตัวใหม่ซึ่งมากกว่าโหลดที่มีการอัดตัวที่ตั้งไว้ในครั้งแรก การเคลื่อนที่ของอินพุตที่แสดงในรูปที่ 2.1 จะขึงเส้นลวดที่ 1 และ 3 ให้ตึง ขณะเดียวกันก็จะลดความตึงในลวดเส้นที่ 2 และ 4 การเคลื่อนที่ในทิศทางตรงกันข้ามกันจะให้ผลที่ตรงกันข้ามด้วย เส้นลวดจะถูกนำมาต่อเข้ากับวงจรวีทสโตนบริดจ์ (Wheat stone Bridge) แสดงดังรูปที่ 2.1 (ก)



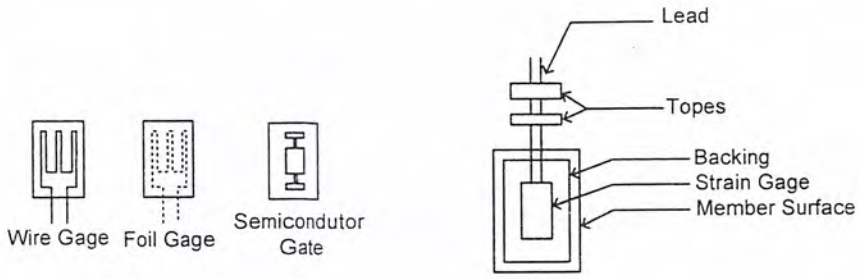
รูปที่ 2.1 เกจความเครียดชนิดไม่ยึดติด

โดยทรานส์ดิวเซอร์ชนิดนี้สามารถวัดการเคลื่อนที่ ที่มีขนาดเล็กมากๆ ถึง 5 ไมโครเมตร และแรงที่ขนาดเล็กมากๆ อีกด้วย ทรานส์ดิวเซอร์ชนิดนี้อาจนำไปใช้เพื่อการวัดแรงความดัน และความเร่งได้

## 2) เกจความเครียดชนิดยึดติด

ทรานส์ดิวเซอร์เกจความเครียดชนิดยึดติด ถูกใช้อย่างกว้างขวางเพื่อวัดสิ่งที่แปรเปลี่ยนไปทางกายภาพหลายๆ อย่างเช่น ความเครียด แรง แรงบิด ความดัน และการสั่นสะเทือน เป็นต้น เกจเหล่านี้จะทำด้วยวัสดุจำพวกโลหะหรือสารกึ่งตัวนำ และอยู่ในรูปของเกจเส้นลวด (เส้นผ่านศูนย์กลางประมาณ 25 มิลลิเมตร) หรือโลหะแผ่นบางๆ หรือแท่งเล็กๆ (ในกรณีของสารกึ่งตัวนำ) ดังแสดงในรูปที่ 2.2 เกจเหล่านี้มีกระดาษหรือวัสดุชนิดอื่นห่อหุ้ม เพื่อใช้ยึดติดกับพื้นผิวที่ต้องการวัดความเครียด ดังในรูปที่ 2.3 เมื่อยึดติดแล้วเกจจะได้รับความเครียดเหมือนกับความเครียดที่มีอยู่ในพื้นผิวนั้นเกจเหล่านี้มีความไวสูงมาก

เกจที่ทำจากโลหะผสมทองแดงและนิกเกิลจะมีเกจแฟกเตอร์ 2 – 3 ขณะที่เซมิคอนดักเตอร์เกจ (Semiconductor Gage) มีเกจแฟกเตอร์ 100 - 200 ตารางที่ 1 จะให้ข้อมูลเกี่ยวกับวัสดุห่อหุ้มเกจชนิดเส้นลวด (Wire Gage) และสารยึดติด (Foil Gage)



(ก) ชนิดของเกจความเครียด

(ข) การติดเกจความเครียด

รูปที่ 2.2 เกจความเครียดชนิดยึดติด

ตารางที่ 2.1 ชนิดเส้นลวดและสารยึดติด

วัสดุห่อหุ้มเกจ	สารยึดติด	ชนิดเส้นลวด	หมายเหตุ
กระดาษหรือไหม	Nitrocellulose	โลหะผสม Cu, Ni	ใช้ได้สูงถึง 60 องศา
เบคาไลท์	Epoxy	โลหะผสม Cu, Ni	ใช้ได้สูงถึง 200 องศา
Glass Weave	Ceramic cement	โลหะผสม Cr, Ni	ใช้ได้สูงถึง 400 องศา

กระแสที่ไหลผ่านเกจปกติจะถูกจำกัดอยู่ที่ 10 ถึง 30 มิลลิแอมป์ ขึ้นอยู่กับระยะเวลาในการทดสอบเพื่อป้องกันความเสียหายที่จะเกิดขึ้นกับเส้นลวด เกจที่ห่อหุ้มด้วยเบคาไลท์สามารถต้านทานกระแสที่มีค่าค่อนข้างสูงได้

จะต้องให้ความระมัดระวังขณะทำการติดเกจ พื้นที่ผิวที่ต้องการติดเกจจะต้องทำให้สะอาดตลอดเวลาหลังจากนั้นใส่สารยึดติดตามคำแนะนำของโรงงาน ผู้ผลิตแล้วทำการเชื่อมต่อกับขาของเกจและฉนวนเป็นลำดับสุดท้าย

### 2.1.2 บริดจ์ของเกจความเครียด

เกจความเครียดโดยปกติแล้วจะถูกต่อเป็นส่วนหนึ่งของวงจรวิสตโตนบริดจ์เพื่อว่าการเปลี่ยนแปลงในค่าความต้านทานของมัน อันเนื่องมาจากความเครียดจะได้วัดได้หรือเอาต์พุตที่สามารถนำไปแสดงผลหรือบันทึกผลได้ มีการจัดวางบริดจ์อยู่สองรูปแบบนั่นคือ

- 1) บริดจ์แบบสมดุล (Balanced Bridge)
- 2) บริดจ์แบบไม่สมดุล (Unbalanced Bridge)

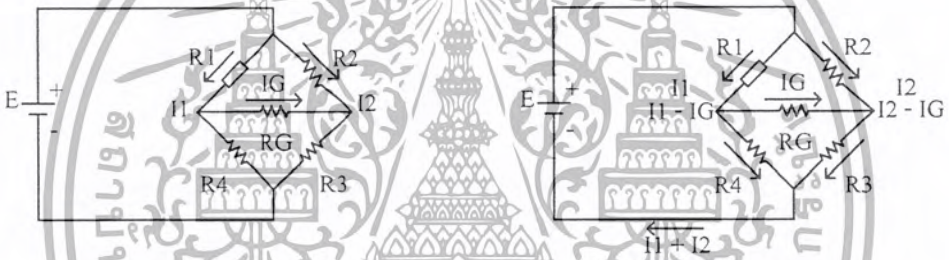
ในการจัดวางแบบสมดุลบริดจ์รูปที่ 2.3 ค่าความต้านทานของเกจความเครียด  $R_1$  เป็นแขนข้างหนึ่งของวิสตโตนบริดจ์ ขณะที่แขนที่เหลือมีค่าความต้านทาน  $R_2$ ,  $R_3$  และ  $R_4$  บริดจ์จะถูก

เอกสารนี้เป็นเอกสารที่สงวนไว้สำหรับการใช้งานเพื่อการศึกษาเท่านั้น ไม่อนุญาตให้นำไปใช้ประโยชน์ด้านการค้าไม่ว่ากรณีใดๆ ทั้งสิ้น อีกทั้งห้ามมิให้ตัดแปลงเนื้อหา และต้องอ้างอิงถึงเจ้าของเอกสารทุกครั้งที่มีการนำไปใช้

กระตุ้นด้วยแหล่งจ่ายไฟฟ้า E และ  $R_G$  เป็นค่าความต้านทานของกัลวาโนมิเตอร์ (Galvanometer) กล่าวได้ว่า สมดุล เมื่อไม่มีกระแสไหลผ่านกัลวาโนมิเตอร์เงื่อนไขของการสมดุลที่เรารู้จักดีคือ

$$\frac{R_1}{R_4} = \frac{R_2}{R_3} \tag{2.4}$$

ถ้า  $R_1$  มีการเปลี่ยนแปลงเนื่องจากความเครียด บริดจ์ซึ่งมีสมดุลในตอนต้นก็จะไม่สมดุล ดังนั้นอาจจะทำให้สมดุลได้อีกครั้งโดยการเปลี่ยนแปลงค่า  $R_4$  หรือ  $R_2$  การเปลี่ยนแปลงอันนี้สามารถวัดได้และถูกใช้เพื่อการแสดงการเปลี่ยนแปลงของ  $R_1$  ซึ่งมีความสัมพันธ์กับความเครียด ซึ่งเทคนิคนี้สามารถนำมาใช้เพื่อวัดความเครียดทางสถิติได้เพียงด้านเดียว



รูปที่ 2.3 บริดจ์ของเกจความเครียด

การจัดวางบริดจ์แบบไม่สมดุล ที่แสดงในรูปที่ 2.3 กระแสที่ไหลผ่านกัลวาโนมิเตอร์หรือแรงเคลื่อนไฟฟ้าที่ตกคร่อมกัลวาโนมิเตอร์ถูกใช้ เพื่อแสดงความเครียดในเกจความเครียด วิธีนี้สามารถใช้เพื่อวัดความเครียดทางพลวัตได้ดี เช่นเดียวกับการวัดความเครียดทางสถิติเพื่อแสดงถึงการได้มาของความสัมพันธ์ระหว่างกระแสเอาต์พุต ที่ไม่สมบรูณ์เกี่ยวกับการเปลี่ยนแปลงในค่าความต้านทานของเกจ  $R_1$  สามารถเขียนสมการได้ดังนี้

$$I_1 R_1 + R_4 (I_1 - I_G) = E \tag{2.5}$$

$$I_1 R_1 + I_G R_G - I_2 R_2 = 0 \tag{2.6}$$

$$I_G R_G + (I_2 + I_G) R_3 - (I_1 - I_G) R_4 = 0 \tag{2.7}$$

แก้สมการที่ (2.3), (2.4) และ (2.5) เพื่อหาค่า  $I_G$  เราจะได้

$$I_G = \frac{E(R_2 R_4 - R_1 R_3)}{[R_2(R_1 + R_4)(R_G + R_4 + R_3) + R_1 R_3 R_4 - R_2 R_4 - R_2 R_4 + R_G R_3 (R_1 + R_4)]} \tag{2.8}$$

เอกสารนี้เป็นเอกสารที่สงวนลิขสิทธิ์ การนำเอกสารนี้ไปเผยแพร่โดยไม่ได้รับอนุญาตให้ทำไปใช้ประโยชน์ด้านการค้าไม่ว่ากรณีใดๆ ทั้งสิ้น อีกทั้งห้ามมิให้ตัดแปลงเนื้อหา และต้องอ้างอิงถึงเจ้าของเอกสารทุกครั้งที่มีการนำไปใช้

จากสมการที่ (2.8) จะพบว่า  $I_G = 0$  เมื่อ  $2R_4 = R_1R_3$  ซึ่งสอดคล้องกับสมการที่ (2.5) จากสมการที่ (2.8) ค่ากระแสที่ไม่สมดุล  $I_G$  สามารถคำนวณได้สำหรับการเปลี่ยนแปลงใดๆ ในค่าความต้านทานของเกจความเครียด  $R_1$  สิ่งที่ได้เมื่อ  $R_1 = R_2 = R_3 = R_4$  เปลี่ยนแปลงเป็นค่าในสมการ  $R_1 + \Delta R_1$  เราจะพบว่าสมการที่ (2.8) คือ

$$I_G = \frac{-E\Delta R_1}{4R_1(R_1 + R_G)} \quad (2.9)$$

$$R_1 = \frac{EFS_1}{(R_1 + I_G)} \quad (2.10)$$

เมื่อเป็นความเครียดที่เกิดจาก  $R_1$  และ

$$SI = \frac{\Delta R_1}{R_{1F}} \quad (2.11)$$

F เป็นเกจแฟกเตอร์ของเกจความเครียดแรงเคลื่อนไฟฟ้าเอาต์พุตคร่อม

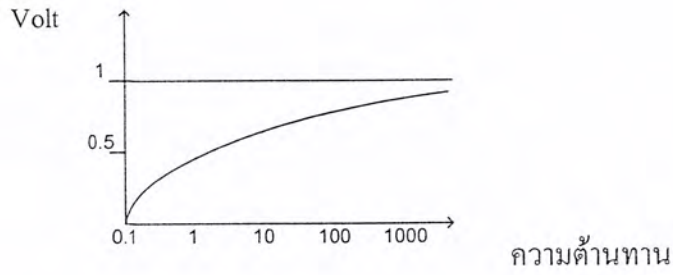
$$R_G(G_0) = I_G R_G \quad (2.12)$$

แรงเคลื่อนไฟฟ้าเอาต์พุตที่เปิดวงจร

$$(E'_0) = \frac{-EF_1}{4} \quad (2.13)$$

สมการนี้เกิดขึ้นจากการกำหนดให้  $R_G \rightarrow \infty$  ในสมการที่ (2.11)

อัตราส่วนของ แรงเคลื่อนไฟฟ้าที่เปิดวงจรถูกพล็อต (Plot) เทียบกับ  $R_G / R_1$  ในรูปที่ 2.4 เราจะพบว่า  $R_G$  จะต้องมีค่าน้อยหรือเท่ากับค่าความต้านทานของเกจความเครียด  $R_1$  เพื่อที่จะให้ได้เอาต์พุต  $E_0$  มากที่สุดเท่าที่จะเป็นไปได้



รูปที่ 2.4 กราฟอัตราส่วนแรงเคลื่อนไฟฟ้า

เมื่อแกนของวีทสโตนบริดจ์มีมากกว่าหนึ่งแกน บรรจุด้วยเกจความเครียดและค่าความต้านทานของมันเปลี่ยนแปลงเนื่องจากความเครียดเอาต์พุตที่ได้รับก็คือผลรวมของการเปลี่ยนแปลงเหล่านี้ นั่นคือรูปที่ 2.4 ถ้า  $R_2$  เปลี่ยนแปลงเป็น  $R_2 + \Delta R_2$  และในตอนเริ่มต้นกำหนดให้ค่าสมการ  $R_1 = R_2 = R_3 = R_4$  สมการที่ (2.9) จะกลายเป็น

$$I_G = \frac{-E\Delta R_2}{4R_2(R_1 + R_G)} \quad (2.14)$$

ดังนั้นถ้า  $R_1$  เปลี่ยนแปลงเป็น  $R_1 + \Delta R_1$  และ  $R_2$  เปลี่ยนเป็น  $R_2 + \Delta R_2$  ผลรวมของการเปลี่ยนแปลงคือ

$$I_G = -\frac{E}{4(R_1 + R_G)} \left[ \frac{\Delta R_1}{R_1} - \frac{\Delta R_2}{R_2} \right] \quad (2.15)$$

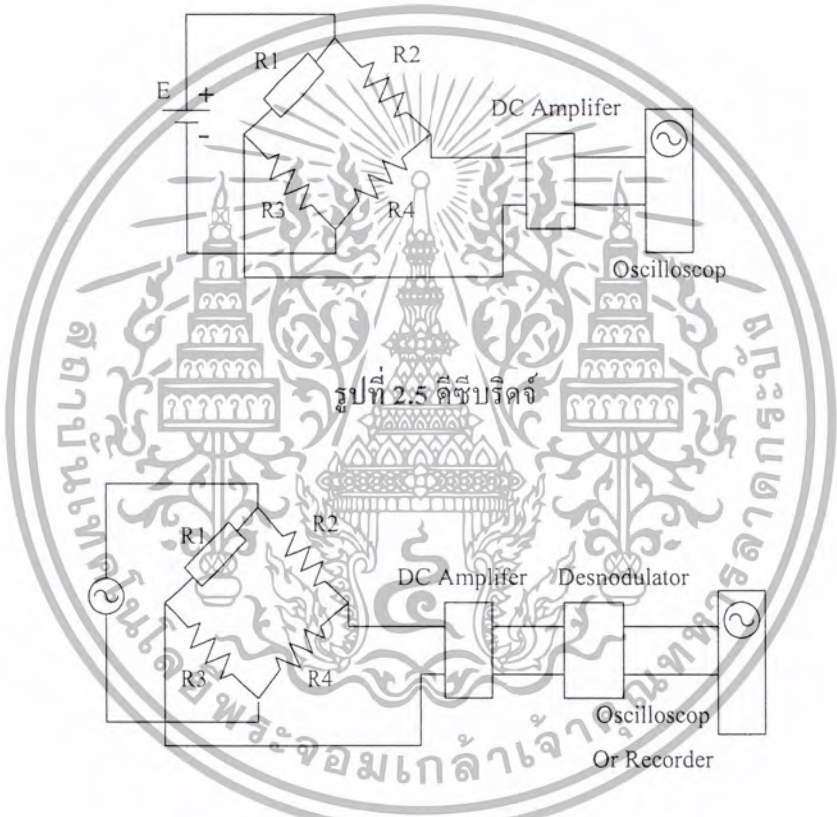
ในทำนองเดียวกัน ถ้าแกนของทั้ง 4 บริดจ์มีเกจความเครียดต่ออยู่ ซึ่งค่าความต้านทานของมันจะเปลี่ยนแปลงเนื่องจากความเครียดซึ่งจะพบว่า

$$I_G = -\left[ \frac{E}{4(R_2 + R_G)} \right] \left[ \frac{-\Delta R_1}{R_1} + \frac{\Delta R_2}{R_2} + \frac{\Delta R_3}{R_3} + \frac{\Delta R_4}{R_4} \right] \quad (2.16)$$

ด้วยเหตุนี้เราจะพบว่ากระแสเอาต์พุตจะเพิ่มขึ้นถ้าการเปลี่ยนแปลงของค่าความต้านทานได้  $\Delta R_2$  และ  $\Delta R_4$  และมีธรรมชาติที่เหมือนกับ  $\Delta R_3$  ดังนั้นแกนที่อยู่ใกล้ชิดกันของบริดจ์จะต้องมีความเครียดในธรรมชาติที่ตรงกันข้ามกันเพื่อให้เอาต์พุตมีขนาดใหญ่มากหรือเพิ่มความไวของบริดจ์ ซึ่ง

ต้องการให้ความสำคัญขณะจัดวางเกจความเครียดบนพื้นที่ที่ต้องการวัดในลักษณะที่ว่าถ้า  $R_1$  เป็นความไม่ว่ากรณีใดๆ ทั้งสิ้น อีกทั้งห้ามมิให้ตัดแปลงเนื้อหา และต้องอ้างอิงถึงเจ้าของเอกสารทุกครั้งที่มีการนำไปใช้

ตั้งเครื่อง  $R_2$  ควรจะเป็นความถี่เครื่อง  $R_3$  เป็นความถี่เครื่อง และ  $R_4$  ความถี่จะเป็นความถี่เครื่อง ดังนั้นเป็นไปได้อีกที่จะให้คำนิยามของคำว่า “แฟลคเตอร์สลับสัญญาณของบริดจ์” เหมือนกับค่าอัตราส่วนของเอาต์พุตสูงสุด เนื่องจากการเปลี่ยนแปลงในเกจความถี่เครื่องหลายๆ ตัวต่อเอาต์พุตสูงสุด ที่ได้รับการใช้เกจความถี่เครื่องเพียงตัวเดียวบนพื้นที่ที่ต้องการวัด หรือกล่าวอีกนัยหนึ่ง เกจที่มีมากกว่าหนึ่งตัว (ภายใต้ความถี่เครื่อง) ถูกจัดวางไว้อย่างเหมาะสม สามารถทำให้ความไวเพิ่มมากขึ้นหรือทำให้สัญญาณเพิ่มสูงขึ้น



รูปที่ 2.6 เอชีบริดจ์

การกระตุ้นบริดจ์อาจจะทำด้วยแหล่งจ่ายไฟกระแสตรงหรือแหล่งจ่ายไฟกระแสสลับ ตัววงจรที่ให้ไว้ในรูปที่ 2.5 และ 2.6 ในทั้งสองกรณี ตัวขยายเป็นสิ่งที่ต้องการ ในกรณีของเอชีบริดจ์สัญญาณเป็นแอมปริจูดมอดูเลต เหมือนแสดงในรูปที่ 2.6 ดังนั้นดีมอดูเลเตอร์จึงเป็นสิ่งที่ต้องการเพื่อการกรองความถี่พาหะ เอาต์พุตที่ได้จะเหมือนแสดงในรูปที่ 2.6 ดังนั้นดีมอดูเลเตอร์จึงเป็นสิ่งที่ต้องการทั้งสองชนิด เอชีบริดจ์จะไม่มีการเปลี่ยนแปลงที่เอาต์พุต เนื่องจากอุณหภูมิและไม่มีสัญญาณรบกวน ซึ่งตามปกติแล้วมักจะพบในคีชีบริดจ์ อย่างไรก็ตาม เอชีบริดจ์มีราคาแพงและ

การตอบสนองต่อความถี่สูงของมันถูกจำกัดที่ประมาณ 1 ใน 5 ของความถี่พาหะที่ใช้

### 2.1.3 การชดเชยอุณหภูมิ

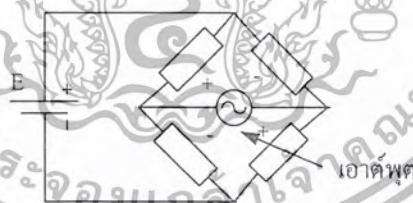
นอกจากความเครียดแล้ว การเปลี่ยนแปลงของอุณหภูมิจะมีผลทำให้เกิดการเปลี่ยนแปลงของค่าความต้านทานที่เกิดในเกจความเครียดด้วย แต่มันไม่สะดวกที่จะใช้การคำนวณเพื่อการแก้ไขอุณหภูมิ การแก้ไขและการชดเชยอุณหภูมิที่เพิ่มขึ้นโดยตัวของมันเองจะสะดวกกว่าซึ่งทำได้ดังนี้

#### 1) ดัมมี่เกจ (Dummy Gage)

แสดงดังรูปที่ 2.7 เกจค่าความต้านทาน  $R_2$  เท่ากับ  $R_1$  ถูกยึดติดบนแท่งของวัสดุชนิดเดียวกับแท่งวัสดุทดสอบ (Test Specimen) ซึ่งกำลังได้รับโหลด อย่างไรก็ตาม แท่งของวัสดุที่  $R_2$  ไม่ได้รับความเครียด แต่อยู่ภายใต้การเปลี่ยนแปลงของอุณหภูมิมิมีการเปลี่ยนแปลงไปพร้อมๆ กัน ขณะที่  $R_2$  คือ ดัมมี่เกจภายใต้การเปลี่ยนแปลงของอุณหภูมิตันเดียวกันด้วยเหตุที่  $R_1$  และ  $R_2$  เป็นแขนที่ใกล้ชิดกันของบริดจ์เอาต์พุตเนื่องจากอุณหภูมิเปลี่ยนแปลงจึงเป็นศูนย์ เพราะว่า  $R_1$  และ  $R_2$  มีการเปลี่ยนแปลงเนื่องจากอุณหภูมิเป็นจำนวนเท่ากัน



รูปที่ 2.7 การชดเชยด้วยดัมมี่เกจ



รูปที่ 2.8 การจัดวางเกจความเครียด โดยใช้เกจ 4 ตัว

#### 2) เกจมากกว่าหนึ่งตัวที่มีการจัดวางไว้อย่างเหมาะสม

เกจ  $R_2$  ไม่ได้เป็นดัมมี่เกจแต่ถูกวางไว้อย่างเหมาะสมบนแท่งวัสดุทดสอบเพื่อว่าเกจจะมีความเครียดในธรรมชาติตรงกันข้ามกับความเครียดใน  $R_1$  ในกรณีเช่นนี้จะทำให้ระบบมีความไวและมีการชดเชยอุณหภูมิไปพร้อมๆ กันแท้จริงแล้วถ้าแขนทั้ง 4 ของบริดจ์เป็นเกจใช้งานดังแสดงในรูปที่ 2.8 โดยแขนที่ใกล้ชิดของบริดจ์มีความเครียดในธรรมชาติที่ตรงกันข้าม สัญญาเอาต์พุตจะมีค่าสูงสุดและมีการชดเชยอุณหภูมิด้วย และเป็นเรื่องปกติที่ค่าความต้านทานเริ่มต้นของทุกๆ แขน

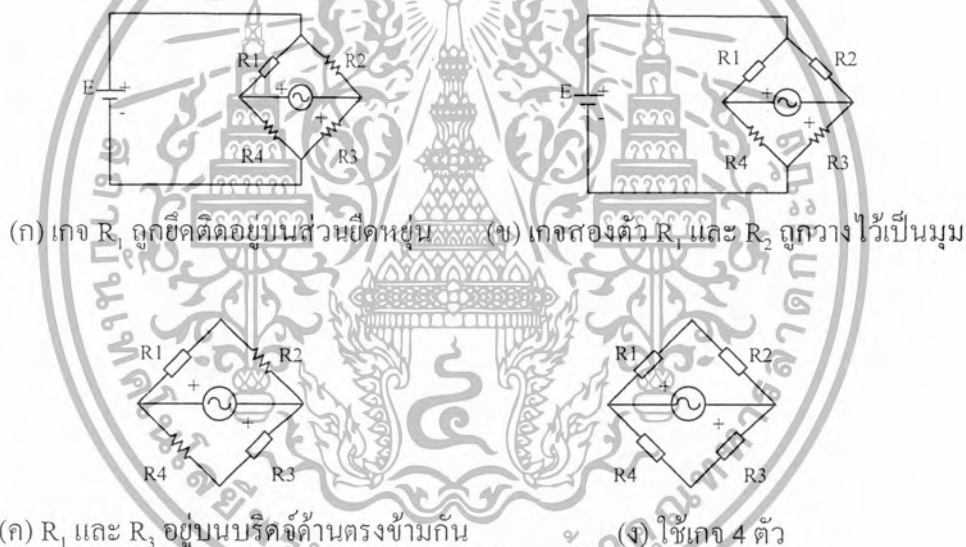
เอกสารนี้เป็นเอกสารของบริดจ์จะต้องมีค่าเท่ากัน การใช้งานเพื่อการศึกษาเท่านั้น ไม่อนุญาตให้นำไปใช้ประโยชน์ด้านการค้า ไม่ว่ากรณีใดๆ ทั้งสิ้น อีกทั้งห้ามมิให้ตัดแปลงเนื้อหา และต้องอ้างอิงถึงเจ้าของเอกสารทุกครั้งที่มีการนำไปใช้

การชดเชยอุณหภูมิเป็นเมื่อต้องการวัดความเครียดทางสถิติ เพราะว่าการเปลี่ยนแปลงของอุณหภูมิจะเป็นผลทำให้เกิดการเปลี่ยนแปลงที่สัญญาณเอาต์พุต ซึ่งการเปลี่ยนแปลงนี้จะน้อยมากสำหรับการวัดความเครียดของเกจทางพลวัต ซึ่งการวัดความเครียดทางพลวัตจึงไม่จำเป็นต้องมีการชดเชยอุณหภูมิ

#### 2.1.4 การจัดวางเกจความเครียด (Strain Arrangement)

มีปัจจัย 2 อย่าง ต่อไปนี้ที่ต้องคำนึงถึงขณะวางเกจความเครียดบนชิ้นส่วนยึดหยุ่นเพื่อวัดการเปลี่ยนแปลงทางกายภาพคือ

- 1) ความไวสูง
- 2) การชดเชยอุณหภูมิ



รูปที่ 2.9 รูปแบบการจัดวางที่เป็นไปได้สำหรับการวัดแรงดัน P

รูปแบบของการจัดวางเกจที่เป็นไปได้ของการวัดแรงดัน P ที่ป้อนเข้าไปที่ชิ้นส่วนยึดหยุ่น แสดงดังรูปที่ 2.9 (ก), (ข), (ค) และ (ง) โดยเกจความเครียดแสดงด้วยรูปสี่เหลี่ยมผืนผ้าในรูปที่ 2.9 (ก) เกจ  $R_1$  ถูกยึดติดอยู่บนส่วนยึดหยุ่น เพื่อวัดความเครียดตามแนวแกนในชิ้นส่วนยึดหยุ่นแต่ระบบไม่มีการชดเชยอุณหภูมิและเอาต์พุตจะขึ้นอยู่กับารเปลี่ยนแปลงของ  $R_1$  เพียงอย่างเดียว

ในการจัดวางตามรูปที่ 2.9 (ข) เกจสองตัว  $R_1$  และ  $R_2$  ถูกวางไว้เป็นมุมฉาก หรือเรียกว่า “การจัดวางแบบพอยสัน (Poisson's Arrangement)” ดังนั้น  $R_1$  จะเปลี่ยนแปลงเนื่องจากความดึงเครียดตามแนวแกน ขณะที่  $R_2$  เปลี่ยนแปลงจากความอัดเครียดตามแนวขวางในชิ้นส่วนยึดหยุ่น

โดยความเครียดอันหลังจะเป็นเงาของความเครียดอันแรก เมื่อ  $\nu$  หมายถึงอัตราส่วนของพอยสัน

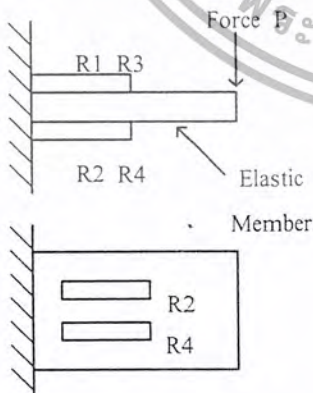
เอกสารนี้เป็นเอกสารที่สงวนลิขสิทธิ์ไว้เพื่อใช้เพื่อการศึกษาเท่านั้น มิอาจนำไปใช้เพื่อการพาณิชย์ การค้า

ไม่ว่ากรณีใดๆ ทั้งสิ้น อีกทั้งห้ามมิให้ตัดแปลงเนื้อหา และต้องอ้างอิงถึงเจ้าของเอกสารทุกครั้งที่มีการนำไปใช้

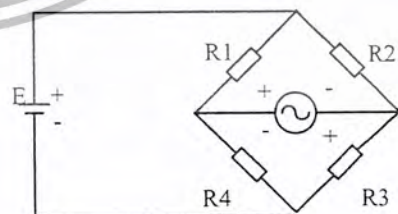
(Poisson's Ratio) แฟกเตอร์สนับสนุนสัญญาณจะเป็น  $(1 + \nu)$  เพราะค่าความต้านทานของ  $R_1$  และ  $R_2$  มีความเครียดในธรรมชาติที่ตรงกันข้าม และระบบมีการชดเชยด้วยเนื่องจากการเปลี่ยนแปลงของอุณหภูมิจะมีผลกระทบต่อ  $R_1$  และ  $R_2$  เท่าๆ กันจึงไม่มีผลต่อเอาต์พุต การจัดวางของรูปที่ 2.9 (ค) ซึ่งทั้ง  $R_1$  และ  $R_2$  อยู่ภายใต้ความดึงเครียดตามแนวแกนด้วยจำนวนที่เท่ากันและ  $R_1$  และ  $R_2$  ซึ่งถูกคิดไว้บนแกนของบริดจ์ด้านตรงข้ามกัน จึงให้แฟกเตอร์สนับสนุนสัญญาณเป็น 2 เท่า แต่จะไม่มีผลกระทบของอุณหภูมิ ดังนั้นการจัดวางแบบนี้จึงต้องการสองดัมมีเกจเพื่อทำให้เกิดความมั่นใจในเรื่องการชดเชยอุณหภูมิ

การจัดวางของรูปที่ 2.9 (ง) ซึ่งใช้เกจ 4 ตัวโดย  $R_3$  และ  $R_4$  ถูกจัดวางไว้เป็นมุมฉากกับ  $R_1$  และ  $R_2$  จะให้แฟกเตอร์สนับสนุนสัญญาณเป็น  $2(1 + \nu)$  และมีการชดเชยการเปลี่ยนแปลงของอุณหภูมิ

อีกตัวอย่างหนึ่งแรงดัน  $P$  สามารถวัดได้โดยใช้คานยืดหยุ่น (Elastic Cantilever) ดังแสดงในรูปที่ 2.10 (ก) เกจความเครียดถูกยึดติดที่โคนของคาน ตรงที่ความเครียดของการโค้งมากที่สุด  $R_1$  และ  $R_2$  มีความดึงเครียด ขณะที่  $R_3$  และ  $R_4$  มีความอัดเครียด การจัดวางบริดจ์ของรูปที่ 2.10 (ข) จะให้แฟกเตอร์สนับสนุนสัญญาณเป็น 4 และมีการชดเชยอุณหภูมิด้วย การจัดวางในลักษณะอื่นดังแสดงในรูปที่ 2.11 (ก) ซึ่ง  $R_1$  และ  $R_2$  ถูกยึดติดตามการจัดวางของพอยสันและตัวนี้ก็ใช้กับ  $R_1$  และ  $R_2$  ด้วย การจัดวางของบริดจ์ดังรูปที่ 2.11 (ข) แกนที่ติดกันจะมีความเครียดในธรรมชาติที่อยู่ด้านตรงกันข้าม แม้ว่าจะมีขนาดไม่เท่ากันก็ตาม การจัดวางของรูปที่ 2.11 (ข) จะให้แฟกเตอร์สนับสนุนสัญญาณเป็น  $2(1 + \nu)$  เมื่อเป็นอัตราส่วนของพอยสันและอุณหภูมิก็จะถูกชดเชยด้วย



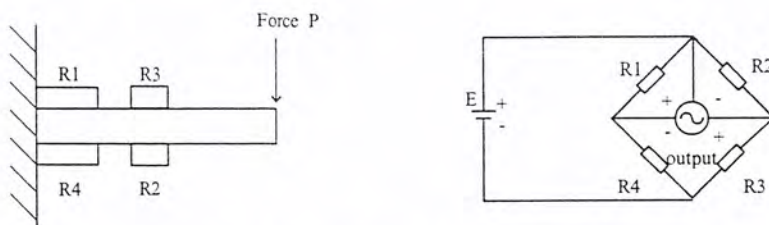
(ก) ลักษณะการจัดวาง



(ข) วงจรที่ใช้ทดสอบ

รูปที่ 2.10 รูปแบบการจัดวางสำหรับการวัดแรงดัน  $P$  โดยใช้คานยืดหยุ่น

เอกสารนี้เป็นเอกสารที่สงวนไว้สำหรับการใช้งานเพื่อการศึกษาเท่านั้น ไม่อนุญาตให้นำไปใช้ประโยชน์ด้านการค้า ไม่ว่ากรณีใดๆ ทั้งสิ้น อีกทั้งห้ามมิให้ตัดแปลงเนื้อหา และต้องอ้างอิงถึงเจ้าของเอกสารทุกครั้งที่มีการนำไปใช้



รูปที่ 2.11 การจัดวางในอีกลักษณะหนึ่ง

2.1.5 การสมดุลของบริดจ์

บริดจ์ต้องทำให้สมมูลในตอนเริ่มต้น อย่างไรก็ตามในทางปฏิบัติ ค่าความต้านทานที่แขนทั้ง 4 อาจจะไม่เท่ากัน วิธีใดวิธีหนึ่งต่อไปนี้จะถูกนำมาเพื่อใช้ในการสมดุลบริดจ์

1) วิธีการสมดุลแบบอนุกรม (Series Balancing Method)

โดยใช้ความต้านทานเอเป็ค (Apex Resistor) แสดงในรูปที่ 2.12 เนื่องจากการเคลื่อนที่ที่จุดสัมผัสของความต้านทานเอเป็ค ถ้าที่  $R_x$  เพิ่มขึ้นเป็น  $rR_x$  ก็จะได้ลดลงเป็น  $r$  ด้วย

2) วิธีการสมดุลแบบขนาน (Parallel Balancing Method)

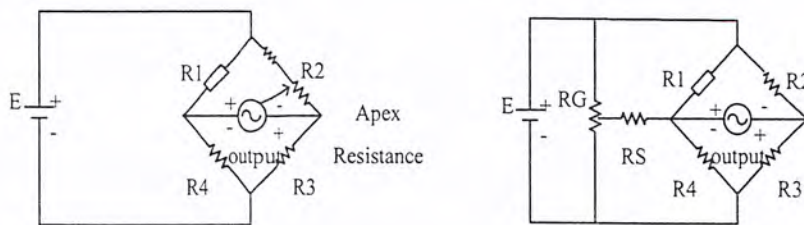
บริดจ์สามารถทำให้สมดุลได้โดย การเคลื่อนที่ที่จุดสัมผัส

2.1.6 การสอบเทียบ

การสอบเทียบกลายเป็นสิ่งที่จำเป็นสำหรับการจัดวางวงจรบริดจ์แบบไม่สมดุลซึ่งเอาต์พุตของบริดจ์จากความเครียดของเกจความเครียด การสอบเทียบอาจทำได้ทั้งทางไฟฟ้าและทางกลวิธีการทางไฟฟ้าโดยปกติจะสร้างขึ้นในวงจรของบริดจ์ความเครียด สามารถพบเห็นได้โดยทั่วไป

1) วิธีการทางไฟฟ้า

วิธีแรกการเปลี่ยนแปลงของค่าความต้านทานที่แขนอาจเลียนแบบโดยการใช้ความต้านทานเอเป็คของรูปที่ 2.12 มีความเป็นไปได้ที่จะสอบเทียบความต้านทานเอเป็คในเทอมของความเครียด ในเกจตัวเดียว (สมมุติว่าเป็น  $R_x$ ) ความสามารถอันนี้แสดงดังนี้



(ก) การใช้ความต้านทานเพื่อการสมดุลและการสอบเทียบ (ข) การจัดวางสมดุลแบบขนาน

เอกสารนี้เป็นเอกสารที่สงวนไว้สำหรับการใช้งานเฉพาะที่ควรพิจารณาถึงข้อควรระวังในการนำไปใช้ประโยชน์ด้านการค้า  
รูปที่ 2.12 การสอบเทียบสำหรับการจัดวางบริดจ์แบบไม่สมดุล  
ไม่ว่ากรณีใดๆ ทั้งสิ้น อีกทั้งห้ามมิให้ตัดแปลงเนื้อหา และต้องอ้างอิงถึงเจ้าของเอกสารทุกครั้งที่มีการนำไปใช้

จากรูปที่ 2.12 ถ้าปริคจ์ทำให้สมดุลในตอนแรกนั้นคือ

$$\frac{R_1}{R_4} = \frac{R_2}{R_3} = 1 \tag{2.17}$$

จากนั้นค่าความต้านทานเปลี่ยนแปลงไป นั่นคือ  $R_2$  เพิ่มขึ้นเป็น  $R_2 + r$  และ  $R_3$  ลดลงเป็น  $R_3 + r$  ปริคจ์เปลี่ยนเป็นไม่สมดุล แต่ค่าของ  $R_1$  สอดคล้องกับการเปลี่ยนแปลงข้างต้น

$$\frac{R_1 + \Delta R_1}{R_4} = \frac{R_2 + r}{R_3 - r} \tag{2.18}$$

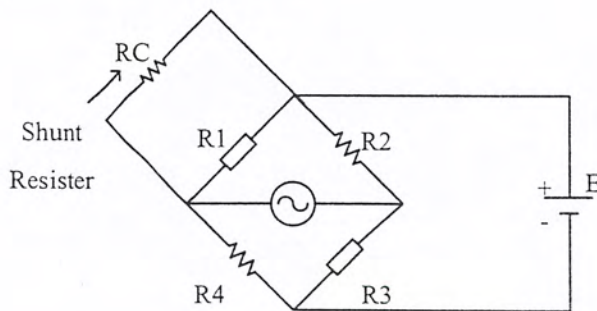
$$\frac{\Delta R_1}{R_1} = \frac{2x}{1-x} \tag{2.19}$$

จากนั้นความต้านทานเปิดสามารถสอบเทียบได้ในเทอมของ  $\Delta R_1/R_1$  หรือความเครียด (๕) ถ้ารู้ค่าเกจแฟกเตอร์ การสอบเทียบทางจรไฟฟ้าวิธีที่สองโดยการใช้ค่าความต้านทานขนาน ดังแสดงในรูปที่ 2.13 ถ้าตัวต้านทานขนาน  $R_C$  ถูกต่อขนานกับเกจความเครียด  $R_1$  การเปลี่ยนแปลง

$$\Delta R_1 = R_1 - R_1 // R_C \tag{2.20}$$

หรือเราอาจเขียนสมการใหม่เป็น

$$\frac{\Delta R_1}{R_1} = \frac{\Delta R_1}{R_1 + R_3} \approx \frac{R_1}{R_C} \text{ ถ้า } R_C \gg R_1 \tag{2.21}$$

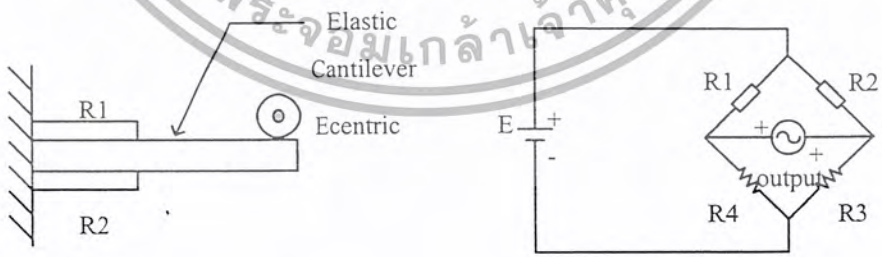


เอกสารนี้เป็นเอกสารที่สงวนไว้สำหรับรูปที่ 2.13 การสอบเทียบโดยการขนานตัวต้านทานหน้าไปใช้ประโยชน์ด้านการค้า ไม่ว่าจะกรณีใดๆ ทั้งสิ้น อีกทั้งห้ามมิให้ดัดแปลงเนื้อหา และต้องอ้างอิงถึงเจ้าของเอกสารทุกครั้งที่มีการนำไปใช้

ซึ่งโดยทั่วๆ ไปสำหรับ  $\Delta R_i/R_i$  มีค่าน้อยมากๆ ดังนั้น การเปลี่ยนแปลงที่เอาต์พุตซึ่งเป็นผลมาจากการต่อ RC ขนานกับค่าความต้านทาน  $R_1$  สามารถวัดได้ หรือมีความสัมพันธ์กับค่าของ  $\Delta R_i/R_i$  หรือความเครียดในการทดสอบทางกล สำหรับการสอบเทียบแบบคงที่สามารถนำมาใช้ได้โดยตรงและความเครียดสามารถคำนวณได้และมีความสัมพันธ์กันเอาต์พุต

2) วิธีทางพลวัต

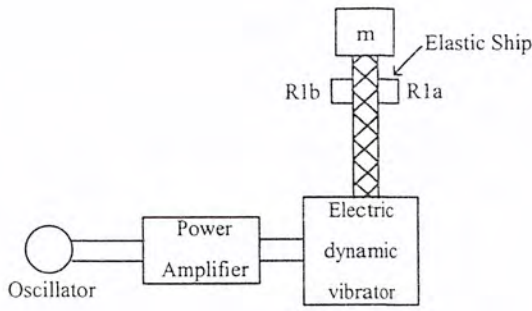
การสอบเทียบทางพลวัตมีสองวิธี ซึ่งวิธีแรกจะใช้การหมุนของลูกเบี้ยวในรูปที่ 2.14 และวิธีหลังจะใช้ตัวสั่นสะเทือนในรูปที่ 2.15 คาบยึดหยุ่นถูกใช้เหมือนกันอุปกรณ์ยึดหยุ่น ความเครียดที่แท้จริงสามารถคำนวณได้และเฟสเคอร์ของการสอบเทียบซึ่งมีความสัมพันธ์กับ เอาต์พุตและความเครียดสามารถคำนวณได้ดังรูปที่ 2.15 ความถี่แอมพลิจูดของตัวสั่นสะเทือนสามารถคำนวณได้ เพราะว่าแรงอย่างไซน์ซุซออยด์ (Sinusoidal) โดยมวล  $m$  ถูกข้อนไปที่แท่งยึดหยุ่น (Elastic strip) เป็น  $m\omega^2 \times 0$  เมื่อ  $\omega$  เป็นเซอร์กัลาร์ฟรีควเอนซี (Circular Frequency) ของการสั่น และ 0 เป็นแอมพลิจูดของมวลที่เคลื่อนที่ซึ่งจำเป็นที่จะต้องถูกวัดโดยทรานส์ดิวเซอร์เคลื่อนที่ใดๆ ที่อธิบายไปแล้ว ตรงข้ามกับวิธีนี้เอาต์พุตของบริดจ์สามารถวัดได้ ในรูปที่ 2.15 ทั้ง  $R_{1A}$  และ  $R_{1B}$  ถูกจัดวางเป็นแขนข้างหนึ่งของวิทสโตนบริดจ์ การกระทำเช่นนี้เพื่อการจัดผลของการโค้งงอใดๆของแท่งยึดหยุ่นการโค้งงอในแท่งยึดหยุ่นการโค้งงอจะมีการเปลี่ยนแปลงที่เหมือนกันแต่ในธรรมชาติที่ตรงกันข้ามของ  $R_{1A}$  และ  $R_{1B}$  ทำให้ค่าความต้านทานรวมของแขนไม่เปลี่ยนแปลง ดังนั้นก็จะตอบสนองความเครียดอันเนื่องมาจากแรงทางพลวัตที่ได้จากการเคลื่อนที่ของมวล  $m$  เพียงอย่างเดียว ดังรูปที่ 2.14



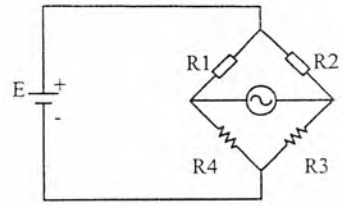
(ก) ลักษณะการสอบเทียบ

(ข) วงจรที่ใช้ในการสอบเทียบ

รูปที่ 2.14 การ สอบเทียบเกจความเครียดทางพลวัต โดยใช้ลูกเบี้ยว



(ก) ลักษณะการสอบเทียบ



(ข) วงจรที่ใช้ในการสอบเทียบ

รูปที่ 2.15 การสอบเทียบทางพลวัตโดยใช้ตัวสั่นสะเทือน

### 2.1.7 ทรานส์ดิวเซอร์แบบหลักการของแรง

ทรานส์ดิวเซอร์นี้ใช้สำหรับเปลี่ยนแรงทางกายภาพให้เป็นสัญญาณไฟฟ้าแรงสามารถแบ่งออกเป็น 2 ประเภทใหญ่ๆ

#### 1) แรงจลน์

เป็นแรงที่ทำให้วัตถุเปลี่ยนแปลงความเร็วในการเคลื่อนที่ เช่น แรงที่กระทำบนข้อมือหุ่นยนต์เนื่องจากความเร่งของมวลของวัตถุในระหว่างการบังคับให้เคลื่อนที่

#### 2) แรงสถิตย์

เป็นแรงที่กระทำบนวัตถุโดยไม่เกี่ยวข้องกับการเคลื่อนที่ เช่น แรงที่กระทำโดยคริปเปอร์ของหุ่นยนต์บนผิวของวัตถุในระหว่างการจัดการกับวัตถุ

การวัดแรงต่างๆ ทรานส์ดิวเซอร์จะเปลี่ยนพลังงานกลเป็นพลังงานไฟฟ้า โดยการวัดการเปลี่ยนแปลงรูปร่างทางกายภาพของทรานส์ดิวเซอร์ ซึ่งแรงเป็นตัวการทำให้เกิดขึ้น

## 2.2 ทฤษฎีพื้นฐานเกี่ยวกับโหนดเซลล์

จากหลักการทำงานของโหนดเซลล์ มีโครงสร้างประกอบด้วยส่วนต่างๆ ที่สำคัญคือ ชั้นรับน้ำหนักสเตรนเกจ (Strain gauge) แบบค่าความต้านทาน และภาคปรับแต่งสัญญาณ เพื่อนำสัญญาณจากโหนดเซลล์ไปใช้งานและทฤษฎีพื้นฐานต่างๆ เพื่อนำไปเป็นข้อมูลสำหรับงานวิจัยโหนดเซลล์แบบค่าความต้านทานต่างๆมีดังนี้

### 2.2.1 ชั้นส่วนรับน้ำหนัก

ชั้นส่วนรับน้ำหนักทำหน้าที่รับน้ำหนักของแรงที่มากระทำต่อโหนดเซลล์ ซึ่งจะเกิดการยืดหรือหดตัวในเนื้อวัสดุทำให้เกิดความเค้นและความเครียดขึ้น โดยทั่วไปแล้วชั้นส่วนรับน้ำหนัก

เอกสารนี้เป็นเอกสารที่สงวนลิขสิทธิ์ไว้เพื่อประโยชน์ในการค้าไม่ว่ากรณีใดๆ ทั้งสิ้น อีกทั้งห้ามมิให้ตัดแปลงเนื้อหา และต้องอ้างอิงถึงเจ้าของเอกสารทุกครั้งที่มีการนำไปใช้

ต้องไม่มีการยืดหรือหดตัวอย่างถาวรขณะรับแรงที่มากกระทำ จากกฎของฮุกจะให้ความสัมพันธ์ระหว่างแรง (น้ำหนัก) ที่กระทำต่อชิ้นส่วนรับน้ำหนักกับค่าความเครียดดึง Rangan ได้แสดงความสัมพันธ์ดังกล่าวไว้ดังนี้

$$E = \frac{\sigma}{\epsilon} = \frac{F/A}{\Delta l/l} \quad (2.22)$$

- เมื่อ
- E คือ โมดูลัสแห่งความยืดหยุ่น ( $N / (mm)^2$ )
  - $\sigma$  คือ ความเค้น ( $N / (mm)^2$ )
  - $\epsilon$  คือ ความเครียด
  - F คือ แรงที่กระทำ (N)
  - A คือ พื้นที่หน้าตัดของชิ้นส่วนรับน้ำหนัก ( $(mm)^2$ )
  - l คือ ความยาวเดิมของชิ้นส่วนรับน้ำหนัก (mm)
  - $\Delta l$  คือ ความยาวที่เปลี่ยนไปของชิ้นส่วนรับน้ำหนัก (mm)

โดยการเลือกรูปร่างและชนิดของวัสดุ ที่ใช้ทำชิ้นส่วนรับน้ำหนักให้เหมาะสมแล้วจะได้รับความสัมพันธ์ระหว่างการเปลี่ยนแปลงขนาดและแรงดึงในลักษณะเชิงเส้น ซึ่งวัสดุที่ใช้นี้ควรมีคุณสมบัติดังนี้

- 1) มีความสัมพันธ์ ระหว่างความเค้น และความเครียดเป็นเชิงเส้นอยู่ในช่วงกว้างๆ
- 2) มีสเตรนฮิสเทอรีซิส (Strain Hyteresis) ต่ำเมื่อรับโหลดซ้ำๆกัน
- 3) มีครีป (Creep) น้อย เมื่อรับโหลดนานๆกล่าวคือ มีการเปลี่ยนแปลงของความเครียดต่อเวลาต่ำในขณะที่มีความเค้นคงที่

วัสดุที่ใช้เป็นชิ้นส่วนรับน้ำหนักมักก็จะใช้เหล็กคาร์บอนปานกลางผสม โครเมียม (Chromium) และ โมลิบดีนัม (Molybdenum) ส่วนรูปร่างของชิ้นส่วนรับน้ำหนักที่นิยมใช้กันนั้นจะมีรูปร่างแตกต่างกันออกไป ตามขนาดของ โหลดที่ใช้รับน้ำหนักเช่น

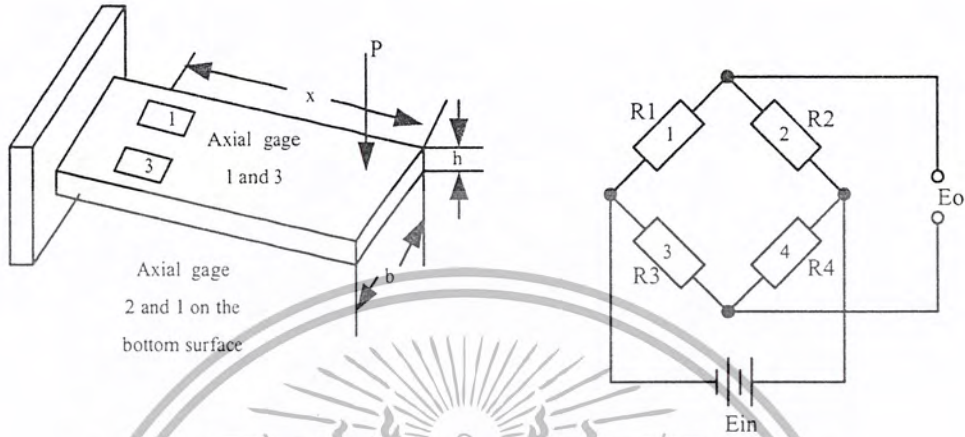
**1) แบบคาน (Cantilever beam)**

ชิ้นส่วนรับน้ำหนักแบบคานนี้จะเป็นแบบที่ง่ายที่สุด ดังแสดงในรูปที่ 2.16 โดยจะยึดปลายด้านหนึ่งไว้ ในขณะที่ปลายอีกด้านหนึ่งจะทำหน้าที่รับน้ำหนัก เมื่อมีแรงมากระทำที่ปลายคาน จะเกิดโมเมนต์ดัดขึ้นซึ่งเป็นอัตราส่วน โดยตรงกับแรงที่มากกระทำ ความเครียดสูงสุด จะเกิดขึ้นที่ปลายคานด้านที่ยึดไว้ โดยจะคิดสเตรนเกจไว้ที่บริเวณนี้เพื่อวัดความเครียดของคาน โดยเกจ 1 และ 3

ติดอยู่บนด้านบนของคานเพื่อวัดความเครียดดึง (tensile strains) เกจ 2 และ 4 ติดอยู่ที่ผิวด้านล่าง

เอกสารนี้เป็นเอกสารที่สงวนไว้สำหรับการใช้งานเพื่อการศึกษาเท่านั้น ไม่อนุญาตให้นำไปใช้ประโยชน์อื่นใด ๆ ทั้งสิ้น อีกทั้งห้ามมิให้ตัดแปลงเนื้อหา และต้องอ้างอิงถึงเจ้าของเอกสารทุกครั้งที่มีการนำไปใช้

สำหรับวัดความเครียดอัด (compressive strains) โดยสเตรนเกจทั้ง 4 คู่กันแบบ วิทสโตนบริดจ์ (Wheatstone bridge)



รูปที่ 2.16 ชิ้นส่วนรับน้ำหนักแบบคาน

ความเครียดที่เกิดขึ้นในชิ้นส่วนรับน้ำหนัก หาได้จากสมการที่ Dally ให้ไว้ดังนี้

$$\epsilon_1 = -\epsilon_2 = \epsilon_3 = -\epsilon_4 = \frac{6M}{Ebh} = \frac{6Fx}{Ebh^2} \quad (2.23)$$

- เมื่อ  $\epsilon_1, \dots, \epsilon_4$  ความเครียดที่สเตรนเกจวัดได้ (มิลลิเมตร / มิลลิเมตร)
- M โมเมนต์ดัด (นิวตัน / มิลลิเมตร)
- F แรงที่กระทำ (นิวตัน)
- x ระยะห่างจากตำแหน่งสเตรนเกจถึงแรง F (มิลลิเมตร)
- E โมดูลัสแห่งความยืดหยุ่นของวัสดุ (นิวตัน / (มิลลิเมตร)<sup>2</sup>)
- b ความกว้างพื้นที่หน้าตัดของคาน (มิลลิเมตร)
- h ความสูงพื้นที่หน้าตัดของคาน (มิลลิเมตร)

### 2.3 คุณสมบัติของไมโครคอนโทรลเลอร์ตระกูล MCS-51

- 1) เป็นไมโครคอนโทรลเลอร์ที่ใช้ซีพียูขนาด 8 บิต
- 2) ภายในมีหน่วยความจำเป็นแบบแฟลชสามารถลบและเขียนใหม่ได้พันครั้ง
- 3) หน่วยความจำข้อมูลพื้นฐานเป็นหน่วยความจำแบบ RAM ในบางเบอร์จะมีหน่วย

ความจำแบบ EPROM เพิ่มเติม

เอกสารนี้เป็นเอกสารที่สงวนไว้สำหรับการใช้งานเพื่อการศึกษาเท่านั้น ไม่อนุญาตให้นำไปใช้ประโยชน์ด้านการค้า ไม่ว่าจะกรณีใดๆ ทั้งสิ้น อีกทั้งห้ามมิให้ตัดแปลงเนื้อหา และต้องอ้างอิงถึงเจ้าของเอกสารทุกครั้งที่มีการนำไปใช้

- 4) ขาพอร์ตเป็นแบบสองทิศทาง สามารถใช้งานเป็นได้ทั้งอินพุตและเอาต์พุต
- 5) มีไทมเมอร์/เคาเตอร์ขนาด 16 บิต 2 ตัว
- 6) สามารถอินเทอร์รัพท์ได้ 5 แหล่ง
- 7) มีวงจรกำเนิดสัญญาณนาฬิกาอยู่ในชิพ
- 8) มีพอร์ตอนุกรมที่สามารถรับส่งข้อมูลแบบฟูลดูเพลกซ์ความเร็วสูง
- 9) สามารถประมวลผลทีละบิตได้
- 10) อ้างหน่วยความจำโปรแกรมภายนอกได้ 64 K
- 11) อ้างหน่วยความจำข้อมูลภายนอกได้ 64 K
- 12) สามารถอ้างหน่วยความจำแบบบิตได้ 210 บิต

ในตารางที่ 2.2 แสดงถึงคุณสมบัติบางส่วนของไมโครคอนโทรลเลอร์ตระกูล MCS-51 ของบริษัท Intel และบริษัท Atmel รุ่นต่างๆที่นิยมใช้กัน

ตารางที่ 2.2 ไมโครคอนโทรลเลอร์ตระกูล MCS-51 ของบริษัท Intel และบริษัท Atmel

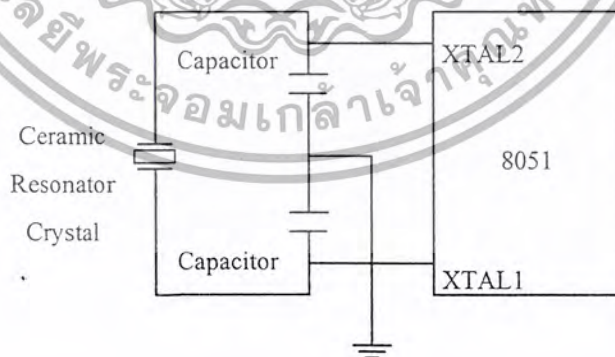
เบอร์	หน่วยความจำโปรแกรมภายใน	หน่วยความจำข้อมูลภายใน	วงจรรีบ/จับเวลา 16 บิต
8031	—	128 ไบต์ (RAM)	2
8032	—	256 ไบต์ (RAM)	3
8051	4 กิโลไบต์ (ROM)	128 ไบต์ (RAM)	2
8052	8 กิโลไบต์ (ROM)	256 ไบต์ (RAM)	3
8751	4 กิโลไบต์ (EPROM)	128 ไบต์ (RAM)	2
8752	8 กิโลไบต์ (EPROM)	256 ไบต์ (RAM)	3
AT89C1051	1 กิโลไบต์ (FLASH)	64 ไบต์ (RAM)	1
AT89C2051	2 กิโลไบต์ (FLASH)	128 ไบต์ (RAM)	2
AT89C51	4 กิโลไบต์ (FLASH)	128 ไบต์ (RAM)	2
AT89C52	8 กิโลไบต์ (FLASH)	256 ไบต์ (RAM)	3
AT89C55	20 กิโลไบต์ (FLASH)	256 ไบต์ (RAM)	3
AT89S8252	8 กิโลไบต์ (FLASH)	256 ไบต์ (RAM) 2 กิโลไบต์ (EEPROM)	3
AT89S53	12 กิโลไบต์ (FLASH)	256 ไบต์ (RAM)	3

## 2.4 ฐานเวลาในการทำงานของซีพียูภายใน 8051

8051 มีวงจรรอสซิลเลเตอร์อยู่ภายใน สำหรับการสร้างพัลส์ของสัญญาณนาฬิกาซึ่งจะนำไปเป็นฐานเวลา หรือการกำหนดจังหวะการทำงานของหน่วยการทำงานทั้งหมดให้สอดคล้องกัน โดยปกติแล้วมักจะทำโดยการใช้คริสตอลเชื่อมต่อเข้ากับสัญญาณ XTAL1 และ XTAL2 พร้อมกับตัวเก็บประจุลักษณะดังรูปที่ 2.17 หรือ อาจจะเป็นสัญญาณนาฬิกาจากภายนอก

พัลส์ความถี่ของสัญญาณนาฬิกาจะเรียกว่า พัลส์ (Pulse) และคาบของสัญญาณนาฬิกานี้เรียกว่า คาบเวลาออสซิลเลเตอร์ คาบเวลาออสซิลเลเตอร์จำนวนสองคาบเรียกว่า สเตต (Stat) ซึ่งจะนำไปใช้เป็นเวลาพื้นฐานการทำงานย่อยของไมโครคอนโทรลเลอร์ เช่น การนำคำสั่ง การถอดความหมาย การประมวลผลและการเขียนข้อมูลเป็นต้น ดังแสดงในรูปที่ 2.17 ช่วงเวลาของ State จำนวนหกครั้ง จะเรียกว่าแมชชีนไซเคิล (Machine cycle) ดังนั้นค่าหนึ่งแมชชีนไซเคิลจะใช้เวลา 12 คาบเวลาออสซิลเลเตอร์ ถ้าของแมชชีนไซเคิลนี้จัดว่าเป็นช่วงเวลาที่น้อยที่สุด ในการทำคำสั่งหนึ่งซึ่งหากว่าเป็นคำสั่งที่ซับซ้อนมากก็จะต้องใช้เวลาานสองถึงสามแมชชีนไซเคิล

คริสตอล ฟรีควเอนซี (Crystal Frequency) เป็นค่าความถี่ของคริสตอลที่ใช้กับ 8051 อย่างไรก็ดีตาม ในบางครั้งอาจจะพบเห็นการใช้ค่าของคริสตอลเป็น 11.0592 เมกะเฮิร์ตซ์ ทั้งนี้โดยมีเหตุผลเนื่องจาก สามารถนำค่าที่ได้นี้ ไปใช้ในการเป็นฐานเวลา สำหรับการสร้างความถี่ในการรับและส่งข้อมูลอนุกรมซึ่งมีหน่วยทำงานภายใน 8051 ให้ได้ค่าที่ใกล้เคียงกับค่ามาตรฐาน คือ 19,200 9,600 4,800 2,400 1,200 และ 300 บิตต่อวินาที



รูปที่ 2.17 การใช้คริสตอลภายนอกต่อเข้ากับวงจรรอสซิลเลเตอร์ภายใน 8051

การคำนวณหาว่าเวลาที่ใช้ในการทำคำสั่งใดจนเสร็จสิ้น จะต้องดูว่าคำสั่งนั้นใช้จำนวนของแมชชีนไซเคิลเป็นเท่าไรในการประมวลผล เวลาที่ใช้จะคำนวณตามสูตร โดย C เป็นค่าจำนวน

แมชชีนไซเคิลของคำสั่ง เอกสารนี้เป็นเอกสารที่สงวนลิขสิทธิ์ไว้สำหรับการใช้งานเพื่อการศึกษาเท่านั้น ไม่อนุญาตให้นำไปใช้ประโยชน์ด้านการค้า ไม่ว่ากรณีใดๆ ทั้งสิ้น อีกทั้งห้ามมิให้ตัดแปลงเนื้อหา และต้องอ้างอิงถึงเจ้าของเอกสารทุกครั้งที่มีการนำไปใช้

$$T = \frac{C \times 12}{\text{Crystal Frequency}} \quad (2.24)$$

## 2.5 หลักการของตัวแปลงสัญญาณแอนะล็อกเป็นสัญญาณดิจิทัล

วงจรแปลงสัญญาณแอนะล็อกเป็นสัญญาณดิจิทัล เป็นวงจรที่มีสัญญาณอินพุตเป็นสัญญาณแอนะล็อก และมีสัญญาณดิจิทัลเป็นสัญญาณเอาต์พุตจำนวน  $n$  บิต อินพุตของวงจรแปลงสัญญาณแอนะล็อกเป็นดิจิทัล เป็นสัญญาณแอนะล็อกที่ผ่านออกมาจากวงจรแอมป์เปิดโพลด์ ซึ่งส่วนของวงจรมีทำหน้าที่รับสัญญาณแอนะล็อก ที่ต้องการแปลงเป็นสัญญาณดิจิทัลเข้ามาในวงจร แล้วนำเอาต์พุตไปต่อเชื่อมกับอินพุตของวงจรแปลงสัญญาณแอนะล็อกเป็นดิจิทัลแต่ละครั้ง วงจรนี้รับสัญญาณแอนะล็อกแล้วส่งเข้าที่ขั้วอินพุตของวงจรแปลงสัญญาณแอนะล็อกเป็นดิจิทัล ในช่วงเวลาที่กับเวลาแอมป์เปิดที่กำหนดจากความถี่แอมป์เปิดที่กำหนดในวงจร ดังนั้นในการควบคุมการทำงานของ วงจรแปลงสัญญาณแอนะล็อกเป็นดิจิทัลในการแปลงสัญญาณ จะมีค่าจำนวนข้อมูลเท่าใดพิจารณาได้จากความถี่ของการสุ่มภายในชุดวงจรแอมป์เปิดโพลด์นี้ อย่างไรก็ตาม การพิจารณาเวลาการทำงานของ วงจรแปลงสัญญาณแอนะล็อกเป็นดิจิทัลนี้ยังขึ้นอยู่กับ ผลของเวลาในการแปลงสัญญาณ (Conversion Time,  $T_c$ ) ภายในวงจรแปลงสัญญาณแอนะล็อกเป็นดิจิทัลคือ เวลาที่ใช้ในระหว่างที่อินพุตเข้ามาจนถึงการแสดงค่าระหว่างเอาต์พุตใหม่



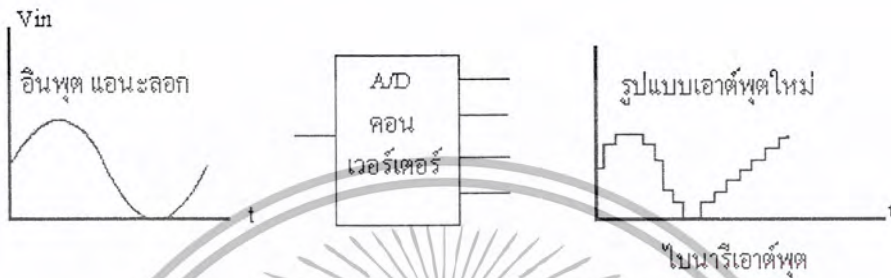
รูปที่ 2.18 การตอบสนองของเวลาแปลงสัญญาณของ A/D คอนเวอร์เตอร์

เมื่อพิจารณาตามรูปที่ 2.18 อินพุตจากสัญญาณแอนะล็อก ที่เข้าไปในวงจรแปลงสัญญาณแอนะล็อกเป็นดิจิทัล จะอยู่ ณ เวลา  $T_1$  และสัญญาณตอบสนองของอินพุตจะเกิดขึ้นจากผลต่างของเวลาทั้งสอง คือ เวลาการเปลี่ยนแปลงสัญญาณ ซึ่งเวลาดังกล่าวนี้เป็นเวลาที่ใช้จริงของ วงจร

แปลงสัญญาณแอนะล็อกเป็นดิจิทัลในการแปลงสัญญาณแอนะล็อกเป็นดิจิทัล ดังนั้นการ

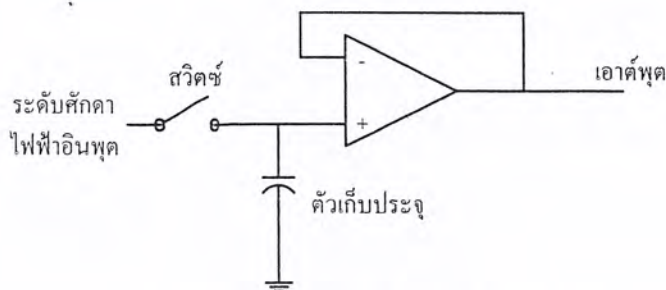
เอกสารนี้เป็นเอกสารที่สงวนไว้สำหรับการใช้งานเพื่อการศึกษาเท่านั้น ไม่อนุญาตให้นำไปเผยแพร่หรือนำไปใช้  
ไม่ว่ากรณีใดๆ ทั้งสิ้น อีกทั้งห้ามมิให้ตัดแปลงเนื้อหา และต้องอ้างอิงถึงเจ้าของเอกสารทุกครั้งที่มีการนำไปใช้

กำหนดเวลาของการสุ่มจากความถี่ของการสุ่มควรมีเวลามากกว่าในการแปลงสัญญาณ จึงจะได้ค่าดิจิตอลเอาต์พุตที่ถูกต้อง และเพื่อให้ทราบถึงผลของการสุ่มจนสัญญาณอินพุตแอนะล็อกไปเห็นดิจิตอลเอาต์พุตพิจารณาจากกราฟ รูปที่ 2.18



รูปที่ 2.19 ขบวนการแปลงสัญญาณดิจิตอลด้วย A/D คอนเวอร์เตอร์

ตัวแปลงสัญญาณที่ปรับค่าต่อเนื่อง และตัวแปลงสัญญาณที่ประมาณค่าผลสำเร็จจะเปลี่ยนค่าในแต่ละครั้งเมื่อได้รับคำสั่งจากไมโครโปรเซสเซอร์เท่านั้น ซึ่งก็หมายความว่า ตัวแปลงสัญญาณแอนะลอกเป็นดิจิตอลที่ประมาณค่าผลสำเร็จขนาด 8 บิต (ที่ใช้เวลา 1 ไมโครวินาทีในการทำงานแต่ละขั้นตอน) จะใช้เวลาทั้งหมด 8 ไมโครวินาทีในการแปลงสัญญาณแอนะลอกเป็นดิจิตอล ในช่วงเวลา 8 ไมโครวินาทีนี้ สัญญาณแอนะลอกที่ไม่ทราบค่าที่ป้อนเข้าตัวแปลงนั้นจะต้องมีระดับศักดาไฟฟ้าที่คงที่ มิฉะนั้นค่าเอาต์พุตที่ได้อาจไม่ถูกต้องเพื่อป้องกันความผิดพลาดที่อาจเกิดขึ้น จึงได้มีการนำวงจรแฉมเปิดแอนด์โฮลด์มาใช้ โดยวงจรนี้จะเก็บระดับศักดาไฟฟ้าของสัญญาณที่รับเข้ามาในตัวเก็บประจุก่อนที่ตัวแปลงสัญญาณจะเริ่มการทำงาน เมื่อสวิตช์ถูกปิด ตัวเก็บประจุจะได้รับประจุนมีระดับศักดาไฟฟ้าตกร้อนเท่ากับระดับศักดาไฟฟ้าของสัญญาณที่ป้อนเข้ามาและเมื่อสวิตช์ถูกเปิด ระดับศักดาไฟฟ้าในตัวเก็บประจุจะคงอยู่ที่ค่าที่นั้นกว่าสวิตช์จะถูกปิดอีกครั้ง



รูปที่ 2.20 วงจรแฉมเปิดแอนด์โฮลด์

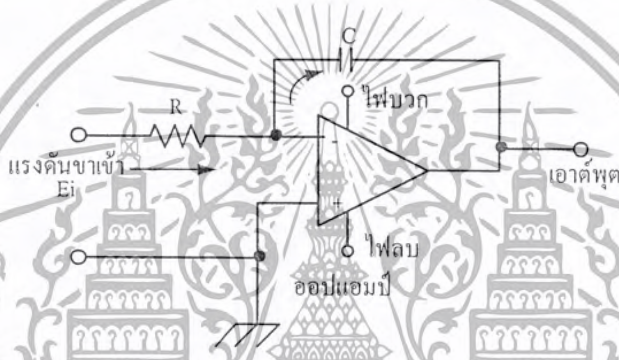
เอกสารนี้เป็นเอกสารที่สงวนไว้สำหรับการใช้งานเพื่อการศึกษาเท่านั้น ไม่อนุญาตให้นำไปใช้ประโยชน์ด้านการค้าไม่ว่ากรณีใดๆ ทั้งสิ้น อีกทั้งห้ามมิให้ตัดแปลงเนื้อหา และต้องอ้างอิงถึงเจ้าของเอกสารทุกครั้งที่มีการนำไปใช้

### 2.5.1 วงจรแปลงสัญญาณแอนะล็อกเป็นดิจิตอล

ที่นิยมกันอย่างแพร่หลายมี 3 แบบ คือ

#### 1) วงจรแปลงสัญญาณแอนะล็อกเป็นดิจิตอล แบบสโโลปคู่

เป็นแบบที่ง่ายที่สุดไม่จำเป็นต้องใช้อุปกรณ์ที่มีคุณภาพดีมากนัก ก็สามารถแปลงสัญญาณได้อย่างแม่นยำ แต่มีข้อเสียตรงที่ใช้เวลาในการแปลงสัญญาณนานมากไปจึงไม่เหมาะ ในการใช้วัดแรงดันในช่วงเวลาสั้น ๆ



รูปที่ 2.21 การทำงานของวงจรอินทิเกรเตอร์

พิจารณารูปที่ 2.21 ซึ่งเป็นวงจรอินทิเกรเตอร์แบบพื้นฐาน ประกอบด้วยออปแอมป์ทำหน้าที่เป็นวงจรขยายสัญญาณแตกต่าง

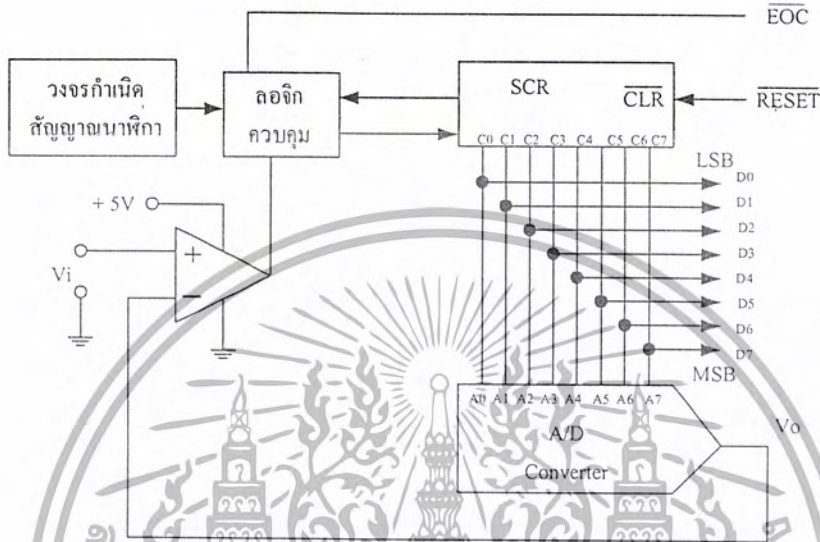
#### 2) วงจรแปลงสัญญาณแอนะล็อกเป็นดิจิตอลแบบเรมปี

เป็นวงจรแปลงสัญญาณแอนะล็อกเป็นดิจิตอลที่เข้าใจการทำงานง่ายที่สุด โดยแสดงโครงสร้างการทำงาน ดังรูปที่ 2.22 เมื่อพิจารณาตามรูปแล้วสามารถอธิบายการทำงานได้ดังนี้

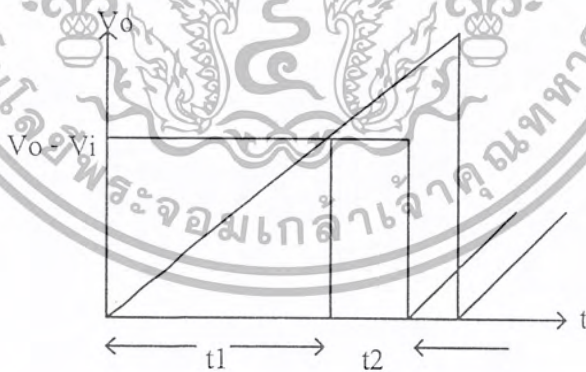
คอมพิวเตอรืส่งสัญญาณรีเซตไปที่วงจรมับ เพื่อให้สามารถรับสัญญาณอินพุตได้โดยขณะนั้นผลเอาต์พุตของวงจรแปลงสัญญาณแอนะล็อกเป็นดิจิตอล มีค่าอยู่ที่ระดับต่ำสุดการทำงาน ของวงจรมับมีการเปลี่ยนแปลงความถี่ของสัญญาณนาฬิกา ซึ่งสัญญาณอินพุตถูกนำมาแอนดกับสัญญาณนาฬิกาแล้วจึงส่งไปยังวงจรมับเป็นการให้แสดงระดับแรงดันที่สูงขึ้นทีละ 1 LSB ณ จุดเดียวกันนั้น ตัวเกาท์เตอร์จะทำการนับเพิ่มขึ้นจนกระทั่งเอาต์พุตของวงจรแปลงสัญญาณแอนะล็อกเป็นดิจิตอล สูงกว่าค่าแรงดันอินพุต  $V_{in}$  เมื่อถึงจุดนี้ของวงจรมับเปรียบเทียบจะแสดงค่าไปจนกระทั่งเป็น 0 โวลต์ เมื่อถึง 0 โวลต์ที่จะหยุดสัญญาณนาฬิกาจะหยุดนับที่จุดซึ่ง  $V_o$  เริ่มมากกว่า  $V_{in}$  ขา

เอกสารนี้เป็นเอกสารที่ระดับเป็นระดับต่ำแก่ส่งสัญญาณให้คอมพิวเตอร์เป็นสัญญาณดิจิตอลโดยผ่านไปยังงานการคำนวณว่ากรณีใดๆ ทั้งสิ้น อีกทั้งห้ามมิให้ตัดแปลงเนื้อหา และต้องอ้างอิงถึงเจ้าของเอกสารทุกครั้งที่มีการนำไปใช้

อินพุตพอร์ตหลังจากคอมพิวเตอร์อ่านข้อมูลเสร็จจะส่งสัญญาณรีเซตมาที่ วงจรแปลงสัญญาณแอนะลอกเป็นดิจิตอล หลังจากนั้นก็เริ่มทำกระบวนการแบบเดิมอีกครั้ง



รูปที่ 2.22 วงจรแปลงสัญญาณแอนะลอกเป็นดิจิตอลแบบเรมปี



รูปที่ 2.23 กราฟเอาต์พุตของวงจรแปลงสัญญาณดิจิตอลเป็นแอนะลอก และวงจรแปลงสัญญาณแอนะลอกเป็นดิจิตอล

กราฟนี้จะแสดงการทำงานของเรมปีโดย  $t_1$  แทนเวลาที่นับ เพื่อเรมปีเอาต์พุตของวงจรแปลงสัญญาณดิจิตอลเป็นแอนะลอกที่เริ่มจะเลย  $V_{in}$  และ  $t_2$  แทนเวลาระหว่างที่คอมพิวเตอร์อ่าน

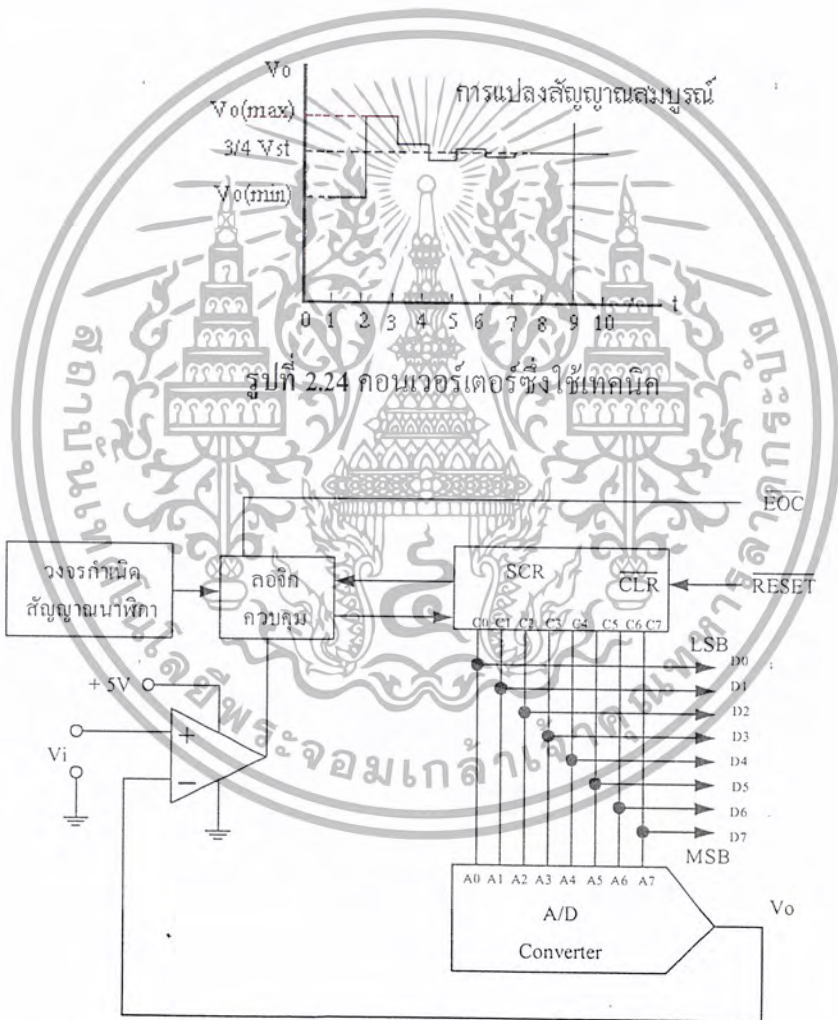
ข้อมูลและส่งสัญญาณรีเซตมาที่วงจรแปลงสัญญาณแอนะลอกเป็นดิจิตอล เริ่มต้นกระบวนการเดิม

เอกสารนี้เป็นเอกสารที่สงวนไว้สำหรับครูใช้งานเพื่อการศึกษาเท่านั้น ไม่อนุญาตให้นำไปใช้ประโยชน์ด้านการค้า  
 อีกครั้งหนึ่ง ดังนั้นในการเก็บข้อมูล 1 ค่า จะต้องใช้เวลาในการแปลงสัญญาณ 2 ช่วงด้วยกัน  
 ไม่ว่ากรณีใดๆ ทั้งสิ้น อีกทั้งห้ามมีให้ตัดแปลงเนื้อหา และต้องอ้างอิงถึงเจ้าของเอกสารทุกครั้งที่มีการนำไปใช้

3) วงจรแปลงสัญญาณแอนะล็อกเป็นดิจิทัลแบบซัสเซสซีฟแอฟพริอ็อกซิเมชัน

SAR เป็นตัวเลขหลักของวงจรแปลงสัญญาณแอนะล็อกเป็นดิจิทัล ซึ่งลักษณะใกล้เคียงกับแบบแรมปีโดยโครงสร้างการทำงานเป็นการแสดงแผนผังการทำงานสำหรับวงจรแปลงสัญญาณแอนะล็อกเป็นดิจิทัลแบบ SAR

SAR คอนเวอร์เตอร์ต้องใช้วงจรแปลงสัญญาณดิจิทัลเป็นแอนะล็อกและวงจรเปรียบเทียบในการทำงานเหมือนกัน ส่วนที่แตกต่างได้แก่ส่วนของวงจรรัน



รูปที่ 2.24 คอนเวอร์เตอร์ซึ่งใช้เทคนิค

รูปที่ 2.25 วงจรแปลงสัญญาณดิจิทัลเป็นแอนะลอกระหว่างการแปลงสัญญาณ

การเริ่มต้นของการเปลี่ยนแปลงจากสัญญาณแอนะล็อกเป็นดิจิทัล พิจารณาจากสัญญาณนาฬิกาที่ส่งไปยังระบบควบคุมลอจิก โดยเอาต์พุตของระบบควบคุมลอจิกจะส่งพัลส์หนึ่งลูกให้กับ SAR เพื่อเซตค่าของ MSB และลบค่าเอาต์พุตที่ยังเหลืออยู่ซึ่งจะทำให้ค่าของ Vo เท่ากับค่า  $V_{fs} / 2$

ไม่ว่ากรณีใดๆ ทั้งสิ้น อีกทั้งห้ามมิให้ตัดแปลงเนื้อหา และต้องอ้างอิงถึงเจ้าของเอกสารทุกครั้งที่มีการนำไปใช้

ซึ่งจะน้อยกว่าค่า  $V_1$  และเอาต์พุตของวงจรเปรียบเทียบจะยังคงอยู่ในระดับ “1” ระบบควบคุมลอจิกจะตรวจสอบว่าด้วยวงจรเปรียบเทียบยังคงเป็น “1” อยู่ที่จะส่งสัญญาณไปที่ SAR

โดยปกติแล้ววงจรจะทดสอบเอาต์พุต โดยจะเริ่มตั้งแต่ MSB ของ SAR ถ้าเอาต์พุตของวงจรแปลงสัญญาณดิจิทัลเป็นแอนาล็อกเกินค่า  $V_{in}$  แล้วบิตนั้นจะก้างค่าลอจิก “1” ไว้หลังจากการตรวจสอบหมดแล้ว ไบนารีเอาต์พุตจะเป็นอัตราส่วนกับ  $V_{in}$  จะกลายเป็นว่าวงจรแปลงสัญญาณแอนาล็อกเป็นดิจิทัลแบบนี้ดีกว่าแบบแร่มป์ คือเวลาในการแปลงสัญญาณ เป็นสัดส่วนโดยตรงกับจำนวนบิตของวงจรรูปแบบ SAR

## 2.6 ทฤษฎีพื้นฐานของระบบนิวแมติกส์

### 2.6.1 กฎเบื้องต้นของลมอัด

กฎเบื้องต้นของลมอัดได้แก่ กฎการส่งผ่านความดันของปาสกาลและกฎปริมาตรของบอยล์

#### 1) กฎของปาสกาล (กฎส่งผ่านความดัน)

B. Pascal (ชาวฝรั่งเศส ระหว่างปี ค.ศ. 1623-1662) ได้ทำการทดลองพิสูจน์กฎของปาสกาลซึ่งเกี่ยวกับการส่งผ่านความดันสถิตหรือความดันที่ไม่เคลื่อนที่ (static pressure) กฎนี้กล่าวว่า “ความดันที่กระทำต่อส่วนหนึ่งส่วนใดของของไหลที่อยู่นิ่งในภาชนะปิดจะกระทำต่อทุกส่วนของภาชนะในแนวตั้งฉาก”

จากรูปที่ 2.30 ในกรณีที่ลูกสูบมีพื้นที่หน้าตัด  $A_1$  ( $\text{cm}^2$ ) และ  $A_2$  ( $\text{cm}^2$ ) ถ้ามีแรง  $F_1$  หรือน้ำหนัก  $W_1$  (kgf) กระทำบนลูกสูบ  $A_1$  แล้ว จะเกิดแรงถ่ายเท  $W_2$  หรือ  $F_2$  (kgf) ขึ้นที่ลูกสูบซึ่งมีพื้นที่หน้าตัด  $A_2$  ดังนี้

$$\frac{W_1}{A_1} = \frac{W_2}{A_2} = P(\text{kgf} / \text{cm}^2) \quad (2.25)$$

ดังนั้น

$$W_2 = \frac{W_1 \times A_2}{A_1} (\text{kgf}) \quad (2.26)$$

ถ้าพื้นที่หน้าตัด  $A_1$  เล็กกว่า  $A_2$  แรง  $W_2$  จะมากกว่า  $W_1$

#### 2) กฎของบอยล์

กฎนี้คิดค้นขึ้นโดย R.Boyle (ชาวอังกฤษ ระหว่างปี ค.ศ. 1627-1691) ดังแสดงในรูปที่ 2.26

เอกสารนี้เป็นเอกสารที่สงวนไว้สำหรับการใช้งานเพื่อการศึกษาเท่านั้น ไม่อนุญาตให้นำไปใช้ประโยชน์ในการค้าไม่ว่ากรณีใดๆ ทั้งสิ้น อีกทั้งห้ามมิให้ตัดแปลงเนื้อหา และต้องอ้างอิงถึงเจ้าของเอกสารทุกครั้งที่มีการนำไปใช้

กฎนี้กล่าวว่า ถ้ากดลูกสูบซึ่งมีก๊าซบรรจุอยู่ภายใน ปริมาตรของก๊าซจะลดลงในขณะที่ความดันเพิ่มขึ้น หรือกล่าวอีกนัยหนึ่งว่า “ณ อุณหภูมิคงที่ ปริมาตรของก๊าซจะเปลี่ยนแปลงเป็นอัตราส่วนผกผันกับความดันก๊าซนั้น”

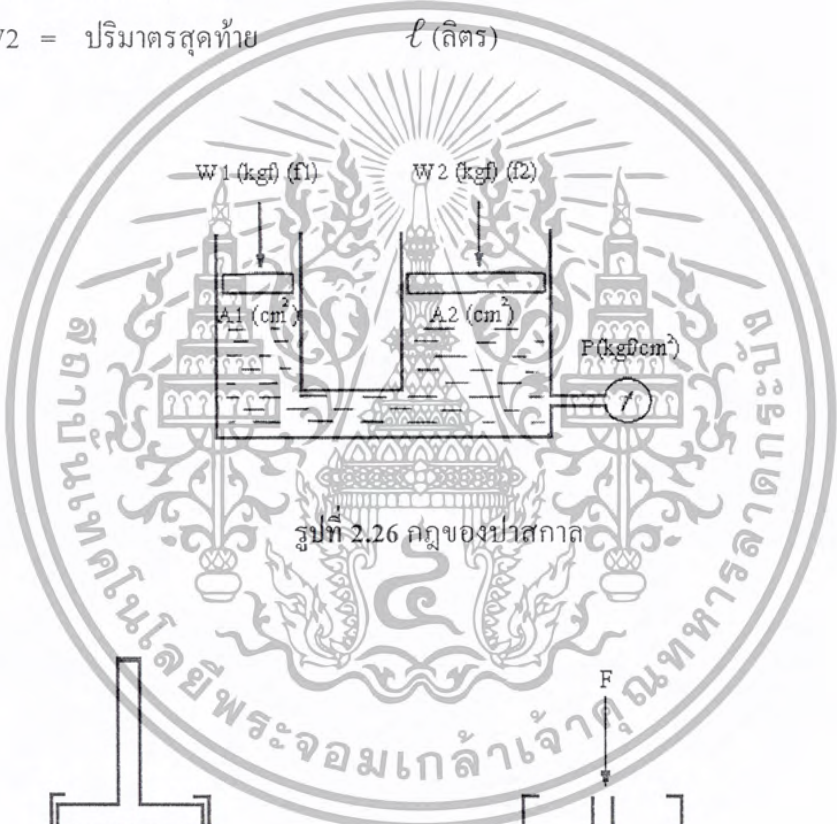
นั่นคือ  $P_1 \times V_1 = P_2 \times V_2 = \text{ค่าคงที่}$

$P_1 =$  ความดันสัมบูรณ์เริ่มต้น  $\text{kgf/cm}^2 \cdot \text{abs}$

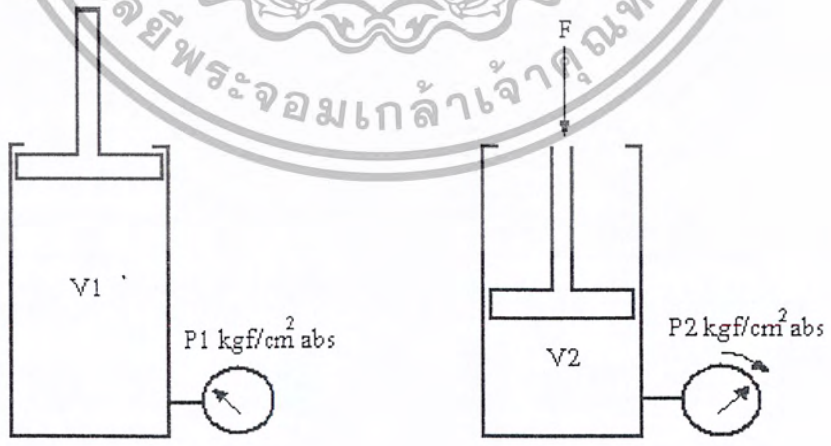
$P_2 =$  ความดันสัมบูรณ์สุดท้าย  $\text{kgf/cm}^2 \cdot \text{abs}$

$V_1 =$  ปริมาตรเริ่มต้น  $\ell$  (ลิตร)

$V_2 =$  ปริมาตรสุดท้าย  $\ell$  (ลิตร)



รูปที่ 2.26 กฎของปาสกาล



รูปที่ 2.27 ปริมาตรและความดันตามกฎของบอยล์

เอกสารนี้เป็นเอกสารที่สงวนไว้สำหรับการใช้งานเพื่อการศึกษาเท่านั้น ไม่อนุญาตให้นำไปใช้ประโยชน์ด้านการค้า ไม่ว่ากรณีใดๆ ทั้งสิ้น อีกทั้งห้ามมิให้ตัดแปลงเนื้อหา และต้องอ้างอิงถึงเจ้าของเอกสารทุกครั้งที่มีการนำไปใช้

3) กฎของชาร์ล

เมื่ออากาศจำนวนหนึ่งซึ่งมีปริมาตร  $V_1$  และอุณหภูมิ  $T_1$  ถูกทำให้ร้อนหรือถูกทำให้เย็นเป็นอุณหภูมิ  $T_2$  ภายใต้ความดันคงที่ จะได้ปริมาตรอากาศใหม่ คือ  $V_2$  ตามความสัมพันธ์ต่อไปนี้

$$\frac{V_1}{T_1} = \frac{V_2}{T_2} = P \text{ (ค่าคงที่)} \tag{2.27}$$

หมายความว่า ณ ค่าความดันอากาศคงที่ค่าหนึ่ง ปริมาตรของอากาศจำนวนหนึ่งแปรผันเป็นสัดส่วนกับอุณหภูมิสัมบูรณ์ของอากาศ กฎนี้เรียกว่า “กฎของชาร์ล” รูปที่ 2.28

สำหรับสูตรที่ใช้คำนวณหาค่าความดัน อุณหภูมิ และปริมาตรของแก๊สที่มีค่าเปลี่ยนแปลงคือ

$$\frac{PV_1}{T_1} = \frac{PV_2}{T_2} \tag{2.28}$$

รูปที่ 2.28 กฎของชาร์ล

2.6.2 อุปกรณ์เบื้องต้นของระบบนิวแมติกส์

อุปกรณ์ในระบบนิวแมติกสามารถแบ่งออกเป็นส่วนใหญ่ ๆ ได้ 2 ส่วน คือ ส่วนที่อยู่นอกวงจรและส่วนที่อยู่ในวงจร (เครื่องจักร) ส่วนที่อยู่นอกวงจรได้แก่ เครื่องอัดลม ถังเก็บลม เครื่องระบายความร้อน เครื่องกรองในท่อหลัก เครื่องทำลมแห้ง เป็นต้น สำหรับส่วนที่อยู่ในวงจรหรืออยู่ในเครื่องจักรได้แก่ กรองลมอัด วาล์วควบคุมความดัน อุปกรณ์เติมน้ำมันหล่อลื่น ทั้ง 3 ตัวนี้รวมเรียกว่า ชุดบริการลมอัด (service unit) ตัวเก็บเสียง วาล์วควบคุมทิศทางการไปของลม วาล์วควบคุมความเร็วหรือควบคุมการไหล และกระบอกสูบลม เป็นต้น

1) ถังเก็บลม (Air Tanks)

ถังเก็บลมใช้กักเก็บลมที่ถูกอัดตัวไว้ และส่วนใหญ่มักจะติดตั้งที่ทางลมออกของเครื่องอัดลม



### 8) ตัวเก็บเสียง (Air Silencer)

ลมอัดจะมีเสียงดังเมื่อทิ้งออกที่รูระบายของวาล์ว ดังนั้นตัวเก็บเสียงจะช่วยลดเสียงที่เกิดขึ้นนี้ได้ระดับหนึ่ง

### 9) วาล์วควบคุมทิศทางการไหลของลมอัด (Directional Control Valve)

วาล์วชนิดนี้จะเปลี่ยนทิศทางการไหลของลมอัดโดยการ เปิด – ปิดวาล์ว ให้สัมพันธ์กับสัญญาณไฟฟ้าหรือสัญญาณลม วาล์วเปลี่ยนทิศทางการไหลของลมใช้ควบคุมการเคลื่อนที่ไปกลับของก้านสูบภายในกระบอบอกสูบ

### 10) วาล์วควบคุมความเร็ว (Speed Control Valve)

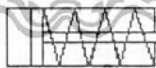
วาล์วนี้จะควบคุมความเร็วของก้านสูบภายในกระบอบอกสูบ โดยการปรับปริมาตรการไหลของลมอัดที่เข้ากระบอบอกสูบ

### 11) กระบอบอกสูบ (Air Cylinder)

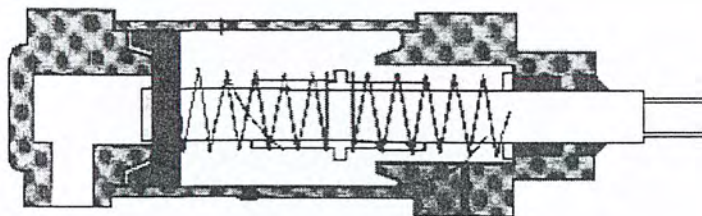
กระบอบอกสูบจะทำหน้าที่เปลี่ยนรูปพลังงานลมอัดไปใช้ประโยชน์เป็นแรงให้มีการเคลื่อนที่ในแนวเส้นตรงโดยปกติกระบอบอกสูบจะมีชนิดทำงานได้สองทิศทางและชนิดทำงานได้ทางเดียว

### 2.6.3 กระบอบอกสูบนิวแมติกส์

กระบอบอกสูบที่ใช้กันมากในระบบนิวแมติกส์ แบ่งออกได้ 2 ชนิด คือ กระบอบอกสูบชนิดทำงานทิศทางเดียว (single acting air cylinder) และกระบอบอกสูบชนิดทำงานสองทิศทาง (double acting air cylinder)



(ก) สัญลักษณ์



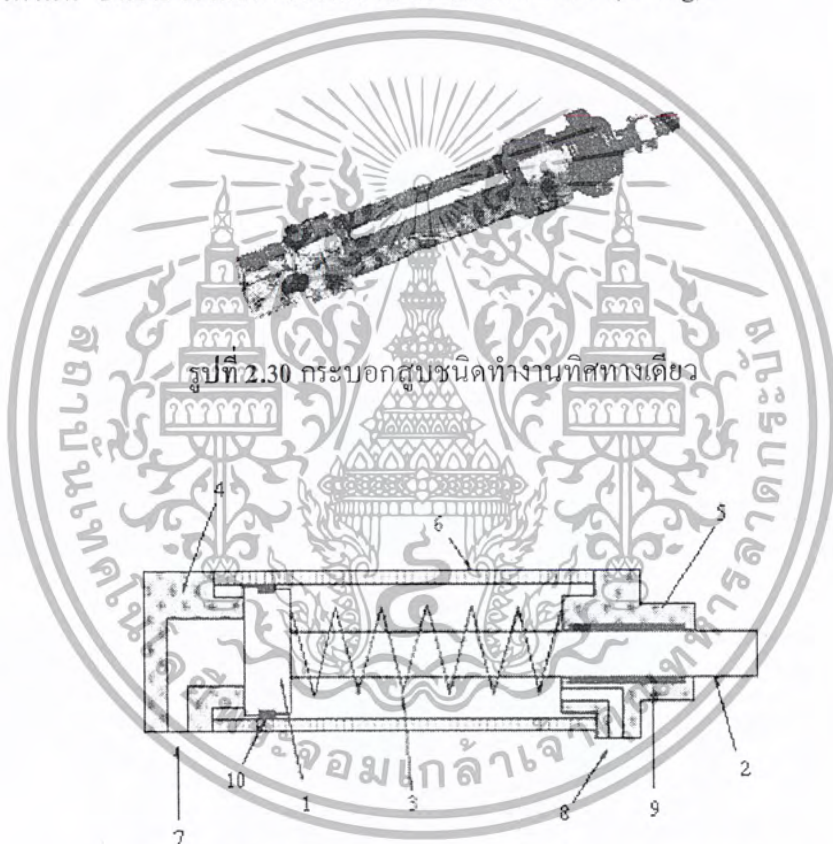
(ข) โครงสร้าง

รูปที่ 2.29 กระบอบอกสูบชนิดทำงานทิศทางเดียว

เอกสารนี้เป็นเอกสารที่สงวนไว้สำหรับการใช้งานเพื่อการศึกษาเท่านั้น ไม่อนุญาตให้นำไปใช้ประโยชน์ด้านการค้า  
ไม่ว่ากรณีใดๆ ทั้งสิ้น อีกทั้งห้ามมิให้ตัดแปลงเนื้อหา และต้องอ้างอิงถึงเจ้าของเอกสารทุกครั้งที่มีการนำไปใช้

### 1) ระเบิดอกสูบชนิดทำงานทิศทางเดียว (Single Acting Air Cylinder)

ระเบิดอกสูบชนิดทำงานทิศทางเดียว คือ อุปกรณ์ทำงานชนิดหนึ่งที่ให้แรงในแนวเส้นตรง และทำงานทิศทางเดียว มักจะเป็นทิศทางให้ก้านสูบวิ่งออก ขณะที่ก้านสูบวิ่งออกก็จะดันให้สปริง ภายในระเบิดอกสูบยุบตัว เมื่อตัดสัญญาณลมที่ป้อนเข้าระเบิดอกสูบให้วิ่งออกนั้น สปริงที่ยุบตัวอยู่นี้ จะคลายตัวออกมาพร้อมกับดันให้ลูกสูบถอยกลับมากอยู่ในตำแหน่งเดิม ระเบิดอกสูบชนิดทำงานทิศทางเดียวจะมีรูต่อลมเพียงรูเดียวอยู่ทางด้านลูกสูบ ส่วนอีกรูหนึ่งที่อยู่ทางด้านก้านสูบจะเป็นรูระบายลมเท่านั้น ซึ่งเจาะไว้โดยที่ไม่มีเกลียวสำหรับใส่ข้อต่อลม (Fitting)



รูปที่ 2.31 โครงสร้างของระเบิดอกสูบชนิดทำงานทิศทางเดียว

จากรูปที่ 2.31 เป็นโครงสร้างของระเบิดอกสูบชนิดทำงานทิศทางเดียว ประกอบด้วย

- หมายเลข 1 ลูกสูบ (piston)
- หมายเลข 2 ก้านสูบ (piston rod)
- หมายเลข 3 สปริงสำหรับดันให้ลูกสูบถอยกลับ (return spring)
- หมายเลข 4 ฝาครอบท้าย (base end cover)
- หมายเลข 5 ฝาครอบหัว (head end cover)
- หมายเลข 6 ระเบิดอกสูบ (cylinder tube)

เอกสารนี้เป็นเอกสารที่สงวนไว้สำหรับการใช้งานเพื่อการศึกษาเท่านั้น ไม่อนุญาตให้นำไปใช้ประโยชน์ด้านการค้า  
ไม่ว่ากรณีใดๆ ทั้งสิ้น อีกทั้งห้ามมิให้ตัดแปลงเนื้อหา และต้องอ้างอิงถึงเจ้าของเอกสารทุกครั้งที่มีการนำไปใช้

หมายเลข 7, 8 รูต่อลม (pressure connection)

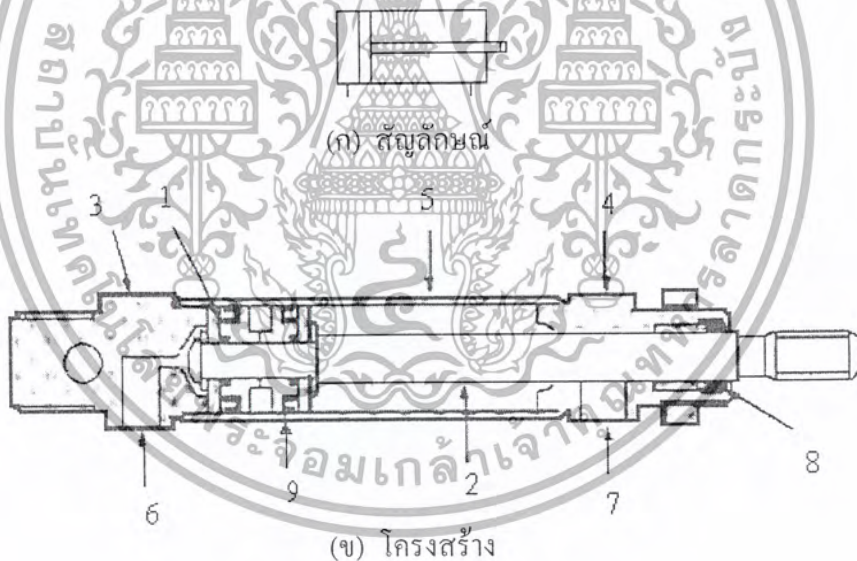
หมายเลข 9 บุชก้านสูบ (bush and sealing element)

หมายเลข 10 ซีลลูกสูบ (piston seal)

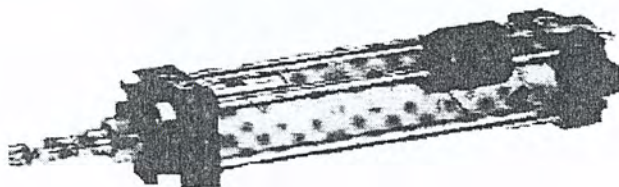
แรงของกระบอกสูบที่เกิดจากการใส่ลมอัดเข้าไปดันลูกสูบ ตัวอย่างการใช้งานของกระบอกสูบชนิดนี้ เช่น การจับยึดชิ้นงาน (Clamping) การอัดชิ้นงาน (Pressing) การยกชิ้นงาน (Lifting) การป้อนชิ้นงาน (Feeding) เป็นต้น ความเร็วของลูกสูบอยู่ในช่วง 50 – 500 มม. / วินาที

2) กระบอกสูบชนิดทำงานสองทิศทาง (Double Acting Air Cylinder)

กระบอกสูบชนิดทำงานสองทิศทาง คือ อุปกรณ์ทำงานชนิดหนึ่งที่ให้แรงในแนวเส้นตรง ทั้งจังหวะออก และวิ่งเข้า กระบอกสูบชนิดนี้จะไม่มีสปริงอยู่ในกระบอกสูบ ดังนั้น การให้ลูกสูบวิ่งออกจึงต้องเอาลมอัดใส่เข้าไปทางด้านลูกสูบ และทำให้ลูกสูบหดกลับตำแหน่งเดิมก็ต้องเอาลมอัดใส่เข้าไปทางด้านก้านสูบ ความเร็วของลูกสูบอยู่ในเกณฑ์ 30 - 2,000 มม. / วินาที



รูปที่ 2.32 กระบอกสูบชนิดทำงานสองทิศทาง



เอกสารนี้เป็นเอกสารที่สงวนไว้สำหรับรูปที่ 2.33 ภาพถ่ายของกระบอกสูบชนิดทำงานสองทิศทาง ไม่ว่ากรณีใดๆ ทั้งสิ้น อีกทั้งห้ามมิให้ตัดแปลงเนื้อหา และต้องอ้างอิงถึงเจ้าของเอกสารทุกครั้งที่มีการนำไปใช้

โครงสร้างของกระบอกสูบชนิดทำงานสองทิศทาง ส่วนใหญ่แล้วจะเหมือนกับกระบอกสูบชนิดทำงานทิศทางเดียว คือ

หมายเลข 1 ลูกสูบ (piston)

หมายเลข 2 ก้านสูบ (piston rod)

หมายเลข 3 ฝาครอบท้าย (base end cover)

หมายเลข 4 ฝาครอบหัว (head end cover)

หมายเลข 5 กระบอกสูบ (cylinder tube)

หมายเลข 6 รูต่อลมด้านลูกสูบ (pressure connector, base side)

หมายเลข 7 รูต่อลมด้านก้านสูบ (pressure connector, head side)

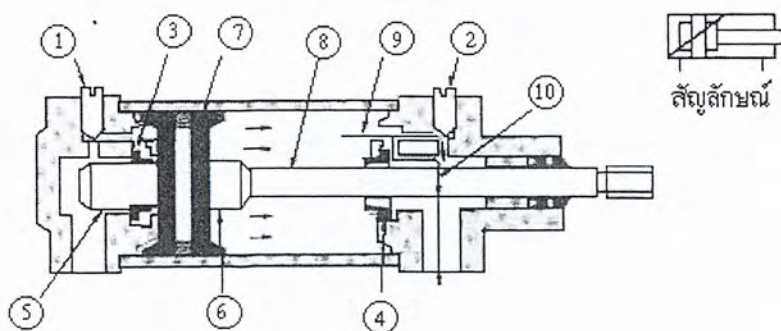
หมายเลข 8 ซีลก้านสูบ (bush and sealing element)

หมายเลข 9 ซีลลูกสูบ (piston seal)

### 3) กระบอกสูบที่มีอุปกรณ์ป้องกันการกระแทก

เมื่อกระบอกสูบลมทำงานด้วยความเร็วมาก ๆ จะทำให้ลูกสูบวิ่งกระแทกฝาครอบหัวและท้ายทำให้มีเสียงดังและชำรุดได้ง่าย วิธีการป้องกันการกระแทกดังกล่าวนี้ ทำได้โดยใช้กระบอกสูบที่มีอุปกรณ์ป้องกันการกระแทกดังรูปที่ 2.34 ซึ่งมีหลักการทำงานดังนี้

เมื่อลูกสูบ 7 ถูกดันให้วิ่งออกจะทำให้ลมอัดที่อยู่ด้านก้านสูบถูกดันให้ออกจากกระบอกสูบทางหมายเลข 9 และ 10 ซึ่งขณะนั้นความเร็วของลูกสูบ 7 ก็ยังคงมีความเร็วตามปกติ จนกระทั่งเมื่อ 6 ดันซีล 4 ให้ปิดทางออกของลมอัดหมายเลข 10 ทำให้ความดันลมมีทางออกเพียงทางเดียวเท่านั้น คือ ทางหมายเลข 9 แต่ทางออกหมายเลข 9 นี้จะต้องผ่านวาล์วปรับขนาดของช่องทางหมายเลข 2 ทำให้ลมอัดในกระบอกสูบวิ่งออกจากกระบอกสูบได้น้อยลง ถ้าปรับวาล์ว 2 ให้แคบลงไปอีก ความเร็วของลูกสูบก็จะลดน้อยลงไป การกระแทกกระหว่างลูกสูบกับฝาครอบก็ลดน้อยตามไปด้วย



รูปที่ 2.34 กระบอกสูบชนิดทำงานสองทิศทางมีอุปกรณ์ป้องกันการกระแทก (Cushion)

เอกสารนี้เป็นเอกสารที่สงวนไว้สำหรับการใช้งานเพื่อการศึกษาเท่านั้น เมื่ออนุญาตเห็นาเป้เซบระยะชันด้านการค้า  
ไม่ว่ากรณีใดๆ ทั้งสิ้น อีกทั้งห้ามมิให้ดัดแปลงเนื้อหา และต้องอ้างอิงถึงเจ้าของเอกสารทุกครั้งที่มีการนำไปใช้

### 2.6.4 อุปกรณ์ของระบบไฟฟ้าควบคุมในระบบนิวเมติกส์

#### 1) รีเลย์ (Relay)

หลักการการทำงานของรีเลย์ถ้ามีแกนเหล็กอ่อนถูกพันด้วยลวดทองแดง แล้วปล่อยกระแสไฟฟ้าเข้าที่ปลายขดลวดนั้นจะทำให้แกนเหล็กอ่อนกลายเป็นแม่เหล็กไฟฟ้าจากหลักการนี้กลายเป็นหลักการการทำงานของรีเลย์ กล่าวคือ เมื่อแกนเหล็กอ่อนกลายเป็นแม่เหล็กไฟฟ้านั้น จะดูดให้เหล็กแผ่นมาติดกับแกนเหล็กอ่อน เป็นผลให้หน้าคอนแทคของขั้ว C ไปต่อกับขั้ว NO ส่วนขั้ว C กับขั้ว NC จะไม่ต่อกัน แต่เมื่อตัดสัญญาณไฟฟ้าที่เข้าขดลวด จะทำให้แกนเหล็กอ่อนหมดสภาพจากการเป็นแม่เหล็กไฟฟ้าทันที สปริงจะทำหน้าที่คืนให้ขูดหน้าคอนแทคของขั้ว c ต่อกับขั้ว NC อีกครั้งหนึ่งซึ่งเป็นตำแหน่งปกติของรีเลย์

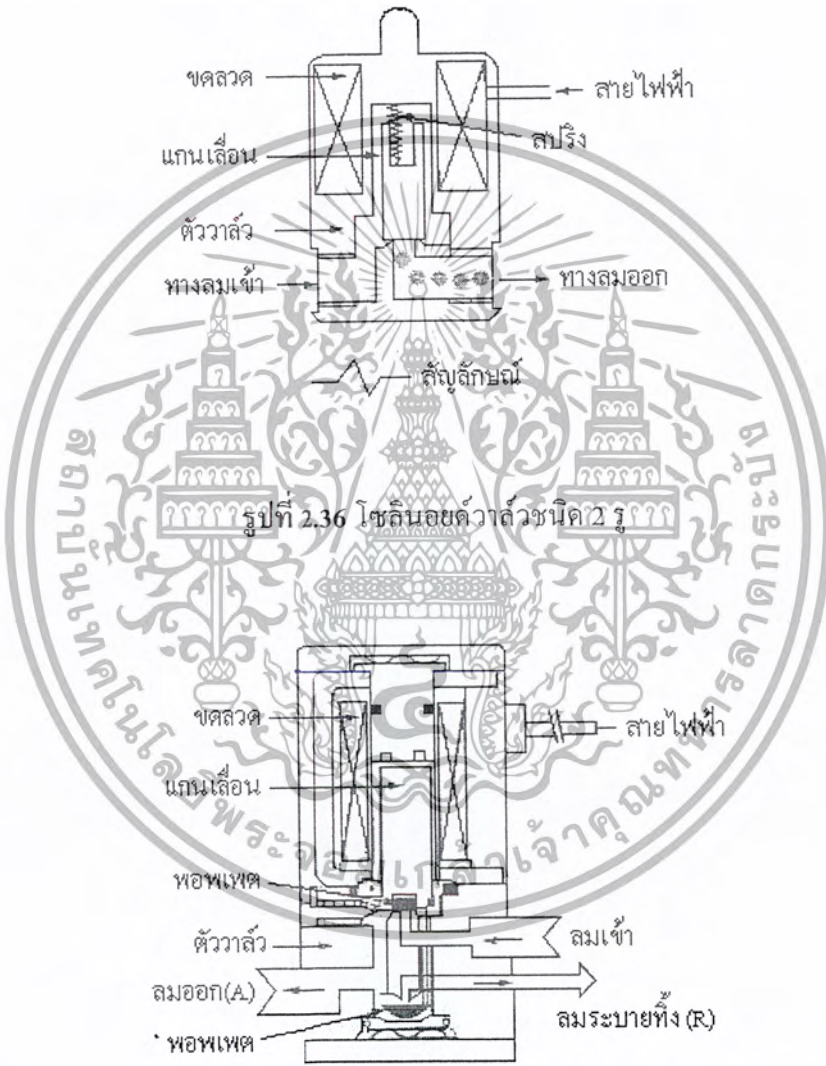


รูปที่ 2.35 รีเลย์

#### 2) โซลินอยด์วาล์ว (Solenoid Valves)

หลักการการทำงานของโซลินอยด์วาล์ว จะใช้หลักการของการเกิดสนามแม่เหล็กที่แกนเหล็กอ่อนเช่นเดียวกับรีเลย์ แล้วนำมาต่อเข้ากับวาล์ว จากรูปที่ 2.36 เมื่อแกนเลื่อนถูกแม่เหล็กยกขึ้น ก็จะเปิดให้ลมเข้ามาในวาล์วและผ่านช่องภายในของวาล์วออกในทิศทางออกไป แต่เมื่อตัดสัญญาณไฟฟ้าที่เข้าขดลวด ทำให้สนามแม่เหล็กหมดไป สปริงที่อยู่ภายในวาล์วก็จะดันให้วาล์ว

ปิดอีกครั้งหนึ่ง สำหรับรูปที่ 2.37 จะเป็นวาล์วชนิดมี 3 รู คือ รูลมเข้า (P) รูลมออก (A) และรูระบาย (R) ตามปกติแล้วรู A กับ R จะต่อถึงกัน แต่เมื่อแกนเลื่อนถูกดูดด้วยแม่เหล็กขึ้นก็จะเปิดลมจากให้ลมจากรู P ต่อกับรู A ส่วนรู R จะถูกปิดด้วยพอพเพต แต่เมื่อตัดสัญญาณไฟฟ้าที่เข้าขดลวดออก จะทำให้วาล์วกลับไปอยู่ในตำแหน่งปกติอีกครั้งหนึ่ง



รูปที่ 2.37 โซลินอยด์วาล์วชนิด 3 รู

## 2.6.5 วงจรควบคุมกระบอกสูบชนิดต่างๆ

1) วงจรควบคุมกระบอกสูบชนิดทิศทางเดียวด้วยโซลินอยด์วาล์วด้านเดียว

1.1) รายการอุปกรณ์จากรูปที่ 2.38

1.1.1) วาล์ว 3/2 ทำงานโดยโซลินอยด์, กลับด้วยสปริง Y1

1.1.2) กระบอกสูบชนิดทิศทางเดียว 1.0

1.1.3) สวิตช์กดปุ่ม S1



รูปที่ 2.38 วงจรควบคุมกระบอกสูบชนิดทิศทางเดียวด้วยโซลินอยด์วาล์วด้านเดียว

หลักการทำงานจากรูปที่ 2.38 ให้ต่อวงจรนิวแมติกโดยต่อสายลมเข้าที่ช่อง P และจากช่อง 2 ของโซลินอยด์วาล์วต่อเข้ากระบอกสูบ 1.0 ด้านลูกสูบ เมื่อกดสวิตช์ S1 ทำให้ไฟฟ้าจากขั้ว + ผ่านสวิตช์ S1 ไปเข้ายังโซลินอยด์วาล์ว Y1 แล้วออกจากโซลินอยด์วาล์ว Y1 ไปยังขั้วลบ (-) ทำให้ขดลวดโซลินอยด์วาล์ว Y1 ครบวงจร จึงเปลี่ยนตำแหน่งวาล์ว ทำให้กระบอกสูบ 1.0 วิ่งออก แต่เมื่อปล่อยมือที่กดสวิตช์ S1 จะทำให้โซลินอยด์วาล์ว Y1 ไม่มีสัญญาณไฟฟ้าเข้าในขดลวดอีกต่อไป ทำให้สปริงภายในวาล์วดันให้วาล์วกลับไปอยู่ในตำแหน่งปกติ คือ ระบายลมจากกระบอกสูบด้านลูกสูบออกทิ้งสู่บรรยากาศ และสปริงภายในของกระบอกสูบก็ดันให้ลูกสูบถอยกลับในตำแหน่งเดิม

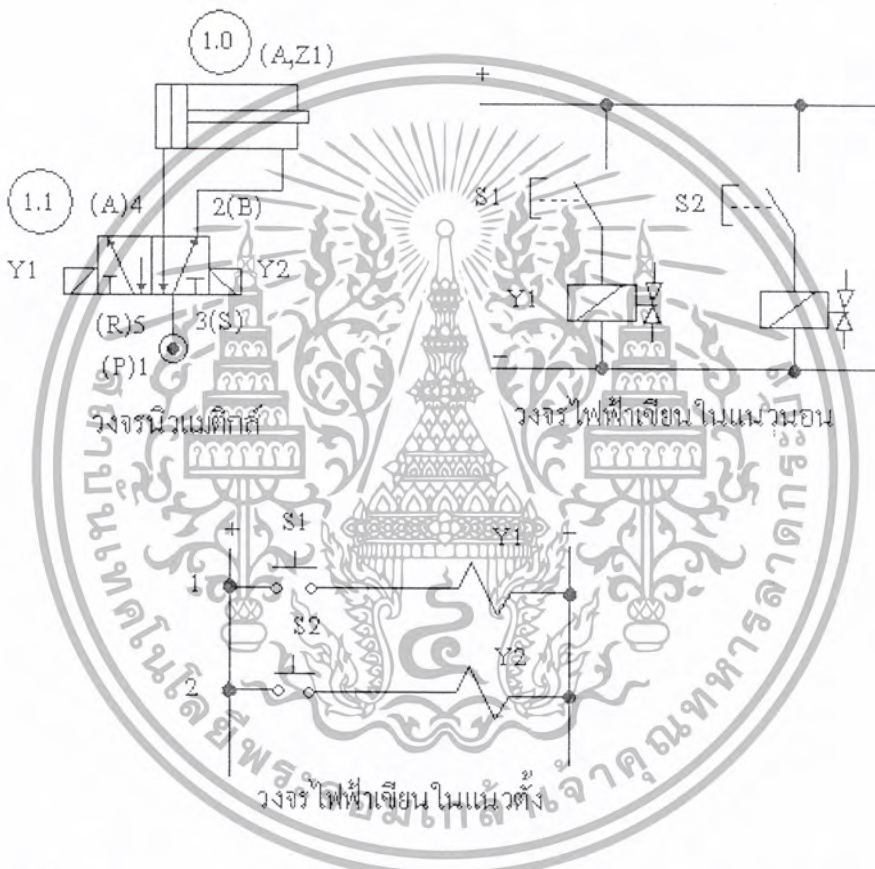
2) วงจรควบคุมกระบอกสูบชนิดสองทิศทางด้วยโซลีนอยด์วาล์วด้านเดียว

2.1) รายการอุปกรณ์ จากรูปที่ 2.39

2.1.1) วาล์ว 5/2 ทำงานด้วยโซลีนอยด์วาล์ว, กลับด้วยสปริง Y1

2.1.2) กระบอกสูบชนิดสองทิศทาง 1.0

2.1.3) สวิตช์กดปุ่ม S1



รูปที่ 2.39 วงจรควบคุมกระบอกสูบชนิดสองทิศทางด้วยโซลีนอยด์วาล์วด้านเดียว

หลักการทำงาน จากรูปที่ 2.39 วงจรควบคุมกระบอกสูบชนิดสองทิศทางนี้จะทำงานเหมือนกับวงจรควบคุมกระบอกสูบชนิดทิศทางเดียว ต่างกันเฉพาะวาล์วที่ใช้ควบคุมเท่านั้น วงจรควบคุมกระบอกสูบชนิดสองทิศทางใช้วาล์ว 5/2 ส่วนวงจรควบคุมกระบอกสูบชนิดทิศทางเดียวใช้วาล์ว 3/2 วาล์ว 5/2 จะเป็นวาล์วปกติเปิด คือเปิดให้ลมจากช่อง 1 ออกในช่อง 2 แล้วไปดันให้กระบอกสูบหดกลับสุด ซึ่งเป็นตำแหน่งปกติ

เมื่อกดสวิตช์ S1 จะทำให้โซลีนอยด์วาล์ว Y1 เปลี่ยนตำแหน่ง คือ ช่อง 1 ไปต่อกับช่อง 4

และระบายลมออกที่ทางช่อง 3 ในทำงานนี้เหมือนกันเมื่อปล่อยมือจากถรรกดวาล์วสวิตช์ S1 จะทำให้ไม่ว่ากรณีใดๆ ทั้งสิ้น อีกทั้งห้ามมิให้คัดแปลงเนื้อหา และต้องอ้างอิงถึงเจ้าของเอกสารทุกครั้งที่มีการนำไปใช้

โซลินอยด์ว่าลว Y1 ไม่มีสัญญาณไฟฟ้าเข้าบนขดลวดอีกต่อไป จึงทำให้สปริงภายในว่าลวดันให้ว่าลวดอยกลับไปที่ตำแหน่งปกติ ทำให้ช่อง 1 ต่อกับช่อง 2 ดันให้กระบอกสูบ 1.0 หดกลับตำแหน่งเดิมโดยระบายลมจากด้านลูกสูบออกทั้งจากช่อง 4 และทางช่อง 5

## 2.7 อุปกรณ์แสดงผลทางแสง

### 2.7.1 จอแสดงผลแบบผลึกเหลว

จอแสดงผลแบบผลึกเหลวที่ใช้สำหรับแสดงผลระบบตัวเลขในเครื่องใช้อิเล็กทรอนิกส์ ในปัจจุบันซึ่งอยู่ในภาคแสดงผลของเครื่องคิดเลข, นาฬิกา, หน้าปัดเครื่องรับวิทยุโทรทัศน์, เครื่องมือวัดและทดสอบระบบดิจิทัล, วงจรแสดงผลทางดิจิทัล ฯลฯ

ผลึกเหลวเป็นตัวหลักของจอแสดงผลแบบผลึกเหลวนี้ เป็นสารชนิดหนึ่งซึ่งมีสภาพการไหลเหมือนอย่างของเหลว แต่การรวมตัวของโมเลกุล จะรวมตัวกันแบบโมเลกุลของของแข็ง

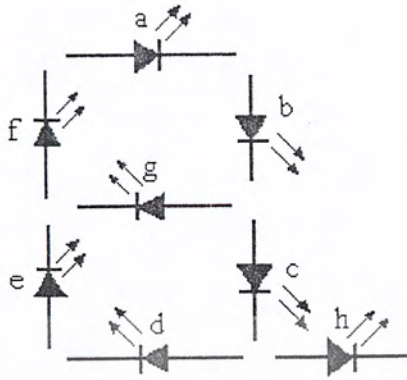
จอแสดงผลแบบผลึกเหลวที่ใช้ยู่ทั่วไปในปัจจุบันมีอยู่ 2 ชนิด คือชนิดไดนามิกสแกตเตอร์ (Dynamic Scattering) กับชนิดฟิลด์เอฟเฟ็ค (Field-effect) จอแสดงผลแบบผลึกเหลวชนิดหลังนิยมใช้มากกว่าชนิดแรก เพราะกินกระแสเพียง 20 เปอร์เซ็นต์ ของชนิดแรก และยังสามารถให้แสงได้ชัดแม้ในขณะที่แสงสว่างจากภายนอกจะมาก

### 2.7.2 จอแสดงผลแบบ 7 ส่วน

จอแสดงผลแบบ 7 ส่วน ประกอบด้วยไดโอดเปล่งแสงต่อกันเป็นรูปเลข 8 มีขาร่วม 1 ขา มีทั้งคาโอดร่วม และอานโอดร่วม

ไดโอดเปล่งแสง เป็นอุปกรณ์ที่ใช้แสดงผลของเอาต์พุตอย่างง่าย ๆ อย่างหนึ่ง และไดโอดเปล่งแสงแบบ 7 ส่วนจะใช้สำหรับแสดงตัวเลขฐานสิบ 0 ถึง 9 หรือแสดงเลขฐานสิบหก 0 ถึง F การกำหนดรูปแบบของตัวเลข และชื่อของแต่ละส่วน แสดงดังรูปที่ 2.40

ถ้ากำหนดให้การแสดงผลแบบ 7 ส่วนนี้เป็นแบบคาโอดร่วม และถ้าให้พอร์ตเอาต์พุตบิต D0 ต่อกับส่วน a บิต D1 ต่อกับส่วน b ตามลำดับ เมื่อบิตใดมีระดับเป็น 1 จะทำให้ส่วนนั้นติด ดังนั้นการแสดงผลตัวเลข สามารถเขียนเป็นรหัสเลขฐานสิบหกได้ วิธีการคือเมื่อต้องการให้การแสดงผลแบบ 7 ส่วนติดเป็นเลขใด ก็ส่งรูปแบบนั้นออกทางพอร์ตเอาต์พุต ซึ่งแสดงในตารางที่ 2.3



รูปที่ 2.40 ชื่อตำแหน่งของไดโอดเปล่งแสงในจอแสดงผลแบบ 7 ส่วน

ตารางที่ 2.3 รูปแบบของรหัสแสดงผลตัวเลขแบบ 7 ส่วน

เลข	D7	D6	D5	D4	D3	D2	D1	D0	รหัส
	.	g	f	e	d	c	b	a	
0	0	0	1	1	1	1	1	1	3F
1	0	0	0	0	0	1	1	0	06
2	0	1	0	1	1	0	1	1	5B
3	0	1	0	0	1	1	1	1	4F
4	0	1	1	0	0	1	1	0	66
5	0	1	1	0	1	1	0	1	6D
6	0	1	1	1	1	1	0	1	7D
7	0	0	0	0	0	1	1	1	07
8	0	1	1	1	1	1	1	1	7F
9	0	1	1	0	1	1	1	1	6F
A	0	1	1	1	0	1	1	1	77
B	0	1	1	1	1	1	0	0	7C
C	0	0	1	1	1	0	0	1	39
D	0	1	0	1	1	1	1	0	5E
E	0	1	1	1	1	0	0	1	79
F	0	1	1	1	0	0	0	1	71

เอกสารนี้เป็นเอกสารที่สงวนไว้สำหรับการใช้งานเพื่อการศึกษาเท่านั้น ไม่อนุญาตให้นำไปเผยแพร่โดยไม่ได้รับอนุญาต  
 ไม่ว่ากรณีใดๆ ทั้งสิ้น อีกทั้งห้ามมิให้ตัดแปลงเนื้อหา และต้องอ้างอิงถึงเจ้าของเอกสารทุกครั้งที่มีการนำไปใช้

## บทที่ 3

### การออกแบบ การสร้าง และการทำงาน

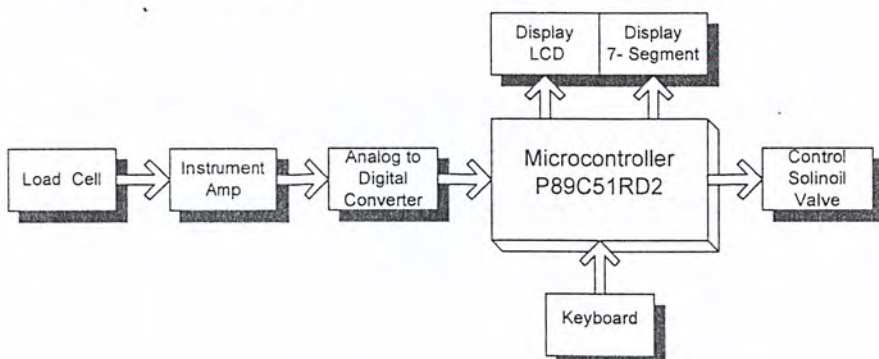
#### 3.1 กล่าวนำ

ในการออกแบบและการสร้างเครื่องชั่งและบรรจุเมล็ดพันธุ์ จะประกอบไปด้วยส่วนของโครงสร้างตัวเครื่องและวงจรต่างๆ ที่ใช้ในการควบคุมการทำงานของเครื่องชั่งและบรรจุเมล็ดพันธุ์ ได้แก่ วงจรแหล่งจ่ายไฟ วงจรแสดงผลแบบตัวเลข 7 ส่วน วงจรแสดงผลแบบผลึกเหลว วงจรเมตริกซ์สวิตช์ วงจรขั้วปรีเลย์ และวงจรควบคุมการทำงานหลัก

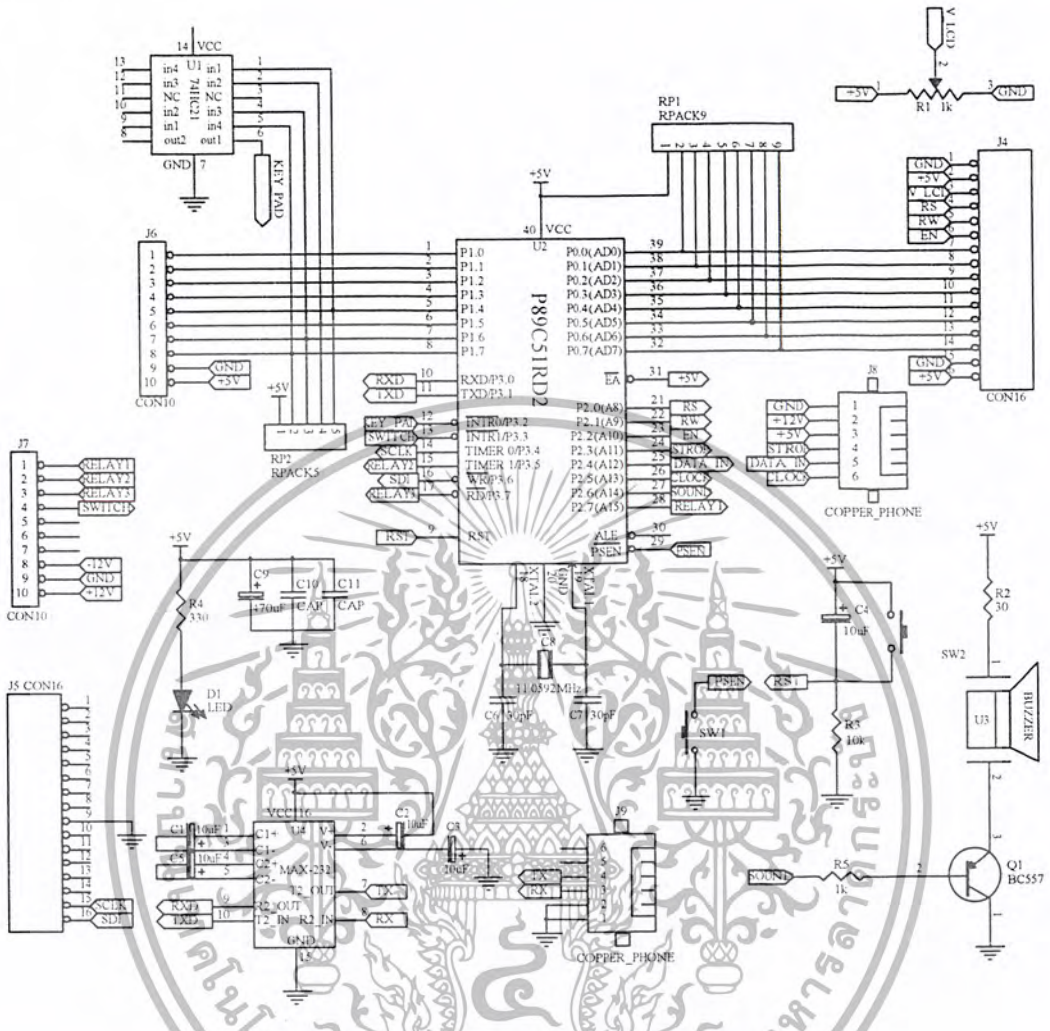
#### 3.2 การออกแบบทางด้านฮาร์ดแวร์

##### 3.2.1 บอร์ดควบคุมการทำงานหลัก

บอร์ดควบคุมการทำงานหลัก ใช้ในการควบคุมการทำงานของเครื่องชั่งและบรรจุเมล็ดพันธุ์ ได้ออกแบบให้มีการเชื่อมต่อกับส่วนต่างๆ ดังนี้ คีย์บอร์ด (Keyboard) วงจรแสดงผลแบบตัวเลข 7 ส่วน วงจรแสดงผลแบบผลึกเหลว วงจรขับโซลินอยด์วาล์ว มาต่อใช้งานกับบอร์ดควบคุมการทำงานหลัก โดยควบคุมการทำงานทั้งหมดผ่านทางไมโครคอนโทรลเลอร์ ซึ่งคีย์บอร์ดจะต่ออยู่กับพอร์ต P1 ทั้งพอร์ต ส่วนวงจรแสดงผลแบบตัวเลข 7 ส่วนนั้น เชื่อมต่อกับพอร์ต P2.3, P2.4 และ P2.5 ซึ่งเป็นการแสดงผลโดยใช้ไอซีแบบชิฟต์รีจิสเตอร์ (Shift Register) ขนาด 32 บิต วงจรขับโซลินอยด์วาล์วเชื่อมต่ออยู่ที่พอร์ต P2.7, P3.5 และ P3.7 จำนวน 3 บิต เพื่อควบคุมกระบอกสูบทั้งหมด 3 ตัว วงจรแสดงผลแบบผลึกเหลวจะใช้พอร์ต P0 เป็นตัวส่งข้อมูล และพอร์ต P2.0, P2.1, P2.3 เป็นตัวควบคุมจอแสดงผลแบบผลึกเหลว และมีการรับค่าจากอินดิเคเตอร์ที่เป็นค่าน้ำหนักที่วัดได้จากโหลดเซลล์ ผ่านทาง RS-232



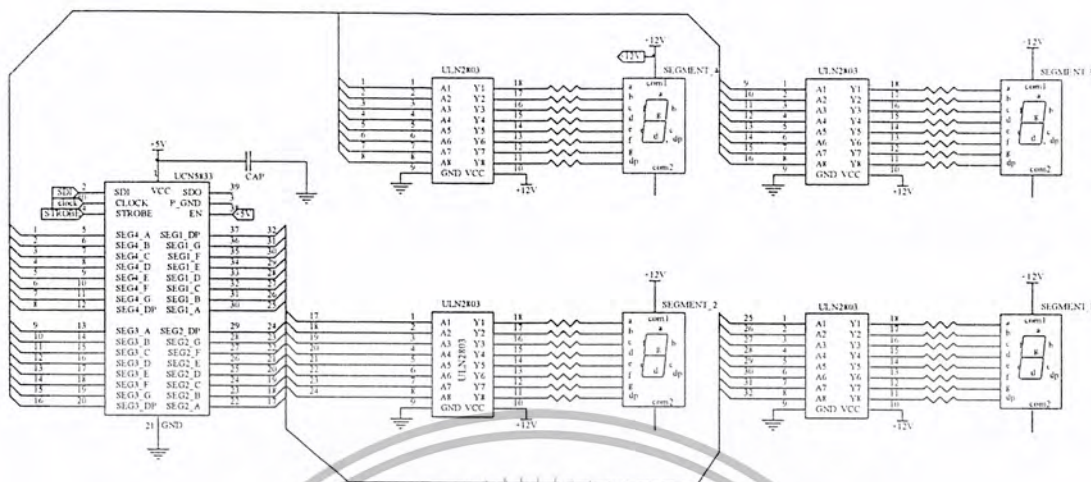
เอกสารนี้เป็นเอกสารที่สงวนไว้สำหรับการใช้งานเพื่อการศึกษาเท่านั้น ไม่อนุญาตให้นำไปใช้ประโยชน์ด้านการค้า  
รูปที่ 3.1 แผนผังการทำงานของเครื่องชั่งและบรรจุเมล็ดพันธุ์  
ไม่ว่ากรณีใดๆ ทั้งสิ้น อีกทั้งห้ามมิให้คัดแปลงเนื้อหา และต้องอ้างอิงถึงเจ้าของเอกสารทุกครั้งที่มีการนำไปใช้



รูปที่ 3.2 วงจรควบคุมการทำงานหลัก

### 3.2.2 วงจรแสดงผลแบบตัวเลข 7 ส่วน

วงจรแสดงผลแบบตัวเลข 7 ส่วน ใช้ในการแสดงผลค่าน้ำหนักของเมล็ดพันธุ์ที่อยู่ในถัง ซึ่ง โดยแสดงผลค่าน้ำหนักที่ซึ่งได้ออกมาเป็นตัวเลข ตั้งแต่ค่าน้ำหนัก 00.00 กิโลกรัม ไปจนถึงค่าน้ำหนัก 20.00 กิโลกรัม การแสดงผลจะใช้แอลอีดีตัวเลข 7 ส่วน จำนวน 4 หลัก ซึ่งจะใช้ไอซีเบอร์ UCN5833 เป็นไอซีซีพรีจีตเตอร์ ขนาด 32 บิต ทำให้ขั้วตัวเลข 7 ส่วน ได้จำนวน 4 หลักพอดี โดยจะใช้สายสัญญาณในการควบคุมการแสดงผล 3 เส้น คือ สัญญาณสโตรป (Strop), สัญญาณคลิก (Clock) และสัญญาณข้อมูล (Data) โดยเชื่อมต่อกับบอร์ดควบคุมการทำงานหลัก ที่พอร์ต P2.3, P2.4 และ P2.5 วงจรแสดงผลแบบตัวเลข 7 ส่วน ดังแสดงในรูปที่ 3.2

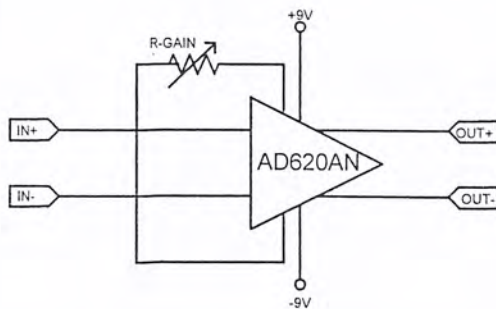


รูปที่ 3.3 วงจรแสดงแบบตัวเลข 7 ส่วน

### 3.2.3 วงจรขยายแรงดันจากโพลีเซลล์

เนื่องจากแรงดันเอาต์พุตที่ได้จาก โพลีเซลล์มีแรงดันต่ำมาก อยู่ในช่วงเพียงแค่มิลลิโวลต์เท่านั้น จึงต้องทำการขยายสัญญาณแรงดันนี้ ให้สูงขึ้นเพียงพอที่จะเอาสัญญาณนี้ไปป้อนให้แก่ วงจรแปลงสัญญาณจากแอนะล็อกเป็นสัญญาณดิจิทัลเพื่อที่จะทำการแปลงสัญญาณต่อไป

จากรูปที่ 3.3 รายละเอียดของวงจรขยายแรงดันจากโพลีเซลล์ ประกอบด้วยไอซี Instrument Amplifier เบอร์ AD620AN ทั่วหน้าที่ขยายแรงดัน โดยสามารถที่จะปรับอัตราขยายของสัญญาณได้ด้วยการใช้ R-GAIN จะใช้เป็นความต้านทานแบบปรับค่าได้ ซึ่งทำให้การปรับอัตราขยายของไอซีสามารถปรับได้อย่างละเอียด โดยวงจรถ่ายแรงดันใช้หลักการขยายแรงดันอินพุตจากโพลีเซลล์ให้เข้ามาแล้วปรับระดับแรงดันเอาต์พุตให้อยู่ในช่วงแรงดัน 0 – 5 โวลต์ จากนั้นส่งต่อให้วงจรแปลงสัญญาณแอนะล็อกเป็นสัญญาณดิจิทัล Instrument Amplifier ที่สามารถโปรแกรมเกนที่ขยายได้ (PGA) จึงเหมาะที่นำไปใช้งานเครื่องชั่งน้ำหนัก



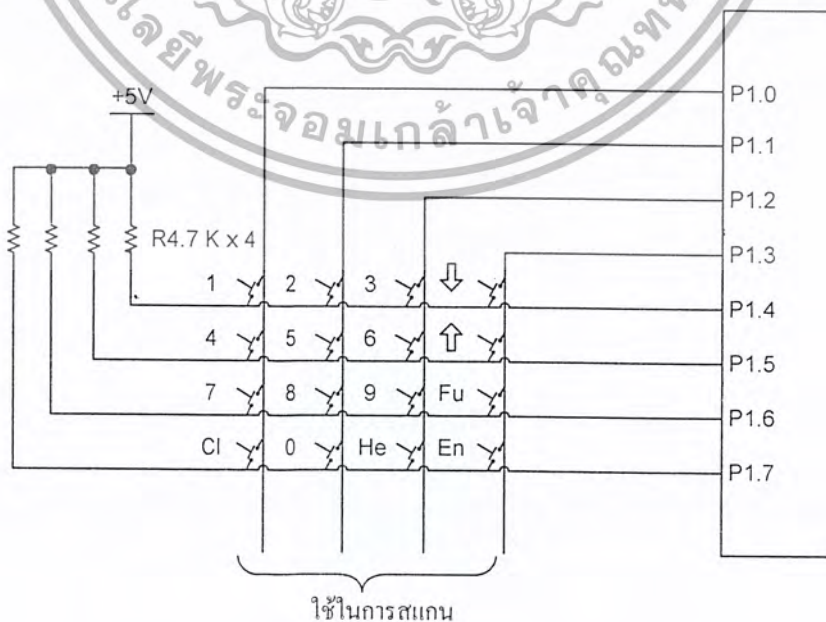
รูปที่ 3.4 วงจรขยายแรงดันจากโพลีเซลล์

### 3.2.4 บอร์ดแปลงสัญญาณแอนะล็อกเป็นสัญญาณดิจิทัล

บอร์ดแปลงสัญญาณแอนะล็อกเป็นสัญญาณดิจิทัลใช้งานในการแปลงสัญญาณแอนะล็อกที่ได้จากวงจรขยายสัญญาณจากโพลคเซล โดยใช้ไมโครคอนโทรลเลอร์ 89C51RD2 ควบคุมการทำงาน ซึ่งในบอร์ดแปลงสัญญาณแอนะล็อกเป็นสัญญาณดิจิทัลจะใช้ไอซีเบอร์ CS5525 (16-Bit Multi-Range ADC with 4-Bit Latch) ของคริสตอลที่ให้ประสิทธิภาพการทำงานที่ดี สัญญาณรบกวนต่ำ ขนาด 16 บิต สามารถเลือกต่อได้ทั้งคอมมอนโหมด (Common Mode) คือการวัดสัญญาณเทียบกับกราวด์ (Ground) หรือดิฟเฟอเรนเชียลโหมด (Differential Mode) โดยการวัดระดับแรงดันที่ขั้ว AIN+ กับ AIN- อีกทั้งยังสามารถแปลงสัญญาณแอนะล็อกเป็นสัญญาณดิจิทัลซึ่งไอซี A/D ขนาด 16 บิต มีความเที่ยงตรงสูง ความละเอียดระดับ 65535 ระดับ

### 3.2.5 วงจรเมตริกซ์สวิตช์

เมตริกซ์สวิตช์ (Matrix Switch) ใช้งานในการป้อนค่าน้ำหนักที่ต้องการซึ่งเมตริกซ์สวิตช์ที่ใช้จะมีขนาด 4 แถวคูณ 4 หลักจึงมีสวิตช์จำนวน 16 ตัว โดยเชื่อมต่อกับคีย์พอร์ตของบอร์ดควบคุมการทำงานหลักที่พอร์ต P1 โดยจะมีการส่งค่าข้อมูลออกไปทำกรสแกนในแต่ละหลัก จำนวน 4 บิต และทำการอ่านค่าข้อมูลของเมตริกซ์สวิตช์กลับเข้ามาเมื่อมีการกดปุ่มที่เมตริกซ์สวิตช์ ดังแสดงในรูปที่ 3.5





EE	ED	EB	E7
DE	DD	DB	D7
BE	BD	BB	B7
7E	7D	7B	77

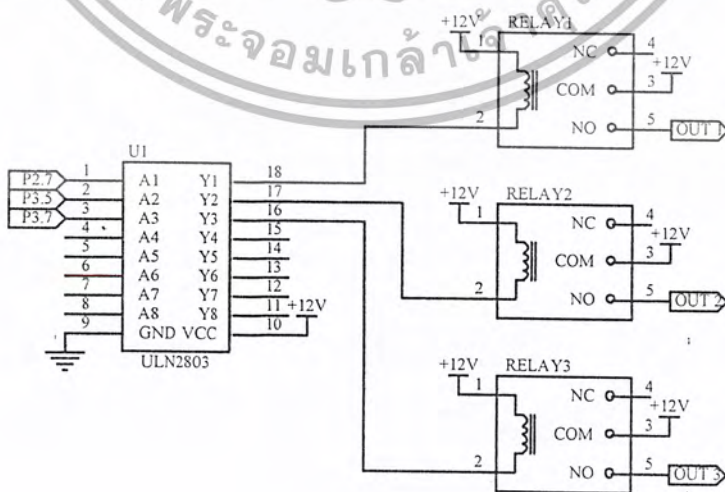
(ก) ชื่อของแต่ละคีย์

(ข) ค่ารหัสสแกนของแต่ละคีย์

รูปที่ 3.6 ชื่อและรหัสของคีย์แบบเมตริกซ์สวิตช์

### 3.2.6 วงจรขั้วบริเลย์

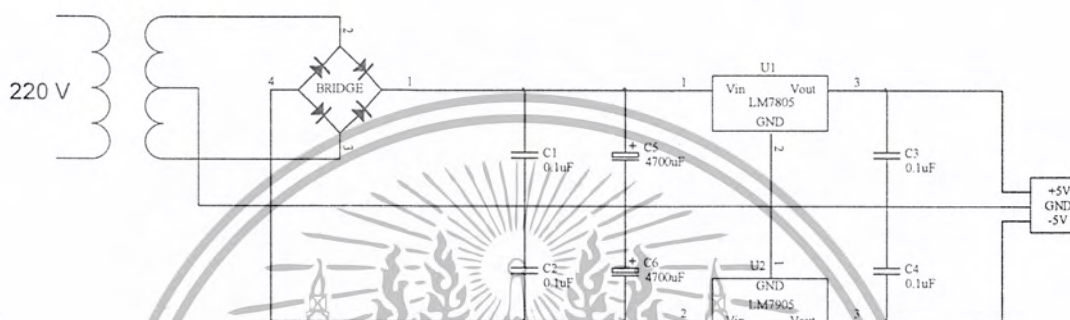
วงจรขั้วบริเลย์ ใช้ในการควบคุมการปิดเปิดของกระบอกสูบทั้ง 3 ตัวที่ติดตั้งอยู่ที่ตัวเครื่องขั้วบรรจุเมล็ดพันธุ์ โดยใช้ไอซีเบอร์ ULN2803 ซึ่งโครงสร้างภายในเป็นไอซีไครฟ์เวอร์แบบอินเวอร์เตอร์จำนวน 8 ตัว มาช่วยในการขับกระแสให้กับบริเลย์ ไอซีตัวนี้สามารถขับกระแสได้ถึง 500 มิลลิแอมป์ และมีวงจรไดโอดป้องกันกระแย้อนกลับจากสนามแม่เหล็กอยู่ภายในดังแสดงในรูปที่ 3.7



รูปที่ 3.7 วงจรขับโซลินอยด์สามตัว

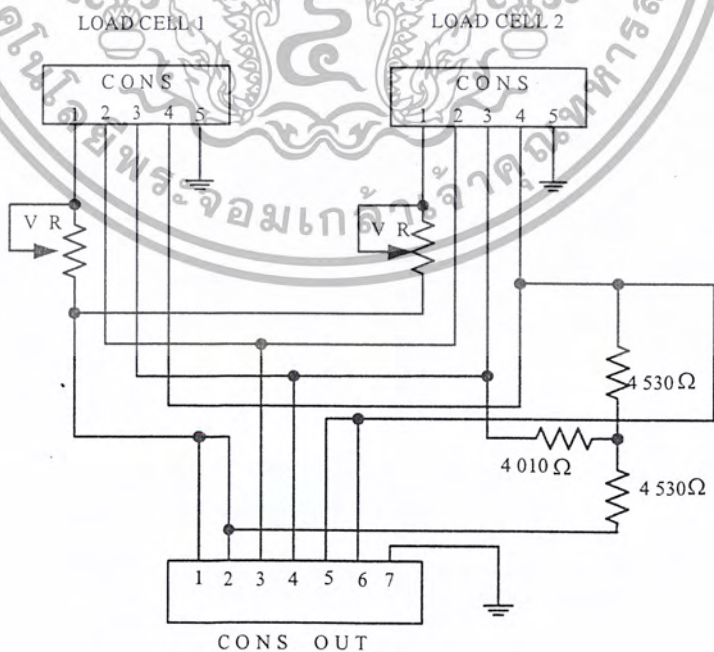
### 3.2.7 วงจรแหล่งจ่ายไฟ

วงจรแหล่งจ่ายไฟเป็นวงจรบริดจ์เรกติไฟเออร์ จะทำหน้าที่ในการแปลงไฟฟ้ากระแสสลับจากหม้อแปลง ให้เป็นให้เป็นไฟฟ้ากระแสตรง 5 V โดยใช้ IC 7805 และ 7905 เป็นตัวฟิวด์แรงดันที่  $\pm 5$  V



รูปที่ 3.8 วงจรแหล่งจ่ายไฟ

### 3.2.8 วงจรรวมสัญญาณจากโหนดเซลล์ (Summing)



รูปที่ 3.9 วงจรรวมสัญญาณจากโหนดเซลล์

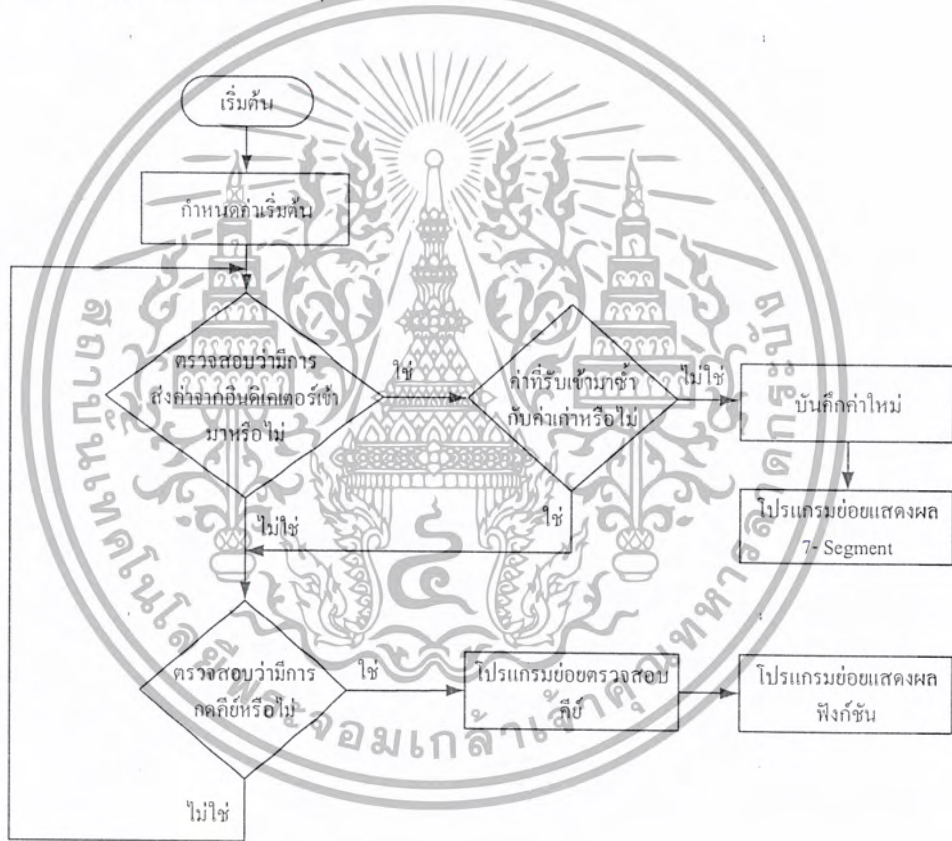
เอกสารนี้เป็นเอกสารที่สงวนไว้สำหรับการใช้งานเพื่อการศึกษาเท่านั้น ไม่อนุญาตให้นำไปใช้ประโยชน์ด้านการค้าไม่ว่ากรณีใดๆ ทั้งสิ้น อีกทั้งห้ามมิให้ตัดแปลงเนื้อหา และต้องอ้างอิงถึงเจ้าของเอกสารทุกครั้งที่มีการนำไปใช้

จากรูป 3.9 การทำงานของวงจรนี้จะทำหน้าที่ในการรวมสัญญาณแรงดันเอาต์พุตของ โหลด เซลล์เพื่อป้อนเข้าสู่ตัววงจร Instrument-Amp โดยอาศัยการปรับค่าของ VR ทั้ง 2 ตัวเพื่อให้ค่าแรงดัน นั้นเท่ากัน ซึ่งวงจรนี้ใช้กับโหลดเซลล์ได้ 2 ตัว

### 3.3 การออกแบบทางด้านซอฟต์แวร์

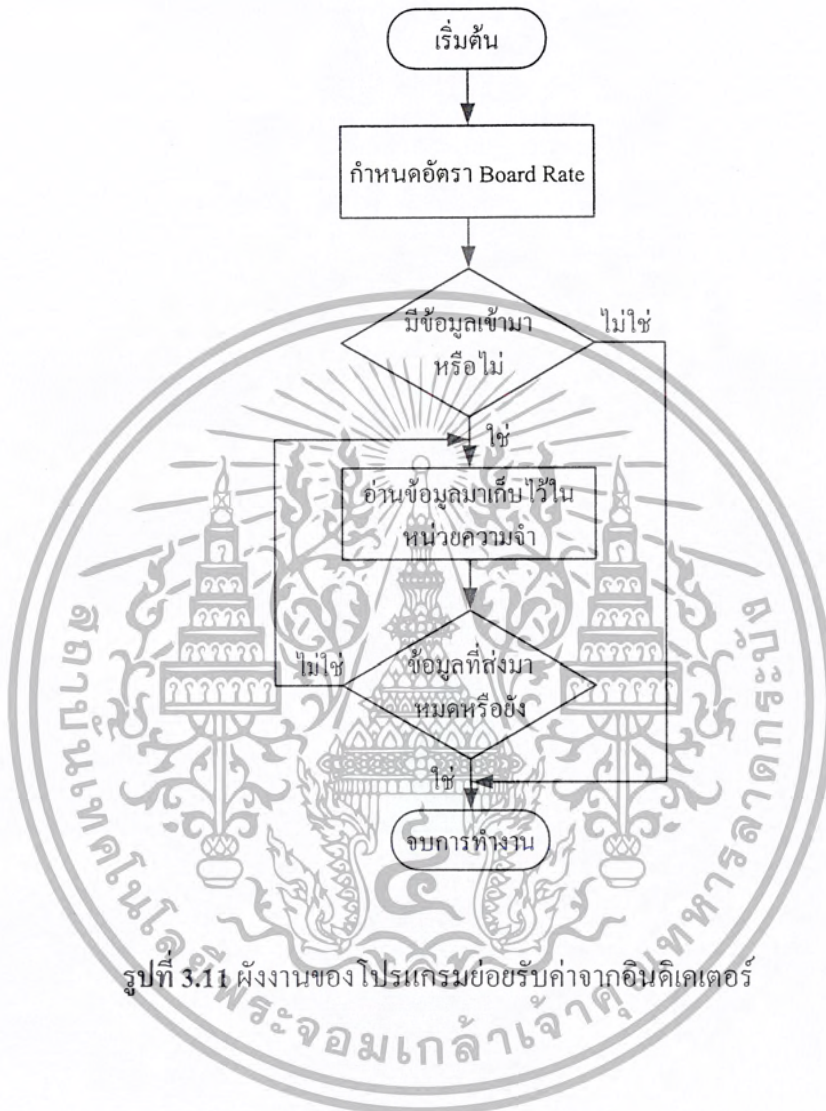
#### 3.3.1 การออกแบบโปรแกรมควบคุมการทำงานของเครื่องชั่งและบรรจุเมล็ดพันธุ์

##### 1. ฟังก์ชันของโปรแกรมควบคุมการทำงานหลัก



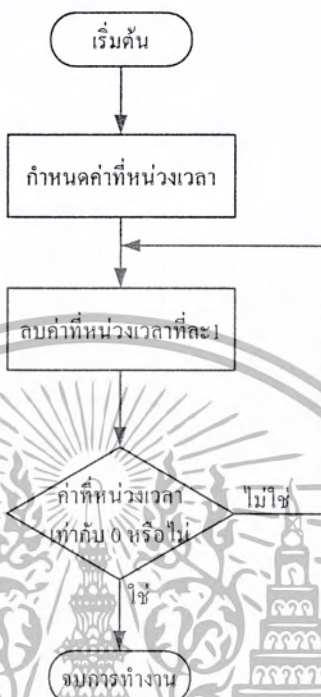
รูปที่ 3.10 ฟังก์ชันของโปรแกรมควบคุมการทำงานหลัก

## 2. ผังงานของโปรแกรมย่อยรับค่าจากอินดิเคเตอร์



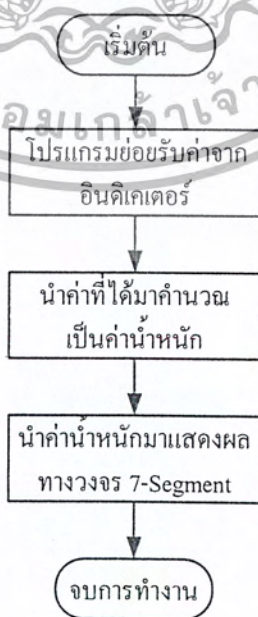
รูปที่ 3.11 ผังงานของโปรแกรมย่อยรับค่าจากอินดิเคเตอร์

3. ผังงานของโปรแกรมย่อยหน่วยเวลา



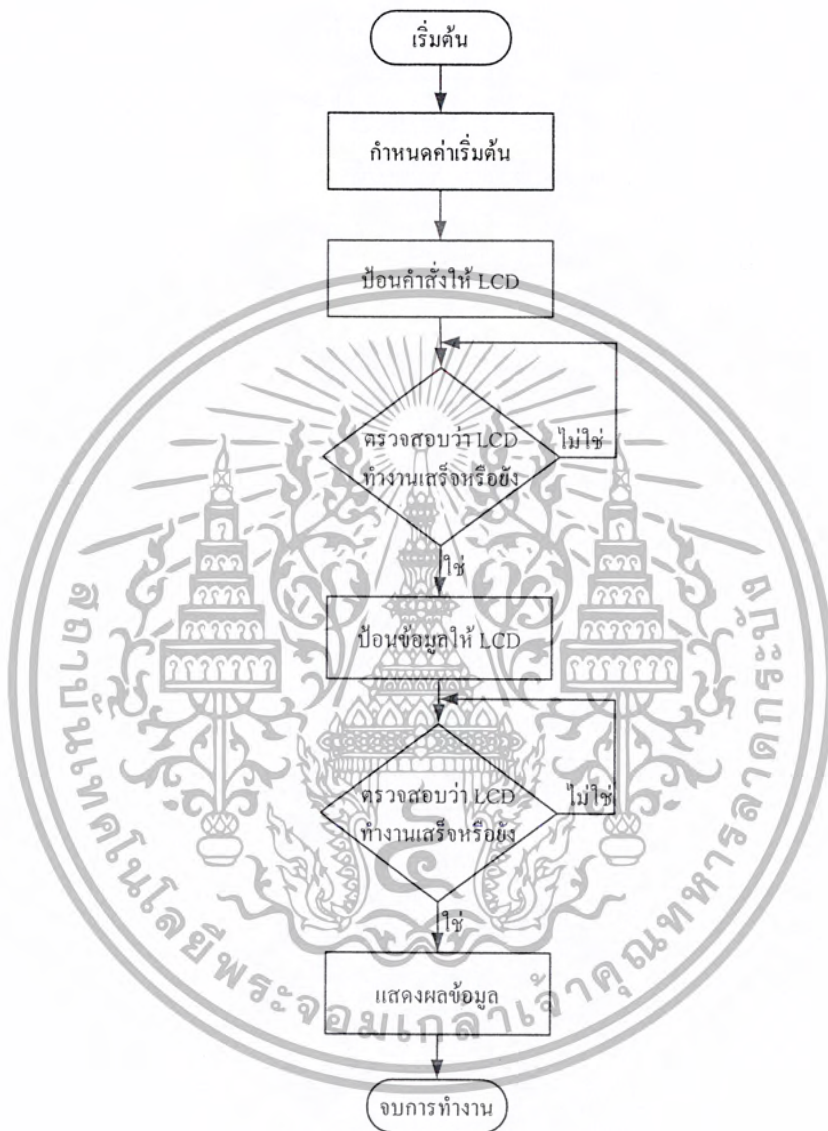
รูปที่ 3.12 ผังงานของโปรแกรมย่อยหน่วยเวลา

4. ผังงานของโปรแกรมย่อยแสดงผลทาง 7-Segment



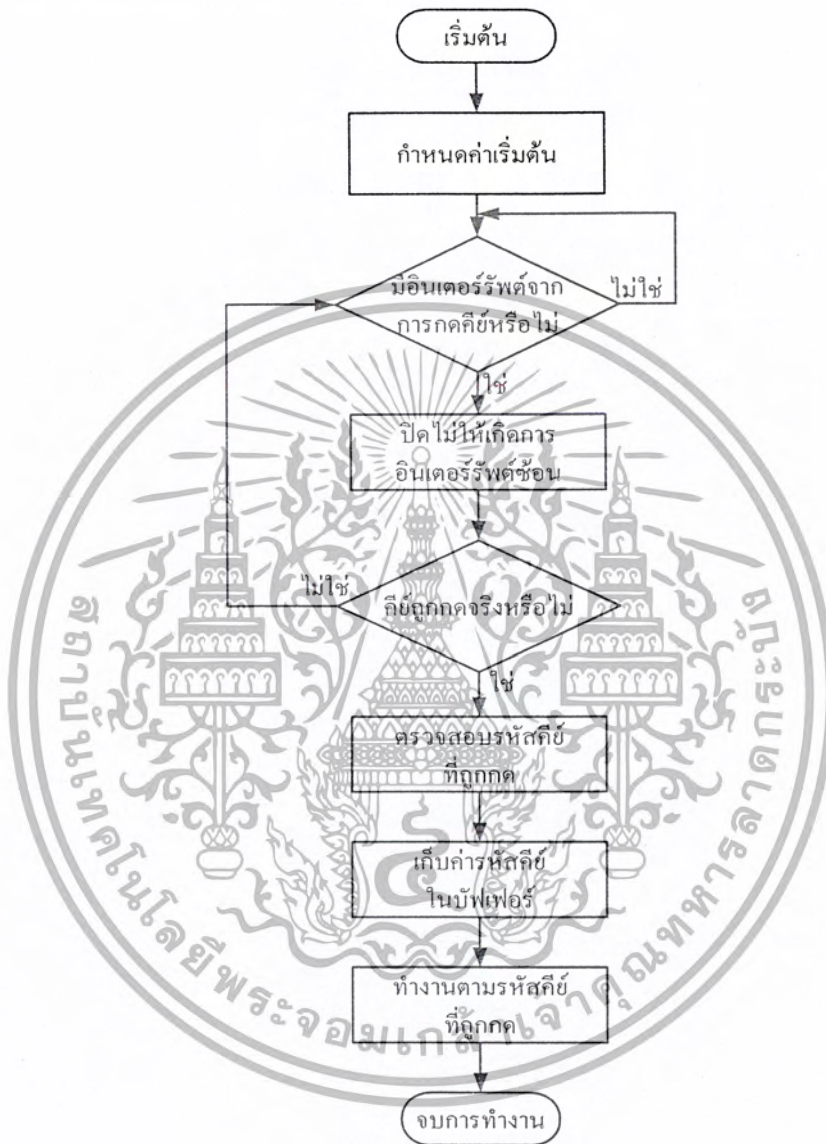
รูปที่ 3.13 ผังงานของโปรแกรมย่อยแสดงผลทาง 7-Segment

## 5. ผังงานของโปรแกรมย่อยแสดงผลแบบผลึกเหลว



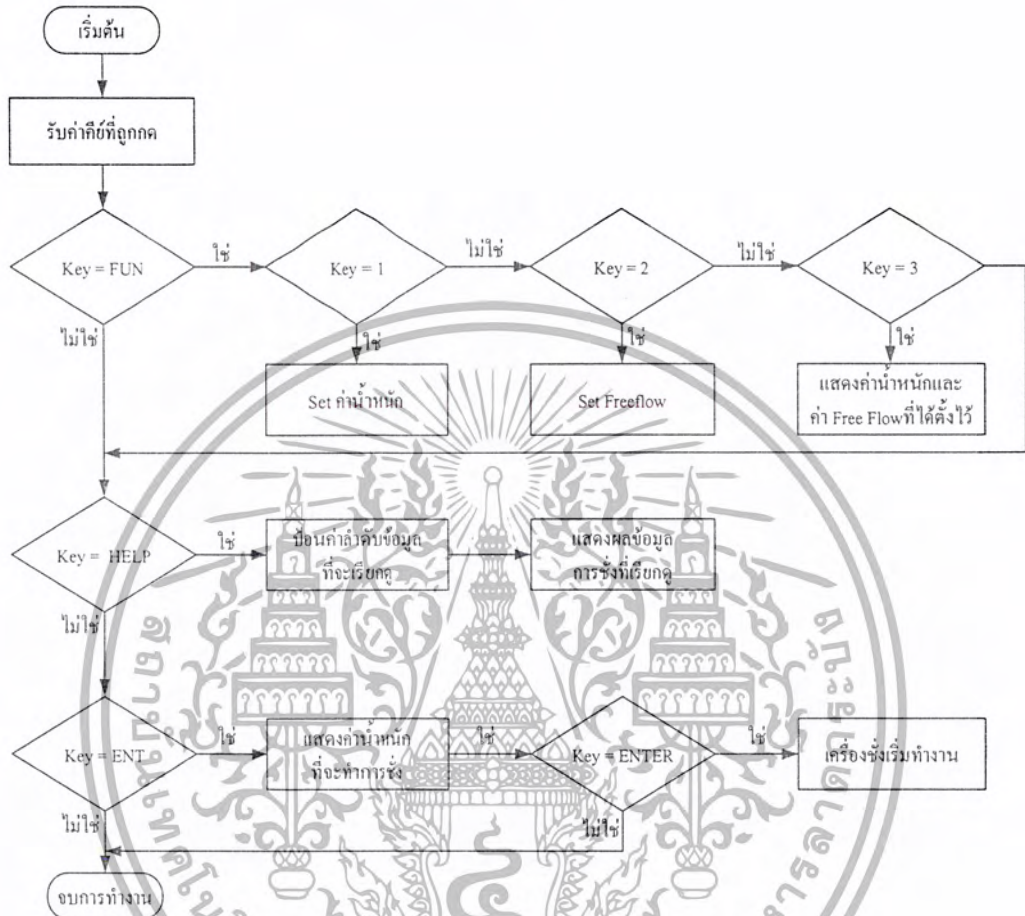
รูปที่ 3.14 ผังงานของ โปรแกรมย่อยแสดงผลแบบผลึกเหลว

## 6. ผังงานของโปรแกรมย่อยตรวจสอบคีย์



รูปที่ 3.15 ผังงานของโปรแกรมย่อยตรวจสอบคีย์

7. ฟังก์ชันของโปรแกรมย่อยแสดงผลฟังก์ชัน

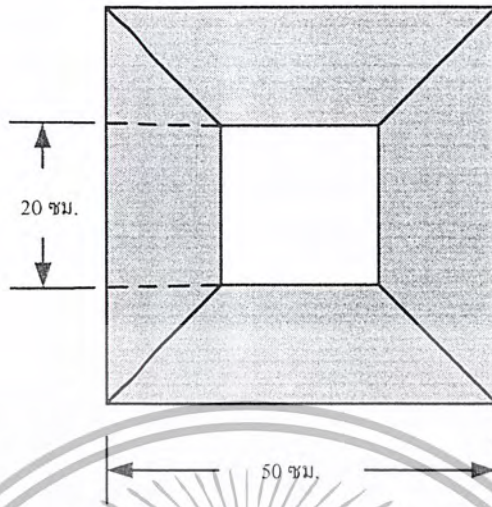


รูปที่ 3.16 ฟังก์ชันของ โปรแกรมย่อยแสดงผลฟังก์ชัน

3.4 การออกแบบโครงสร้างของเครื่องชั่งและบรรจุเมล็ดพันธุ์

3.4.1 ส่วนบรรจุเมล็ดพันธุ์

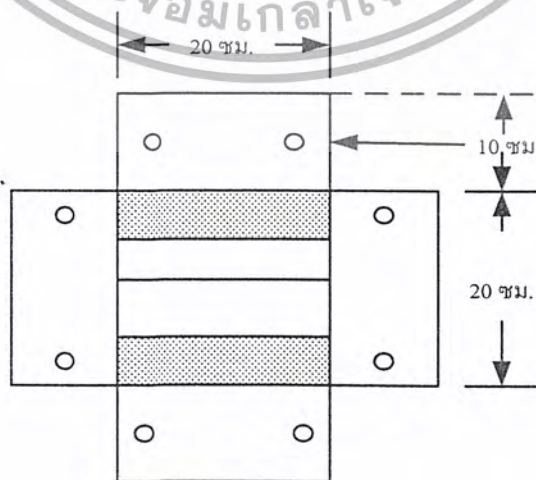
การทำงานของส่วนบรรจุวัตถุดิบนั้น เป็นเพียงส่วนที่ใช้เป็นถังเก็บเมล็ดพันธุ์เพื่อที่จะได้นำไปชั่งตามน้ำหนักที่ได้ทำการตั้งค่าเอาไว้ โดยที่ถังนี้จะสามารถเก็บบรรจุเมล็ดพันธุ์ได้ประมาณ 50 กิโลกรัม ถังนี้จะถูกติดตั้งอยู่ส่วนบนสุดของเครื่อง



รูปที่ 3.17 แบบส่วนบรรจุวัตถุคืบ

### 3.4.2 ส่วนควบคุมการโรยเมล็ดพันธุ์

การทำงานของส่วนควบคุมการโรยของเมล็ดพันธุ์มีหน้าที่ปิดและเปิด ให้เมล็ดพันธุ์โรยลงสู่ถังซึ่งตามปริมาณของน้ำหนักรที่ติดตั้งไว้ ภายในตัวถังจะออกแบบให้มีช่องปล่อยเมล็ดพันธุ์จำนวน 2 ช่อง ซึ่งมีขนาด 5 x 15 เซนติเมตร และขนาด 2 x 15 เซนติเมตร ในขณะที่เครื่องทำงานช่องปล่อยเมล็ดพันธุ์ช่องใหญ่จะเปิดออกเพื่อให้เมล็ดพันธุ์ไหลลงสู่ถังซึ่ง เมื่อได้น้ำหนักค่าที่ตั้งไว้ค่าหนึ่งแล้วช่องปล่อยเมล็ดพันธุ์ช่องใหญ่จะปิด ต่อจากนั้นช่องปล่อยเมล็ดพันธุ์ช่องเล็กจะเปิดออกเพื่อเป็นตัวค่อยๆ โรยเมล็ดพันธุ์ลงสู่ถังซึ่งให้มีความผิดพลาดของค่าน้ำหนักน้อยที่สุด



### 3.4.3 ส่วนถังซังเมล็ดพันธุ์

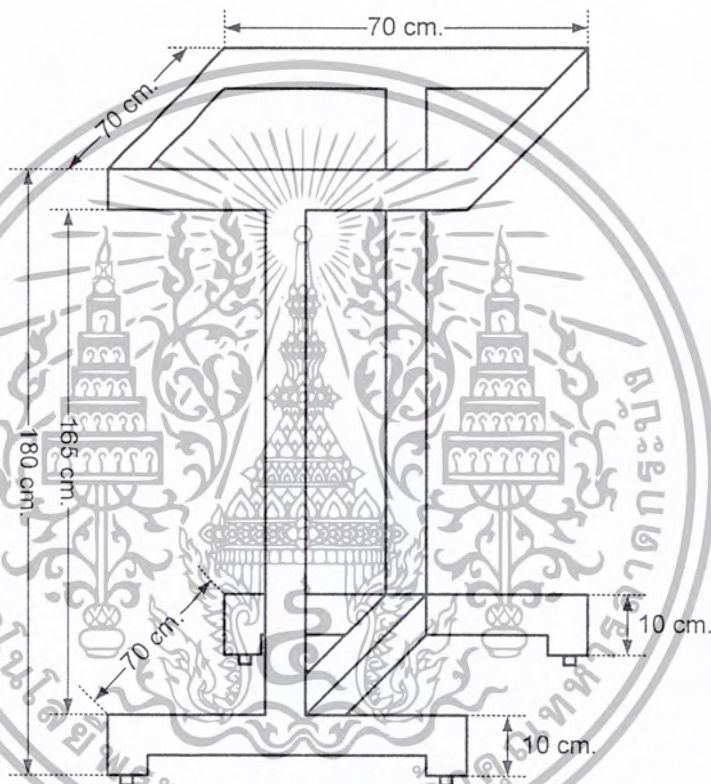
เมล็ดพันธุ์ที่ถูกโรยมาจากช่องปล่อยเมล็ดพันธุ์จะตกสู่ถังซังนี้ ซึ่งสามารถรองรับเมล็ดพันธุ์ได้ประมาณ 20 กิโลกรัม ด้านข้างของถังซังเมล็ดพันธุ์ทั้ง 2 ข้างจะต่อแกนขึ้นไปยึดติดกับคานที่วางบนจุดรับน้ำหนักของโหลดเซลล์ ทั้ง 2 ตัว น้ำหนักรวมทั้งหมดของถังซังจะถูกเฉลี่ยด้วยโหลดเซลล์ทั้ง 2 ตัวนี้อย่างเท่าๆ กัน ทำให้ค่าน้ำหนักที่ได้มีความเสถียรมากกว่าการติดตั้งโหลดเซลล์ตัวเดียวในการตรวจวัดค่าน้ำหนัก ส่วนด้านล่างของตัวถังซังจะติดตั้งกระบอกสูบลมยึดกับตัวบานพับ เพื่อทำหน้าที่ในการปิดและเปิดให้เมล็ดพันธุ์ลงสู่ถังบรรจุต่อไป



รูปที่ 3.19 แบบส่วนควบคุมการซังตวง

### 3.4.4 ส่วนโครงเหล็ก

ความสำคัญของส่วนนี้คือเป็นที่ยึดของทั้ง 3 ส่วนซึ่งได้แก่ส่วนบรรจุเมล็ดพันธุ์ ส่วนควบคุมการโรยเมล็ดพันธุ์ และส่วนถังชั่งเมล็ดพันธุ์ ซึ่งติดตั้งอยู่ในส่วนโครงเหล็กนี้ ให้สามารถทำการชั่งน้ำหนักของเมล็ดพันธุ์ให้ได้ค่าออกมาถูกต้อง และมีเสถียรภาพ



รูปที่ 3.20 ส่วนโครงเหล็กของเครื่อง

## บทที่ 4

### การทดลองและผลการทดลอง

#### 4.1 กล่าวนำ

จากที่ได้กล่าวมาแล้วในบทที่ 3 เกี่ยวกับการสร้างและการออกแบบ ทั้งทางด้านฮาร์ดแวร์ และซอฟต์แวร์ ในบทนี้จะเป็นการทดลองและผลการทดลอง ตามที่ได้ออกแบบไว้ในแต่ละวงจร ของการทดลองนั้นมีผลของการทดลองที่ถูกต้องหรือไม่ ดังนั้นในการทดลองจึงแยกย่อยออกเป็น การทดลองแต่ละวงจร ดังนี้

#### 4.2 การทดลองและผลการทดลอง

##### 4.2.1 การทดลองและผลการทดลองโหนดเซลล์

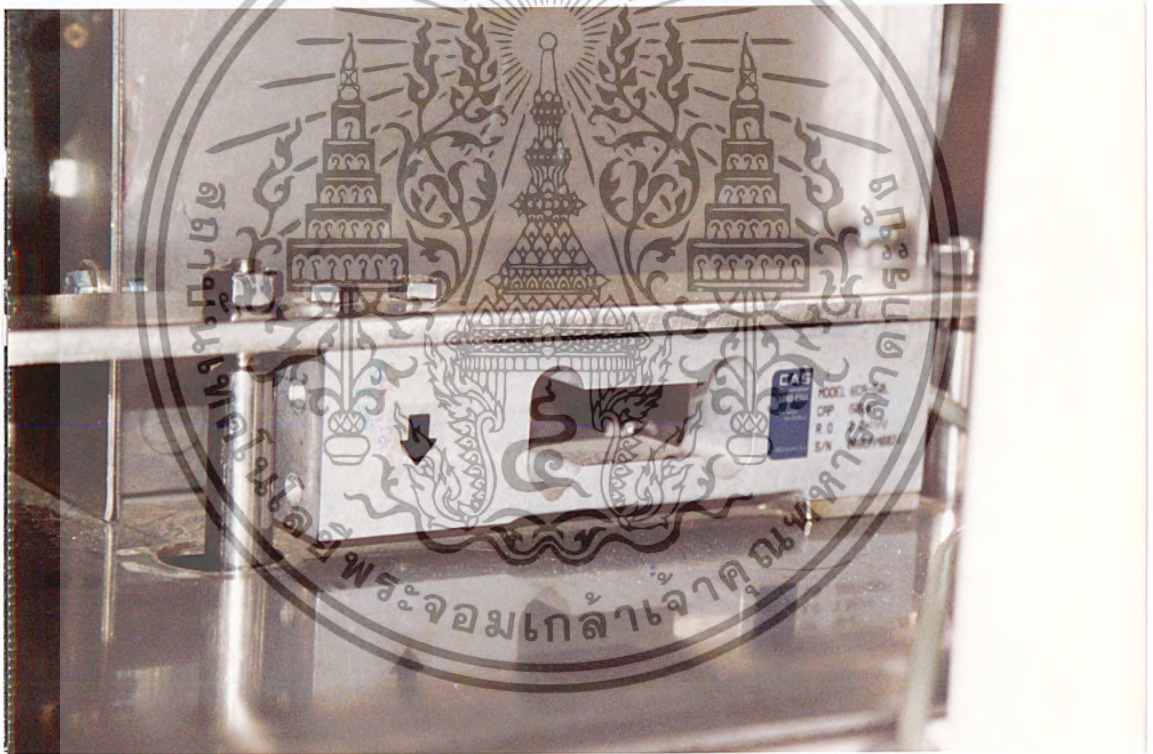
เริ่มต้นที่ป้อนน้ำหนักพบว่า แรงดันเริ่มต้นที่โหนดเซลล์ตัวที่หนึ่งมีค่าเท่ากับ 2 มิลลิโวลต์ ที่โหนดเซลล์ตัวที่สองแรงดันเริ่มต้นมีค่าเท่ากับ 1.8 มิลลิโวลต์ เมื่อโหนดเซลล์ทั้งสองตัวให้ค่า แรงดันเริ่มต้นไม่เท่ากัน ทำให้การเขียน โปรแกรมควบคุมว่าตัวเปิดและปิดของกระบอกสูบทั้งสอง ตัวที่ถึงช่วงมีลักษณะที่ไม่เหมือนกัน ซึ่งโหนดเซลล์แต่ละตัวให้ค่าของน้ำหนักที่ถึงช่วงดังนี้

ตารางที่ 4.1 ผลการทดลอง โหนดเซลล์ตัวที่หนึ่งที่น้ำหนัก 0-20 กิโลกรัม

น้ำหนัก (กิโลกรัม)	แรงดัน (มิลลิโวลต์)
0	2
5	2.9
10	3.8
15	4.7
20	5.6

ตารางที่ 4.2 ผลการทดลองโพลดเซลล์ตัวที่สองที่น้ำหนัก 0-20 กิโลกรัม

น้ำหนัก ( กิโลกรัม )	แรงดัน ( มิลลิโวลท์ )
0	1.8
5	2.7
10	3.6
15	4.5
20	5.4



รูปที่ 4.1 การติดตั้งโพลดเซลล์

#### 4.2.2 การทดลองและผลการทดลองวงจรแสดงผลแบบตัวเลข 7 ส่วน

วงจรแสดงผลแบบตัวเลข 7 ส่วน คือวงจรแสดงผลการทำงานของโปรแกรม ซึ่งจะมี ส่วนประกอบของวงจรขับ 7 - Segment และ ตัว 7 - segment รวมกันทั้งหมด 4 ตัว การใช้งาน โดยรวมของวงจรแสดงผลแบบตัวเลข 7 ส่วน ก็คือการแสดงผลข้อมูลต่างๆ ที่บอร์ดควบคุมการ

เอกสารนี้เป็นเอกสารที่สงวนไว้โดยหลักคำกัญนั้นวงจรถอดแสดงผลแบบตัวเลข 7 ส่วนนี้จะไม่อนุญาตให้ใช้ในการผลิตงานการค้า  
ไม่ว่ากรณีใดๆ ทั้งสิ้น อีกทั้งห้ามมิให้ตัดแปลงเนื้อหา และต้องอ้างอิงถึงเจ้าของเอกสารทุกครั้งที่มีการนำไปใช้

ข้อมูลของก้าน้ำหนักที่ได้จากการชั่งเมล็ดพันธุ์ ซึ่งการทดลองนี้คือการทำงานและการใช้งานวงจรแสดงผลแบบตัวเลข 7 ส่วน โดยได้ทำการทดลองดังนี้

### 1) ลำดับขั้นการทดลอง

1.1) ทำการเชื่อมต่อบอร์ดควบคุมการทำงานหลัก เครื่องคอมพิวเตอร์ และวงจรแสดงผลแบบตัวเลข 7 ส่วน ซึ่งแสดงได้ดังรูปที่ 4.3

1.2) จ่ายแรงดันให้แก่บอร์ดควบคุมการทำงานหลักจากวงจรภาคจ่ายไฟ ทดลองการดาวน์โหลดข้อมูลโปรแกรม ลงบนบอร์ดควบคุมการทำงานหลัก เมื่อโปรแกรมทำงานจะมีตัวเลขแสดงปรากฏที่วงจรแสดงผลแบบตัวเลข 7 ส่วน ซึ่งจะแสดงเป็นตัวเลข 1 – 4 โดยแสดง 1 ตัวเลขต่อ 1 หลักเท่านั้น

1.3) ทำการโหลดโปรแกรมลงบนบอร์ดควบคุมการทำงานหลัก โดยจะใช้โปรแกรม WinISP ขั้นแรกจะต้องเลือกไอซีที่ต้องการใช้ เลือกพอร์ตที่ใช้ในการติดต่อ แล้วกำหนดความถี่ที่ใช้ของไมโครคอนโทรลเลอร์ จากนั้นตั้งเส้นทาง (Path) ของไฟล์นามสกุล Hex ที่ต้องการจะส่งไปยังไมโครคอนโทรลเลอร์โดยใช้ปุ่ม Load File แล้วทำการลบข้อมูลที่อยู่ในไมโครคอนโทรลเลอร์ก่อน โดยการใช้ปุ่ม Erase Block แล้วเลือกบล็อกที่จะทำการโหลดข้อมูล หลังจากทำการลบข้อมูลที่อยู่ในไมโครคอนโทรลเลอร์แล้ว จะต้องทำให้ข้อมูลที่อยู่ในไมโครคอนโทรลเลอร์เป็นเนื้อที่ว่าง หรือมีค่าเป็น OFFH จึงสามารถที่จะโหลดข้อมูลลงในไมโครคอนโทรลเลอร์ได้ เมื่อทำการเช็คเนื้อที่ว่างเสร็จก็สามารถที่จะโหลดข้อมูลลงในไมโครคอนโทรลเลอร์ โดยใช้ปุ่ม Program Path

1.4) ถ้าการดาวน์โหลดไม่มีข้อผิดพลาดเกิดขึ้น โปรแกรม WinISP จะแสดงข้อความการดาวน์โหลดสมบูรณ์แล้ว

1.5) อ่านข้อมูลกลับจาก บอร์ดควบคุมการทำงานหลัก โดยเลือกคำสั่ง READ ที่อยู่บนโปรแกรม WinISP แล้วตรวจสอบว่าถูกต้องหรือไม่

1.6) เมื่อการดาวน์โหลดโปรแกรมสมบูรณ์แล้ว ขั้นตอนสุดท้ายคือทำการรันโปรแกรมที่อยู่บนบอร์ดควบคุมการทำงานหลัก จากนั้นทำการกดสวิทช์รีเซตบนบอร์ดควบคุมการทำงานหลัก เมื่อทำการกดสวิทช์รีเซตแล้วโปรแกรมก็จะแสดงผลการทำงาน

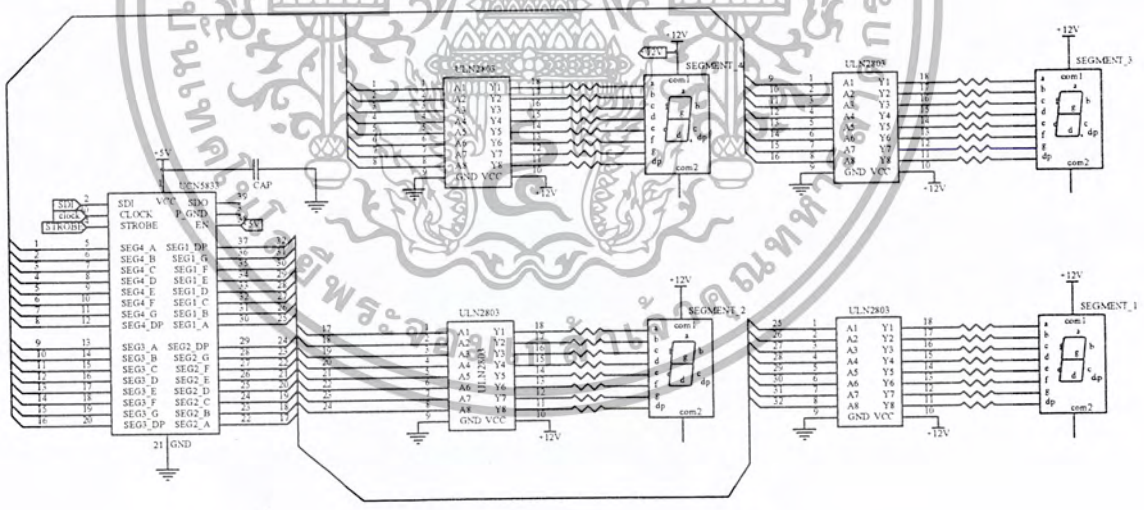
### 2) ผลการทดลอง

การทดลองโปรแกรมแสดงผลแบบตัวเลข 7 ส่วน ให้ผลได้ถูกต้อง โดยโปรแกรมนี้จะเป็นการส่งข้อมูลของตัวเลข 1, 2, 3 และ 4 ให้แสดงที่วงจรแสดงผลแบบตัวเลข 7 ส่วน และผลที่ได้จากการรันโปรแกรมก็ถือมีการแสดงตัวเลข 1, 2, 3 และ 4 ปรากฏที่วงจรแสดงผลแบบตัวเลข 7 ส่วน โดยแต่ละตัวเลขที่ปรากฏนั้นจะปรากฏหนึ่งตัวเลขต่อหนึ่งหลักของ 7-Segment

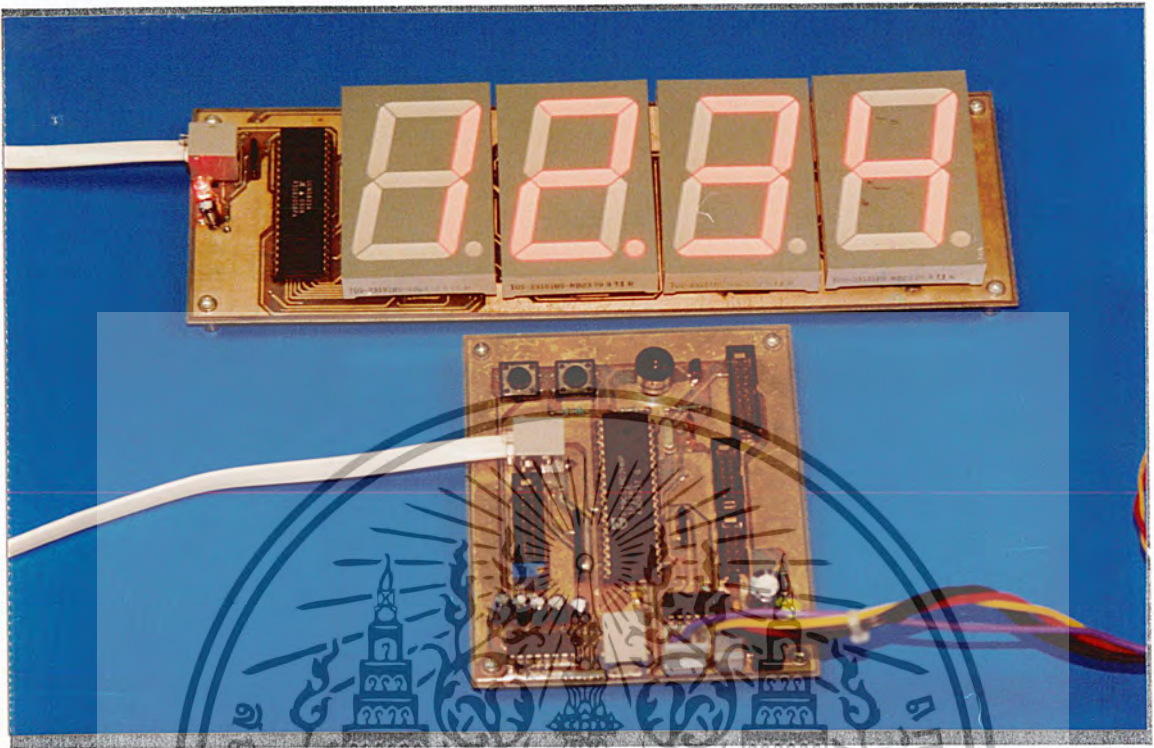
ตารางที่ 4.3 ผลการทดลองวงจรแสดงผลแบบตัวเลข 7 ส่วน

ลำดับหลักของ 7 – Segment ที่อยู่บน วงจรแสดงผลแบบตัวเลข 7 ส่วน	ผลของการแสดงตัวเลขที่ปรากฏบน วงจรแสดงผลแบบตัวเลข 7 ส่วน
หลักที่ 1	แสดงผลเลข 1
หลักที่ 2	แสดงผลเลข 2
หลักที่ 3	แสดงผลเลข 3
หลักที่ 4	แสดงผลเลข 4

จากตารางที่ 4.3 นี้จะเห็นว่าแต่ละหลักของ 7 – Segment ที่อยู่บนวงจรแสดงผลแบบตัวเลข 7 ส่วน นั้นสามารถทำงานได้ทุกหลัก และสามารถแสดงผลได้ถูกต้องทุกหลักเช่นกัน แต่ในการใช้งานจริงนี้วงจรแสดงผลแบบตัวเลข 7 ส่วน นี้จะใช้ในการแสดงผลตัวเลขที่เป็นค่านำหน้าของเมตริกพันที่อยู่เบื้องหลัง



รูปที่ 4.2 วงจรแสดงแบบตัวเลข 7 ส่วน



รูปที่ 4.3 บอร์ดแสดงผลแบบตัวเลข 7 ส่วน

#### 4.2.3 การทดลองและผลการทดลองวงจรแสดงผลแบบผลึกเหลว

จอแสดงผลผลึกเหลว จะใช้ร่วมกับส่วนอื่นๆ ของเครื่องชั่งและบรรจุเมล็ดพันธุ์ โดยมีจุดประสงค์เพื่อแสดงข้อมูลการชั่ง ในการทดลองนี้จะเป็นส่วนที่ทดลองว่าวงจรแสดงผลแบบผลึกเหลวใช้งานได้หรือไม่ และแสดงข้อมูลที่ถูกต้องหรือไม่ ซึ่งได้ทำการทดลองการทำงานดังนี้

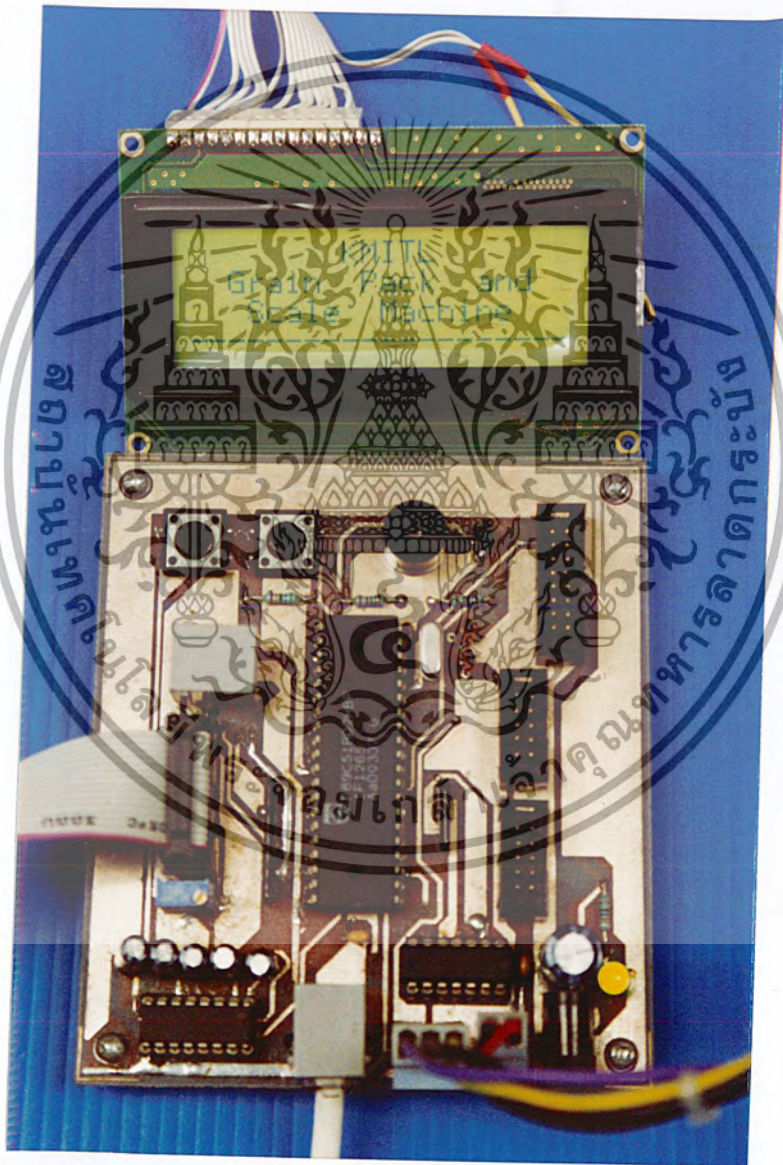
##### 1) ลำดับขั้นการทดลอง

- 1.1) ทำการเชื่อมต่อบอร์ดควบคุมการทำงานหลัก เครื่องคอมพิวเตอร์ และวงจรแสดงผลแบบผลึกเหลว ซึ่งแสดงดังรูปที่ 4.4
- 1.2) จ่ายแรงดันให้แก่บอร์ดควบคุมการทำงานหลักจากวงจรภาคจ่ายไฟ
- 1.3) ทดลองการดาวน์โหลดข้อมูลโปรแกรมลงบนบอร์ดควบคุมการทำงานหลัก ซึ่งโปรแกรมที่ใช้ในการทดลองคือโปรแกรมแสดงผลข้อมูลแบบผลึกเหลว โดยถ้าโปรแกรมทำงานจะแสดงข้อความว่า “Grain Pack and Scale Machine”
- 1.4) ทำการโหลดโปรแกรมลงบนบอร์ดควบคุมการทำงานหลัก

เอกสารนี้เป็นเอกสารที่สงวนไว้สำหรับการใช้งานเพื่อการศึกษาเท่านั้น ไม่อนุญาตให้นำไปใช้ประโยชน์ด้านการค้าไม่ว่ากรณีใดๆ ทั้งสิ้น อีกทั้งห้ามมิให้ตัดแปลงเนื้อหา และต้องอ้างอิงถึงเจ้าของเอกสารทุกครั้งที่มีการนำไปใช้

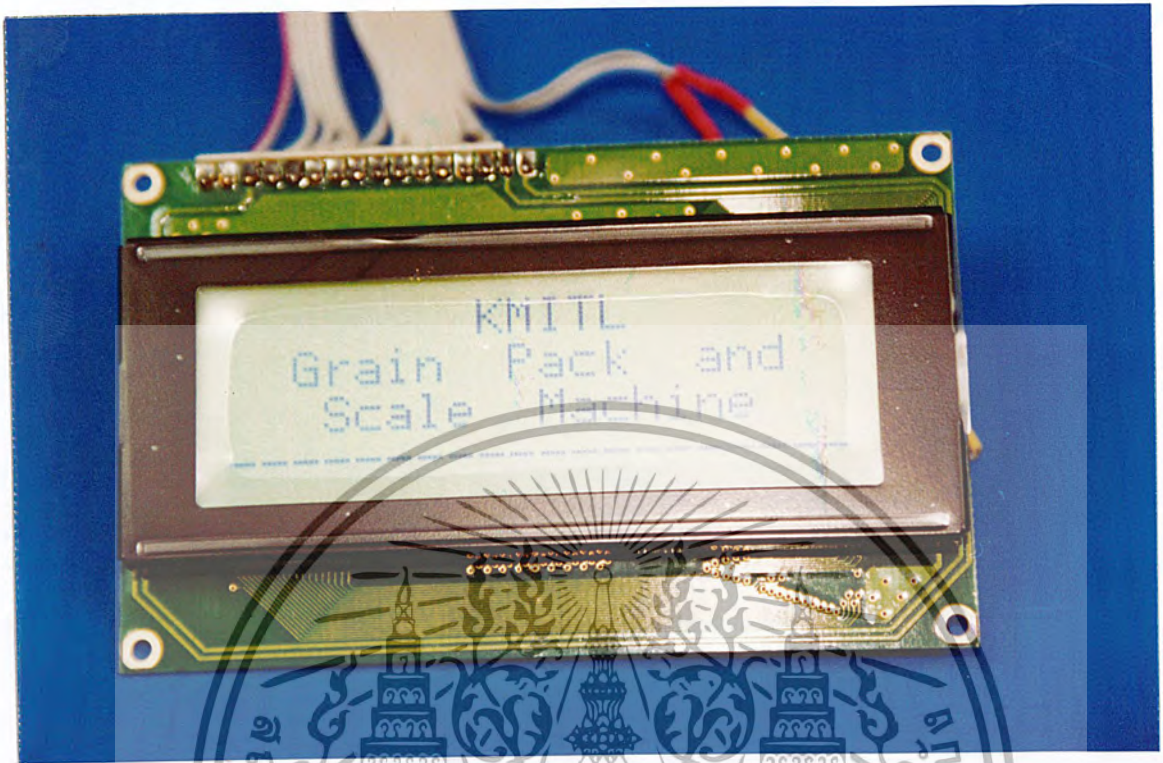
## 2) ผลการทดลอง

จากการทดลองให้ผลการทำงานที่ถูกต้อง โดยหลังจากการรันโปรแกรมแล้วจะปรากฏข้อความว่า “Grain Pack and Scale Machine” ที่หน้าจอแสดงผลสีเหลือง ซึ่งจากผลการทดลองจะเห็นว่า ถ้าต้องการส่งข้อมูลให้กับจอแสดงผลสีเหลืองสามารถทำได้โดยง่าย



รูปที่ 4.4 การเชื่อมต่อวงจรแสดงผลแบบผลึกเหลวกับบอร์ดควบคุมการทำงาน  ตัก

เอกสารนี้เป็นเอกสารที่สงวนไว้สำหรับการใช้งานเพื่อการศึกษาเท่านั้น ไม่อนุญาตให้นำไปใช้ประโยชน์ด้านการค้า  
ไม่ว่ากรณีใดๆ ทั้งสิ้น อีกทั้งห้ามมิให้ตัดแปลงเนื้อหา และต้องอ้างอิงถึงเจ้าของเอกสารทุกครั้งที่มีการนำไปใช้



รูปที่ 4.5 ข้อมูลบนจอแสดงผลแบบผลึกเหลว

จากผลการทดลอง สามารถบอกได้ว่าวงจรแสดงผลแบบผลึกเหลวสามารถทำงานได้จริง และมีการแสดงข้อมูลที่ถูกต้องสมบูรณ์ วงจรแสดงผลแบบผลึกเหลวนี้น่าจะมีความสำคัญมากในการแสดงผลข้อมูลการชั่งน้ำหนักของเครื่องชั่งและบรรจุเมล็ดพันธุ์

#### 4.2.4 การทดลองและผลการทดลองวงจรเมตริกซ์สวิตซ์

วงจรเมตริกซ์สวิตซ์ เป็นอุปกรณ์ที่ใช้เป็นตัวรับสัญญาณเข้ามาทางอินพุตเพื่อประมวลผลหรือแสดงผลข้อมูล โดยการใช้งานจะใช้ร่วมกับบอร์ดควบคุมการทำงานหลัก และใช้โปรแกรม WinISP ในการโหลดข้อมูลหรือโปรแกรมลงในบอร์ดควบคุมการทำงานหลัก จากนั้นรันโปรแกรมทดลองวงจรเมตริกซ์สวิตซ์นี้ ซึ่งได้ทำการทดลองดังนี้

##### 1) ลำดับขั้นการทดลอง

1.1) ทำการเชื่อมต่อบอร์ดควบคุมการทำงานหลัก เครื่องคอมพิวเตอร์ วงจรแสดงผล ตัวเลข 7 ส่วน และวงจรเมตริกซ์สวิตซ์เข้าด้วยกัน เพื่อทดลองการใช้งานวงจรเมตริกซ์สวิตซ์ ดังแสดงในรูปที่ 4.7

1.2) จ่ายแรงดันให้แก่บอร์ดควบคุมการทำงานหลักจากวงจรภาคจ่ายไฟ

เอกสารนี้เป็นเอกสารที่สงวนลิขสิทธิ์การควบคุมข้อมูลโปรแกรมลงในบอร์ดควบคุมการทำงานหลัก โดยไม่ว่ากรณีใดๆ ทั้งสิ้น อีกทั้งห้ามมิให้คัดลอกเนื้อหา และต้องอ้างอิงถึงเจ้าของเอกสารทุกครั้งที่มีการนำไปใช้

โปรแกรมที่ใช้ในการทดลองนี้ คือโปรแกรมแสดงการกดคีย์สวิตช์ของวงจรเมตริกซ์สวิตช์ โดยถ้ามีการกดคีย์สวิตช์ตามหมายเลขสวิตช์ 1 - 16 โปรแกรมก็จะนำค่าไปแสดงบนวงจรแสดงผลแบบตัวเลข 7 ส่วน ว่าคีย์ที่กดไปนั้นถูกต้องหรือไม่ เช่น ถ้ามีการกดคีย์สวิตช์หมายเลข 1 การแสดงผลจะต้องแสดงข้อมูล 1 หรือเลข 1 ที่วงจรแสดงผลแบบตัวเลข 7 ส่วน จึงถือว่าเป็นถูกต้อง

1.4) ทำการโหลดโปรแกรมลงไปในบอร์ดควบคุมการทำงานหลัก

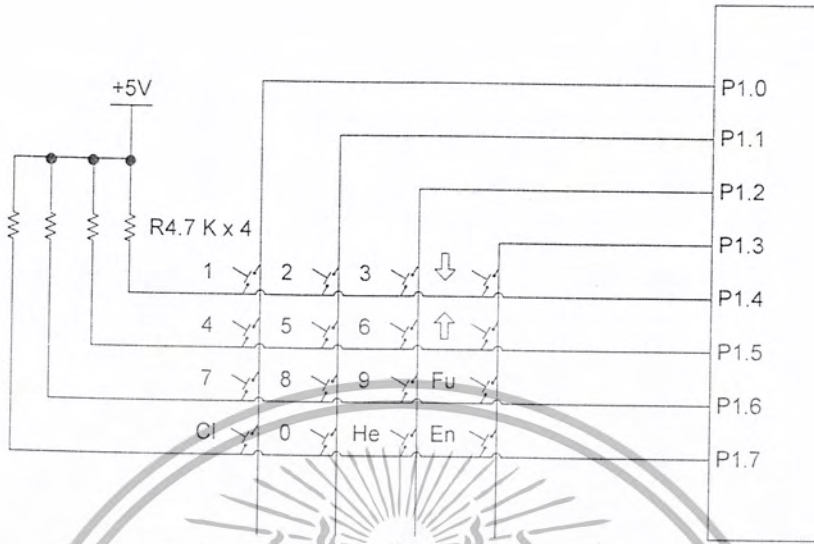
## 2) ผลการทดลอง

การทดลองโปรแกรมที่แสดงการกดคีย์สวิตช์ของวงจรเมตริกซ์สวิตช์ ให้ผลถูกต้องตามหมายเลขคีย์ที่กด จากการทดลองได้นำผลการทดลองการกดคีย์สวิตช์มาบันทึกลงในตารางการทดลองดังนี้

ตารางที่ 4.4 ผลการทดลองการกดคีย์สวิตช์

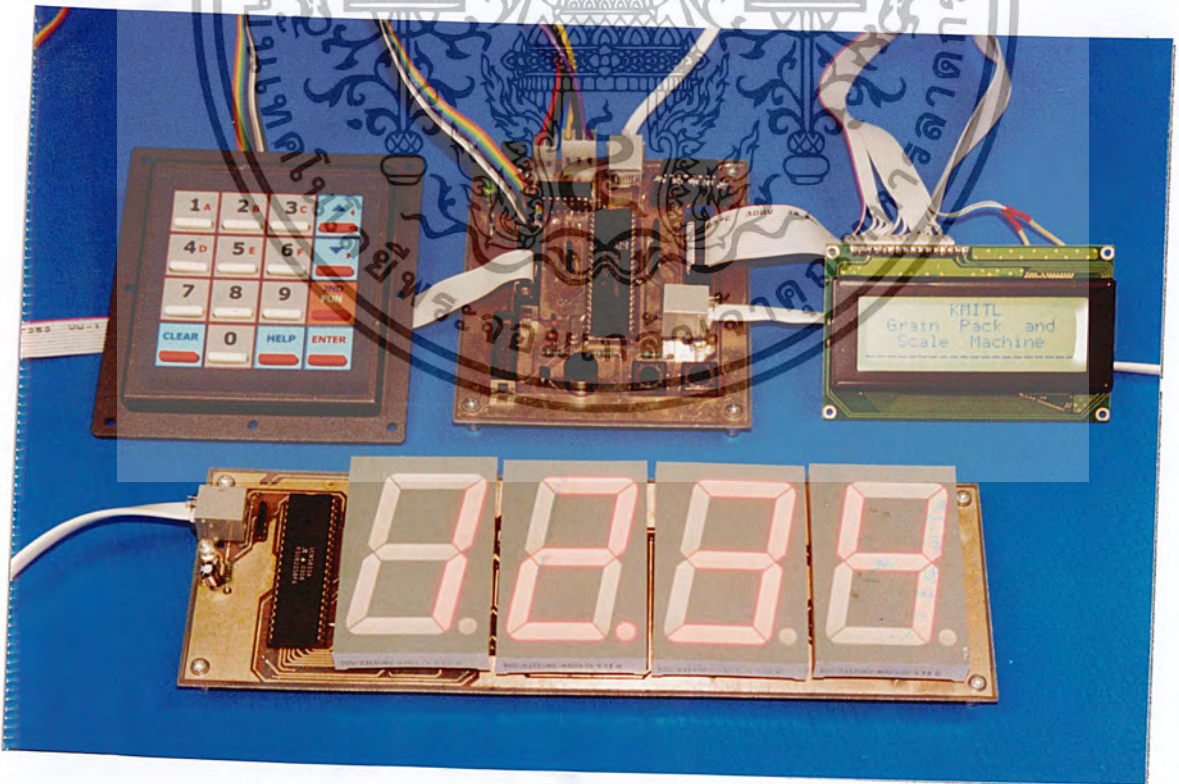
หมายเลขคีย์ที่ถูกกด	การแสดงผลบนวงจรแสดงผลแบบตัวเลข 7 ส่วน
คีย์หมายเลข 1	แสดงตัวเลข 1
คีย์หมายเลข 2	แสดงตัวเลข 2
คีย์หมายเลข 3	แสดงตัวเลข 3
คีย์หมายเลข 4	แสดงตัวเลข 4
คีย์หมายเลข 5	แสดงตัวเลข 5
คีย์หมายเลข 6	แสดงตัวเลข 6
คีย์หมายเลข 7	แสดงตัวเลข 7
คีย์หมายเลข 8	แสดงตัวเลข 8
คีย์หมายเลข 9	แสดงตัวเลข 9
คีย์หมายเลข 10	แสดงตัวเลข 10
คีย์หมายเลข 11	แสดงตัวเลข 11
คีย์หมายเลข 12	แสดงตัวเลข 12
คีย์หมายเลข 13	แสดงตัวเลข 13
คีย์หมายเลข 14	แสดงตัวเลข 14
คีย์หมายเลข 15	แสดงตัวเลข 15
คีย์หมายเลข 16	แสดงตัวเลข 16

เอกสารนี้เป็นเอกสารที่สงวนไว้สำหรับการใช้งานเพื่อการศึกษาเท่านั้น ไม่อนุญาตให้นำไปใช้ประโยชน์ด้านการค้า  
ไม่ว่ากรณีใดๆ ทั้งสิ้น อีกทั้งห้ามมิให้คัดลอกเนื้อหา และต้องอ้างอิงถึงเจ้าของเอกสารทุกครั้งที่มีการนำไปใช้



ใช้ในการสแกน

รูปที่ 4.6 วงจรเมตริกซ์สวิตช์



รูปที่ 4.7 การเชื่อมต่อวงจรเมตริกซ์สวิตช์กับบอร์ดควบคุมการทำงานหลัก

เอกสารนี้เป็นเอกสารที่สงวนไว้สำหรับการใช้งานเพื่อการศึกษาเท่านั้น ไม่นิยมนำไปใช้ประโยชน์ด้านการค้า  
ไม่ว่ากรณีใดๆ ทั้งสิ้น อีกทั้งห้ามมิให้ตัดแปลงเนื้อหา และต้องอ้างอิงถึงเจ้าของเอกสารทุกครั้งที่มีการนำไปใช้

#### 4.2.5 การทดลองและผลการทดลองวงจรขั้วรีเลย์

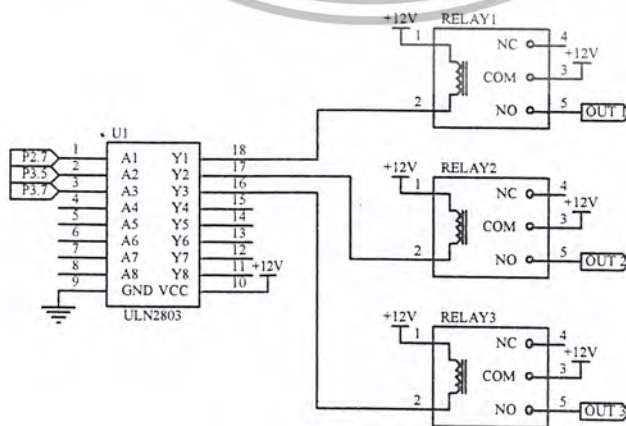
วงจรขั้วรีเลย์ ใช้ในการควบคุมการปิดเปิดของกระบอกสูบทั้ง 3 ตัวที่ติดตั้งอยู่ที่ตัวเครื่องซึ่งบรรจุเมล็ดพันธุ์ โดยใช้ไอซีเบอร์ ULN2803 ซึ่งโครงสร้างภายในเป็นไอซีไคริปต์เวอร์แบบอินเวอร์เตอร์จำนวน 8 ตัว มาช่วยในการขับกระแสให้กับรีเลย์ ไอซีตัวนี้สามารถขับกระแสได้ถึง 500 มิลลิแอมป์ และมีวงจรวัดป้องกันกระแสย้อนกลับจากสนามแม่เหล็กที่อยู่ภายใน โดยการใช้งานจะใช้ร่วมกับบอร์ดควบคุมการทำงานหลัก และใช้โปรแกรม WinISP ในการโหลดข้อมูลหรือโปรแกรมลงในบอร์ดควบคุมการทำงานหลัก จากนั้นรันโปรแกรมทดลองวงจรขั้วรีเลย์นี้ เพื่อใช้ในการทดลองการใช้งานวงจรขั้วรีเลย์ ซึ่งได้ทำการทดลองการทำงานดังนี้

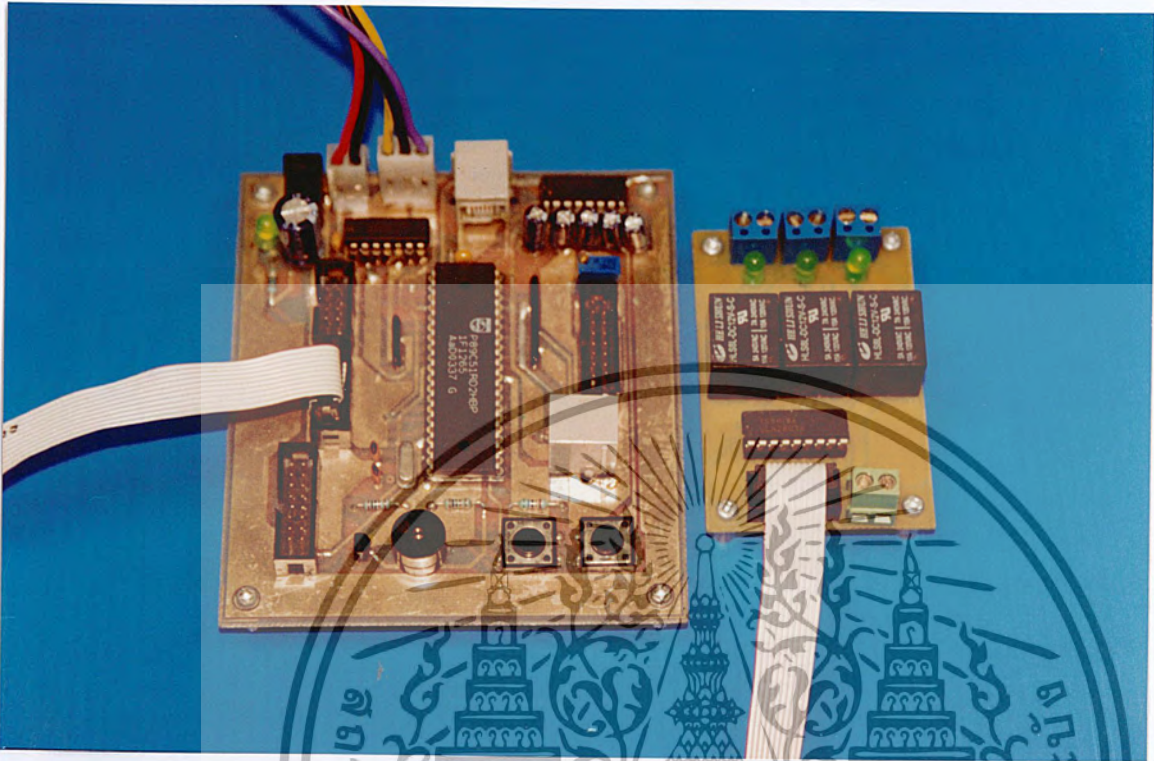
##### 1) ลำดับขั้นการทดลอง

- 1.1) ทำการเชื่อมต่อบอร์ดควบคุมการทำงานหลัก และวงจรขั้วรีเลย์ ดังรูปที่ 4.9
- 1.2) จ่ายแรงดันให้แก่บอร์ดควบคุมการทำงานหลักจากวงจรภาคจ่ายไฟ
- 1.3) ทดลองการดาวน์โหลดโปรแกรมลงในบอร์ดควบคุมการทำงานหลัก โดยโปรแกรมที่ใช้ในการทดลองนี้ คือโปรแกรมขั้วรีเลย์ โดยโปรแกรมจะส่งค่าลอจิก 1 ให้ไอซีเบอร์ ULN2803 ทำการขับกระแสให้รีเลย์ตัวที่ 1 แล้วทำการหน่วงเวลา 1 วินาที ซึ่งจะเห็นไฟแสดงผลที่บอร์ดวงจรขั้วรีเลย์ติดอยู่ จากนั้นส่งค่าลอจิก 0 เพื่อหยุดการทำงานของรีเลย์ตัวที่ 1 แล้วส่งข้อมูลให้รีเลย์ตัวที่ 2 และ 3 ต่อไปตามลำดับ
- 1.4) ทำการโหลดโปรแกรมลงในบอร์ดควบคุมการทำงานหลัก

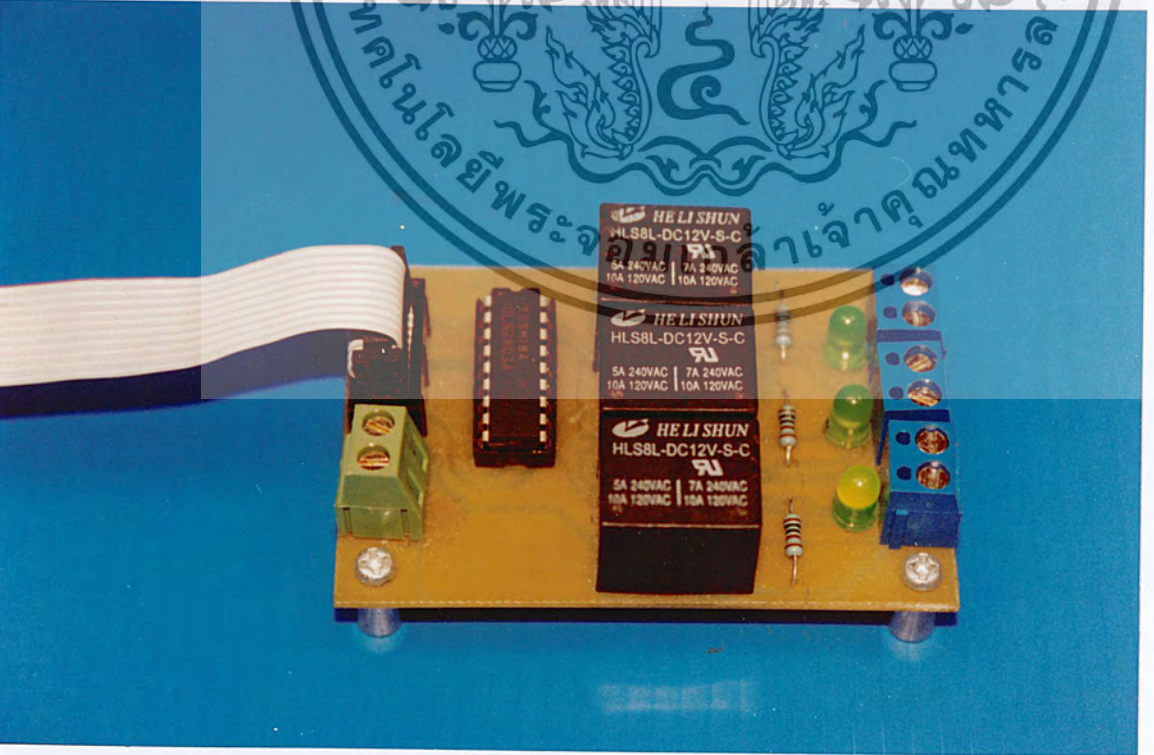
##### 2) ผลการทดลอง

การทดลองโปรแกรมขั้วรีเลย์ให้ผลถูกต้อง เมื่อรีเลย์ตัวไหนทำงานจะเห็นไฟแสดงผลติดสว่างอยู่และจะสามารถวัดแรงดันทางเอาต์พุตได้ 24V ซึ่งสามารถนำไปขับโซลินอยด์แล้วได้





รูปที่ 4.9 การเชื่อมต่อวงจรปริเลย์กับบอร์ดควบคุมการทำงานหลัก



รูปที่ 4.10 วงจรปริเลย์

เอกสารนี้เป็นเอกสารที่สงวนไว้สำหรับใช้ในการเรียนการสอนที่สถานศึกษาเท่านั้น ไม่อนุญาตให้นำไปใช้ประโยชน์ด้านการค้า  
ไม่ว่ากรณีใดๆ ทั้งสิ้น อีกทั้งห้ามมิให้ดัดแปลงเนื้อหา และต้องอ้างอิงถึงเจ้าของเอกสารทุกครั้งที่มีการนำไปใช้

#### 4.2.6 การทดลองและผลการทดลองใช้งานเครื่องชั่งและบรรจุเมล็ดพันธุ์

เครื่องชั่งและบรรจุเมล็ดพันธุ์ เป็นเครื่องชั่งที่สามารถกำหนดค่าน้ำหนักของเมล็ดพันธุ์ที่ต้องการจะทำการชั่งได้ โดยเครื่องชั่งจะแสดงค่าน้ำหนักของเมล็ดพันธุ์ ทางวงจรแสดงผลแบบตัวเลข 7 ส่วน กระบวนการทำงานของเครื่องชั่งและบรรจุเมล็ดพันธุ์นี้ สามารถทำการทดลองการใช้งานได้ดังต่อไปนี้

##### 1) ลำดับขั้นการทดลอง

1.1) เชื่อมต่อวงจรควบคุมการทำงานของทุกวงจรเข้าด้วยกัน แล้วจะได้เครื่องชั่งและบรรจุเมล็ดพันธุ์ แสดงดังรูปที่ 4.11

1.2) จ่ายแรงดันให้แก่เครื่องชั่งและบรรจุเมล็ดพันธุ์

1.3) ทำการโหลดโปรแกรมลงบนบอร์ดควบคุมการทำงานหลัก

1.4) ถ้าการดาวน์โหลดไม่มีข้อผิดพลาด จะแสดงข้อความการดาวน์โหลดสมบูรณ์

1.5) อ่านข้อมูลกลับจากบอร์ดควบคุมการทำงานหลัก โดยเลือกคำสั่ง READ ที่อยู่บนโปรแกรม WinISP แล้วตรวจสอบว่าถูกต้องหรือไม่

1.6) เมื่อการดาวน์โหลดโปรแกรมสมบูรณ์แล้ว ขั้นตอนสุดท้ายคือทำการรันโปรแกรมที่อยู่บนบอร์ดควบคุมการทำงานหลัก จากนั้นให้ทำการกดสวิทช์รีเซตบนบอร์ดควบคุมการทำงานหลัก เมื่อทำการกดสวิทช์รีเซตแล้ว โปรแกรมของเครื่องชั่งน้ำหนักก็จะพร้อมในการทำงาน และใช้งานในการชั่งบรรจุเมล็ดพันธุ์

##### 2) ผลการทดลอง

ในการทดลองใช้งานเครื่องชั่งและบรรจุเมล็ดพันธุ์ สามารถทำงานได้ถูกต้องและใช้งานได้จริง ซึ่งจากผลการทดลองการใช้งานเครื่องชั่งและบรรจุเมล็ดพันธุ์แต่ละขั้นตอนนั้น สามารถบันทึกผลการทดลอง ได้ดัง ตารางที่ 4.5

ตารางที่ 4.5 ผลการทดลองการใช้งานเครื่องชั่งและบรรจุเมล็ดพันธุ์

ลำดับการชั่ง	ค่าน้ำหนักที่ตั้ง	น้ำหนักที่ชั่ง
1	1 Kg	1.02 Kg
2	3 Kg	3.00 Kg
3	5 Kg	5.00 Kg
4	7 Kg	7.00 Kg
5	10 Kg	10.00 Kg



รูปที่ 4.11 เครื่องชั่งและบรรจุเมล็ดพื้

จากผลการทดลองสามารถบอกได้ว่า เครื่องชั่งและบรรจุเมล็ดพื้ สามารถทำงานได้  
สมบูรณ์ ให้ผลการทำงานที่ถูกต้อง และสามารถนำไปใช้งานได้จริง

เอกสารนี้เป็นเอกสารที่สงวนไว้สำหรับการใช้งานเพื่อการศึกษาเท่านั้น ไม่อนุญาตให้นำไปใช้ประโยชน์ด้านการค้า  
ไม่ว่ากรณีใดๆ ทั้งสิ้น อีกทั้งห้ามมิให้ตัดแปลงเนื้อหา และต้องอ้างอิงถึงเจ้าของเอกสารทุกครั้งที่มีการนำไปใช้

## บทที่ 5

### บทสรุป

#### 5.1 บทสรุป

ในการศึกษาวิธีการออกแบบและสร้างชุดเครื่องชั่งและบรรจุเมล็ดพันธุ์ เพื่อสร้างเครื่องชั่งที่สามารถใช้งานได้จริง มีประสิทธิภาพและมีความเที่ยงตรงในการวัด จะสามารถช่วยให้ประหยัดกำลังงานคน และมีความสะดวกสบายมากยิ่งขึ้น

จากการศึกษาและได้ลงมือทำโครงการนี้ทำให้รู้และเข้าใจรายละเอียด คุณสมบัติและการทำงานของวงจรขับโซลินอยด์วาล์ว วงจรนิวแมติกส์ หลักการของตัวแปลงสัญญาณแอนะล็อกเป็นสัญญาณดิจิทัล อุปกรณ์โหลดเซลล์ วงจรแหล่งจ่ายไฟ วงจรรวมสัญญาณหรือ Summing และอุปกรณ์ต่างๆที่นำมาใช้ในการทำโครงการ ในการทำงานนั้นก็จะมีความสำเร็จได้ดีและมีทั้งปัญหาต่างๆเกิดขึ้นซึ่งเมื่อเจอปัญหาก็จะต้องหาวิธีแก้ไข ทำให้มีประสบการณ์และความรู้จากการแก้ปัญหาและที่สำคัญคือได้รู้จักถึงความสามัคคีของเพื่อนภายในกลุ่ม การร่วมแรงร่วมใจในการทำงานของสมาชิกในกลุ่ม การทำงานครั้งนี้ได้สำเร็จคล่องตามวัตถุประสงค์ที่ตั้งเอาไว้ คือสามารถนำข้อมูลเกี่ยวกับวงจรต่างมาทำการคำนวณ ออกแบบและจัดหาซื้ออุปกรณ์ เพื่อนำมาสร้างเป็นวงจรในโครงการนี้ ชี้ความสามารถของโครงการนี้สามารถตั้งย่านการชั่งน้ำหนักได้ตั้งแต่ 1 – 20 กิโลกรัม ทศนิยม 2 ตำแหน่ง และมีการทำงานอย่างต่อเนื่อง สามารถแสดงผลค่าน้ำหนักของเมล็ดพันธุ์ที่กำลังชั่งได้โดย 7 – Segment และสามารถควบคุมการทำงานโดยอัตโนมัติ

#### 5.2 ปัญหาและแนวทางแก้ไข

##### 5.2.1 ปัญหาในการสร้างเครื่องชั่งบรรจุภัณฑ์อัตโนมัติ

1) ปัญหาในการจัดหาซื้อกระบอกสูบและโซลินอยด์วาล์ว เนื่องจากกระบอกสูบและโซลินอยด์วาล์วที่ต้องการนั้นมีราคาสูงมาก จึงต้องหาซื้อตามร้านที่ขายอุปกรณ์มือสองซึ่งไม่มีขนาดตามที่ต้องการ

แนวทางแก้ไข จัดหาซื้อกระบอกสูบและโซลินอยด์วาล์วตามร้านขายอุปกรณ์มือสองที่ราคาถูกและใช้งานได้เพื่อเป็นการประหยัดงบประมาณ แล้วนำมาประยุกต์ใช้งานและติดตั้งแบบใหม่ซึ่งสามารถใช้งานได้เช่นกัน

2) ปัญหาการติดตั้งกระบอกสูบ เนื่องจากกระบอกสูบที่จัดหาซื้อมาได้มีขนาดใหญ่ แต่พื้นที่การติดตั้งมีจำกัดไม่สามารถติดตั้งตามที่ออกแบบไว้ได้

แนวทางแก้ไข ต้องออกแบบการติดตั้งกระบอกสูบใหม่ เพื่อให้ใช้งานได้ตามต้องการ

3) ปัญหาการติดตั้งโหลดเซลล์ เนื่องจากโหลดเซลล์เป็นอุปกรณ์ที่ไวต่อการสั่นสะเทือนของโครง ทำให้โหลดเซลล์เกิดค่าผิดพลาด ซึ่งจะมีผลต่อการชั่งน้ำหนัก

แนวทางแก้ไข ในการติดตั้งโหลดเซลล์จะทำการศึกษาและปรึกษาจากผู้ที่มีความรู้ประสบการณ์เกี่ยวกับการใช้งานโหลดเซลล์ จึงทำให้ทราบว่าต้องยึดโหลดเซลล์ให้แน่นที่สุด เพื่อไม่ให้โหลดเซลล์เกิดการบิดตัว ทำให้สามารถลดค่าผิดพลาดของโหลดเซลล์ลงได้

4) ปัญหาการทดลองโครงงานทำได้ไม่สะดวก เนื่องจากมีขนาดใหญ่และหนักทำให้การเคลื่อนย้ายลำบาก

แนวทางแก้ไข พยายามทำการทดลองโครงงานในส่วนที่ไม่ต้องเคลื่อนย้ายให้เสร็จก่อน และพยายามเคลื่อนย้ายโครงงานให้น้อยที่สุด

## 5.2.2 ปัญหาทางด้านการควบคุมการทำงาน

1) ปัญหาข้อมูลที่ใช้ศึกษาในการทำโครงงานหาได้ยาก เนื่องจากข้อมูลที่ใช้นั้นเป็นความรู้ใหม่ แหล่งข้อมูลมีน้อย

แนวทางแก้ไข ศึกษาจากผู้ที่มีความรู้และประสบการณ์ รวมทั้งค้นคว้าหาข้อมูลจากระบบอินเทอร์เน็ต

2) ปัญหาในการชั่งน้ำหนัก เนื่องจากเมื่อโหลดเซลล์ซึ่งได้น้ำหนักตามที่กำหนดแล้วจะสั่งให้กระบอกสูบปิด จะมีช่วงที่วัตถุตกลงอยู่บนอากาศ (Free Fall) ทำให้เกิดค่าผิดพลาดได้

แนวทางแก้ไข ต้องทำระยะห่างระหว่างถังรับน้ำหนักกับตัวถังที่รองรับ ให้มีระยะห่างกันน้อยลง และพยายามทำให้วัตถุตกลงอย่างโรยลงทีละน้อยในช่วงที่กำลังจะได้พิกัดน้ำหนักที่ต้องการ เพื่อลดค่าผิดพลาดในการชั่งให้น้อยลง

3) ปัญหาความกลัวหน้าของโครงงานมีน้อย เพราะปัญหาที่ได้กล่าวมาในข้างต้น รวมทั้งมีความรู้ ความชำนาญในการทำโครงงานน้อย ตลอดจนเครื่องมือที่ใช้ทำโครงงานก็มีน้อย จึงทำให้การทำงานล่าช้า

แนวทางแก้ไข พยายามศึกษา ค้นคว้าหาข้อมูลให้มากขึ้น รวมทั้งเข้าปรึกษาอาจารย์ที่ปรึกษาโครงงาน และอาจารย์ท่านอื่นอีกหลายๆท่าน

### 5.3 แนวทางการพัฒนา

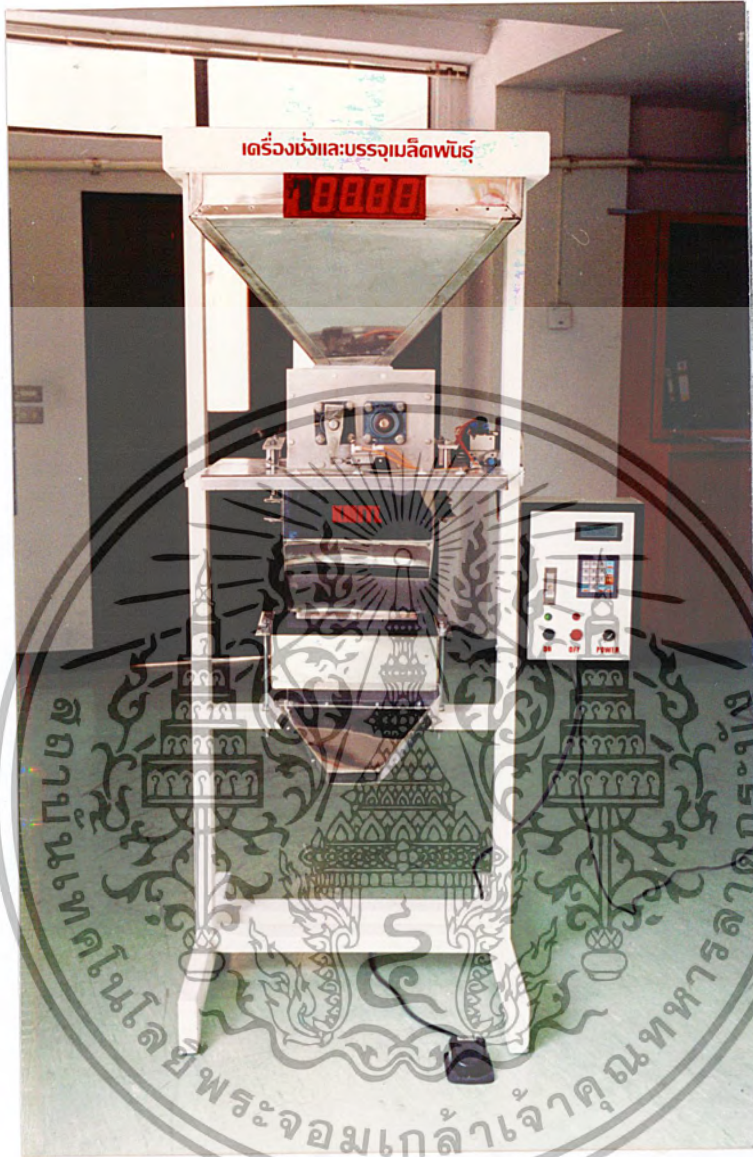
ในการพัฒนาเครื่องชั่งบรรจุภัณฑ์อัตโนมัติ ให้มีความสามารถในการทำงานได้ดีขึ้นกว่าเก่า สามารถพัฒนาโครงการได้ ดังนี้

- 1) สามารถพัฒนาโครงการนี้ให้ชั่งน้ำหนักได้มากกว่า 20 กิโลกรัม
- 2) สามารถพัฒนาโครงการนี้ให้ชั่งน้ำหนักของวัตถุดิบได้หลายชนิดกว่านี้
- 3) สามารถพัฒนาโครงการนี้ให้ปิดผนึกได้โดยอัตโนมัติ
- 4) สามารถพัฒนาโครงการนี้ให้ลำเลียงวัตถุดิบที่บรรจุแล้วไปเก็บไว้ที่ที่ต้องการได้





เอกสารนี้เป็นเอกสารที่สงวนไว้สำหรับการใช้งานเพื่อการศึกษาเท่านั้น ไม่อนุญาตให้นำไปใช้ประโยชน์ด้านการค้า  
ไม่ว่ากรณีใดๆ ทั้งสิ้น อีกทั้งห้ามมิให้ตัดแปลงเนื้อหา และต้องอ้างอิงถึงเจ้าของเอกสารทุกครั้งที่มีการนำไปใช้



รูปที่ ก.1 ภาพด้านหน้าของเครื่องชั่งและบรรจุเมล็ดพันธุ์

เอกสารนี้เป็นเอกสารที่สงวนไว้สำหรับการใช้งานเพื่อการศึกษาเท่านั้น ไม่อนุญาตให้นำไปใช้ประโยชน์ด้านการค้า  
ไม่ว่ากรณีใดๆ ทั้งสิ้น อีกทั้งห้ามมิให้ตัดแปลงเนื้อหา และต้องอ้างอิงถึงเจ้าของเอกสารทุกครั้งที่มีการนำไปใช้



รูปที่ ก.2 ภาพด้านข้างของเครื่องชั่งและบรรจุเมล็ดพันธุ์

เอกสารนี้เป็นเอกสารที่สงวนไว้สำหรับการใช้งานเพื่อการศึกษาเท่านั้น ไม่อนุญาตให้นำไปใช้ประโยชน์ด้านการค้า  
ไม่ว่ากรณีใดๆ ทั้งสิ้น อีกทั้งห้ามมิให้ตัดแปลงเนื้อหา และต้องอ้างอิงถึงเจ้าของเอกสารทุกครั้งที่มีการนำไปใช้



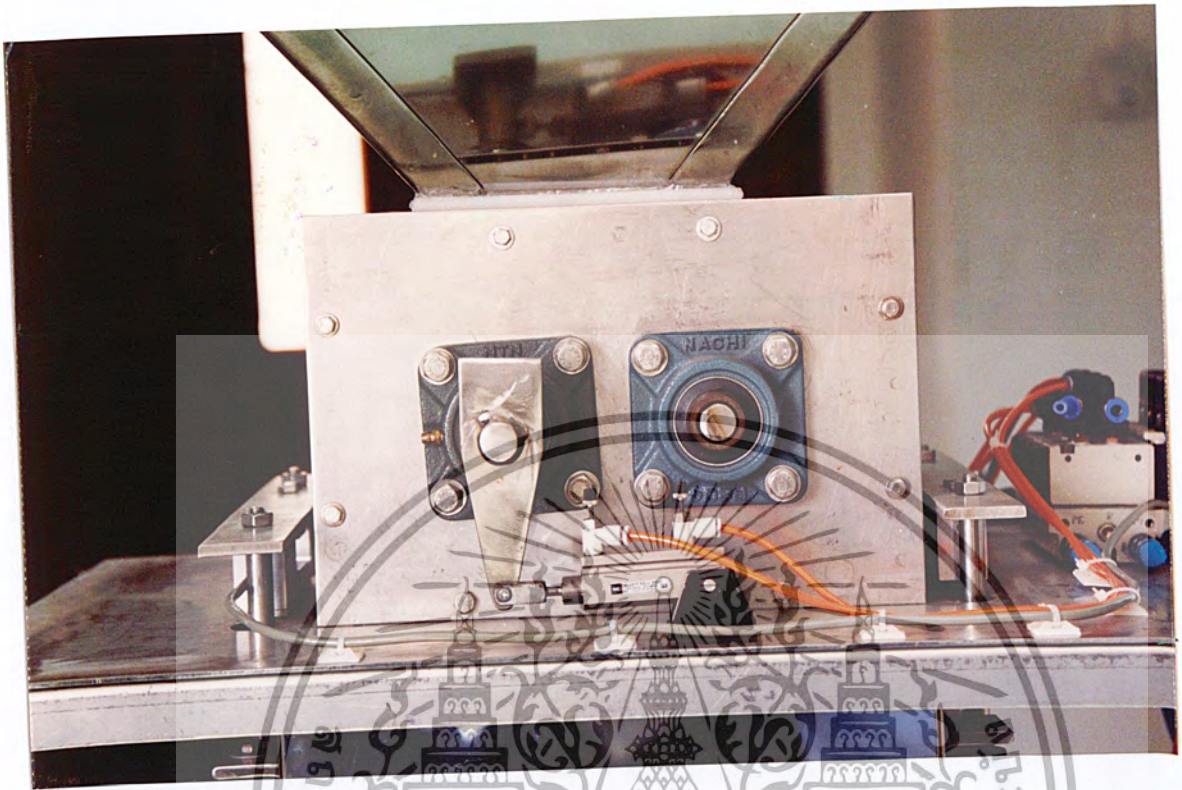
รูปที่ ๓.๓ การติดตั้งส่วนถัง

เอกสารนี้เป็นเอกสารที่สงวนไว้สำหรับการใช้งานเพื่อการศึกษาเท่านั้น ไม่อนุญาตให้นำไปใช้ประโยชน์ด้านการค้า  
ไม่ว่ากรณีใดๆ ทั้งสิ้น อีกทั้งห้ามมิให้ตัดแปลงเนื้อหา และต้องอ้างอิงถึงเจ้าของเอกสารทุกครั้งที่มีการนำไปใช้

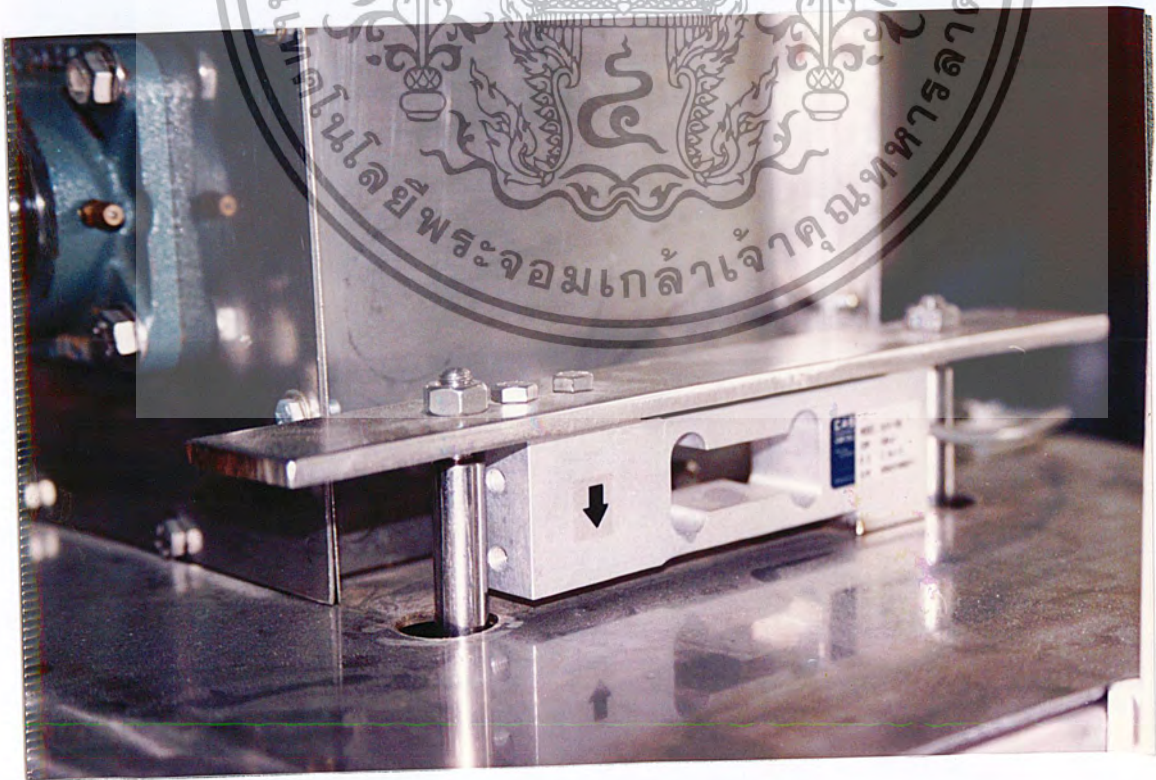


รูปที่ ก.4 การติดตั้งกระบอบสูบส่วนถึงซัง

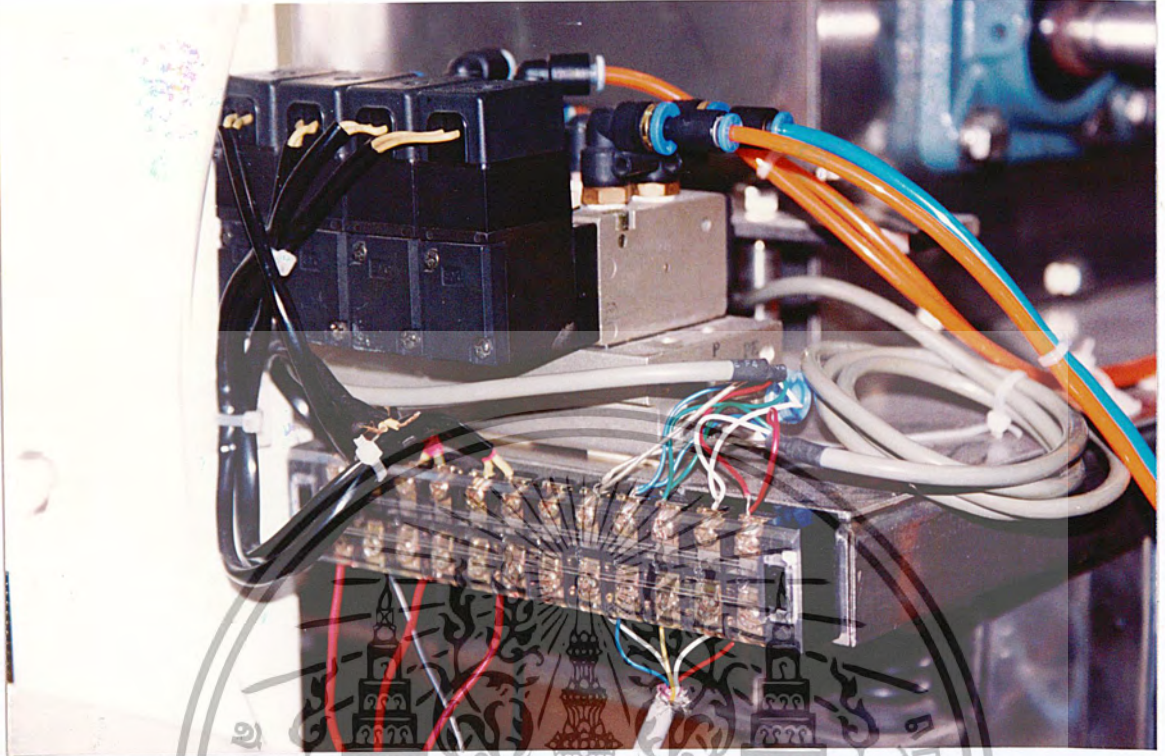
เอกสารนี้เป็นเอกสารที่สงวนไว้สำหรับการใช้งานเพื่อการศึกษาเท่านั้น ไม่อนุญาตให้นำไปใช้ประโยชน์ด้านการค้า  
ไม่ว่ากรณีใดๆ ทั้งสิ้น อีกทั้งห้ามมิให้ตัดแปลงเนื้อหา และต้องอ้างอิงถึงเจ้าของเอกสารทุกครั้งที่มีการนำไปใช้



รูปที่ ก.5 การติดตั้งกระบอกสูบส่วนปลดอิมิตฟน

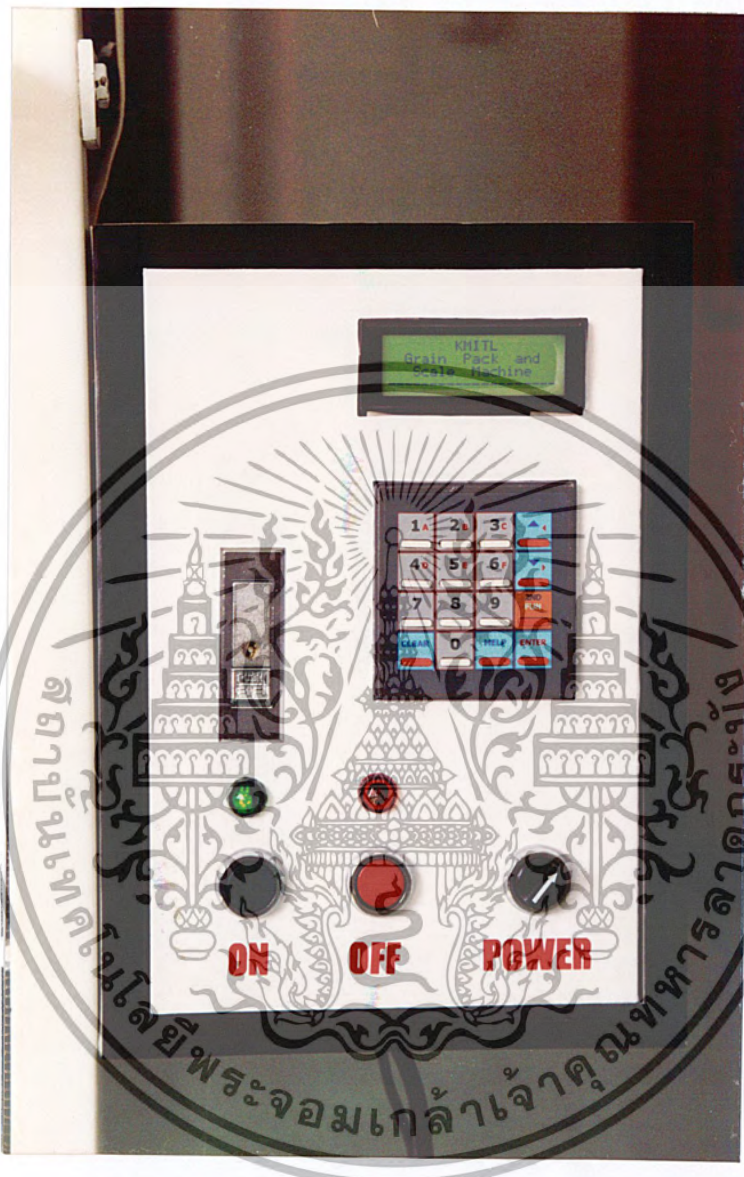


เอกสารนี้เป็นเอกสารที่สงวนไว้สำหรับการรูปที่ ก.6 การติดตั้งโหนดชุดดี ไม่อนุญาตให้นำไปใช้ประโยชน์ด้านการค้า  
ไม่ว่ากรณีใดๆ ทั้งสิ้น อีกทั้งห้ามมิให้ตัดแปลงเนื้อหา และต้องอ้างอิงถึงเจ้าของเอกสารทุกครั้งที่มีการนำไปใช้



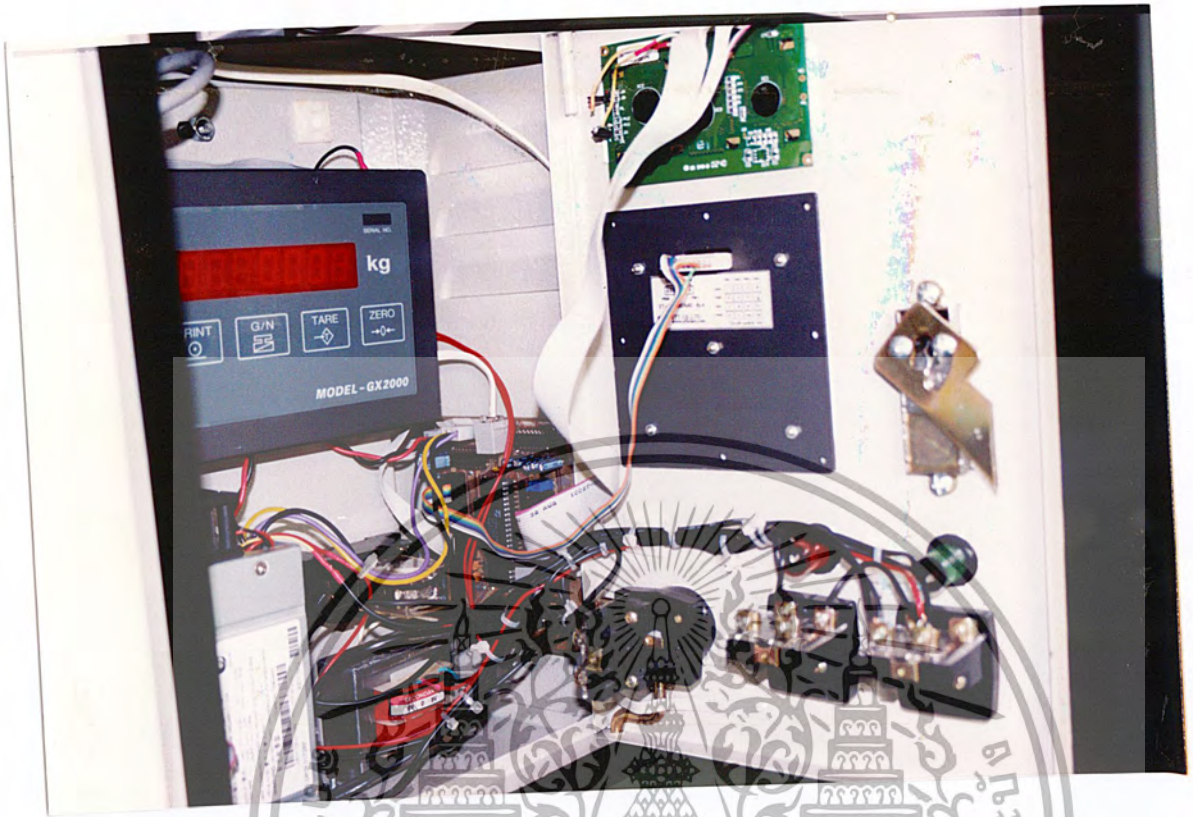
รูปที่ ก.7 การติดตั้งโซลินอยด์

เอกสารนี้เป็นเอกสารที่สงวนไว้สำหรับการใช้งานเพื่อการศึกษาเท่านั้น ไม่อนุญาตให้นำไปใช้ประโยชน์ด้านการค้า  
ไม่ว่ากรณีใดๆ ทั้งสิ้น อีกทั้งห้ามมิให้ตัดแปลงเนื้อหา และต้องอ้างอิงถึงเจ้าของเอกสารทุกครั้งที่มีการนำไปใช้



รูปที่ ก.8 การติดตั้งตู้คอนโทรล

เอกสารนี้เป็นเอกสารที่สงวนไว้สำหรับการใช้งานเพื่อการศึกษาเท่านั้น ไม่อนุญาตให้นำไปใช้ประโยชน์ด้านการค้า  
ไม่ว่ากรณีใดๆ ทั้งสิ้น อีกทั้งห้ามมิให้ตัดแปลงเนื้อหา และต้องอ้างอิงถึงเจ้าของเอกสารทุกครั้งที่มีการนำไปใช้



รูปที่ ก.9 การติดตั้งวงจรภายในตู้คอนโทรล

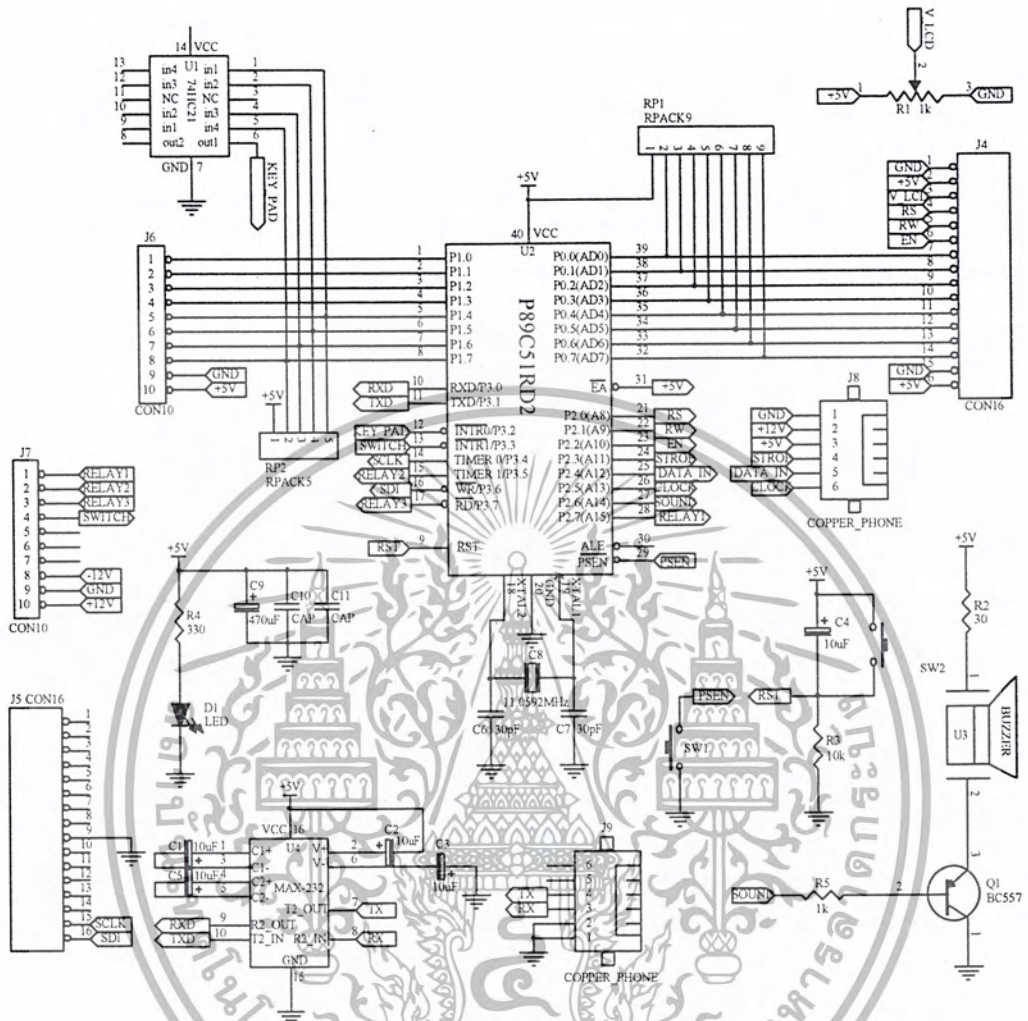
เอกสารนี้เป็นเอกสารที่สงวนไว้สำหรับการใช้งานเพื่อการศึกษาเท่านั้น ไม่อนุญาตให้นำไปใช้ประโยชน์ด้านการค้า  
ไม่ว่ากรณีใดๆ ทั้งสิ้น อีกทั้งห้ามมิให้ตัดแปลงเนื้อหา และต้องอ้างอิงถึงเจ้าของเอกสารทุกครั้งที่มีการนำไปใช้



ภาคผนวก ข

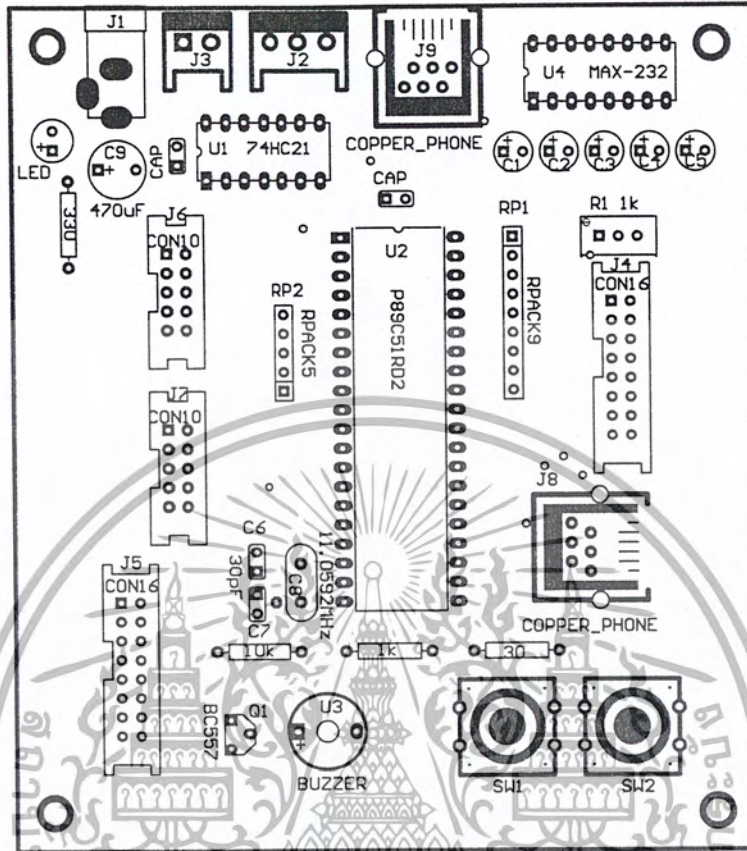
วงจรและแผนวงจรพิมพ์

เอกสารนี้เป็นเอกสารที่สงวนไว้สำหรับการใช้งานเพื่อการศึกษาเท่านั้น ไม่อนุญาตให้นำไปใช้ประโยชน์ด้านการค้า  
ไม่ว่ากรณีใดๆ ทั้งสิ้น อีกทั้งห้ามมิให้ตัดแปลงเนื้อหา และต้องอ้างอิงถึงเจ้าของเอกสารทุกครั้งที่มีการนำไปใช้



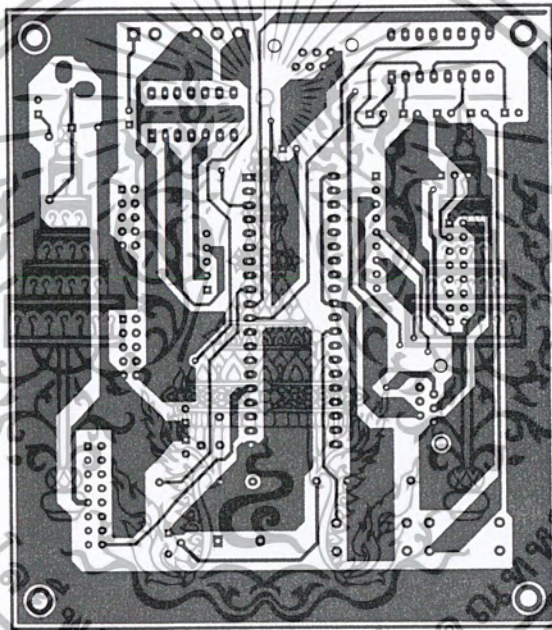
รูปที่ ๗.1 วงจรควบคุมการทำงานหลัก

เอกสารนี้เป็นเอกสารที่สงวนไว้สำหรับการใช้งานเพื่อการศึกษาเท่านั้น ไม่อนุญาตให้นำไปใช้ประโยชน์ด้านการค้า  
ไม่ว่ากรณีใดๆ ทั้งสิ้น อีกทั้งห้ามมิให้คัดลอกเนื้อหา และต้องอ้างอิงถึงเจ้าของเอกสารทุกครั้งที่มีการนำไปใช้

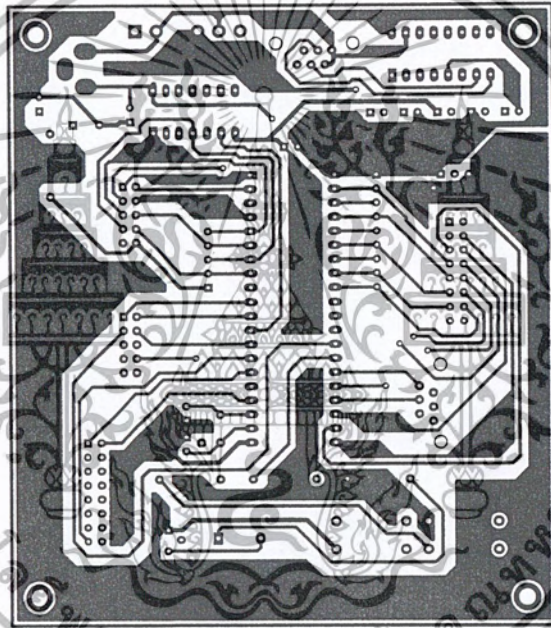


รูปที่ ข.2 ตำแหน่งการวางอุปกรณ์ของวงจรควบคุมการทำงานหลัก

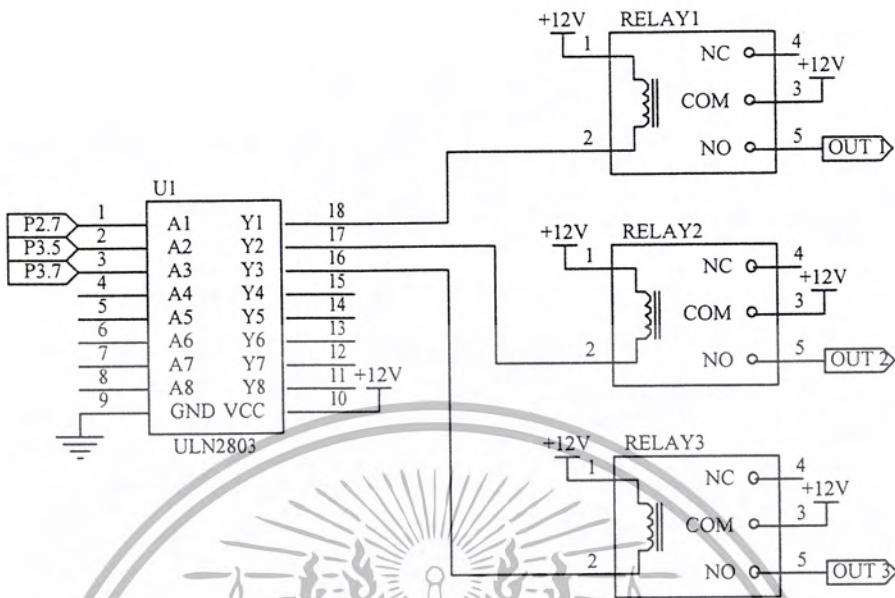
เอกสารนี้เป็นเอกสารที่สงวนไว้สำหรับการใช้งานเพื่อการศึกษาเท่านั้น ไม่อนุญาตให้นำไปใช้ประโยชน์ด้านการค้า  
ไม่ว่ากรณีใดๆ ทั้งสิ้น อีกทั้งห้ามมิให้ตัดแปลงเนื้อหา และต้องอ้างอิงถึงเจ้าของเอกสารทุกครั้งที่มีการนำไปใช้



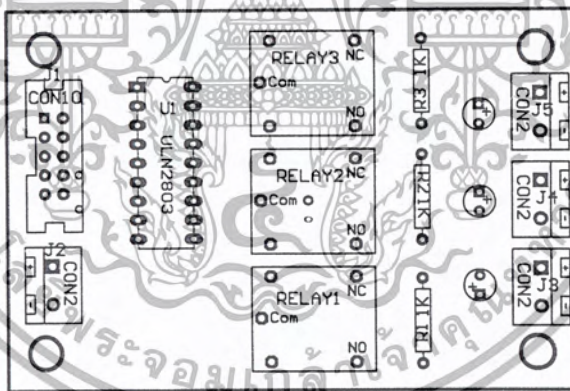
รูปที่ ข.3 แผ่นวงจรพิมพ์บอร์ดควบคุมการทำงานหลัก (ด้านบน)



รูปที่ ข.4 แผ่นวงจรพิมพ์บอร์ดควบคุมการทำงานหลัก (ด้านล่าง)



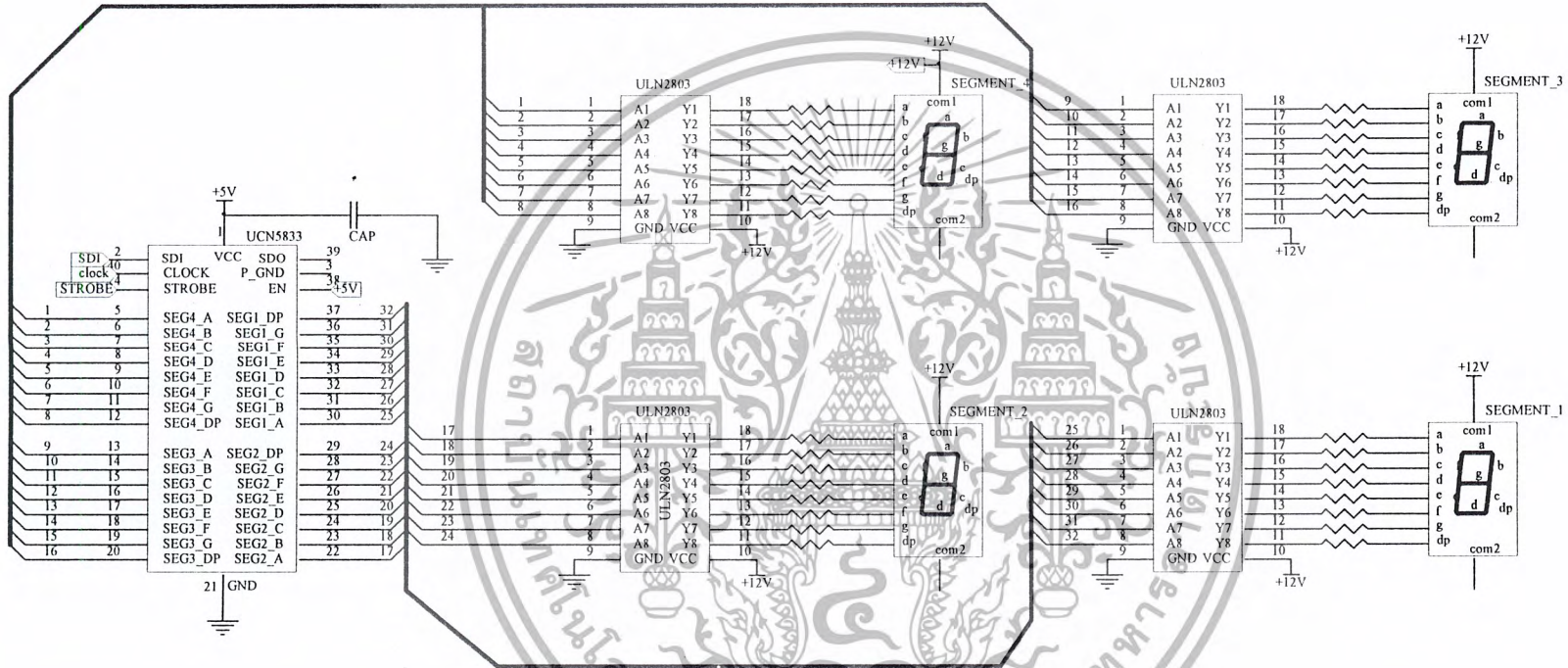
รูปที่ ข.5 วงจรควบคุมโซลินอยด์วาล์ว



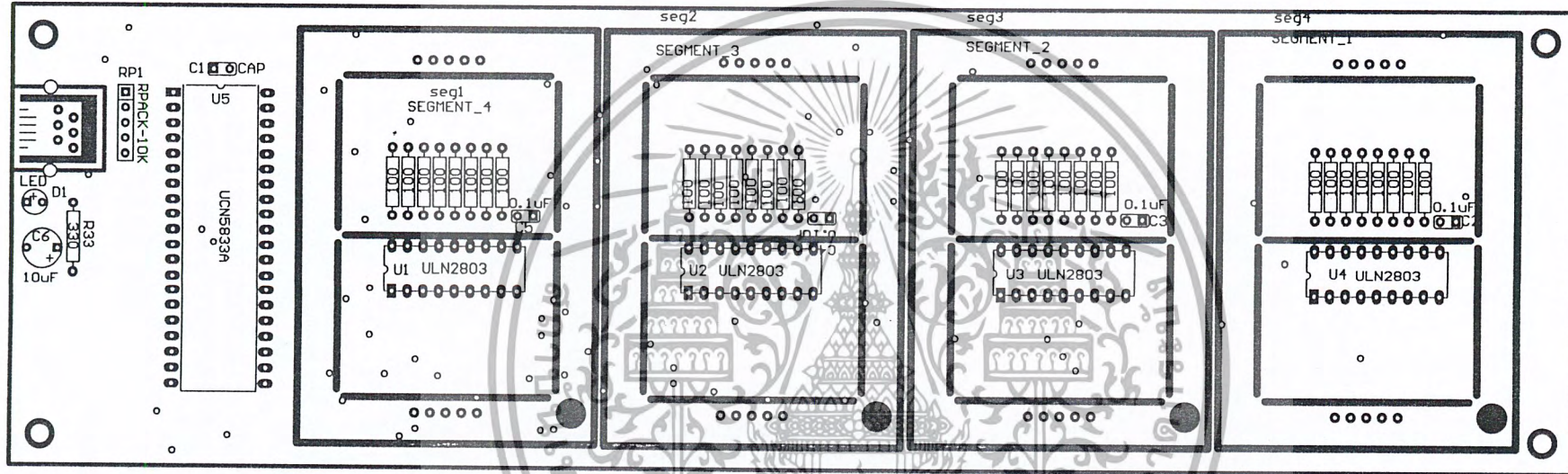
รูปที่ ข.6 ตำแหน่งการวางอุปกรณ์ของวงจรควบคุมโซลินอยด์วาล์ว



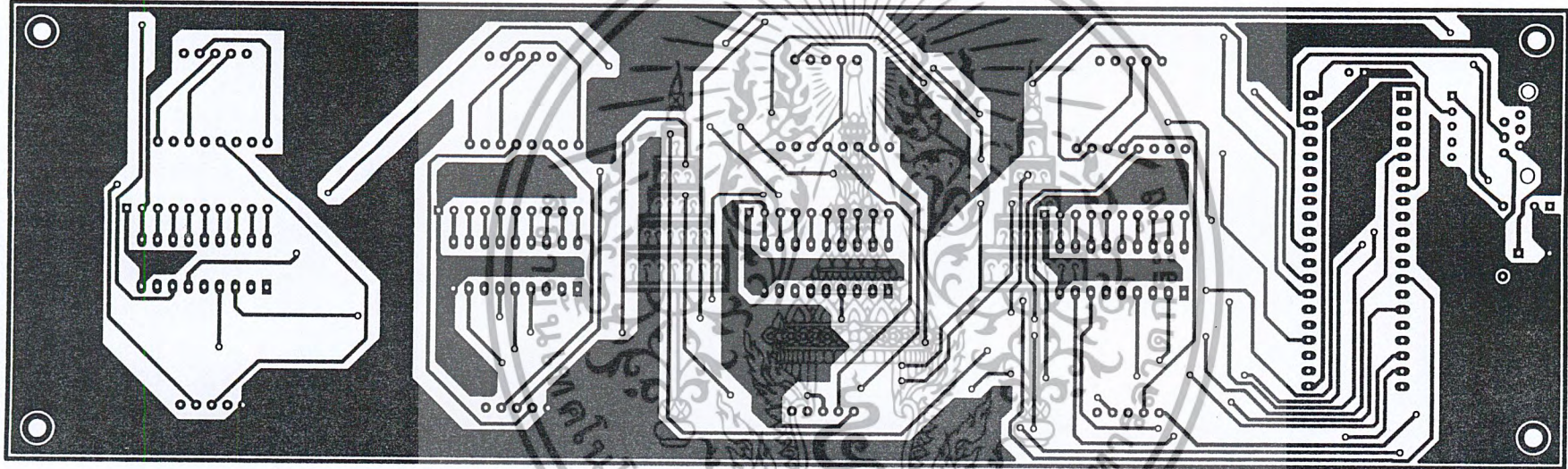
รูปที่ ข.7 แผ่นวงจรพิมพ์บอร์ดควบคุมโซลีนอยด์วาล์ว



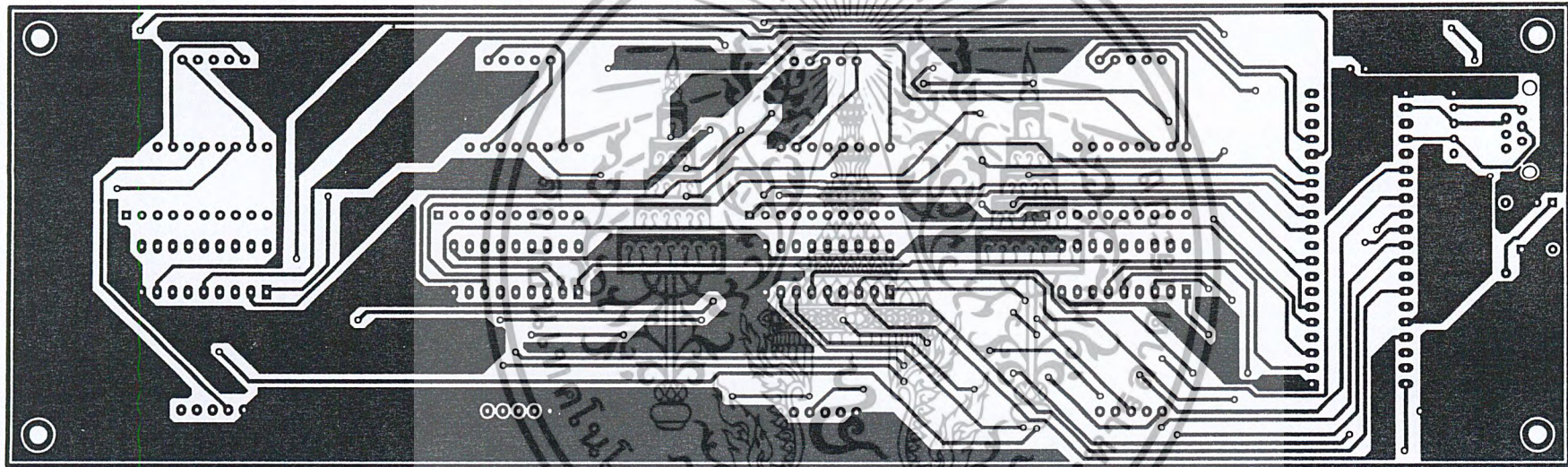
รูปที่ ข.8 วงจรแสดงผลแบบตัวเลข 7 ส่วน



รูปที่ ข.9 ตำแหน่งการวางอุปกรณ์ของวงจรแสดงผลแบบตัวเลข 7 ส่วน



รูปที่ ข.10 แผ่นวงจรพิมพ์บอร์ดแสดงผลแบบตัวเลข 7 ส่วน (ด้านบน)



รูปที่ ข.11 แผ่นวงจรพิมพ์บอร์ดแสดงผลแบบตัวเลข 7 ส่วน (ด้านล่าง)



ภาคผนวก ค

รายการอุปกรณ์

เอกสารนี้เป็นเอกสารที่สงวนไว้สำหรับการใช้งานเพื่อการศึกษาเท่านั้น ไม่อนุญาตให้นำไปใช้ประโยชน์ด้านการค้า  
ไม่ว่ากรณีใดๆ ทั้งสิ้น อีกทั้งห้ามมิให้ตัดแปลงเนื้อหา และต้องอ้างอิงถึงเจ้าของเอกสารทุกครั้งที่มีการนำไปใช้

ตารางที่ ค.1 รายการอุปกรณ์ของวงจรบอร์ดควบคุมการทำงานหลัก

ชื่ออุปกรณ์	รายละเอียด	จำนวน
<b>วงจรรวม</b>		
IC1	74HC21	1 ตัว
IC2	P89C51RD2HBP	1 ตัว
IC3	MAX 232	1 ตัว
<b>อุปกรณ์สารกึ่งตัวนำ</b>		
LED	สีเขียว	1 ตัว
Q1	BC557	1 ตัว
<b>ตัวเก็บประจุ</b>		
C1,C2,C3,C4,C5	10 $\mu$ F 25V	5 ตัว
C6,C7	30 pF เซรามิก	2 ตัว
C8	470 $\mu$ F 50V	1 ตัว
C9,C10	0.1 $\mu$ F มัลติเมเยอร์	2 ตัว
<b>ตัวต้านทาน</b>		
R1,R2	1 K $\Omega$	2 ตัว
R3	330 $\Omega$	1 ตัว
R4	10 K $\Omega$	1 ตัว
R5	30 $\Omega$	1 ตัว
RP1	10k Rpack 10 Pin	1 ตัว
RP2	43.7k Rpack 5 Pin	1 ตัว
<b>อุปกรณ์อื่นๆ</b>		
Crytral	11.0592 MHz	1 ตัว
Buzzer	5 Volt	1 ตัว
J1	2 Pin	1 ตัว
J2	3 Pin	1 ตัว
J3, J4	IDE connector 10 Pin	2 ตัว
J5, J6	IDE connector 16 Pin	2 ตัว
J7	Socket 16 Pin	1 ตัว

ตารางที่ ค.1 (ต่อ) รายการอุปกรณ์ของวงจรถบอร์คความคุมการทำงานหลัก

ชื่ออุปกรณ์	รายละเอียด	จำนวน
J8	Socket 14 Pin	1 ตัว
J9	Socket 16 Pin	1 ตัว
J10	ขั้วต่อสายโทรศัพท์ 6 Pin	1 ตัว
Sw1, Sw2	Dif Switch	2 ตัว
W1, W2	เคเบิลสายแพรชนิด 10 เส้น	1 เมตร
W3	เคเบิลสายแพรชนิด 16 เส้น	1 เมตร
W4	เคเบิลสายโทรศัพท์ชนิด 6 เส้น	2 เมตร

ตารางที่ ค.2 รายการอุปกรณ์ของวงจรแสดงผลแบบตัวเลข 7 ส่วน

ชื่ออุปกรณ์	รายละเอียด	จำนวน
วงจรรวม		
IC1, IC2, IC3, IC4	ULN2803	4 ตัว
IC5	UCN5833A	1 ตัว
อุปกรณ์สารกึ่งตัวนำ		
LED	สีเขียว	1 ตัว
ตัวเก็บประจุ		
C1, C2, C3, C4, C5	0.1 $\mu$ F มัลติเลเยอร์	5 ตัว
C6	10 $\mu$ F 50 V	1 ตัว
ตัวต้านทาน		
R1 – R32	100 $\Omega$	32 ตัว
R33	330 $\Omega$	1 ตัว
RP1	10 K $\Omega$ Rpack 10 Pin	1 ตัว
อุปกรณ์อื่นๆ		
J1	ขั้วต่อสายโทรศัพท์ 6 Pin	1 ตัว

ตารางที่ ค.3 รายการอุปกรณ์ของวงจรขับรีเลย์

ชื่ออุปกรณ์	รายละเอียด	จำนวน
วงจรรวม		
IC1	ULN2803	1 ตัว
อุปกรณ์สารกึ่งตัวนำ		
LED1 – LED3	สีเขียว	3 ตัว
ตัวต้านทาน		
R1, R2, R3	1 K $\Omega$	3 ตัว
อุปกรณ์อื่นๆ		
J1	IDE connector 10 Pin	1 ตัว
J2 – J5	Connector 2 Pin	4 ตัว

ตารางที่ ค.4 รายการอุปกรณ์ของวงจรแหล่งจ่ายแรงดัน

ชื่ออุปกรณ์	รายละเอียด	จำนวน
วงจรรวม		
IC1	LM7805	1 ตัว
IC2	LM7905	1 ตัว
อุปกรณ์สารกึ่งตัวนำ		
D1 – D4	1N4001	4 ตัว
ตัวเก็บประจุ		
C1, C2	4700 $\mu$ F 25 V	2 ตัว
C3, C4	0.1 $\mu$ F มัลติเมเยอร์	2 ตัว
อุปกรณ์อื่นๆ		
T1	หม้อแปลง 220 / 9-0-9 2 Amp	1 ตัว
J1, J2	Connector 3 Pin	2 ตัว

## ตารางที่ ค.5 รายการอุปกรณ์อื่นๆ

ชื่ออุปกรณ์	รายละเอียด	จำนวน
โพลีคาร์บอเนต	50 Kg	2 ตัว
อินดิเคเตอร์	40,000 DIV	1 ตัว
แอลซีดี	20 ตัวอักษร 4 บรรทัด	1 ตัว
กระบอกสูบ	2 ทิศทาง	3 ตัว
วาล์วควบคุม	แบบ 3/2	3 ตัว
สวิทช์	ลิมิตสวิทช์เท้าเหยียบ	1 ตัว
เมตริกซ์สวิทช์	ขนาด 4 x 4	1 ตัว
บัตท่อมสวิทช์	ทอกเกิลสวิทช์	2 ตัว
สวิทช์ฟิวเจอร์	2 คอนแทก	1 ตัว
รีเลย์	220 V / 2 คอนแทก	1 ตัว
ตู้คอนโทรล	ขนาด 30 x 45 ซม.	1 ตู้
สายลม	4 x 5 มม.	3 เมตร
สายลม	8 x 10 มม.	3 เมตร



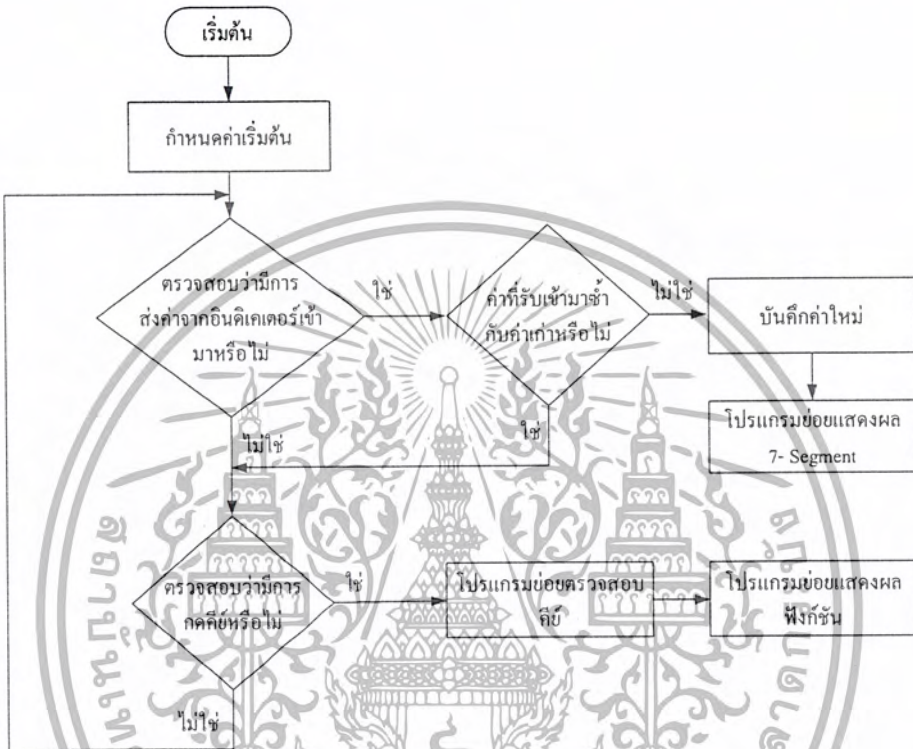
ภาคผนวก ง

แผนผังการทำงานและโปรแกรมควบคุม

เอกสารนี้เป็นเอกสารที่สงวนไว้สำหรับการใช้งานเพื่อการศึกษาเท่านั้น ไม่อนุญาตให้นำไปใช้ประโยชน์ด้านการค้า  
ไม่ว่ากรณีใดๆ ทั้งสิ้น อีกทั้งห้ามมิให้ตัดแปลงเนื้อหา และต้องอ้างอิงถึงเจ้าของเอกสารทุกครั้งที่มีการนำไปใช้

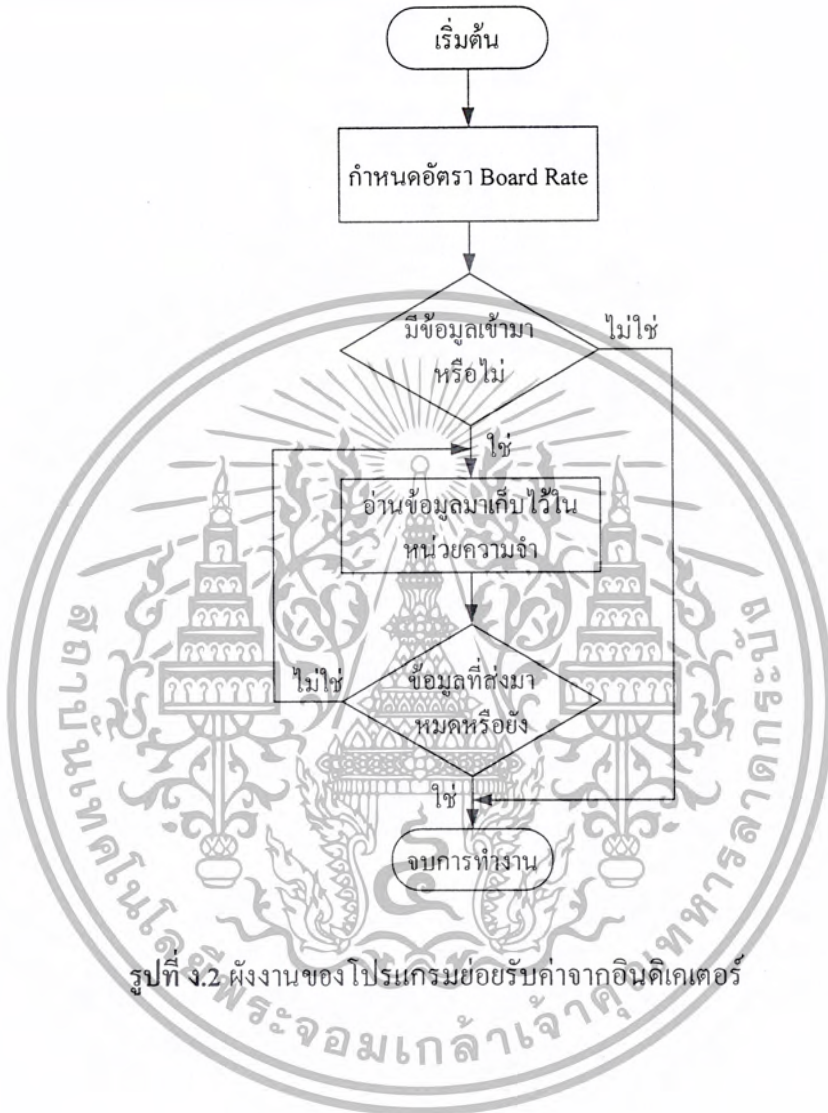
# 1. การออกแบบแผนผังควบคุมการทำงานของเครื่องชั่งและบรรจุเมล็ดพันธุ์

## 1.1 ผังงานของโปรแกรมควบคุมการทำงานหลัก



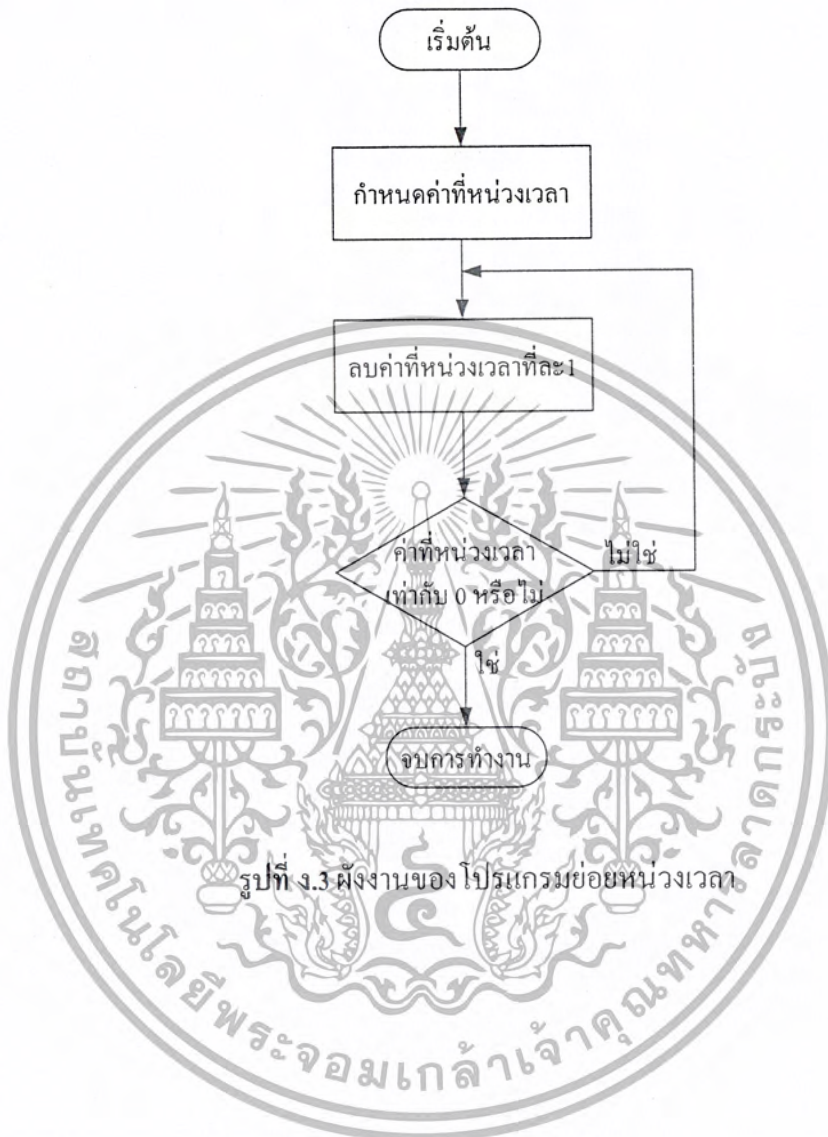
รูปที่ ง.1 ผังงานของโปรแกรมควบคุมการทำงานหลัก

1.2 ผังงานของโปรแกรมย่อยรับค่าจากอินติเคเตอร์



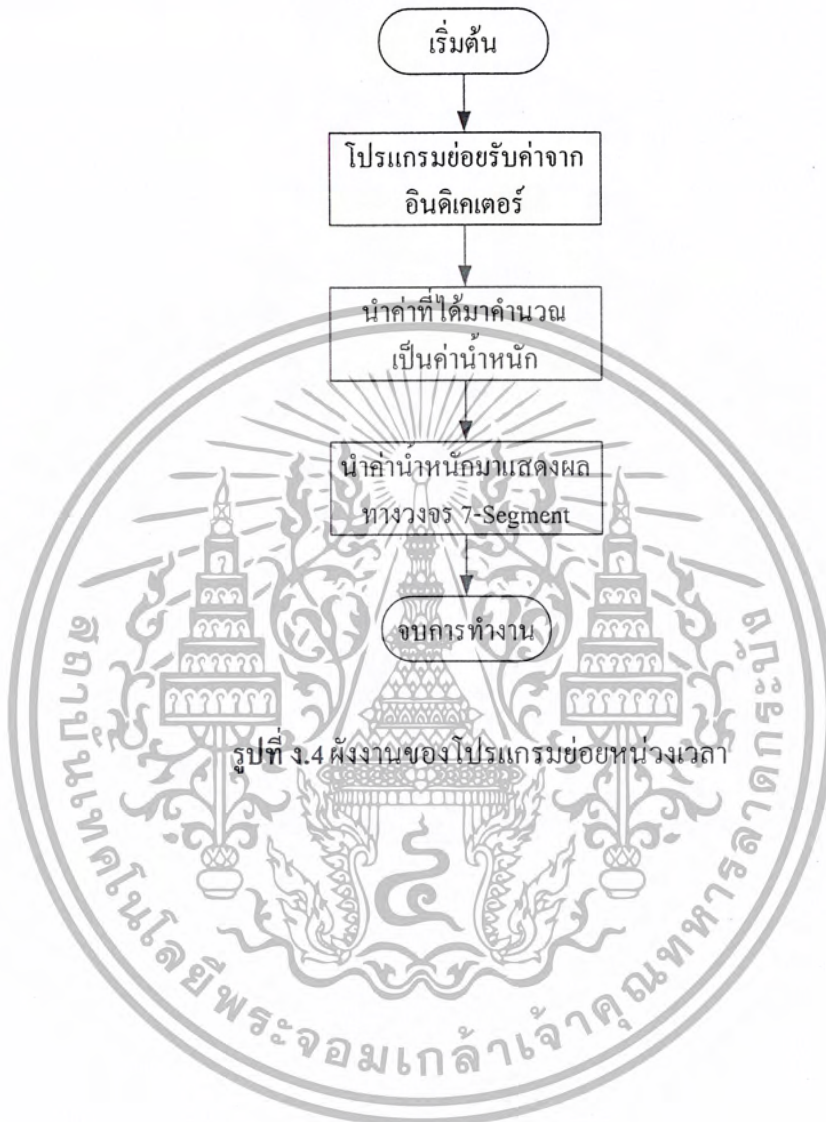
รูปที่ ๑.2 ผังงานของโปรแกรมย่อยรับค่าจากอินติเคเตอร์

## 1.3 ผังงานของโปรแกรมย่อยหน่วยเวลา



รูปที่ 3.3 ผังงานของ โปรแกรมย่อยหน่วยเวลา

## 1.4 ผังงานของโปรแกรมย่อยแสดงผลทาง 7-Segment

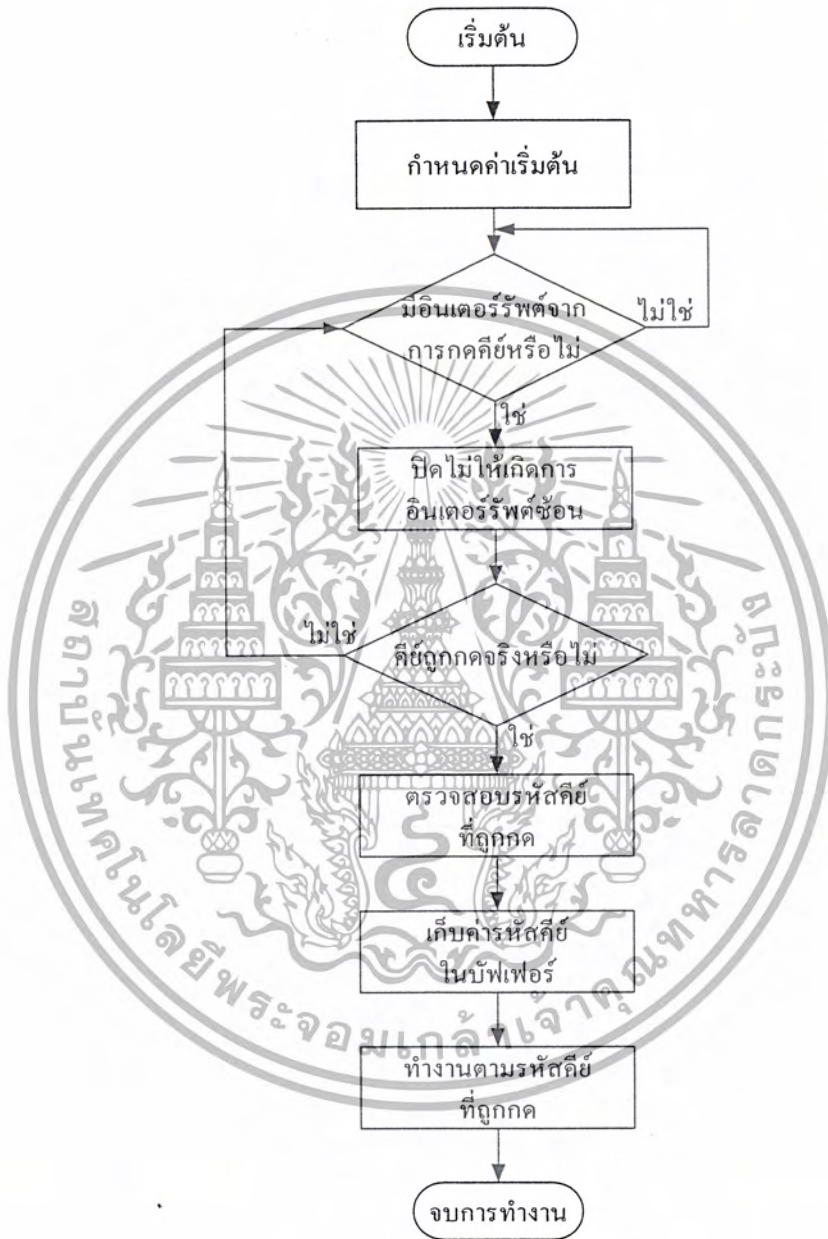


1.5 ผังงานของโปรแกรมย่อยแสดงผลแบบผลึกเหลว



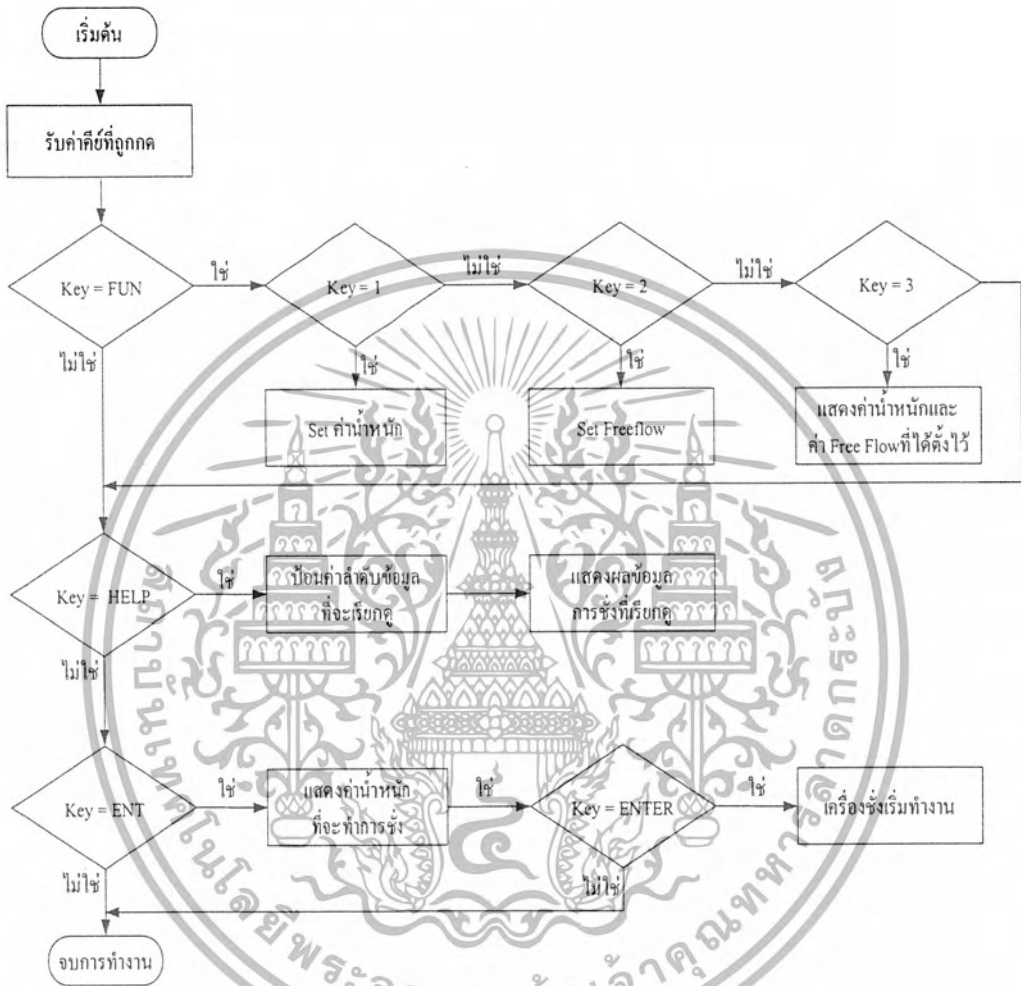
รูปที่ ง.5 ผังงานของโปรแกรมย่อยแสดงผลแบบผลึกเหลว

1.6 ผังงานของโปรแกรมย่อยตรวจสอบคีย์



รูปที่ ๑.๖ ผังงานของโปรแกรมย่อยตรวจสอบคีย์

1.7 ผังงานของโปรแกรมย่อยแสดงผลฟังก์ชัน



รูปที่ 3.7 ผังงานของโปรแกรมย่อยแสดงผลฟังก์ชัน

## 2. โปรแกรมควบคุมการทำงานเครื่องชั่งและบรรจุเมล็ดพันธุ์

```

/*-----Main Program-----*/
#include "LCD.h"
#include "SEGMENT.h"
#include "scankey.h"
#include "DISP_FUNC.h"
#include "CYLINDER.h"
#include <absacc.h>
#include <stdlib.h>

unsigned char ch;
unsigned char value[7];
unsigned char ivalue[5];
bit flag=0;

float old_value;
unsigned char cursor=0xC0;
unsigned char j=0;

void serial(void) interrupt 4
{
  if(RI)
  {
    ch=SBUF;
    if(ch>='.')
    {
      if(ch=='g')
      {
        value[j]=ch;
        j=0;
        flag=1;
      }
      else
      {
        value[j]=ch;
        j++;
      }
    }
    RI=0;
  }
  if(TI)
    TI=0;
}

main()
{
  unsigned char i;
  delay(1000);

  clock = 0;
  data_in = 0;
  strobe = 0;
  SCON=0x52;
  TMOD=0x20;
  TH1=0xFA;
  TF1=0;
  TR1=1;

```

```

ES=1;
EA=1;

LCD_INIT();
LCD_WSTR(0x88,"KMITL");
LCD_WSTR(0xc2,"Grain Pack and");
LCD_WSTR(0x97,"Scale Machine");
LCD_WSTR(0xd4,"-----");

while(1)
{
    if(flag)
    {
        for(i=0;i<5;i++) ivalue[i]=value[i];
        new_value=atof(ivalue);
        if(new_value!=old_value)
        {
            display();
            old_value=new_value;
        }
        flag=0;
    }
    cylinder();
    key=scankey();
    if(keypress ==1) checkkey(key);
}
}
/*-----End Main Program-----*/
/*-----INIT LCD-----*/
#include <REG51F.H>
#include <string.h>
#include <intrins.h>

sbit RS = P2^0;
sbit RW = P2^1;
sbit EN = P2^2;
sfr WI = 0x80;

unsigned char data LCDBUF[20];

void delay (unsigned long count)
{
    while(count) count--;
}

void LCD_WCMD (unsigned char cmd)
{
    EN = 0;
    WI = cmd;
    RS = 0;
    RW = 0;
    EN = 1; delay(300);
    EN = 0; delay(100);
}

void LCD_WDAT (unsigned char dat)

```

```

{
    EN = 0;
    WI = dat;
    RS = 1;
    RW = 0;
    EN = 1; delay(100);
    EN = 0; delay(100);
}

void LCD_INIT ()
{
    LCD_WCMD(0x38);
    LCD_WCMD(0x0c);
    LCD_WCMD(0x06);
    LCD_WCMD(0x01);
}

void LCD_WSTR(unsigned char x,unsigned char *mess)
{
    unsigned char i,len;
    len = strlen(mess);
    LCD_WCMD(x);
    for(i=0;i<len;i++)
        LCD_WDAT(mess[i]);
}

/*-----End INIT LCD-----*/
/*-----INIT 7-Segment-----*/
#include <REG51F.H>
#include <intrins.h>

sbit clock = 0xa5;
sbit data_in = 0xa4;
sbit strobe = 0xa3;

int x;
float new_value;
unsigned char code show[] =
{
    0x3f,0x06,0x5b,0x4f,0x66,0x6d,0x7d,0x07,0x7f,0x6f};
unsigned char buffer[4];
unsigned int count;

void shift_data (unsigned char buff)
{
    unsigned char i;
    for(i=0;i<8;i++)
    {
        data_in =(buff & 0x80);
        buff = (buff << 1);
        clock = 1;
        clock = 0;
    }
    data_in = 0;
}

```

```

void display(void)
{
    unsigned char j;
    x=(int)(new_value*100);

    buffer[3]=show[x/1000];
    buffer[2]=show[(x/100)%10]|0x80;
    buffer[1]=show[(x/10)%10];
    buffer[0]=show[x%10];

    for(j=0;j<4;j++) shift_data(buffer[j]);
        strobe = 1;
        strobe = 0;
}
/*-----End INIT 7-Segment-----*/

/*-----Scan Key-----*/
#include <REG51F.H>

sfr keyport = 0x90;
sbit sound = P2^6;
bit keypress,z;
bit specialkey;
unsigned char key_buffer[4];
unsigned char free[2];
unsigned char freeflow;
unsigned char idata getkey, key;
unsigned char code keyset[4] = {0xfe,0xfd,0xfb,0xf7};
unsigned char code keymap[16] =
{
0x7d,0xee,0xed,0xeb,0xde,0xdd,0xdb,0xbe,0xbd,0xbb,0x7e,0x7b,0xe7,
0xd7,0xb7,0x77};
unsigned char code keycode[16] = {0,1,2,3,4,5,6,7,8,9,
10,11,12,13,14,15};
//CLR HELP UP DOWN FUN ENTER

void k_sound (unsigned char freq,int time)
{
    unsigned char d;
    while(time>0)
    {
        sound = 0;
        for(d=0;d<=freq;d++) time--;
        sound = 1;
        for(d=0;d<=freq;d++) time--;
    }
}

unsigned char scankey(void)
{
    unsigned char k,r,keyret;
    keyret = 0xff;
    keypress=0;
    for(k=0;k<4;k++)
    {
        keyport = 0xff;
        getkey = 0xff;

```

```

delay(500);
keyport = keyset[k];
getkey = keyport;

if(getkey != keyset[k])
{
    keypress = 1;
    for(r=0;r<16;r++)
    {
        if(getkey == keymap[r])
        {
            keyret = keycode[r];
            if(keyret > 9) specialkey =1;
            getkey = 0xff;
            return(keyret);
        }
    }
}
return(keyret);
}
}
/*-----End Scan Key-----*/
/*-----Disp Function-----*/
#include <REG51F.H>

unsigned int set;
unsigned char u=0;
unsigned int idata total_buffer[15] = 0;
unsigned char s[2];
unsigned char select=0;

void disp_func (void)
{
    k_sound(100,10000);
    delay(10000);
    k_sound(100,10000);
    keypress = 0;
    while(!keypress) key=scankey();

    delay(20000);
    switch(key)
    {
        case 1:
            {
                LCD_WCMD(0x01);
                LCD_WSTR(0x85,"Set Weight");
                LCD_WSTR(0x9a,"00.00 kg");
                LCD_WCMD(0x0f);
                LCD_WCMD(0x9a);
                k_sound(150,30000);

                keypress = 0;
                while(!keypress) key = scankey();
                LCD_WDAT(key|0x30);
                key_buffer[3] = key;
                k_sound(100,30000);
            }
    }
}

```

```

keypress = 0;
while(!keypress) key = scankey();
LCD_WDAT(key|0x30);
key_buffer[2] = key;
k_sound(100,30000);

LCD_WCMD(0x9d);

keypress =0;
while(!keypress) key = scankey();
LCD_WDAT(key|0x30);
key_buffer[1] = key;
k_sound(100,30000);

keypress = 0;
while(!keypress) key = scankey();
LCD_WDAT(key|0x30);
key_buffer[0] = key;
k_sound(100,30000);
LCD_WCMD(0x0c);

keypress = 0;
while(!keypress)
{ key = scankey();
  if(key<15) keypress = 0;
}

set = (0*10) + key_buffer[3];
set = (set*10) + key_buffer[2];
set = (set*10) + key_buffer[1];
set = (set*10) + key_buffer[0];
k_sound(100,10000);
delay(10000);
k_sound(100,10000);
}
break;

case 2:
{
LCD_WCMD(0x01);
LCD_WCMD(0x0c);
LCD_WSTR(0x83,"Set Free Flow");
LCD_WSTR(0x9b,"0.00 kg");
LCD_WCMD(0x0f);
LCD_WCMD(0x9d);
k_sound(150,30000);

keypress =0;
while(!keypress) key = scankey();
LCD_WDAT(key|0x30);
free[1] = key;
k_sound(100,30000);

keypress = 0;
while(!keypress) key = scankey();

```

```

LCD_WDAT(key|0x30);
free[0] = key;
k_sound(100,30000);
LCD_WCMD(0x0c);

keypress = 0;
while(!keypress) key = scankey();
if(key==15)
{
    freeflow = (0*10) + free[1];
    freeflow = (freeflow*10) + free[0];
}

keypress = 0;
while(!keypress)
{
    key = scankey();
    if(key<15) keypress = 0;
    k_sound(100,10000);
    delay(10000);
    k_sound(100,10000);
    break;
}
case 3:
{
    LCD_WCMD(0x01);
    LCD_WCMD(0x0c);
    LCD_WSTR(0x85,"SHOW DATA");
    LCD_WSTR(0x95," Weight =");
    LCD_WSTR(0xd5,"Free Flow =");
    LCD_WCMD(0xa1);
    LCD_WDAT(key_buffer[3]|0x30);
    LCD_WDAT(key_buffer[2]|0x30);
    LCD_WDAT('.');
    LCD_WDAT(key_buffer[1]|0x30);
    LCD_WDAT(key_buffer[0]|0x30);
    LCD_WDAT('k');
    LCD_WDAT('g');
    LCD_WCMD(0xe2);
    LCD_WDAT('0');
    LCD_WDAT('.');
    LCD_WDAT(free[1]|0x30);
    LCD_WDAT(free[0]|0x30);
    LCD_WDAT('k');
    LCD_WDAT('g');
    k_sound(150,30000);

    keypress = 0;
    while(!keypress)
    {
        key=scankey();
        if(key < 15) keypress = 0;
    }
    k_sound(100,10000);
    delay(10000);
    k_sound(100,10000);
}

```

```

        }
        break;
    }
}
/*-----End Display Function-----*/
/*-----Checkkey-----*/
void checkkey(unsigned char kp)
{
    if(keypress)
    {
        if(kp<14 && kp != 11)
        {
            LCD_WCMD(0x0c);
            LCD_WCMD(0x01);
            LCD_WSTR(0xc3, "ENTER FUNCTION");
            k_sound(150, 30000);
            delay(100000);
        }
        if(kp == 11)
        {
            LCD_WCMD(0x01);
            LCD_WSTR(0x84, "Show Old Data");
            LCD_WSTR(0xc0, "Show Number ? : ?");
            LCD_WSTR(0xce, "00");
            k_sound(200, 30000);

            LCD_WCMD(0xce);
            LCD_WCMD(0x0f);

            keypress=0;
            while(!keypress) key=scankey();
            s[0]=key;
            LCD_WDAT(s[0] | 0x30);
            k_sound(150, 30000);

            keypress=0;
            while(!keypress) key=scankey();
            s[1]=key;
            LCD_WDAT(s[1] | 0x30);
            LCD_WCMD(0x0c);
            k_sound(150, 30000);

            keypress=0;
            while(!keypress)
            {
                key=scankey();
                if(key<15) keypress = 0;
            }

            LCD_WCMD(0x0c);
            select = (0*10) + s[0];
            select=(select*10)+s[1];
            select=select-1;

            k_sound(150, 30000);

```

```

LCD_WSTR(0xd5, "Old DATA = ");
LCD_WCMD(0xe0);
LCD_WDAT((total_buffer[select]/1000)|0x30);
LCD_WDAT(((total_buffer[select]/100)%10)|0x30);
LCD_WDAT('.');
LCD_WDAT(((total_buffer[select]/10)%10)|0x30);
LCD_WDAT((total_buffer[select]%10)|0x30);
LCD_WDAT('k');
LCD_WDAT('g');
delay(300000);
}

if(kp == 14)
{
LCD_WCMD(0x01);
LCD_WCMD(0x0c);
LCD_WSTR(0x83, "Select Number");
LCD_WSTR(0xc0, "1. Set Weight");
LCD_WSTR(0x94, "2. Set Free Flow");
LCD_WSTR(0xd4, "3. Show Data");
disp_func();
}

if(kp == 15)
{
LCD_WCMD(0x01);
LCD_WSTR(0x83, "Start Machine");
LCD_WSTR(0xc2, "Weight =");
LCD_WCMD(0xcb);
LCD_WDAT((set/1000)|0x30);
LCD_WDAT(((set/100)%10)|0x30);
LCD_WDAT('.');
LCD_WDAT(((set/10)%10)|0x30);
LCD_WDAT((set%10)|0x30);
LCD_WDAT('k');
LCD_WDAT('g');
LCD_WSTR(0xdc, "ENTER");
k_sound(150, 30000);
delay(10000);
k_sound(150, 30000);

keypress = 0;
while(!keypress)
{
key=scankey();
keypress = 0;
if(key == 15)
{
if(u>=15) u=0;
total_buffer[u]=set;
u++;
k_sound(100, 10000);
delay(5000);
k_sound(100, 10000);
delay(5000);
k_sound(100, 30000);
k_sound(100, 30000);
keypress = 1;
}
}
}

```

```

    }
    if(key == 10)
    {
        k_sound(100,30000);
        keypress = 1;
    }
}
}
keypress = 0;
}

LCD_WCMD(0x01);
LCD_WCMD(0x0c);
LCD_WSTR(0x88,"KMITL");
LCD_WSTR(0xc2,"Grain Pack and");
LCD_WSTR(0x97,"Scale Machine");
LCD_WSTR(0xd4,"-----");
}
/*-----End CheckKey-----*/
/*-----Cylinder-----*/
#include <REG51F.H>

sbit Relay_1 = P2^7;
sbit Relay_2 = P3^7;
sbit Relay_3 = P3^5;

void cylinder(void)
{
    if(x == 0)
    {
        Relay_1 = Relay_2 = Relay_3 = 0;
    }

    if(x >0 && x < (set-freeflow))
    {
        Relay_2 = Relay_3 = 0;
        Relay_1 = 1;
    }

    if(x >= (set-freeflow) && x<set)
    {
        Relay_1 = Relay_3 = 0;
        Relay_2 = 1;
    }

    if(x >= set)
    {
        Relay_1 = Relay_2 = 0;
        Relay_3 = 1;
    }
}

/*-----End Cylinder-----*/

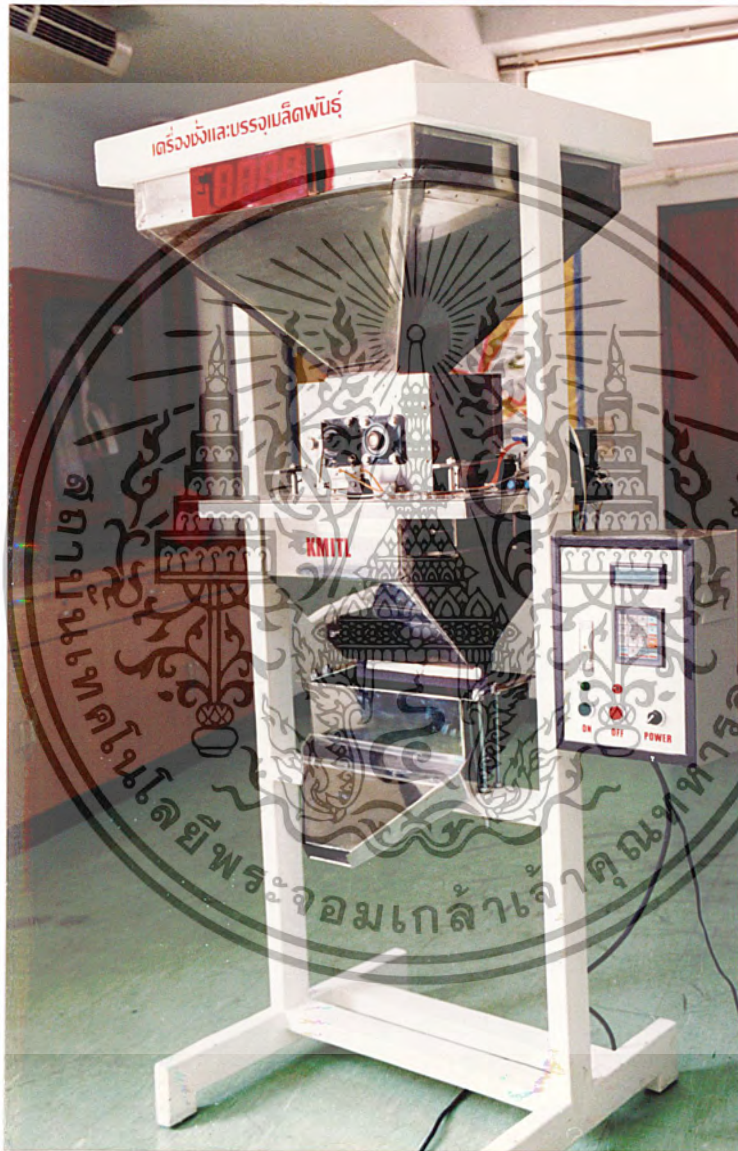
```



ภาคผนวก จ  
คู่มือการใช้งาน

เอกสารนี้เป็นเอกสารที่สงวนไว้สำหรับการใช้งานเพื่อการศึกษาเท่านั้น ไม่อนุญาตให้นำไปใช้ประโยชน์ด้านการค้า  
ไม่ว่ากรณีใดๆ ทั้งสิ้น อีกทั้งห้ามมิให้ตัดแปลงเนื้อหา และต้องอ้างอิงถึงเจ้าของเอกสารทุกครั้งที่มีการนำไปใช้

## คู่มือการใช้งาน เครื่องชั่งและบรรจุเมล็ดพันธุ์



ภาควิชาครุศาสตร์วิศวกรรม

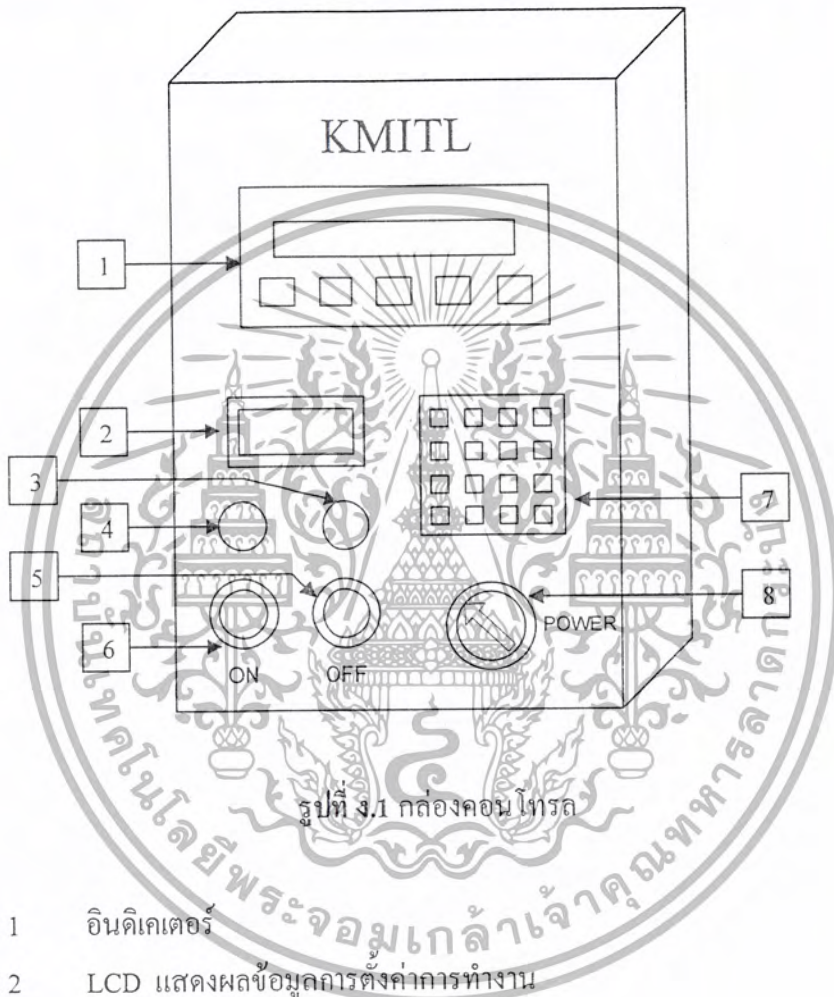
คณะครุศาสตร์อุตสาหกรรม

สถาบันเทคโนโลยีพระจอมเกล้าเจ้าคุณทหารลาดกระบัง

เอกสารนี้เป็นเอกสารที่สงวนไว้สำหรับการใช้ภายในคณะฯ เท่านั้น ไม่อนุญาตให้นำไปใช้ประโยชน์ด้านการค้า  
ไม่ว่ากรณีใดๆ ทั้งสิ้น อีกทั้งห้ามมิให้ตัดแปลงเนื้อหา และต้องอ้างอิงถึงเจ้าของเอกสารทุกครั้งที่มีการนำไปใช้

## กล่าวนำ

คู่มือการใช้งานนี้จะกล่าวถึง การใช้งานของเครื่องชั่งและบรรจุเมล็ดพันธุ์ซึ่งประกอบด้วย การเริ่มต้นใช้งาน การตั้งค่าน้ำหนัก และการใช้งานตัวอินดิเคเตอร์ ดังจะกล่าวต่อไปนี้



รูปที่ 3.1 กถ่องคอน ไทรค

- |           |                                    |
|-----------|------------------------------------|
| หมายเลข 1 | อินดิเคเตอร์                       |
| หมายเลข 2 | LCD แสดงผลข้อมูลการตั้งค่าการทำงาน |
| หมายเลข 3 | ไฟแสดงสถานะ OFF                    |
| หมายเลข 4 | ไฟแสดงสถานะ ON                     |
| หมายเลข 5 | สวิตช์ OFF                         |
| หมายเลข 6 | สวิตช์ ON                          |
| หมายเลข 7 | คีย์ตั้งค่าน้ำหนัก                 |
| หมายเลข 8 | สวิตช์สแตนบาย                      |

## ขั้นตอนการใช้งานและการตั้งค่าน้ำหนัก

1. เสียบปลั๊กเพื่อจ่ายไฟเข้าสู่ระบบ (ไฟฟ้า 220 Volt AC)
2. กด FUNC +1 เพื่อทำการเข้าสู่โหมดการตั้งค่าน้ำหนัก ซึ่งสามารถกำหนดค่าน้ำหนักได้ตั้งแต่ค่า 1 ถึง 20 กิโลกรัม
3. กด FUNC + 2 เพื่อเข้าสู่โหมดการตั้งค่า FREE FALL เป็นการกำหนดค่าเพื่อชดเชยค่าของวัตถุในขณะที่ลอยอยู่ในอากาศ ให้ใส่ค่า 10 แล้วกด ENTER
4. เมื่อต้องการเริ่มทำงานในโปรแกรมที่ตั้งไว้ให้ทำการกด ENTER เครื่องจะแสดงผลข้อมูลค่าน้ำหนักและค่า FREE FALL ที่ได้ตั้งไว้ และทำการกด ENTER อีกครั้งเพื่อยืนยันการตั้ง
5. กด FUNC + 3 เพื่อเข้าสู่โหมดการแสดงผลค่าน้ำหนักและค่า FREE FALL ที่ได้ตั้งไว้
6. เมื่อต้องการเรียกดูข้อมูลของการชั่งย้อนหลัง กด HELP จะเข้าสู่โหมดข้อมูลการชั่งแล้วกดหมายเลขครั้งที่ต้องการเรียกดูข้อมูล

## การติดตั้งและใช้งานจอแสดงน้ำหนัก GENIX GX – 2000

ด้านหน้าของเครื่อง มีปุ่มกดอยู่ 5 ปุ่ม โดยแต่ละปุ่มทำงานดังนี้

ZERO	เซตน้ำหนักเท่ากับ 0
TARE	หักน้ำหนักภาชนะ
G/N	กดเลือกค่าน้ำหนักรวม (GROSS) หรือ น้ำหนักสุทธิ (NET)
PRINT	พิมพ์น้ำหนักไปยังเครื่องพิมพ์
MENU	กดเลือกใช้โหมด: น้ำหนักโค้ด CODE --- SP (setpoint) ---- น้ำหนัก

## ไฟแสดง

----0----	แสดงน้ำหนักกึ่งกลางศูนย์
NET	แสดงน้ำหนักสุทธิ
GROSS	แสดงน้ำหนักรวม

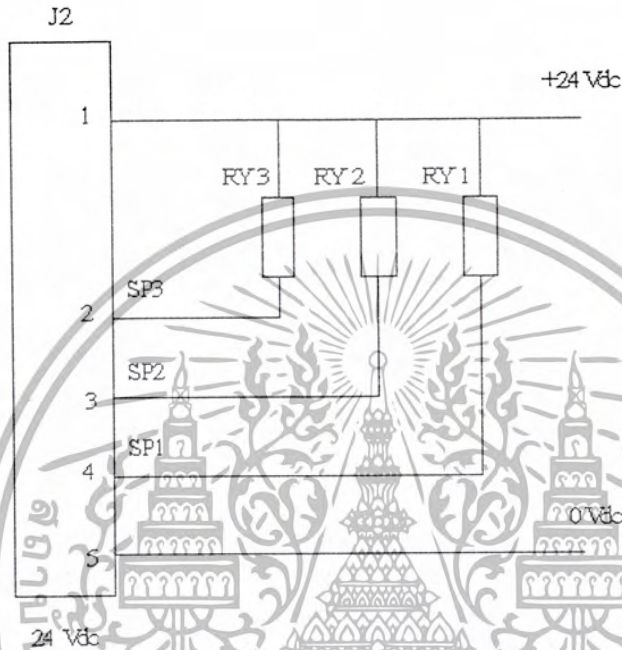
## ขั้วต่อ J1

สำหรับต่อเข้ากับโหลดเซลล์โดยมีการจัดขั้วสัญญาณดังนี้

ขา 1	=	Shield
ขา 2	=	EX+
ขา 3	=	EX-
ขา 4	=	SIG+
ขา 5	=	SIG-

## ขั้วต่อ J2

Setpoint output



รูปที่ 2 วงจรการต่อขั้ว J2

## ขั้วต่อ J3

Serial port (RS – 232)

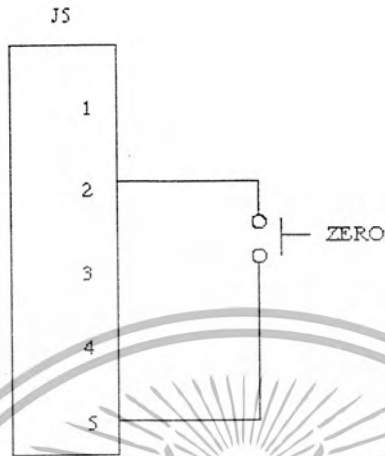
- ขา 1 = GND
- ขา 2 = Tx (ส่ง)

## ขั้วต่อ J4

AC Power supply

- ขา 1 = 9 Vac
- ขา 2 = 0 Vac
- ขา 3 = 9 Vac

ขั้วต่อ J5



รูปที่ ง.3 วงจรการต่อขั้ว J5

EXT ZERO

- ขา 1 = 5 Vdc
- ขา 2 = ZERO
- ขา 3 = NC
- ขา 4 = NC
- ขา 5 = GND

การติดตั้ง

การตั้งค่าขนาดพิกัดน้ำหนัก, จำนวนทศนิยม, ค่าอ่านละเอียด

1. ต่อขั้ว โหลดเซลล์และเลือกค่า R3, R4 และ R10 ให้ถูกต้องตามจำนวนโหลดเซลล์

ตารางที่ ง-1 แสดงค่าความต้านทานของโหลดเซลล์แต่ละตัว

จำนวนโหลดเซลล์	R 3	R4	R10
1	40 k	40 k	40 k
2	20 k	20 k	20 k
3	12 k	12 k	12 k
4	10k	10k	10k

2. เมื่อเปิดสวิตช์จ่ายไฟเข้าเครื่อง เครื่องจะทดสอบหน้าจอ โดยการนับ 0-9 แล้วแสดง  
หน้าจอนับ 0

3. รอประมาณ 1 นาที

4. กดปุ่มเมนู ให้นำหน้าจอแสดง CODE

กดปุ่ม ENT	หน้าจอแสดง 00000 ป้อนรหัสผ่าน 123 โดยใช้ปุ่ม ^ ในการเพิ่มตัวเลขและปุ่ม < ในการเลื่อนหลักตัวเลข
กดปุ่ม ENT	หน้าจอแสดง CAL
กดปุ่ม MENU	หน้าจอแสดง CONF
กดปุ่ม ENT	หน้าจอแสดง CAP (พิกัดน้ำหนักสูงสุด)
กดปุ่ม ENT	หน้าจอแสดงค่าพิกัดน้ำหนัก (รวมทศนิยม) เช่น 100.00 แสดง 10000 ทำการเปลี่ยนแปลงแก้ไขโดยใช้ปุ่ม ^ ในการเพิ่มตัวเลขและปุ่ม < ในการเลื่อนหลักตัวเลข
กดปุ่ม ENT	SAVE ค่า หน้าจอแสดง CAP
กดปุ่ม MENU	หน้าจอแสดง DP (หลักทศนิยม)
กดปุ่ม ENT	หน้าจอแสดงจุดทศนิยม แก้ไขได้โดยใช้ปุ่ม <
กดปุ่ม ENT	SAVE ค่าหน้าจอแสดง dp
กดปุ่ม MENU	หน้าจอแสดง div (ค่าอ่านละเอียด)
กดปุ่ม ENT	หน้าจอแสดงค่าอ่านละเอียด ใช้ปุ่ม < แก้ไขตามต้องการ
กดปุ่ม ENT	SAVE ค่า div หน้าจอแสดง div
กดปุ่ม MENU	หน้าจอแสดงน้ำหนักปกติ

### การปรับสัญญาณไหลตเซลล์

กดปุ่ม MENU	ให้นำหน้าจอแสดง CODE
กดปุ่ม ENT	ให้นำหน้าจอแสดง 00000 ป้อนรหัสผ่าน 123 โดยใช้ปุ่ม ^ ในการเพิ่มตัวเลข และใช้ < ในการเลื่อนหลักตัวเลข
กดปุ่ม ENT	หน้าจอแสดง CAL
กดปุ่ม ENT	หน้าจอแสดง ZERO
กดปุ่ม MENU	หน้าจอแสดง SPAN F
กดปุ่ม MENU	หน้าจอแสดง ATD
กดปุ่ม ENT	จะปรากฏตัวเลขจำนวนหนึ่ง หรือ 00 ให้ปรับค่า VR1 ให้ตัวเลข

เอกสารนี้เป็นเอกสารที่สงวนไว้สำหรับการใช้งานเพื่อการศึกษาดูงานนี้ เมื่อผู้เช่าได้เช่าไปใช้ประโยชน์ด้านการค้า  
ไม่ว่ากรณีใดๆ ทั้งสิ้น อีกทั้งห้ามมิให้ตัดแปลงเนื้อหา และต้องอ้างอิงถึงเจ้าของเอกสารทุกครั้งที่มีการนำไปใช้

### ทดสอบค่าอ่านละเอียด

วางน้ำหนักเท่ากับค่าอ่านละเอียดบนแท่นชั่ง ตัวเลข ATD จะต้องเพิ่มขึ้นมากกว่า 2 ขึ้นไป จึงจะใช้งาน ได้ถ้าไม่ได้ให้เพิ่มค่า R3, R4 และ R10

กดปุ่ม ENT หน้าจอแสดง ATD

### การปรับน้ำหนักศูนย์

กดปุ่ม MENU จอหน้าจอแสดง ZERO

น้ำหนักบนแท่นชั่งเท่ากับ 0 กดปุ่ม ENT หน้าจอแสดงค่าตัวเลขจำนวนหนึ่งประมาณ 5 วินาที หน้าจอจะกลับมาแสดง ZERO

### การปรับน้ำหนัก

กดปุ่ม MENU จอหน้าจอแสดง SPAN วางน้ำหนักบนแท่นชั่ง เช่น 100 ก.ก

กดปุ่ม ENT หน้าจอแสดง 00000 ให้ป้อนค่าน้ำหนักเท่ากับที่อยู่บนแท่นชั่ง (โดยใช้ปุ่ม ^ และ <) ให้หน้าจอแสดง 01000 (หน้าจอไม่แสดงทศนิยม) แล้วกดปุ่ม ENT เครื่องแสดงค่าตัวเลขจำนวนหนึ่งประมาณ 5 วินาที หน้าจอจะกลับมาแสดง SPAN

กดปุ่ม MENU จอหน้าจอแสดง END กดปุ่ม ENT หน้าจอจะแสดง CODE

กดปุ่ม MENU จอหน้าจอแสดงค่าน้ำหนัก

----- จบขั้นตอน -----

### การตั้งค่าน้ำหนัก SP (OPTION)

1. กดปุ่ม MENU ให้หน้าจอแสดง SP
2. กดปุ่ม ENT หน้าจอแสดงค่าน้ำหนักเดิม ที่ตั้งไว้ (1 xxxxx สำหรับ setpoint 1, 2 xxxxx สำหรับ setpoint 2, 3 xxxxx สำหรับ setpoint 3)
3. ใช้ปุ่ม <, ^ เปลี่ยนแปลงแก้ไขตัวเลข
4. เมื่อได้ค่าที่ต้องการ กดปุ่ม ENT หน้าจอแสดง SP กดปุ่ม MENU ให้หน้าจอแสดงน้ำหนักปกติ

----- จบขั้นตอน -----



ภาคผนวก ฉ

รายละเอียดและคุณสมบัติของอุปกรณ์

เอกสารนี้เป็นเอกสารที่สงวนไว้สำหรับการใช้งานเพื่อการศึกษาเท่านั้น ไม่อนุญาตให้นำไปใช้ประโยชน์ด้านการค้า  
ไม่ว่ากรณีใดๆ ทั้งสิ้น อีกทั้งห้ามมิให้ดัดแปลงเนื้อหา และต้องอ้างอิงถึงเจ้าของเอกสารทุกครั้งที่มีการนำไปใช้

### Features

- Compatible with MCS-51™ Products
- 4K Bytes of In-System Reprogrammable Flash Memory
  - Endurance: 1,000 Write/Erase Cycles
- Fully Static Operation: 0 Hz to 24 MHz
- Three-level Program Memory Lock
- 128 x 8-bit Internal RAM
- 32 Programmable I/O Lines
- Two 16-bit Timer/Counters
- Six Interrupt Sources
- Programmable Serial Channel
- Low-power Idle and Power-down Modes

### Description

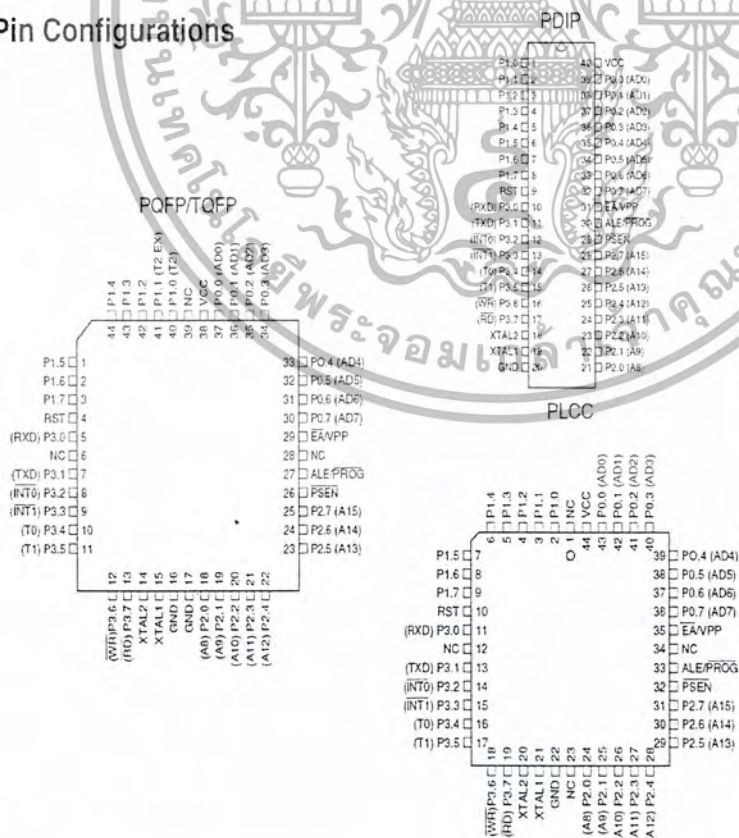
The AT89C51 is a low-power, high-performance CMOS 8-bit microcomputer with 4K bytes of Flash programmable and erasable read only memory (PEROM). The device is manufactured using Atmel's high-density nonvolatile memory technology and is compatible with the industry-standard MCS-51 instruction set and pinout. The on-chip Flash allows the program memory to be reprogrammed in-system or by a conventional nonvolatile memory programmer. By combining a versatile 8-bit CPU with Flash on a monolithic chip, the Atmel AT89C51 is a powerful microcomputer which provides a highly-flexible and cost-effective solution to many embedded control applications.



8-bit  
Microcontroller  
with 4K Bytes  
Flash

AT89C51

### Pin Configurations

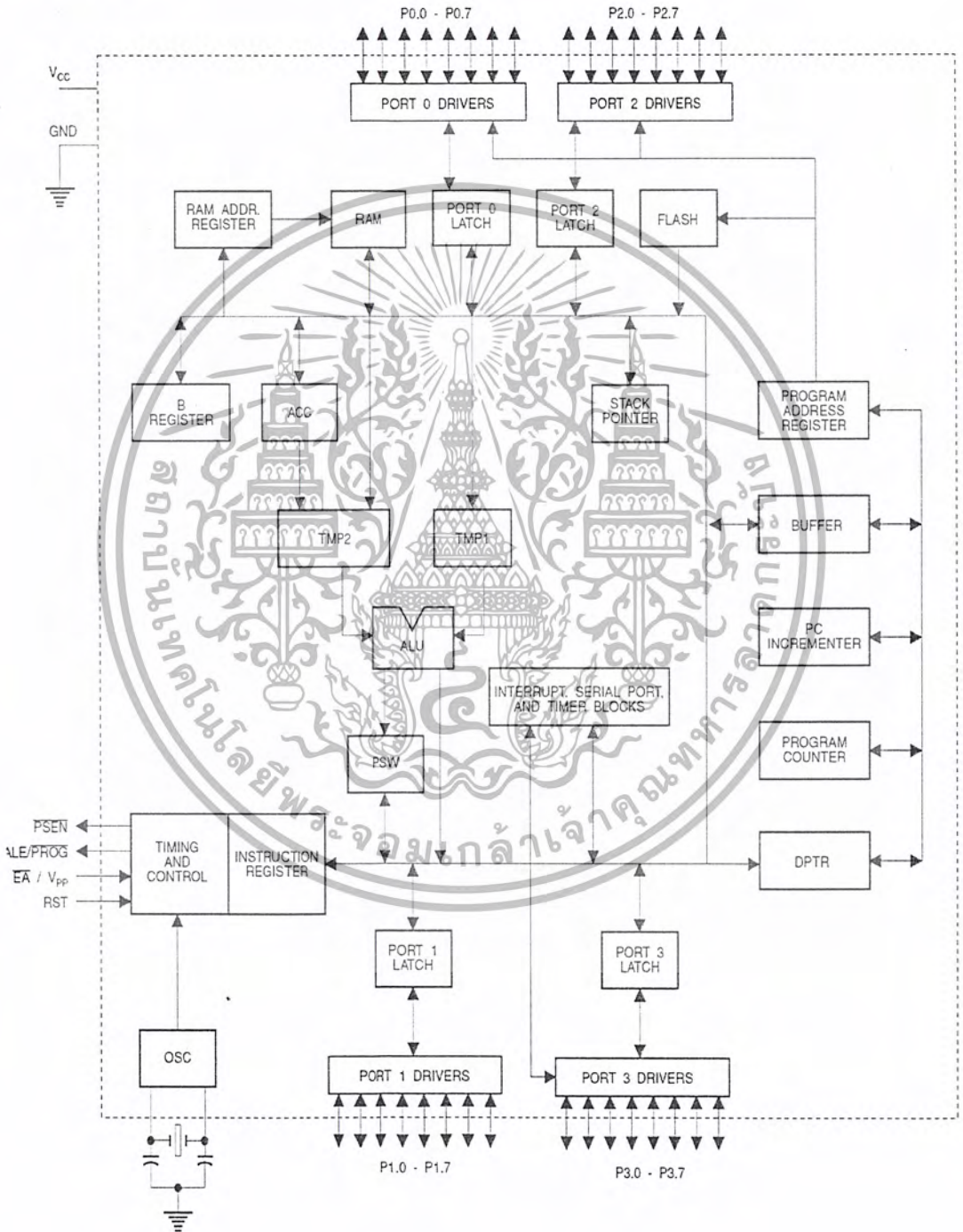


Rev. 0265G-02/00

เอกสารนี้เป็นเอกสารของบริษัท Atmel จำกัด ไม่อนุญาตให้นำไปใช้ประโยชน์ด้านการค้า  
ไม่ว่ากรณีใดๆ ทั้งสิ้น อีกทั้งห้ามมิให้ดัดแปลงเนื้อหา และต้องอ้างอิงถึงเจ้าของเอกสารทุกครั้งที่มีการนำไปใช้



### Block Diagram



เอกสารนี้เป็นเอกสารที่สงวนไว้สำหรับ... AT89C51...  
ไม่ว่ากรณีใดๆ ทั้งสิ้น อีกทั้งห้ามมิให้ดัดแปลงเนื้อหา และต้องอ้างอิงถึงเจ้าของเอกสารทุกครั้งที่มีการนำไปใช้

## AT89C51

The AT89C51 provides the following standard features: 4K bytes of Flash, 128 bytes of RAM, 32 I/O lines, two 16-bit timer/counters, a five vector two-level interrupt architecture, a full duplex serial port, on-chip oscillator and clock circuitry. In addition, the AT89C51 is designed with static logic for operation down to zero frequency and supports two software selectable power saving modes. The Idle Mode stops the CPU while allowing the RAM, timer/counters, serial port and interrupt system to continue functioning. The Power-down Mode saves the RAM contents but freezes the oscillator disabling all other chip functions until the next hardware reset.

### Pin Description

#### VCC

Supply voltage.

#### GND

Ground.

#### Port 0

Port 0 is an 8-bit open-drain bi-directional I/O port. As an output port, each pin can sink eight TTL inputs. When 1s are written to port 0 pins, the pins can be used as high-impedance inputs.

Port 0 may also be configured to be the multiplexed low-order address/data bus during accesses to external program and data memory. In this mode P0 has internal pullups.

Port 0 also receives the code bytes during Flash programming, and outputs the code bytes during program verification. External pullups are required during program verification.

#### Port 1

Port 1 is an 8-bit bi-directional I/O port with internal pullups. The Port 1 output buffers can sink/source four TTL inputs. When 1s are written to Port 1 pins they are pulled high by the internal pullups and can be used as inputs. As inputs, Port 1 pins that are externally being pulled low will source current ( $I_{IL}$ ) because of the internal pullups.

Port 1 also receives the low-order address bytes during Flash programming and verification.

#### Port 2

Port 2 is an 8-bit bi-directional I/O port with internal pullups. The Port 2 output buffers can sink/source four TTL inputs. When 1s are written to Port 2 pins they are pulled high by the internal pullups and can be used as inputs. As inputs,

Port 2 pins that are externally being pulled low will source current ( $I_{IL}$ ) because of the internal pullups.

Port 2 emits the high-order address byte during fetches from external program memory and during accesses to external data memory that use 16-bit addresses (MOVX @ DPTR). In this application, it uses strong internal pullups when emitting 1s. During accesses to external data memory that use 8-bit addresses (MOVX @ RI), Port 2 emits the contents of the P2 Special Function Register.

Port 2 also receives the high-order address bits and some control signals during Flash programming and verification.

#### Port 3

Port 3 is an 8-bit bi-directional I/O port with internal pullups. The Port 3 output buffers can sink/source four TTL inputs. When 1s are written to Port 3 pins they are pulled high by the internal pullups and can be used as inputs. As inputs, Port 3 pins that are externally being pulled low will source current ( $I_{IL}$ ) because of the pullups.

Port 3 also serves the functions of various special features of the AT89C51 as listed below:

Port Pin	Alternate Functions
P3.0	RXD (serial input port)
P3.1	TXD (serial output port)
P3.2	INT0 (external interrupt 0)
P3.3	INT1 (external interrupt 1)
P3.4	T0 (timer 0 external input)
P3.5	T1 (timer 1 external input)
P3.6	WR (external data memory write strobe)
P3.7	RD (external data memory read strobe)

Port 3 also receives some control signals for Flash programming and verification.

#### RST

Reset input. A high on this pin for two machine cycles while the oscillator is running resets the device.

#### ALE/PROG

Address Latch Enable output pulse for latching the low byte of the address during accesses to external memory. This pin is also the program pulse input (PROG) during Flash programming.

In normal operation ALE is emitted at a constant rate of 1/6 the oscillator frequency, and may be used for external timing or clocking purposes. Note, however, that one ALE



pulse is skipped during each access to external Data Memory.

If desired, ALE operation can be disabled by setting bit 0 of SFR location 8EH. With the bit set, ALE is active only during a MOVX or MOVC instruction. Otherwise, the pin is weakly pulled high. Setting the ALE-disable bit has no effect if the microcontroller is in external execution mode.

**PSEN**

Program Store Enable is the read strobe to external program memory.

When the AT89C51 is executing code from external program memory, PSEN is activated twice each machine cycle, except that two PSEN activations are skipped during each access to external data memory.

**EA/VPP**

External Access Enable. EA must be strapped to GND in order to enable the device to fetch code from external program memory locations starting at 0000H up to FFFFH. Note, however, that if lock bit 1 is programmed, EA will be internally latched on reset.

EA should be strapped to VCC for internal program executions.

This pin also receives the 12-volt programming enable voltage (Vpp) during Flash programming, for parts that require 12-volt Vpp.

**XTAL1**

Input to the inverting oscillator amplifier and input to the internal clock operating circuit.

**XTAL2**

Output from the inverting oscillator amplifier.

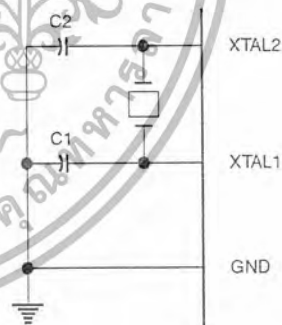
unconnected while XTAL1 is driven as shown in Figure 2. There are no requirements on the duty cycle of the external clock signal, since the input to the internal clocking circuitry is through a divide-by-two flip-flop, but minimum and maximum voltage high and low time specifications must be observed.

**Idle Mode**

In idle mode, the CPU puts itself to sleep while all the on-chip peripherals remain active. The mode is invoked by software. The content of the on-chip RAM and all the special functions registers remain unchanged during this mode. The idle mode can be terminated by any enabled interrupt or by a hardware reset.

It should be noted that when idle is terminated by a hardware reset, the device normally resumes program execution, from where it left off, up to two machine cycles before the internal reset algorithm takes control. On-chip hardware inhibits access to internal RAM in this event, but access to the port pins is not inhibited. To eliminate the possibility of an unexpected write to a port pin when Idle is terminated by reset, the instruction following the one that invokes Idle should not be one that writes to a port pin or to external memory.

Figure 1. Oscillator Connections



Note: C1, C2 = 30 pF ± 10 pF for Crystals  
= 40 pF ± 10 pF for Ceramic Resonators

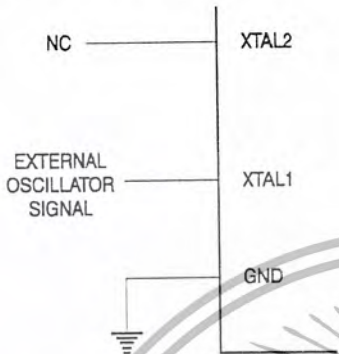
**Oscillator Characteristics**

XTAL1 and XTAL2 are the input and output, respectively, of an inverting amplifier which can be configured for use as an on-chip oscillator, as shown in Figure 1. Either a quartz crystal or ceramic resonator may be used. To drive the device from an external clock source, XTAL2 should be left

**Status of External Pins During Idle and Power-down Modes**

Mode	Program Memory	ALE	PSEN	PORT0	PORT1	PORT2	PORT3
Idle	Internal	1	1	Data	Data	Data	Data
Idle	External	1	1	Float	Data	Address	Data
Power-down	Internal	0	0	Data	Data	Data	Data
Power-down	External	0	0	Float	Data	Data	Data

Figure 2. External Clock Drive Configuration



ters retain their values until the power-down mode is terminated. The only exit from power-down is a hardware reset. Reset redefines the SFRs but does not change the on-chip RAM. The reset should not be activated before  $V_{CC}$  is restored to its normal operating level and must be held active long enough to allow the oscillator to restart and stabilize.

**Program Memory Lock Bits**

On the chip are three lock bits which can be left unprogrammed (U) or can be programmed (P) to obtain the additional features listed in the table below.

When lock bit 1 is programmed, the logic level at the  $\overline{EA}$  pin is sampled and latched during reset. If the device is powered up without a reset, the latch initializes to a random value, and holds that value until reset is activated. It is necessary that the latched value of  $\overline{EA}$  be in agreement with the current logic level at that pin in order for the device to function properly.

**Power-down Mode**

In the power-down mode, the oscillator is stopped, and the instruction that invokes power-down is the last instruction executed. The on-chip RAM and Special Function Regis-

**Lock Bit Protection Modes**

	Program Lock Bits			Protection Type
	LB1	LB2	LB3	
1	U	U	U	No program lock features
2	P	U	U	MOV <sub>C</sub> instructions executed from external program memory are disabled from fetching code bytes from internal memory; $\overline{EA}$ is sampled and latched on reset, and further programming of the Flash is disabled
3	P	P	U	Same as mode 2, also verify is disabled
4	P	P	P	Same as mode 3, also external execution is disabled





## Programming the Flash

The AT89C51 is normally shipped with the on-chip Flash memory array in the erased state (that is, contents = FFH) and ready to be programmed. The programming interface accepts either a high-voltage (12-volt) or a low-voltage ( $V_{CC}$ ) program enable signal. The low-voltage programming mode provides a convenient way to program the AT89C51 inside the user's system, while the high-voltage programming mode is compatible with conventional third-party Flash or EPROM programmers.

The AT89C51 is shipped with either the high-voltage or low-voltage programming mode enabled. The respective top-side marking and device signature codes are listed in the following table.

	$V_{PP} = 12V$	$V_{PP} = 5V$
Top-Side Mark	AT89C51 xxxx yyww	AT89C51 xxxx-5 yyww
Signature	(030H) = 1EH (031H) = 51H (032H) = FFH	(030H) = 1EH (031H) = 51H (032H) = 05H

The AT89C51 code memory array is programmed byte-by-byte in either programming mode. *To program any non-blank byte in the on-chip Flash Memory, the entire memory must be erased using the Chip Erase Mode.*

**Programming Algorithm:** Before programming the AT89C51, the address, data and control signals should be set up according to the Flash programming mode table and Figure 3 and Figure 4. To program the AT89C51, take the following steps.

1. Input the desired memory location on the address lines.
2. Input the appropriate data byte on the data lines.
3. Activate the correct combination of control signals.
4. Raise  $\overline{EA}/V_{PP}$  to 12V for the high-voltage programming mode.
5. Pulse  $ALE/\overline{PROG}$  once to program a byte in the Flash array or the lock bits. The byte-write cycle is self-timed and typically takes no more than 1.5 ms. Repeat steps 1 through 5, changing the address

and data for the entire array or until the end of the object file is reached.

**Data Polling:** The AT89C51 features  $\overline{Data}$  Polling to indicate the end of a write cycle. During a write cycle, an attempted read of the last byte written will result in the complement of the written datum on PO.7. Once the write cycle has been completed, true data are valid on all outputs, and the next cycle may begin. Data Polling may begin any time after a write cycle has been initiated.

**Ready/Busy:** The progress of byte programming can also be monitored by the  $RDY/\overline{BSY}$  output signal. P3.4 is pulled low after ALE goes high during programming to indicate BUSY. P3.4 is pulled high again when programming is done to indicate READY.

**Program Verify:** If lock bits LB1 and LB2 have not been programmed, the programmed code data can be read back via the address and data lines for verification. The lock bits cannot be verified directly. Verification of the lock bits is achieved by observing that their features are enabled.

**Chip Erase:** The entire Flash array is erased electrically by using the proper combination of control signals and by holding  $ALE/\overline{PROG}$  low for 10 ms. The code array is written with all "1"s. The chip erase operation must be executed before the code memory can be re-programmed.

**Reading the Signature Bytes:** The signature bytes are read by the same procedure as a normal verification of locations 030H, 031H, and 032H, except that P3.6 and P3.7 must be pulled to a logic low. The values returned are as follows.

- (030H) = 1EH indicates manufactured by Atmel
- (031H) = 51H indicates 89C51
- (032H) = FFH indicates 12V programming
- (032H) = 05H indicates 5V programming

## Programming Interface

Every code byte in the Flash array can be written and the entire array can be erased by using the appropriate combination of control signals. The write operation cycle is self-timed and once initiated, will automatically time itself to completion.

All major programming vendors offer worldwide support for the Atmel microcontroller series. Please contact your local programming vendor for the appropriate software revision.

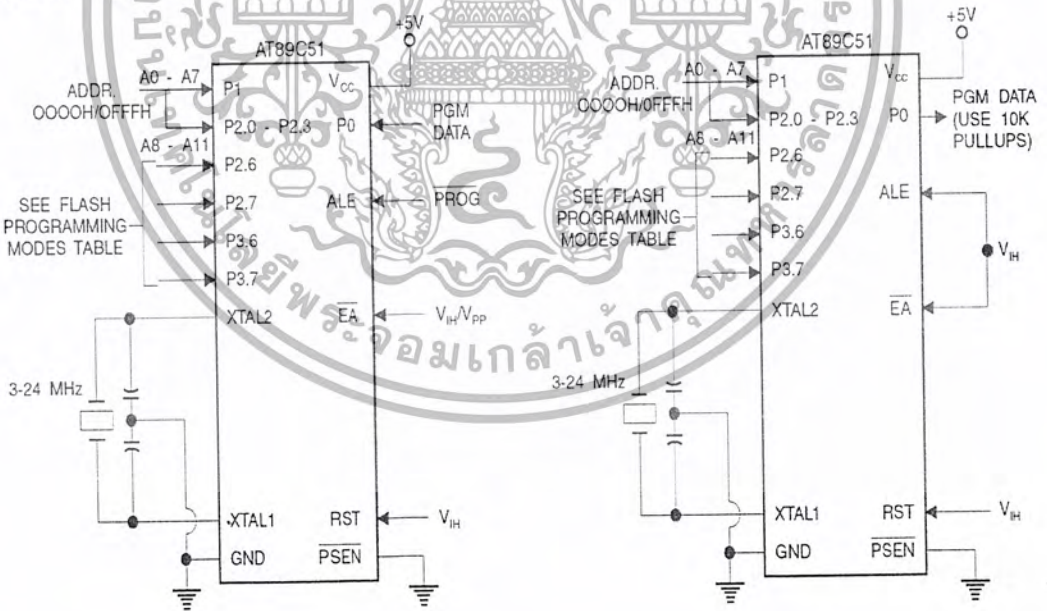
Flash Programming Modes

Mode	RST	PSEN	ALE/PROG	EA/V <sub>pp</sub>	P2.6	P2.7	P3.6	P3.7
Write Code Data	H	L		H/12V	L	H	H	H
Read Code Data	H	L	H	H	L	L	H	H
Write Lock	H	L		H/12V	H	H	H	H
				H/12V	H	H	L	L
				H/12V	H	L	H	L
Chip Erase	H	L		H/12V	H	L	L	L
Read Signature Byte	H	L	H	H	L	L	L	L

Note: 1. Chip Erase requires a 10 ms P<sub>PROG</sub> pulse.

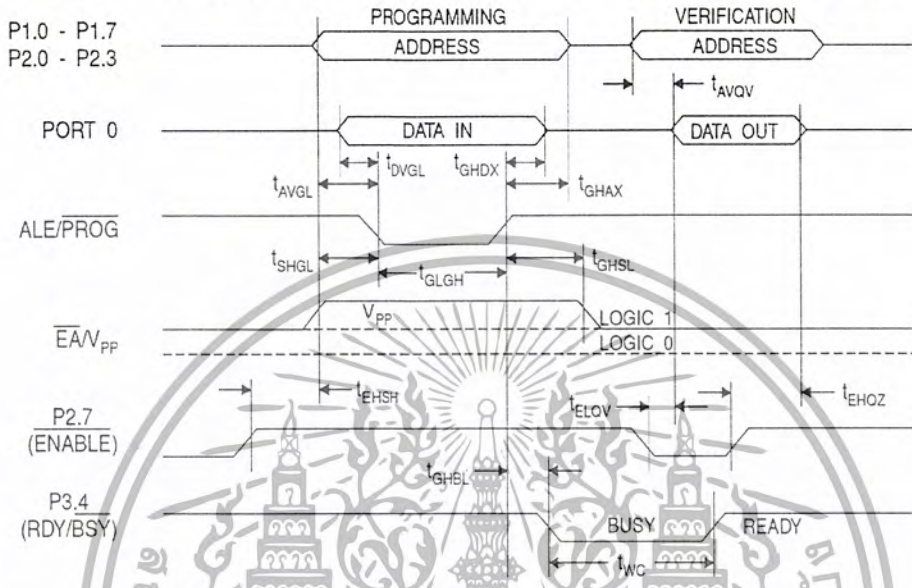
Figure 3. Programming the Flash

Figure 4. Verifying the Flash

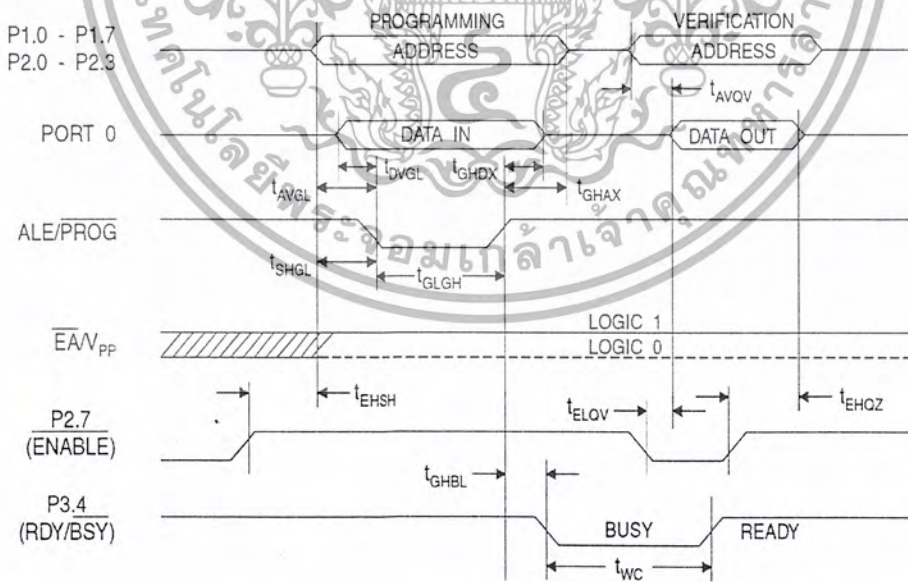




**Flash Programming and Verification Waveforms - High-voltage Mode ( $V_{PP} = 12V$ )**



**Flash Programming and Verification Waveforms - Low-voltage Mode ( $V_{PP} = 5V$ )**



## Flash Programming and Verification Characteristics

 $T_A = 0^\circ\text{C to } 70^\circ\text{C}, V_{CC} = 5.0 \pm 10\%$ 

Symbol	Parameter	Min	Max	Units
$V_{PP}^{(1)}$	Programming Enable Voltage	11.5	12.5	V
$I_{PP}^{(1)}$	Programming Enable Current		1.0	mA
$1/t_{CLCL}$	Oscillator Frequency	3	24	MHz
$t_{AVGL}$	Address Setup to $\overline{\text{PROG}}$ Low	$48t_{CLCL}$		
$t_{GHAX}$	Address Hold After $\overline{\text{PROG}}$	$48t_{CLCL}$		
$t_{DVGL}$	Data Setup to $\overline{\text{PROG}}$ Low	$48t_{CLCL}$		
$t_{GHDX}$	Data Hold After $\overline{\text{PROG}}$	$48t_{CLCL}$		
$t_{EHS}$	P2.7 (ENABLE) High to $V_{PP}$	$48t_{CLCL}$		
$t_{SHGL}$	$V_{PP}$ Setup to $\overline{\text{PROG}}$ Low	10		$\mu\text{s}$
$t_{GHSL}^{(1)}$	$V_{PP}$ Hold After $\overline{\text{PROG}}$	10		$\mu\text{s}$
$t_{GLGH}$	$\overline{\text{PROG}}$ Width	1	110	$\mu\text{s}$
$t_{AVOV}$	Address to Data Valid		$48t_{CLCL}$	
$t_{ELOV}$	ENABLE Low to Data Valid		$48t_{CLCL}$	
$t_{EHOZ}$	Data Float After ENABLE	0	$48t_{CLCL}$	
$t_{GHBL}$	$\overline{\text{PROG}}$ High to $\overline{\text{BUSY}}$ Low		1.0	$\mu\text{s}$
$t_{WC}$	Byte Write Cycle Time		2.0	ms

Note: 1. Only used in 12-volt programming mode.



**Absolute Maximum Ratings\***

Operating Temperature.....	-55°C to +125°C
Storage Temperature.....	-65°C to +150°C
Voltage on Any Pin with Respect to Ground.....	-1.0V to +7.0V
Maximum Operating Voltage.....	6.6V
DC Output Current.....	15.0 mA

\*NOTICE: Stresses beyond those listed under "Absolute Maximum Ratings" may cause permanent damage to the device. This is a stress rating only and functional operation of the device at these or any other conditions beyond those indicated in the operational sections of this specification is not implied. Exposure to absolute maximum rating conditions for extended periods may affect device reliability.

**DC Characteristics**

T<sub>A</sub> = -40°C to 85°C, V<sub>CC</sub> = 5.0V ± 20% (unless otherwise noted)

Symbol	Parameter	Condition	Min	Max	Units
V <sub>IL</sub>	Input Low-voltage	(Except EA)	-0.5	0.2 V <sub>CC</sub> - 0.1	V
V <sub>IL1</sub>	Input Low-voltage (EA)		-0.5	0.2 V <sub>CC</sub> - 0.3	V
V <sub>IH</sub>	Input High-voltage	(Except XTAL1, RST)	0.2 V <sub>CC</sub> + 0.9	V <sub>CC</sub> + 0.5	V
V <sub>IH1</sub>	Input High-voltage	(XTAL1, RST)	0.7 V <sub>CC</sub>	V <sub>CC</sub> + 0.5	V
V <sub>OL</sub>	Output Low-voltage <sup>(1)</sup> (Ports 1,2,3)	I <sub>OL</sub> = 1.6 mA		0.45	V
V <sub>OL1</sub>	Output Low-voltage <sup>(1)</sup> (Port 0, ALE, PSEN)	I <sub>OL</sub> = 2.2 mA		0.45	V
V <sub>OH</sub>	Output High-voltage (Ports 1,2,3, ALE, PSEN)	I <sub>OH</sub> = +60 μA, V <sub>CC</sub> = 5V ± 10%	2.4		V
		I <sub>OH</sub> = -25 μA	0.75 V <sub>CC</sub>		V
		I <sub>OH</sub> = -10 μA	0.9 V <sub>CC</sub>		V
V <sub>OH1</sub>	Output High-voltage (Port 0 in External Bus Mode)	I <sub>OH</sub> = -800 μA, V <sub>CC</sub> = 5V ± 10%	2.4		V
		I <sub>OH</sub> = -300 μA	0.75 V <sub>CC</sub>		V
		I <sub>OH</sub> = -80 μA	0.9 V <sub>CC</sub>		V
I <sub>IL</sub>	Logical 0 Input Current (Ports 1,2,3)	V <sub>IN</sub> = 0.45V		-50	μA
I <sub>TL</sub>	Logical 1 to 0 Transition Current (Ports 1,2,3)	V <sub>IN</sub> = 2V, V <sub>CC</sub> = 5V ± 10%		-650	μA
I <sub>LI</sub>	Input Leakage Current (Port 0, EA)	0.45 < V <sub>IN</sub> < V <sub>CC</sub>		±10	μA
RRST	Reset Pull-down Resistor		50	300	KΩ
C <sub>IO</sub>	Pin Capacitance	Test Freq. = 1 MHz, T <sub>A</sub> = 25°C		10	pF
I <sub>CC</sub>	Power Supply Current	Active Mode, 12 MHz		20	mA
		Idle Mode, 12 MHz		5	mA
	Power-down Mode <sup>(2)</sup>	V <sub>CC</sub> = 6V		100	μA
		V <sub>CC</sub> = 3V		40	μA

- Notes: 1. Under steady state (non-transient) conditions, I<sub>OL</sub> must be externally limited as follows:  
 Maximum I<sub>OL</sub> per port pin: 10 mA  
 Maximum I<sub>OL</sub> per 8-bit port: Port 0: 26 mA  
 Ports 1, 2, 3: 15 mA  
 Maximum total I<sub>OL</sub> for all output pins: 71 mA  
 If I<sub>OL</sub> exceeds the test condition, V<sub>OL</sub> may exceed the related specification. Pins are not guaranteed to sink current greater than the listed test conditions.  
 2. Minimum V<sub>CC</sub> for Power-down is 2V.

## AC Characteristics

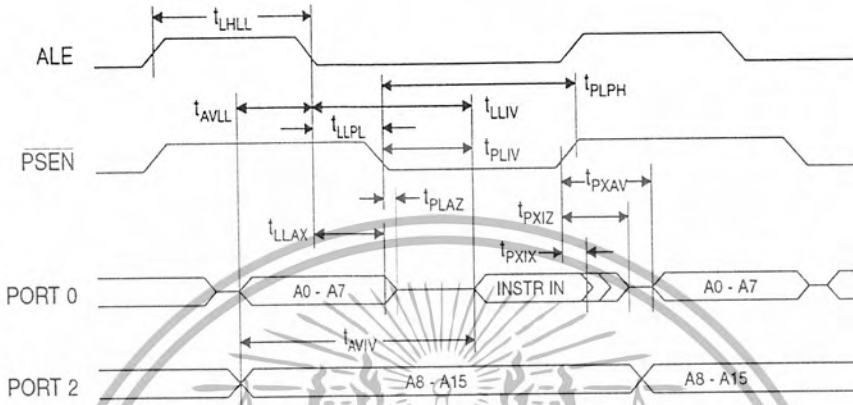
Under operating conditions, load capacitance for Port 0, ALE/ $\overline{\text{PROG}}$ , and  $\overline{\text{PSEN}}$  = 100 pF; load capacitance for all other outputs = 80 pF.

### External Program and Data Memory Characteristics

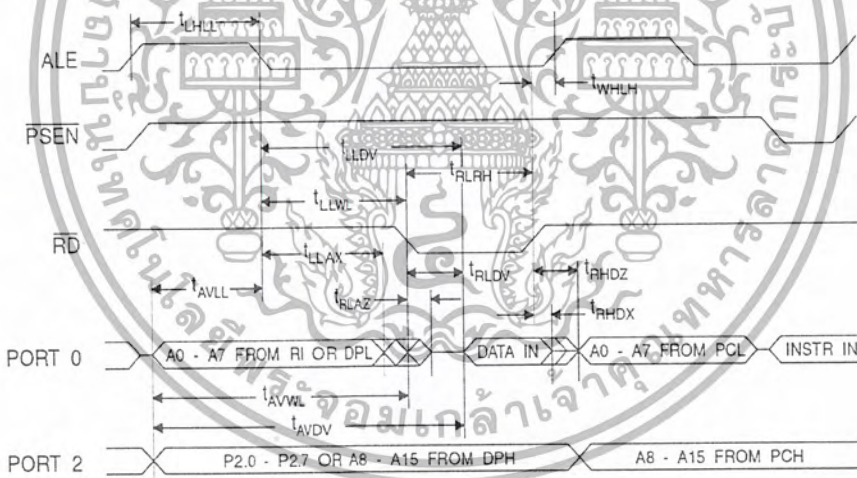
Symbol	Parameter	12 MHz Oscillator		16 to 24 MHz Oscillator		Units
		Min	Max	Min	Max	
$1/t_{\text{CLCL}}$	Oscillator Frequency			0	24	MHz
$t_{\text{LHLL}}$	ALE Pulse Width	127		$2t_{\text{CLCL}}-40$		ns
$t_{\text{AVLL}}$	Address Valid to ALE Low	43		$t_{\text{CLCL}}-13$		ns
$t_{\text{LLAX}}$	Address Hold After ALE Low	43		$t_{\text{CLCL}}-20$		ns
$t_{\text{LLIV}}$	ALE Low to Valid Instruction In		233		$4t_{\text{CLCL}}-65$	ns
$t_{\text{LLPL}}$	ALE Low to $\overline{\text{PSEN}}$ Low	43		$t_{\text{CLCL}}-13$		ns
$t_{\text{PLPH}}$	$\overline{\text{PSEN}}$ Pulse Width	205		$3t_{\text{CLCL}}-20$		ns
$t_{\text{PLIV}}$	$\overline{\text{PSEN}}$ Low to Valid Instruction In		145		$3t_{\text{CLCL}}-45$	ns
$t_{\text{PXIX}}$	Input Instruction Hold After $\overline{\text{PSEN}}$	0		0		ns
$t_{\text{PXIZ}}$	Input Instruction Float After $\overline{\text{PSEN}}$		56		$t_{\text{CLCL}}-10$	ns
$t_{\text{PXAV}}$	$\overline{\text{PSEN}}$ to Address Valid	75		$t_{\text{CLCL}}-8$		ns
$t_{\text{AVIV}}$	Address to Valid Instruction In		312		$5t_{\text{CLCL}}-55$	ns
$t_{\text{PLAZ}}$	$\overline{\text{PSEN}}$ Low to Address Float		10		10	ns
$t_{\text{RLRH}}$	$\overline{\text{RD}}$ Pulse Width	400		$6t_{\text{CLCL}}-100$		ns
$t_{\text{WLWH}}$	$\overline{\text{WR}}$ Pulse Width	400		$6t_{\text{CLCL}}-100$		ns
$t_{\text{RLDV}}$	$\overline{\text{RD}}$ Low to Valid Data In		252		$5t_{\text{CLCL}}-90$	ns
$t_{\text{RHDX}}$	Data Hold After $\overline{\text{RD}}$	0		0		ns
$t_{\text{RHDX}}$	Data Float After $\overline{\text{RD}}$		97		$2t_{\text{CLCL}}-28$	ns
$t_{\text{LLDV}}$	ALE Low to Valid Data In		517		$8t_{\text{CLCL}}-150$	ns
$t_{\text{AVDV}}$	Address to Valid Data In		585		$9t_{\text{CLCL}}-165$	ns
$t_{\text{LLWL}}$	ALE Low to $\overline{\text{RD}}$ or $\overline{\text{WR}}$ Low	200	300	$3t_{\text{CLCL}}-50$	$3t_{\text{CLCL}}+50$	ns
$t_{\text{AVWL}}$	Address to $\overline{\text{RD}}$ or $\overline{\text{WR}}$ Low	203		$4t_{\text{CLCL}}-75$		ns
$t_{\text{OVWX}}$	Data Valid to $\overline{\text{WR}}$ Transition	23		$t_{\text{CLCL}}-20$		ns
$t_{\text{OVWH}}$	Data Valid to $\overline{\text{WR}}$ High	433		$7t_{\text{CLCL}}-120$		ns
$t_{\text{WHQX}}$	Data Hold After $\overline{\text{WR}}$	33		$t_{\text{CLCL}}-20$		ns
$t_{\text{RLAZ}}$	$\overline{\text{RD}}$ Low to Address Float		0		0	ns
$t_{\text{WHLH}}$	$\overline{\text{RD}}$ or $\overline{\text{WR}}$ High to ALE High	43	123	$t_{\text{CLCL}}-20$	$t_{\text{CLCL}}+25$	ns



External Program Memory Read Cycle



External Data Memory Read Cycle



AT89C51

เอกสารนี้เป็นเอกสารที่สงวนไว้สำหรับใช้เพื่อการศึกษาด้านวิชาการเท่านั้น เมื่อนำไปเผยแพร่โดยไม่ได้รับอนุญาตจากทางบริษัทฯ  
 12  
 ไม่ว่ากรณีใดๆ ทั้งสิ้น อีกทั้งห้ามมิให้ดัดแปลงเนื้อหา และต้องอ้างอิงถึงเจ้าของเอกสารทุกครั้งที่มีการนำไปใช้



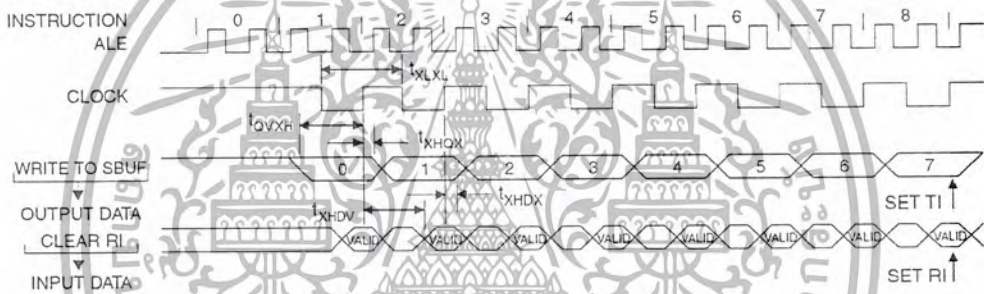


### Serial Port Timing: Shift Register Mode Test Conditions

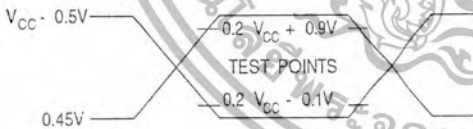
( $V_{CC} = 5.0\text{ V} \pm 20\%$ ; Load Capacitance = 80 pF)

Symbol	Parameter	12 MHz Osc		Variable Oscillator		Units
		Min	Max	Min	Max	
$t_{XLXL}$	Serial Port Clock Cycle Time	1.0		$12t_{CLCL}$		$\mu\text{s}$
$t_{QVXH}$	Output Data Setup to Clock Rising Edge	700		$10t_{CLCL}-133$		ns
$t_{XHDX}$	Output Data Hold After Clock Rising Edge	50		$2t_{CLCL}-117$		ns
$t_{XHDV}$	Input Data Hold After Clock Rising Edge	0		0		ns
$t_{XHDV}$	Clock Rising Edge to Input Data Valid		700		$10t_{CLCL}-133$	ns

### Shift Register Mode Timing Waveforms

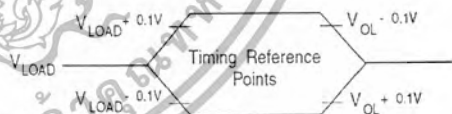


### AC Testing Input/Output Waveforms<sup>(1)</sup>



Note: 1. AC Inputs during testing are driven at  $V_{CC} - 0.5\text{V}$  for a logic 1 and  $0.45\text{V}$  for a logic 0. Timing measurements are made at  $V_{IH\text{ min}}$  for a logic 1 and  $V_{IL\text{ max}}$  for a logic 0.

### Float Waveforms<sup>(1)</sup>



Note: 1. For timing purposes, a port pin is no longer floating when a  $100\text{ mV}$  change from load voltage occurs. A port pin begins to float when  $100\text{ mV}$  change from the loaded  $V_{OH}/V_{OL}$  level occurs.

## AT89C51

### Ordering Information

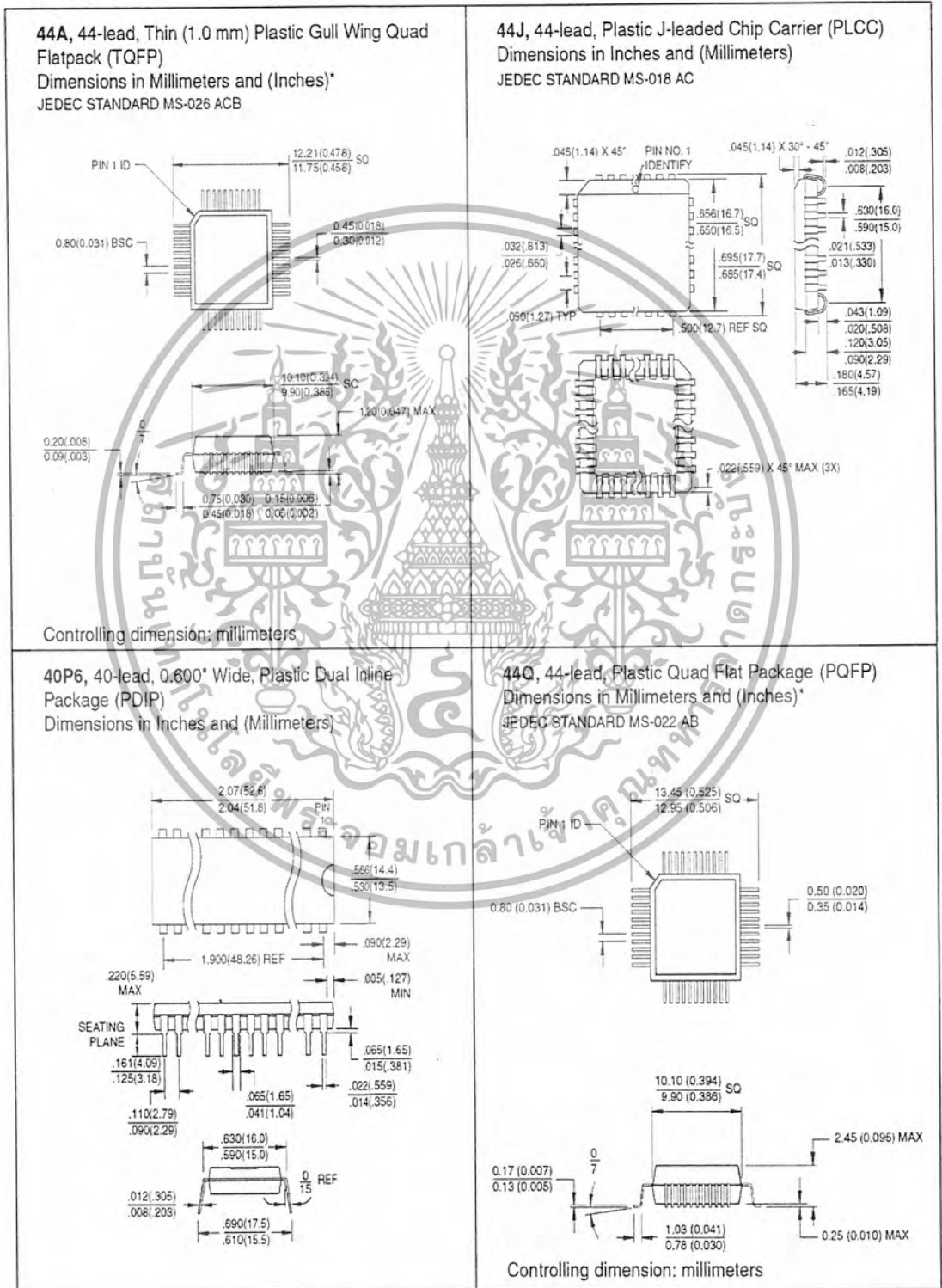
Speed (MHz)	Power Supply	Ordering Code	Package	Operation Range
12	5V ± 20%	AT89C51-12AC	44A	Commercial (0°C to 70°C)
		AT89C51-12JC	44J	
		AT89C51-12PC	40P6	
		AT89C51-12QC	44Q	
		AT89C51-12AI	44A	Industrial (-40°C to 85°C)
		AT89C51-12JI	44J	
		AT89C51-12PI	40P6	
		AT89C51-12QI	44Q	
16	5V ± 20%	AT89C51-16AC	44A	Commercial (0°C to 70°C)
		AT89C51-16JC	44J	
		AT89C51-16PC	40P6	
		AT89C51-16QC	44Q	
		AT89C51-16AI	44A	Industrial (-40°C to 85°C)
		AT89C51-16JI	44J	
		AT89C51-16PI	40P6	
		AT89C51-16QI	44Q	
20	5V ± 20%	AT89C51-20AC	44A	Commercial (0°C to 70°C)
		AT89C51-20JC	44J	
		AT89C51-20PC	40P6	
		AT89C51-20QC	44Q	
		AT89C51-20AI	44A	Industrial (-40°C to 85°C)
		AT89C51-20JI	44J	
		AT89C51-20PI	40P6	
		AT89C51-20QI	44Q	
24	5V ± 20%	AT89C51-24AC	44A	Commercial (0°C to 70°C)
		AT89C51-24JC	44J	
		AT89C51-24PC	40P6	
		AT89C51-24QC	44Q	
		AT89C51-24AI	44A	Industrial (-40°C to 85°C)
		AT89C51-24JI	44J	
		AT89C51-24PI	40P6	
		AT89C51-24QI	44Q	

Package Type	
44A	44-lead, Thin Plastic Gull Wing Quad Flatpack (TQFP)
44J	44-lead, Plastic J-leaded Chip Carrier (PLCC)
40P6	40-lead, 0.600" Wide, Plastic Dual Inline Package (PDIP)
44Q	44-lead, Plastic Gull Wing Quad Flatpack (PQFP)

เอกสารนี้เป็นเอกสารลิขสิทธิ์ของ  เท่านั้น ไม่อนุญาตให้นำไปใช้ประโยชน์ 15 ในการค้า  
ไม่ว่ากรณีใดๆ ทั้งสิ้น อีกทั้งห้ามมิให้ดัดแปลงเนื้อหา และต้องอ้างอิงถึงเจ้าของเอกสารทุกครั้งที่มีการนำไปใช้



Packaging Information



# 5833

Data Sheet  
26185.16A\*

## BiMOS II 32-BIT SERIAL-INPUT, LATCHED DRIVER

**UCN5833EP**

Dwg. No. A-15049

**ABSOLUTE MAXIMUM RATINGS**  
at +25°C Free-Air Temperature

Output Voltage,  $V_{OUT}$  . . . . . 30 V  
 Logic Supply Voltage,  $V_{DD}$  . . . . . 7.0 V  
 Input Voltage Range,  
 $V_{IN}$  . . . . . -0.3 V to  $V_{DD} + 0.3$  V  
 Continuous Output Current,  
 $I_{OUT}$  (each output) . . . . . 125 mA  
 Package Power Dissipation,  $P_D$   
 (UCN5833A) . . . . . 3.5 W\*  
 (UCN5833EP) . . . . . 2.5 W\*  
 Operating Temperature Range,  
 $T_A$  . . . . . -20°C to +85°C  
 Storage Temperature Range,  
 $T_S$  . . . . . -55°C to +150°C

\* Derate linearly to 0 W at +150°C.

*Caution: CMOS devices have input static protection but are susceptible to damage when exposed to extremely high static electrical charges.*

Designed to reduce logic supply current, chip size, and system cost, the UCN5833A/EP integrated circuits offer high-speed operation for thermal printers. These devices can also be used to drive multiplexed LED displays or incandescent lamps within their 125 mA peak output current rating. The combination of bipolar and MOS technologies gives BiMOS II smart power ICs an interface flexibility beyond the reach of standard buffers and power driver circuits.

These 32-bit drivers have bipolar open-collector npn Darlington outputs, a CMOS data latch for each of the drivers, a 32-bit CMOS shift register, and CMOS control circuitry. The high-speed CMOS shift registers and latches allow operation with most microprocessor-based systems at data input rates above 3.3 MHz. Use of these drivers with TTL may require input pull-up resistors to ensure an input logic high.

The UCN5833A is supplied in a 40-pin dual in-line plastic package with 0.600" (15.24 mm) row spacing. At an ambient temperature of +75°C, all outputs of the DIP-packaged device will sustain 50 mA continuously. For high-density applications, the UCN5833EP is available. This 44-lead plastic chip carrier (quad pack) is intended for surface-mounting on solder lands with 0.050" (1.27 mm) centers. CMOS serial data outputs permit cascading for applications requiring additional drive lines.

**FEATURES**

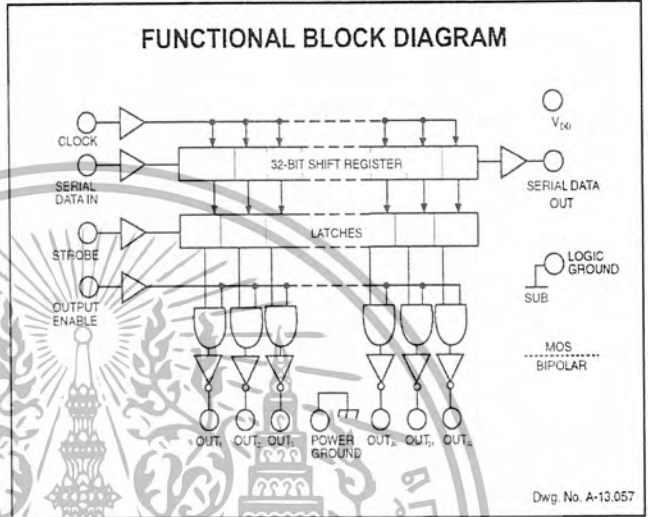
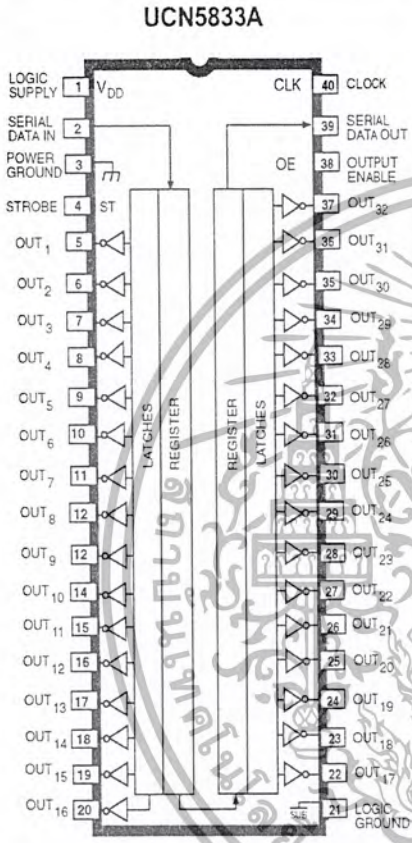
- To 3.3 MHz Data Input Rate
- 30 V Minimum Output Breakdown
- Darlington Current-Sink Outputs
- Low-Power CMOS Logic and Latches

Always order by complete part number:

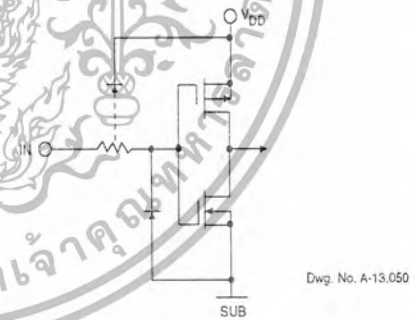
Part Number	Package
UCN5833A	40-Pin DIP
UCN5833EP	44-Lead PLCC



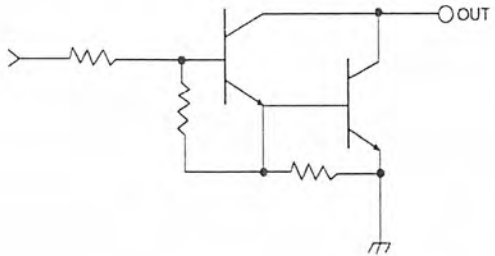
**5833**  
**BiMOS II 32-BIT**  
**SERIAL-INPUT,**  
**LATCHED DRIVER**



**TYPICAL INPUT CIRCUIT**



**TYPICAL OUTPUT DRIVER**



Dwg. No. A-13.051



115 Northeast Cutoff, Box 15036  
 Worcester, Massachusetts 01615-0036 (508) 853-5000  
 Copyright © 1986, 1995, Allegro MicroSystems, Inc.

เอกสารนี้เป็นเอกสารที่ลิขสิทธิ์โดย Allegro MicroSystems, Inc. การนำเอกสารนี้ไปใช้โดยไม่ได้รับอนุญาตจาก Allegro MicroSystems, Inc. จะถือว่าผิดกฎหมาย  
 ไม่ว่ากรณีใดๆ ทั้งสิ้น อีกทั้งห้ามมิให้ดัดแปลงเนื้อหา และต้องอ้างอิงถึงเจ้าของเอกสารทุกครั้งที่มีการนำไปใช้

**5833**  
**BiMOS II 32-BIT**  
**SERIAL-INPUT,**  
**LATCHED DRIVER**

**ELECTRICAL CHARACTERISTICS** at  $T_A = +25^\circ\text{C}$ ,  $V_{DD} = 5\text{ V}$  (unless otherwise noted).

Characteristic	Symbol	Test Conditions	Limits		
			Min.	Max.	Units
Output Leakage Current	$I_{CEX}$	$V_{OUT} = 30\text{ V}$ , $T_A = 70^\circ\text{C}$	—	10	$\mu\text{A}$
Collector-Emitter Saturation Voltage	$V_{CE(SAT)}$	$I_{OUT} = 50\text{ mA}$	—	1.2	V
		$I_{OUT} = 100\text{ mA}$	—	1.7	V
Input Voltage	$V_{IN(1)}$		3.5	5.3	V
	$V_{IN(0)}$		-0.3	+0.8	V
Input Current	$I_{IN(1)}$	$V_{IN} = 5.0\text{ V}$	—	1.0	$\mu\text{A}$
	$I_{IN(0)}$	$V_{IN} = 0\text{ V}$	—	-1.0	$\mu\text{A}$
Serial Output Voltage	$V_{OUT(1)}$	$I_{OUT} = -200\ \mu\text{A}$	4.5	—	V
	$V_{OUT(0)}$	$I_{OUT} = 200\ \mu\text{A}$	—	0.3	V
Supply Current	$I_{DD}$	One output ON, $I_{OUT} = 100\text{ mA}$	—	1.0	mA
		All outputs OFF	—	50	$\mu\text{A}$
Output Rise Time	$t_r$	$I_{OUT} = 100\text{ mA}$ , 10% to 90%	—	500	ns
Output Fall Time	$t_f$	$I_{OUT} = 100\text{ mA}$ , 90% to 10%	—	500	ns

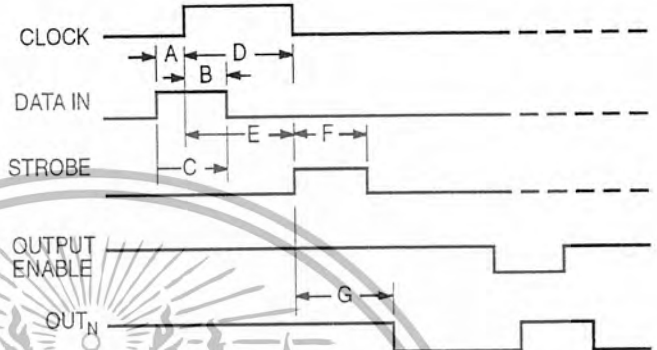
NOTE: Positive (negative) current is defined as going into (coming out of) the specified device pin.

**TRUTH TABLE**

Serial Data Input	Clock Input	Shift Register Contents						Serial Data Output	Strobe Input	Latch Contents						Output Enable Input	Output Contents					
		$I_1$	$I_2$	$I_3$	...	$I_{N-1}$	$I_N$			$I_1$	$I_2$	$I_3$	...	$I_{N-1}$	$I_N$		$I_1$	$I_2$	$I_3$	...	$I_{N-1}$	$I_N$
H		H	$R_1$	$R_2$	...	$R_{N-2}$	$R_{N-1}$	$R_{N-1}$														
L		L	$R_1$	$R_2$	...	$R_{N-2}$	$R_{N-1}$	$R_{N-1}$														
X		$R_1$	$R_2$	$R_3$	...	$R_{N-1}$	$R_N$	$R_N$														
		X	X	X	...	X	X	X	L	$R_1$	$R_2$	$R_3$	...	$R_{N-1}$	$R_N$							
		$P_1$	$P_2$	$P_3$	...	$P_{N-1}$	$P_N$	$P_N$	H	$P_1$	$P_2$	$P_3$	...	$P_{N-1}$	$P_N$	H	$P_1$	$P_2$	$P_3$	...	$P_{N-1}$	$P_N$
										X	X	X	...	X	X	L	H	H	H	...	H	H

L = Low Logic Level H = High Logic Level X = Irrelevant P = Present State R = Previous State

**5833**  
**BiMOS II 32-BIT**  
**SERIAL-INPUT,**  
**LATCHED DRIVER**



Dwg No. A-12.276A

**TIMING CONDITIONS**

( $V_{DD} = 5.0\text{ V}$ , Logic Levels are  $V_{DD}$  and Ground)

A. Minimum Data Active Time Before Clock Pulse (Data Set-Up Time).....	75 ns
B. Minimum Data Active Time After Clock Pulse (Data Hold Time).....	75 ns
C. Minimum Data Pulse Width.....	150 ns
D. Minimum Clock Pulse Width.....	150 ns
E. Minimum Time Between Clock Activation and Strobe.....	300 ns
F. Minimum Strobe Pulse Width.....	100 ns
G. Typical Time Between Strobe Activation and Output Transition.....	500 ns

Serial Data present at the input is transferred to the shift register on the logic "0" to logic "1" transition of the CLOCK input pulse. On succeeding CLOCK pulses, the registers shift data information towards the SERIAL DATA OUTPUT. The SERIAL DATA must appear at the input prior to the rising edge of the CLOCK input waveform.

Information present at any register is transferred to its respective latch when the STROBE is high (serial-to-parallel conversion). The latches will continue to accept new data as long as the STROBE is held high. Applications where the latches are bypassed (STROBE tied high) will require that the OUTPUT ENABLE input be low during serial data entry.

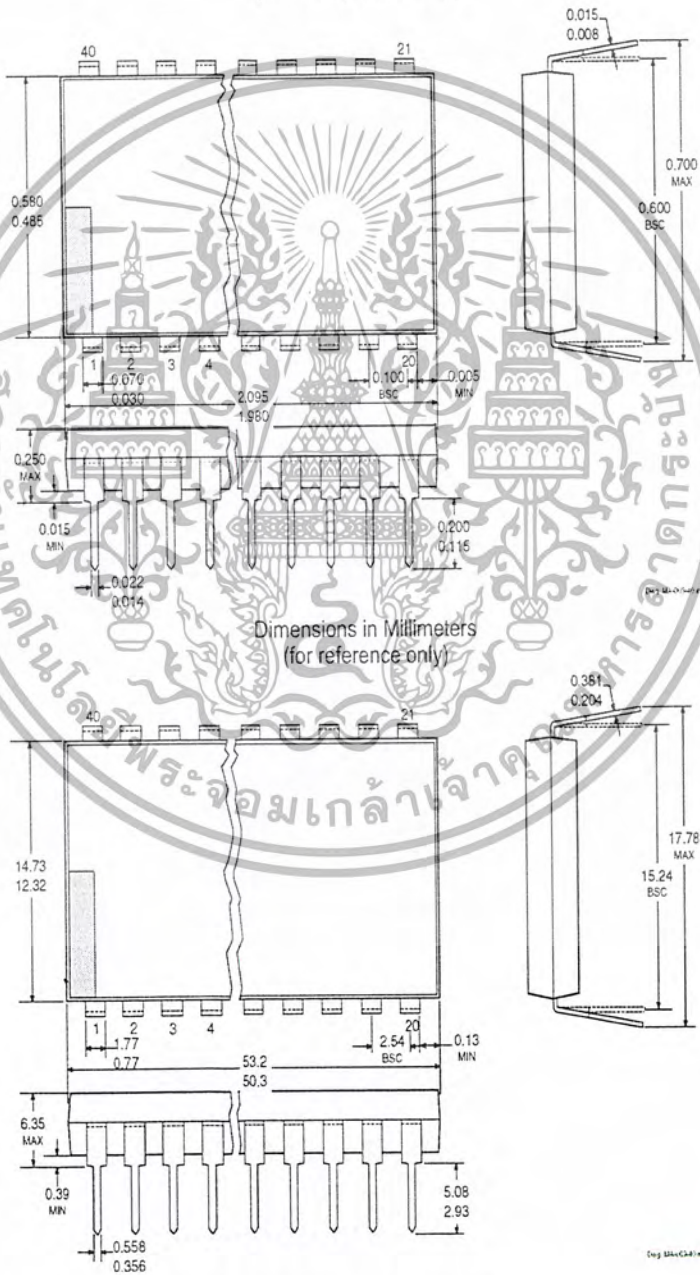
When the OUTPUT ENABLE input is low, all of the output buffers are disabled (OFF) without affecting the information stored in the latches or shift register. With the OUTPUT ENABLE input high, the outputs are controlled by the state of the latches.



115 Northeast Cutoff, Box 15036  
 Worcester, Massachusetts 01615-0036 (508) 853-5000

**5833**  
**BiMOS II 32-BIT**  
**SERIAL-INPUT,**  
**LATCHED DRIVER**

**UCN5833A**  
Dimensions in Inches  
(controlling dimensions)

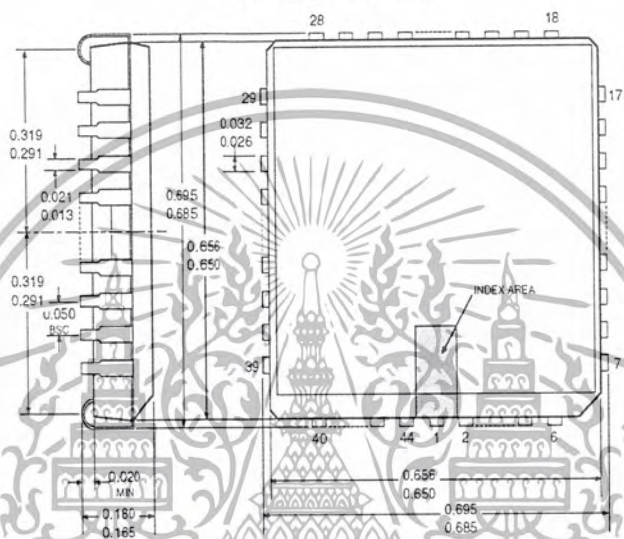


- NOTES: 1. Exact body and lead configuration at vendor's option within limits shown.  
 2. Lead spacing tolerance is non-cumulative.  
 3. Lead thickness is measured at seating plane or below.

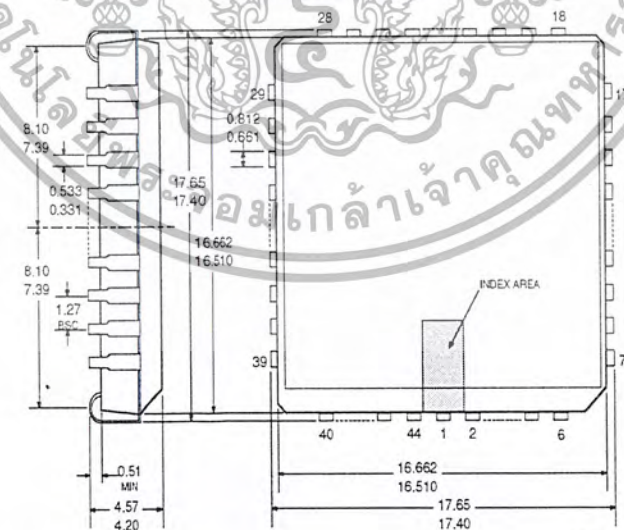
เอกสารนี้เป็นเอกสารที่สงวนไว้สำหรับการใช้งานเพื่อการศึกษาเท่านั้น ไม่อนุญาตให้จำหน่ายไปใช้ประโยชน์ด้านการค้า  
 ไม่ว่ากรณีใดๆ ทั้งสิ้น อีกทั้งห้ามมิให้ดัดแปลงเนื้อหา และต้องอ้างอิงถึงเจ้าของเอกสารทุกครั้งที่มีการนำไปใช้

**5833**  
**BiMOS II 32-BIT**  
**SERIAL-INPUT,**  
**LATCHED DRIVER**

**UCN5833EP**  
 Dimensions in Inches  
 (controlling dimensions)



Dimensions in Millimeters  
 (for reference only)



- NOTES: 1. Exact body and lead configuration at vendor's option within limits shown.  
 2. Lead spacing tolerance is non-cumulative.



115 Northeast Cutoff, Box 15036  
 Worcester, Massachusetts 01615-0036 (508) 853-5000

เอกสารนี้เป็นเอกสารที่ลิขสิทธิ์ของ Allegro Microsystems, Inc. การนำเอกสารนี้ไปใช้โดยไม่ได้รับอนุญาตจาก Allegro Microsystems, Inc. ถือเป็นความผิดทางกฎหมาย. การนำเอกสารนี้ไปใช้โดยไม่ได้รับอนุญาตจาก Allegro Microsystems, Inc. ถือเป็นความผิดทางกฎหมาย. การนำเอกสารนี้ไปใช้โดยไม่ได้รับอนุญาตจาก Allegro Microsystems, Inc. ถือเป็นความผิดทางกฎหมาย.

5833  
**BiMOS II 32-BIT  
 SERIAL-INPUT,  
 LATCHED DRIVER**



*The products described here are manufactured under one or more U.S. patents or U.S. patents pending.*

*Allegro MicroSystems, Inc. reserves the right to make, from time to time, such departures from the detail specifications as may be required to permit improvements in the performance, reliability, or manufacturability of its products. Before placing an order, the user is cautioned to verify that the information being relied upon is current.*

*Allegro products are not authorized for use as critical components in life-support devices or systems without express written approval.*

*The information included herein is believed to be accurate and reliable. However, Allegro MicroSystems, Inc. assumes no responsibility for its use; nor for any infringement of patents or other rights of third parties which may result from its use.*

เอกสารนี้เป็นเอกสารที่สงวนไว้สำหรับกรใช้งานเพื่อการศึกษาเท่านั้น ไม่อนุญาตให้นำไปใช้ประโยชน์ทางการค้า  
 ไม่ว่ากรณีใดๆ ทั้งสิ้น อีกทั้งห้ามมิให้ดัดแปลงเนื้อหา และต้องอ้างอิงถึงเจ้าของเอกสารทุกครั้งที่มีการนำไปใช้

**5833****BiMOS II 32-BIT  
SERIAL-INPUT,  
LATCHED DRIVER****POWER  
INTERFACE DRIVERS**

Function	Output Ratings*		Part Number†
<b>SERIAL-INPUT LATCHED DRIVERS</b>			
8-Bit (saturated drivers)	-120 mA	50 V‡	5895
8-Bit	350 mA	50 V	5821
8-Bit	350 mA	80 V	5822
8-Bit	350 mA	50 V‡	5841
8-Bit	350 mA	80 V‡	5842
8-Bit (constant-current LED driver)	75 mA	17 V	6275
8-Bit (DMOS drivers)	250 mA	50 V	6595
8-Bit (DMOS drivers)	350 mA	50 V‡	6A595
8-Bit (DMOS drivers)	100 mA	50 V	6B595
10-Bit (active pull-downs)	-25 mA	60 V	5810-F and 6809/10
12-Bit (active pull-downs)	-25 mA	60 V	5811 and 6811
16-Bit (constant-current LED driver)	75 mA	17 V	6276
20-Bit (active pull-downs)	-25 mA	60 V	5812-F and 6812
32-Bit (active pull-downs)	-25 mA	60 V	5818-F and 6818
32-Bit	100 mA	30 V	5833
32-Bit (saturated drivers)	100 mA	40 V	5832
<b>PARALLEL-INPUT LATCHED DRIVERS</b>			
4-Bit	350 mA	50 V‡	5800
8-Bit	-25 mA	60 V	5815
8-Bit	350 mA	50 V‡	5801
8-Bit (DMOS drivers)	100 mA	50 V	6B273
8-Bit (DMOS drivers)	250 mA	50 V	6273
<b>SPECIAL-PURPOSE DEVICES</b>			
Unipolar Stepper Motor Translator/Driver	1.25 A	50 V‡	5804
Addressable 8-Bit Decoder/DMOS Driver	250 mA	50 V	6259
Addressable 8-Bit Decoder/DMOS Driver	350 mA	50 V‡	6A259
Addressable 8-Bit Decoder/DMOS Driver	100 mA	50 V	6B259
Addressable 28-Line Decoder/Driver	450 mA	30 V	6817

\* Current is maximum specified test condition, voltage is maximum rating. See specification for sustaining voltage limits. Negative current is defined as coming out of (sourcing) the output.

† Complete part number includes additional characters to indicate operating temperature range and package style.

‡ Internal transient-suppression diodes included for inductive-load protection.



115 Northeast Cutoff, Box 15036

Worcester, Massachusetts 01615-0036 (508) 853-5000

เอกสารนี้เป็นเอกสารที่...  
ไม่ว่ากรณีใดๆ ทั้งสิ้น อีกทั้งห้ามมิให้ดัดแปลงเนื้อหา และต้องอ้างอิงถึงเจ้าของเอกสารทุกครั้งที่มีการนำไปใช้

## บรรณานุกรม

ธีรวัฒน์ ประกอบผล. 2545. “การพัฒนาไมโครคอนโทรลเลอร์ด้วยภาษาซี.” กรุงเทพฯ : ส.ส.ท.

บัณฑิต จามรภูมิ. 2544. “คู่มือการใช้งาน Protel 99.” เชียงใหม่.

พรจิต ประทุมสุวรรณ. 2535. “การควบคุมนิวแมติกส์.” กรุงเทพฯ.

วรพจน์ กรแก้ววัฒนกุล และชัยวัฒน์ ถิมพรจิตรวิไล. “เรียนรู้และปฏิบัติการไมโครคอนโทรลเลอร์.”  
กรุงเทพฯ.



## ประวัติผู้แต่ง



ชื่อ - สกุล	นายธราพงษ์ ฤทธิการ
วัน เดือน ปีเกิด	14 ธันวาคม พ.ศ. 2523
สถานที่เกิด	จังหวัดพังงา
ภูมิลำเนา	552/1 ถ.เพชรเกษม ต.ท้ายช้าง อ.เมือง จ.พังงา 82000
ที่อยู่ปัจจุบัน	วิพื่อฟาร์มเมนต์ ซ.รามคำแหง 65 แขวงหัวหมาก เขตบางกะปิ กรุงเทพมหานคร
เบอร์โทรศัพท์	0-7641-3564
ประวัติการศึกษา	
ประถมศึกษา	โรงเรียนอนุบาลพังงา
มัธยมศึกษาตอนต้น	โรงเรียนดีบุกพังงาวิทยาคม
ประกาศนียบัตรวิชาชีพ	วิทยาลัยเทคนิคพังงา
ประกาศนียบัตรวิชาชีพชั้นสูง	วิทยาลัยเทคนิคพังงา
ปริญญาตรี	สาขาวิชาอิเล็กทรอนิกส์และคอมพิวเตอร์ ภาควิชาครุศาสตร์วิศวกรรม คณะครุศาสตร์อุตสาหกรรม สถาบันเทคโนโลยี พระจอมเกล้าเจ้าคุณทหารลาดกระบัง
คติพจน์	“ไม่มีอะไรเป็นไปได้ ถ้าเราตั้งใจและพยายาม”

เอกสารนี้เป็นเอกสารที่สงวนไว้สำหรับการใช้งานเพื่อการศึกษาเท่านั้น ไม่อนุญาตให้นำไปใช้ประโยชน์ด้านการค้า  
ไม่ว่ากรณีใดๆ ทั้งสิ้น อีกทั้งห้ามมิให้ตัดแปลงเนื้อหา และต้องอ้างอิงถึงเจ้าของเอกสารทุกครั้งที่มีการนำไปใช้

## ประวัติผู้แต่ง



ชื่อ - สกุล	นายบุญฤทธิ์ วัฒนภมด
วัน เดือน ปีเกิด	21 พฤษภาคม พ.ศ. 2524
สถานที่เกิด	โรงพยาบาลสระบุรี
ภูมิลำเนา	112 หมู่ 1 ต.บ้านป่า อ.แก่งคอย จ.สระบุรี 18110
ที่อยู่ปัจจุบัน	72/1 หมู่ 7 ต.ท่าทราย อ.เมือง จ.สมุทรสาคร 74000
เบอร์โทรศัพท์	0-3630-6263
ประวัติการศึกษา	
ประถมศึกษา	โรงเรียนศุลาแดง
มัธยมศึกษาตอนต้น	โรงเรียนสระบุรีวิทยาคม
ประกาศนียบัตรวิชาชีพ	วิทยาลัยเทคนิคสระบุรี
ประกาศนียบัตรวิชาชีพชั้นสูง	วิทยาลัยเทคนิคสระบุรี
ปริญญาตรี	สาขาวิชาอิเล็กทรอนิกส์และคอมพิวเตอร์ ภาควิชาครุศาสตร์วิศวกรรม คณะครุศาสตร์อุตสาหกรรม สถาบันเทคโนโลยี พระจอมเกล้าเจ้าคุณทหารลาดกระบัง
คติพจน์	“ทำวันนี้ให้ดีที่สุด”

## ประวัติผู้แต่ง



ชื่อ - สกุล	นายภาสกร จิณานุกุลวงศ์
วัน เดือน ปีเกิด	1 มกราคม พ.ศ. 2524
สถานที่เกิด	จังหวัดนครสวรรค์
ภูมิลำเนา	202-206 ถ.ตากสิพัฒนา ต.ตากสิ อ.ตากสิ จ.นครสวรรค์ 60140
ที่อยู่ปัจจุบัน	111/53 ซ.ลาดกระบัง 48 แขวงลำประเทิว เขตลาดกระบัง กรุงเทพฯ 10520
เบอร์โทรศัพท์	0-6734-5368
ประวัติการศึกษา	
ประถมศึกษา	โรงเรียนจันทน์เขี้ยวเขี้ยว
มัธยมศึกษาตอนต้น	โรงเรียนตากสิประชาสรรค์
ประกาศนียบัตรวิชาชีพ	วิทยาลัยเทคนิคชัยนาท
ประกาศนียบัตรวิชาชีพชั้นสูง	วิทยาลัยเทคนิคชัยนาท
ปริญญาตรี	สาขาวิชาอิเล็กทรอนิกส์และคอมพิวเตอร์ ภาควิชาครุศาสตร์วิศวกรรม คณะครุศาสตร์อุตสาหกรรม สถาบันเทคโนโลยี พระจอมเกล้าเจ้าคุณทหารลาดกระบัง
คติพจน์	“ใช้เวลาอย่างคุ้มค่า เพื่อวันหน้าก้าวถึงฝัน”